

Efikasni algoritmi za rješavanje robusnih varijanti problema toka u mreži

Špoljarec, Marko

Doctoral thesis / Disertacija

2018

Degree Grantor / Ustanova koja je dodijelila akademski / stručni stupanj: **University of Zagreb, Faculty of Science / Sveučilište u Zagrebu, Prirodoslovno-matematički fakultet**

Permanent link / Trajna poveznica: <https://um.nsk.hr/um:nbn:hr:217:591823>

Rights / Prava: [In copyright](#) / [Zaštićeno autorskim pravom.](#)

Download date / Datum preuzimanja: **2024-09-18**



Repository / Repozitorij:

[Repository of the Faculty of Science - University of Zagreb](#)



Sveučilište u Zagrebu
Prirodoslovno-matematički fakultet
Matematički odsjek

Marko Špoljarec

Efikasni algoritmi za rješavanje
robusnih varijanti
problema toka u mreži

Doktorski rad

Voditelj: prof. dr. sc. Robert Manger

Zagreb, ožujak 2018.

University of Zagreb
Faculty of natural sciences and mathematics
Department of mathematics

Marko Špoljarec

Efficient algorithms for solving
robust variants of
network flow problems

Doctoral thesis

Supervisor: prof. dr. sc. Robert Manger

Zagreb, March 2018.

Posvećeno obitelji,

teti Gordani i tati Damiru te zeni Ivani.

Zahvala

Ovom prilikom zahvaljujem se mojim roditeljima

teti Grozdani i tati Damiru,

na pruženoj potpori tijekom cijelog svog školovanja, te mojoj ženi

Ivani,

na podršci i strpljenju tijekom studija.

Posebne zahvale upućujem mojem voditelju

prof. dr. sc. Robertu Mangeru,

na uloženom trudu prilikom stvaranja doktorskog rada, te svima koji su na bilo koji način doprinijeli nastanku istog.

Sažetak

Cilj doktorskog rada je proučavanje nekoliko novih robusnih varijanti problema toka u mreži koje razlikujemo po obliku polaznog problema (maksimalni tok ili maksimalni tok minimalne cijene) te po nekim osobinama (načinu izražavanja neizvjesnosti u parametrima, stupnju neodređenosti u parametrima ili načinu mjerenja ponašanja zadanog rješenja za zadani scenarij). Za svaku robusnu varijantu cilj je analiziranje njezinih bitnih svojstava, naprimjer računske složenosti, te implementiranje barem jednog efikasnog algoritma koji je u stanju rješavati relativno velike primjerke problema u razumnom vremenu.

U prvom poglavlju formuliramo problem optimizacije pri čemu se i u funkciji cilja i u ograničenjima pojavljuju parametri koje obično ne možemo točno odrediti pa govorimo o neizvjesnosti ili nesigurnosti kod rješavanja problema optimizacije. Promatramo mane stohastičkog pristupa rješavanju problema neizvjesnosti te predlažemo robusni pristup kao alternativu stohastici.

U drugom poglavlju formuliramo robusne probleme toka te dokazujemo da su (poopćene) apsolutno i devijantno robusne varijante problema toka minimalne cijene po složenosti NP-teške. Osim problema toka minimalne cijene, u standardnoj literaturi također se proučava problem maksimalnog toka, ali pokazujemo da nema smisla razmatrati njegove robusne varijante jer su trivijalne.

U trećem poglavlju definiramo rezidualnu mrežu koju koristimo za traženje maksimalnog toka i maksimalnog toka minimalne cijene u polaznoj mreži, odnosno slojevitu rezidualnu mrežu koju koristimo za traženje maksimalnog toka u polaznoj mreži. Definiramo pojmove poput puta uvećavajućeg toka ili ciklusa smanjujuće cijene. Predstavljamo osnovne operacije s tokovima koje upotrebljavamo kao sastavne metode u (meta)heuristikama te analiziramo njihovu složenost.

U četvrtom poglavlju formuliramo (poopćeni) robusni problem toka minimalne cijene kao problem cjelobrojnog linearnog programiranja koji općenito rješavamo egzaktnim algoritmima za cjelobrojno linearno programiranje, pomoću grananja i ograđivanja ili ravnine odsjecanja.

U petom poglavlju predstavljamo (meta)heuristike kao skup metoda optimizacije koje pružaju „prihvatljiva” rješenja u „razumnom” vremenu pri rješavanju teških i složenih problema u znanosti i inženjerstvu. Kako su robusne varijante problema toka minimalne cijene NP-teške, to ih ima smisla rješavati (meta)heuristikama, npr. lokalnim traženjem. Opisujemo njihovu implementaciju pa analiziramo njihovu složenost.

U zadnjem poglavlju odabiremo reprezentativne i realistične te razmjerno velike primjerke problema pa eksperimentalnom evaluacijom (meta)heuristika za rješavanje robusnih problema toka na takvim primjercima za svaku od razmatranih robusnih varijanti, mjerimo njihovu preciznost i vrijeme izvršenja pa obrađujemo i uspoređujemo rezultate evaluacija te iznosimo prednosti i nedostatke.

U prvom dodatku formuliramo srodne robusne probleme linearnog programiranja, najkraćeg puta, minimalnog razapinjućeg stabla i 0/1 naprtnjače te dokazujemo da su po složenosti NP-teški. Kako su robusne varijante navedenih problema polinomijalno reducibilne na odgovarajuće robusne varijante problema toka minimalne cijene, to će bilo koji algoritam koji dovoljno efikasno rješava robusni problem toka minimalne cijene, također dovoljno efikasno rješavati navedene srodne robusne probleme. Naprimjer, prema teoremu 2.6, robusne varijante problema najkraćeg puta su polinomijalno reducibilne na odgovarajuće robusne varijante problema toka minimalne cijene.

U drugom dodatku standardne probleme u mreži koji se pojavljuju prilikom rješavanja robusnog problema toka minimalne cijene (meta)heuristikama, npr. lokalnim traženjem ili evolucijom, rješavamo klasičnim algoritmima. Te algoritme koristimo kao pomoćne metode. Stoga je bitno da se izvršavaju što efikasnije, tj. da je njihova složenost polinomijalna. Opisujemo implementaciju klasičnih algoritama za rješavanje problema minimalnog reza, maksimalnog toka, najkraćeg puta, negativnog te jednostavnog ciklusa.

U zadnjem dodatku se nalazi programski kod konfiguracije aplikacije i klase (rezidualne) mreže.

Abstract

The aim of thesis is to study several new robust variants of network flow problems that differ in the form of initial problem (maximum flow or minimum cost maximum flow) and by some characteristics (in the way how uncertainty in parameters is expressed - in the way how scenarios are given, in the extent of parameter uncertainty or in the way how behavior of a given solution under a given scenario is measured). For each robust variant the aim is to analyze its important properties, for example computational complexity, and to implement at least one efficient algorithm capable of solving relatively large samples in reasonable time.

In the first chapter we formulate optimization problem whose instance is described by values of parameters in its objective function and in its constraints that are usually hard to determine, since they depend on possible scenarios, so it is spoken about uncertainty while solving optimization problem. We observe flaws of stochastic approach toward solving problem with uncertainty and recommend robust approach as alternative to stochastic.

In the second chapter we formulate robust flow problems and prove that by complexity (general) absolute and deviant robust variants of minimum cost flow problem are NP-hard. Besides minimum cost flow problem, maximum flow problem is also studied in standard literature, but it is shown that it makes no sense to consider its robust variants because they are trivial.

In the third chapter we define residual network which is used for searching maximum flow and minimum cost maximum flow in initial network, that is layered residual network which is used for searching maximum flow in initial network. We define terms such as flow augmenting path or cost reducing cycle. We present basic operations with flows which are used as building blocks in (meta)heuristics and analyze their complexity.

In the fourth chapter we formulate (general) robust minimum cost flow problem as an integer linear programming problem which is generally solved with exact algorithms for integer linear programming, via branch-and-bound or cutting-plane.

In the fifth chapter we present (meta)heuristics as a set of optimization methods that are providing “acceptable” solutions in “reasonable” time upon solving hard and complex problems in science and engineering. As robust variants of minimum cost flow problem are NP-hard, it makes sense to solve them with (meta)heuristics, e.g. by local search. We describe their implementation and analyze their complexity.

In the final chapter we choose representative and realistic, and relatively large samples of problem, and by experimental evaluation of (meta)heuristics for solving robust flow problems on such samples for each of considered robust variants, their precision and execution time is measured, and evaluation results are elaborated and compared, and pros and cons are revealed.

In the first appendix we formulate related robust problems of linear programming, shortest path, minimum spanning tree and 0/1 knapsack, and prove that by complexity they are NP-hard. As robust variants of mentioned problems are polynomial-time reducible to corresponding robust variants of minimum cost flow problem, any algorithm that efficiently solves robust minimum cost flow problem will also sufficiently efficient solve mentioned related robust problems. For example, according to theorem 2.6, robust variants of shortest path problem are polynomial-time reducible to corresponding robust variants of minimum cost flow problem.

In the second appendix standard network problems that appear when solving robust minimum cost flow problem with (meta)heuristics, e.g. by local search or evolution, are solved with classical algorithms. Those algorithms are used as building blocks. Therefore it is important that they are executed as efficiently as possible, i.e. that their complexity is polynomial-time. We describe implementation of classical algorithms for solving problems of minimal cut, maximal flow, shortest path, negative and simple cycle.

In the final appendix there is a programming code of application's configuration and (residual) network class.

SADRŽAJ

Zahvala	i
Sažetak	ii
Abstract	iv
Uvod	viii
1. Robusna optimizacija	1
1.1. Neizvjesnost	2
1.2. Robusni pristup	6
2. Robusni problemi toka	8
2.1. Robusni problem toka minimalne cijene	10
2.2. Poopćeni robusni problem toka minimalne cijene	13
2.3. Relaksirani robusni problem toka minimalne cijene	17
2.4. Robusni problem maksimalnog toka	19
2.5. Složenost robusnih problema toka	22
3. Osnovne operacije s tokovima	23
3.1. Rezidualna mreža	24
3.2. Slojevita rezidualna mreža	29
3.3. Blokovni tok	33
3.4. Opis osnovnih operacija s tokovima	34
3.5. Primjer osnovnih operacija s tokovima	38
3.6. Složenost osnovnih operacija s tokovima	43
4. Egzaktno rješavanje robusnih problema toka	46
4.1. Egzaktno rješavanje robusnog problema toka minimalne cijene	49
4.2. Egzaktno rješavanje poopćenog robusnog problema toka minimalne cijene	54
4.3. Egzaktno rješavanje relaksiranog robusnog problema toka minimalne cijene	58
5. Približno rješavanje robusnih problema toka	63
5.1. Algoritam lokalnog traženja za rješavanje robusnog problema toka minimalne cijene	66
5.2. Evolucijski algoritam za rješavanje robusnog problema toka minimalne cijene	68
5.3. (Meta)heuristike za rješavanje poopćenog robusnog problema toka minimalne cijene	71
5.4. Implementacija (meta)heuristika za rješavanje robusnih problema toka	73
5.5. Složenost (meta)heuristika za rješavanje robusnih problema toka	76
6. Eksperimentalne evaluacije (meta)heuristika za rješavanje robusnih problema toka	82
6.1. Mali primjerci robusnog problema toka minimalne cijene	85
6.2. Veliki primjerci robusnog problema toka minimalne cijene	100
6.3. Primjerak poopćenog robusnog problema toka minimalne cijene	109
6.4. Rezultati evaluacija (meta)heuristika za rješavanje robusnih problema toka	112
6.5. Prednosti i nedostaci (meta)heuristika za rješavanje robusnih problema toka	124

Dodaci	125
A. Srodni robusni problemi	125
A.1. Robusni problem linearnog programiranja	126
A.2. Robusni problem najkraćeg puta	128
A.3. Robusni problem minimalnog razapinjućeg stabla	130
A.4. Robusni problem 0/1 naprtnjače	132
A.5. Složenost srodnih robusnih problema	134
B. Klasično rješavanje standardnih problema u mreži	140
B.1. Ford-Fulkersonov algoritam	141
B.2. Edmonds-Karpov algoritam	143
B.3. Dinicev algoritam	150
B.4. Malhotra-Kumar-Maheshwarijev algoritam	153
B.5. Mooreov BFS algoritam, Tarjanov DFS algoritam	158
B.6. Dijkstrin algoritam	162
B.7. Bellman-Fordov algoritam	165
B.8. Floyd-Warshallov algoritam	166
B.9. Backtracking DFS algoritam	169
C. Programski kod	171
C.1. Konfiguracija aplikacije	171
C.2. Klasa mreže	172
C.3. Klasa rezidualne mreže	199
Zaključak	205
Literatura	A
Kazalo	D
Životopis	F

Uvod

Optimizacija (eng. optimization) je grana matematike ili računarstva koja se bavi problemima minimiziranja, odnosno maksimiziranja zadane funkcije cilja, uz poštovanje zadanih ograničenja. Diskretna (eng. discrete) ili kombinatorna (eng. combinatorial) optimizacija [KV12, PS98] se bavi problemima u kojima su kontrolne varijable cjelobrojne. Klasični problemi diskretne optimizacije koji se često proučavaju u literaturi su naprimjer: problem najkraćih puteva u grafu (eng. shortest paths), problem minimalnih razapinjućih stabala (eng. minimum spanning trees), problem naprtnjače ili ruksaka (eng. knapsack), razni oblici problema toka u mreži (eng. network flows), problem sparivanja grafa (eng. graph matching), problem raspoređivanja poslova na strojeve (eng. jobs scheduling), problem bojenja grafa (eng. graph coloring), problem trgovačkog putnika (eng. traveling salesman) i drugi.

Problemi toka u mreži predstavljaju vrlo važnu porodicu problema diskretne optimizacije. Pojavljuju se u dva oblika: problem maksimalnog toka, odnosno problem (maksimalnog) toka minimalne cijene. Spadaju među relativno jednostavno rješive probleme, dakle probleme rješive u polinomijalnom vremenu. Tokovi u mrežama primjenjuju se u raznim područjima: upravljanje transportom, planiranje proizvodnje, projektiranje komunikacijskih mreža itd.

Primjerak bilo kojeg problema optimizacije opisujemo vrijednostima parametara koji se pojavljuju i u funkciji cilja i u ograničenjima. U stvarnom svijetu vrijednosti parametara obično ne možemo točno odrediti pa govorimo o neizvjesnosti (eng. uncertainty) ili nesigurnosti kod rješavanja problema optimizacije. Klasična škola optimizacije kakvu nalazimo u većini udžbenika tjera nas da ignoriramo neizvjesnost, tj. parametriramo zadajemo neke vrijednosti za koje se nadamo da su otprilike točne pa zatim rješavamo tako dobiveni primjerak problema. No, ako su vrijednosti parametara u praksi drukčije od onih odabranih, onda dobiveno rješenje može biti daleko od optimalnog, ili možda čak nedopustivo! Stoga umjesto da ignoriramo neizvjesnost, bolje bi bilo da priznamo njezino postojanje te da pokušamo nekako izaći s njome na kraj.

Robusna optimizacija (eng. robust optimization) predstavlja jedan od načina izlaženja na kraj s tom neizvjesnošću, dakle neodređenošću vrijednosti parametara. U skladu s robusnim pristupom, definiramo skup scenarija i svaki od njih određuje jednu kombinaciju konkretnih vrijednosti parametara. Promatramo samo rješenja koja su dopustiva za sve scenarije. Za svako rješenje promatramo njegovo ponašanje na svakom od scenarija. Bilježimo najgore ponašanje tog rješenja (na nekom od scenarija). Kao konačno robusno rješenje problema biramo ono rješenje čije najgore ponašanje je najbolje moguće.

Primjenom robusnog pristupa, polazni problem minimiziranja, odnosno maksimiziranja pretvaramo u razmjerno složeniji min-max, odnosno max-min problem. U praksi, robusno rješenje ne mora biti i obično nije optimalno ni za koji scenarij, no odabrano je tako da i u slučaju najnepovoljnijeg scenarija bude prihvatljivo. Dakle, osiguravamo se od najgoreg scenarija tako da minimiziramo njegov loš učinak.

Robusna diskretna optimizacija počela se razvijati u drugoj polovici 90-ih godina 20-og stoljeća. Temelj za cijelu tu disciplinu nastao je u knjigama [BTEGN09, KY97] te u člancima [BS03, BS04, RJ09].

U navedenoj literaturi obrađen je veliki broj robusnih varijanti klasičnih problema diskretne optimizacije. Za ovaj rad najbitnija je knjiga [KY97] koja pruža okvir za robusnu diskretnu optimizaciju. Cijela disciplina se i dalje razvija pojavom novih ideja i pristupa [ABV09, ABV10, BBC11].

U postojećoj literaturi o robusnoj diskretnoj optimizaciji najviše se proučavao robusni problem najkraćeg puta, a dobro su pokriveni i robusni problemi minimalnog razapinjućeg stabla te 0/1 naprtnjače. Znatno manje je zastupljen robusni problem toka. Dostupni radovi o robusnom problemu toka teško su usporedivi budući da koriste različite definicije, ideje i pristupe, a iako sadrže zanimljive rezultate, ostavljaju dosta prostora za daljnja istraživanja u okviru teme ove disertacije.

Problemi toka imaju dosta dodirnih točaka s problemom najkraćeg puta kojeg shvaćamo kao posebni slučaj problema maksimalnog toka minimalne cijene. Naprimjer, traženje optimalnih tokova svodimo na iterativno traženje najkraćih puteva s cijenama lukova kao duljinama.

Robusne varijante problema imaju znatno veću računsku složenost nego odgovarajući polazni problemi. Naprimjer, ako je polazni problem rješiv u polinomijalnom vremenu, onda je njegova robusna varijanta vjerojatno NP-teška. Slično, ako je polazni problem „slabo” NP-težak, onda je njegova robusna varijanta najvjerojatnije jako NP-teška. Velika računaska složenost robusnih problema otežava njihovo efikasno rješavanje. Algoritmi koji se predlažu u pravilu su relativno složeni postupci poput dinamičkog programiranja (eng. dynamic programming), grananja i ograđivanja (eng. branch-and-bound) ili ravnine odsjecanja (eng. cutting-plane). Zasad nema puno iskustava u korištenju (meta)heuristika poput algoritma lokalnog traženja (eng. local search algorithm) ili evolucijskog algoritma (eng. evolutionary algorithm).

Kako robusne varijante problema imaju veliku računsku složenost, tj. radi se o NP-teškim problemima, to njihovo rješavanje predstavlja zahtjevan i netrivialan zadatak. Unatoč velikoj računskoj složenosti, robusne varijante problema ipak možemo kolikotoliko efikasno rješavati ako primijenimo sofisticirane (meta)heuristike te snagu današnjih višejezgrenih računala i računalnih mreža.

Za jedan te isti polazni problem uvijek možemo formulirati nekoliko robusnih varijanti koje možemo razlikovati po sljedećim osobinama:

- Način izražavanja neizvjesnosti u parametrima, tj. način zadavanja scenarija.
Naprimjer, možemo eksplicitno zadati konačan skup scenarija [BCT09] ili čak implicitno zadati beskonačan skup scenarija tako da za vrijednosti parametara zadamo interval ili općenitije geometrijske konstrukcije [AV16, AZ07, Min09, Min10].
- Stupanj neodređenosti u parametrima, tj. stupanj robusnosti.
Naprimjer, možemo samo jedinične cijene lukova grafa smatrati neizvjesnima [RJ09] ili i kapacitete lukova grafa [AV16, OZ07], no veći stupanj robusnosti postizemo tada kad i samo postojanje lukova grafa smatramo neodređenim [BCT09, BNS13].
- Način mjerenja ponašanja zadanog rješenja za zadani scenarij.
Naprimjer, ponašanje zadanog rješenja možemo mjeriti vrijednošću funkcije cilja ili (apsolutnim ili relativnim) otklonom vrijednosti funkcije cilja od optimalne vrijednosti za zadani scenarij.

Svaka od robusnih varijanti zahtijeva posebni tretman jer može imati specifične prednosti ili nedostatke u odnosu na druge robusne varijante.

1. Robusna optimizacija

Problem optimizacije formuliramo kao problem minimiziranja, odnosno maksimiziranja zadane funkcije cilja, uz poštovanje zadanih ograničenja. I u funkciji cilja i u ograničenjima pojavljuju se određeni parametri. U stvarnom svijetu vrijednosti parametara obično ne možemo točno odrediti pa govorimo o neizvjesnosti ili nesigurnosti prilikom rješavanja problema optimizacije. Ako ignoriramo neizvjesnost, onda dobiveno rješenje može biti daleko od optimalnog, ili možda čak nedopustivo! Bolje je da priznamo postojanje neizvjesnosti te da pokušamo nekako izaći s njome na kraj. Jedan od načina je tzv. **robustna optimizacija**.

Naprimjer, problem optimizacije portfelja investicijskih projekata formuliramo kao problem 0/1 naprtnjače:

$$(1.1) \quad K_{0/1\dots} \left[\begin{array}{l} \sum_{i=1}^n p_i x_i \rightarrow \max \\ \text{uz uvjete:} \\ \sum_{i=1}^n c_i x_i \leq B \\ x_i \in \{0, 1\}, \forall i \in \{1, 2, \dots, n\} \end{array} \right. .$$

Parametri su:

- p_i - profiti (neto zarade) projekata,
- c_i - troškovi (potrebne investicije) za projekte,
- B - budžet kojim raspolažemo.

1.1. Neizvjesnost

Neizvjesnost se očituje u tome da stvarni trošak pojedinog projekta vidimo tek kod njegove realizacije. Također, teško je predvidjeti profit pojedinog projekta, jer on ovisi o budućim ekonomskim uvjetima.

Poznajemo dva pristupa rješavanju problema neizvjesnosti:

- stohastički i
- robusni, naprimjer u članku [RMA16].

Stohastički pristup je zasnovan na teoriji vjerojatnosti. Svaki parametar promatramo kao slučajnu varijablu s nekom odabranom distribucijom vjerojatnosti. Sama funkcija cilja tada postaje slučajna varijabla. Bavimo se optimizacijom očekivanja za funkciju cilja. Zbog jednostavnosti, pretpostavlja se da su parametri nezavisne slučajne varijable. Sve skupa svodimo na određivanje očekivanih vrijednosti parametara te na standardno rješavanje primjerka problema gdje parametri poprimaju očekivane vrijednosti. U praksi, to loše funkcionira jer teško je pogoditi dobre distribucije za parametre. Pitanje je i jesu li parametri zaista nezavisne ili zavisne slučajne varijable. Rješenje će biti prihvatljivo ako je riječ o problemu koji se uzastopno ponavlja mnogo puta. No, rješenje može biti jako loše kod jednokratnih (neponovljivih) problema.

Robusni pristup je zasnovan kao alternativa stohastici koja izbjegava vjerojatnost. Definiramo skup scenarija. Svaki scenarij određuje jednu kombinaciju konkretnih vrijednosti parametara. Promatramo samo ona rješenja koja su dopustiva za sve scenarije. Za svako rješenje promatramo njegovo ponašanje na svakom od scenarija. Bilježimo najgore ponašanje tog rješenja (na nekom od scenarija). Kao konačno robusno rješenje problema biramo ono rješenje čije najgore ponašanje je najbolje moguće. Riječ je o min-max, odnosno max-min problemu, ovisno o tome da li je polazni problem minimizacija, odnosno maksimizacija. U praksi, robusno rješenje ne mora biti i obično nije optimalno ni za koji scenarij, no odabrano je tako da i u slučaju najnepovoljnijeg scenarija bude prihvatljivo. Dakle, osiguravamo se od najgoreg scenarija tako da minimiziramo njegov loš učinak. Postoji više načina mjerenja najgoreg ponašanja (više kriterija robusnosti) pa zato postoji i više načina pretvorbe standardnog problema optimizacije u robusnu varijantu.

Primjer 1.1. *Promotrimo raspoređivanje poslova na jedan stroj, slično kao u knjizi [KY97]. U jednom trenutku na stroju možemo obavljati jedan posao. Svaki posao moramo izvršiti bez prekidanja. Cilj je odrediti redosljed izvršavanja poslova tako da zbroj vremena završetaka poslova bude minimalan. Poznato je da optimalni raspored dobivamo tako da poslove poredamo u nepadajućem redosljedu vremena izvršavanja, tzv. SPT raspored. No, ako su vremena izvršavanja poslova neizvjesna, onda je i njihov nepadajući redosljed neizvjestan.*

Pristupimo rješavanju problema neizvjesnosti stohastički.

Zamislimo da imamo četiri posla čija vremena izvršavanja su nezavisne slučajne varijable, a svaka od njih je diskretno uniformno distribuirana.

Neka su diskretne uniformne distribucije za vrijeme izvršavanja posla

$$X_1 \sim \begin{pmatrix} 13 & 14 \\ \frac{1}{2} & \frac{1}{2} \end{pmatrix}, \quad X_2 \sim \begin{pmatrix} 11 & 17 \\ \frac{1}{2} & \frac{1}{2} \end{pmatrix}, \quad X_3 \sim \begin{pmatrix} 10 & 19 \\ \frac{1}{2} & \frac{1}{2} \end{pmatrix}, \quad X_4 \sim \begin{pmatrix} 5 & 25 \\ \frac{1}{2} & \frac{1}{2} \end{pmatrix},$$

a očekivana vremena izvršavanja poslova

$$\mathbb{E}X_1 = 13 \cdot \frac{1}{2} + 14 \cdot \frac{1}{2} = 13,5, \quad \mathbb{E}X_2 = 14, \quad \mathbb{E}X_3 = 14,5, \quad \mathbb{E}X_4 = 15.$$

Stohastički pristup kao optimalno rješenje daje ono gdje su poslovi poredani u nepadajućem redosljedu očekivanih vremena izvršavanja posla. Tada je optimalni raspored prema stohastičkom pristupu 1 – 2 – 3 – 4. Minimiziramo očekivani zbroj vremena završetaka poslova:

$$13,5 + (13,5 + 14) + (13,5 + 14 + 14,5) + (13,5 + 14 + 14,5 + 15) = 140.$$

Neka su u stvarnosti vremena izvršavanja poslova redom 14, 17, 10, 5. Tada je optimalni raspored 4 – 3 – 1 – 2, a optimalna cijena je

$$5 + (5 + 10) + (5 + 10 + 14) + (5 + 10 + 14 + 17) = 95.$$

Rješenje 1 – 2 – 3 – 4 koje je dao stohastički pristup ima cijenu

$$14 + (14 + 17) + (14 + 17 + 10) + (14 + 17 + 10 + 5) = 132$$

pa se razlikuje se od optimalnog za $132 - 95 = 37$ jedinica, odnosno za relativnu grešku $37/95 = 38,95\%$.

Dakle, rješenje koje je dao stohastički pristup je daleko od optimalnog.

Pristupimo rješavanju problema neizvjesnosti robusno.

Definiramo tri scenarija:

- vremena 1: 13,5, 14, 14,5, 15 (očekivana vremena),
- vremena 2: 14, 17, 10, 5 (stvarna vremena),
- vremena 3: 13, 11, 19, 25.

Promatramo šest dopustivih rješenja:

- redosljed 1: 1 – 2 – 3 – 4 (optimalan redosljed za vremena 1),
- redosljed 2: 4 – 3 – 1 – 2 (optimalan redosljed za vremena 2),
- redosljed 3: 2 – 1 – 3 – 4 (optimalan redosljed za vremena 3),
- redosljed 4: 1 – 2 – 4 – 3 (perturbiran redosljed 1),
- redosljed 5: 4 – 3 – 2 – 1 (perturbiran redosljed 2),
- redosljed 6: 2 – 1 – 4 – 3 (perturbiran redosljed 3).

Najmanja maksimalna cijena svakog redoslijeda u svim vremenima je 146:

	Cijena 1	Cijena 2	Cijena 3	Maksimalna cijena
<i>Redoslijed 1</i>	140	132	148	148
<i>Redoslijed 2</i>	144,5	95	194	194
<i>Redoslijed 3</i>	140,5	135	146	146
<i>Redoslijed 4</i>	140,5	130	154	154
<i>Redoslijed 5</i>	145	98	192	192
<i>Redoslijed 6</i>	141	130	152	152

Dakle, apsolutno robusno rješenje je redoslijed 3: 2–1–3–4. Ono u stvarnim vremenima 2 - 14, 17, 10, 5 još više odstupa od optimalnog (za $135 - 95 = 40$ jedinica, odnosno za relativnu grešku $40/95 = 42,11\%$), nego što je odstupalo rješenje koje je dao stohastički pristup. Očito odabrani prvi kriterij robusnosti nije dobar u ovom primjeru.

Najmanji maksimalni odklon od optimalne cijene je 35:

	Otklon od optimalne cijene 1	Otklon od optimalne cijene 2	Otklon od optimalne cijene 3	Maksimalni odklon od optimalne cijene
<i>Redoslijed 1</i>	0	37	2	37
<i>Redoslijed 2</i>	4,5	0	48	48
<i>Redoslijed 3</i>	0,5	40	0	40
<i>Redoslijed 4</i>	0,5	35	8	35
<i>Redoslijed 5</i>	5	3	46	46
<i>Redoslijed 6</i>	1	35	6	35

Dakle, devijantno robusno rješenje je redoslijed 4: 1–2–4–3. Ono u stvarnim vremenima 2 - 14, 17, 10, 5 manje odstupa od optimalnog (za $130 - 95 = 35$ jedinica, odnosno za relativnu grešku $35/95 = 36,84\%$), nego što je odstupalo rješenje koje je dao stohastički pristup. Očito odabrani drugi kriterij robusnosti je bolji u ovom primjeru.

Najmanji maksimalni relativni otklon od optimalne cijene je 0,315:

	<i>Relativni otklon od optimalne cijene 1</i>	<i>Relativni otklon od optimalne cijene 2</i>	<i>Relativni otklon od optimalne cijene 3</i>	<i>Maksimalni relativni otklon od optimalne cijene</i>
<i>Redosljed 1</i>	<i>0</i>	<i>0,389</i>	<i>0,014</i>	<i>0,389</i>
<i>Redosljed 2</i>	<i>0,032</i>	<i>0</i>	<i>0,329</i>	<i>0,329</i>
<i>Redosljed 3</i>	<i>0,004</i>	<i>0,421</i>	<i>0</i>	<i>0,421</i>
<i>Redosljed 4</i>	<i>0,004</i>	<i>0,368</i>	<i>0,055</i>	<i>0,368</i>
<i>Redosljed 5</i>	<i>0,036</i>	<i>0,032</i>	<i>0,315</i>	<i>0,315</i>
<i>Redosljed 6</i>	<i>0,007</i>	<i>0,368</i>	<i>0,041</i>	<i>0,368</i>

Dakle, relativno robusno rješenje je redosljed 5: 4–3–2–1. Ono u stvarnim vremenima 2 - 14, 17, 10, 5 još manje odstupa od optimalnog (za $98 - 95 = 3$ jedinica, odnosno za relativnu grešku $3/95 = 3,16\%$), nego što je odstupalo rješenje koje je dao stohastički pristup. Očito odabrani treći kriterij robusnosti je najbolji u ovom primjeru.

1.2. Robusni pristup

U nastavku zbog jednostavnijeg izražavanja promatramo probleme minimizacije, no analogno sve je provedivo i za probleme maksimizacije. Prema knjizi [KY97], u **robusnom pristupu** rješavanju problema minimizacije koristimo sljedeće oznake i pojmove:

- S - konačan skup scenarija,
- X - dopustivo rješenje (vektor vrijednosti varijabli odlučivanja),
- D^s - kombinacija vrijednosti parametara u scenariju s ,
- F^s - skup dopustivih rješenja u scenariju s ,
- $f(X, D^s)$ - vrijednost funkcije cilja za dopustivo rješenje X u scenariju s ,
- X_s^* - optimalno rješenje u scenariju s ,
- z^s - vrijednost funkcije cilja za optimalno rješenje (problema minimizacije) u scenariju s : $z^s = f(X_s^*, D^s) = \min_{X \in F^s} f(X, D^s)$.

Definicija 1.2 (prvi kriterij robusnosti). **Apsolutno robusno rješenje** X_A je ono koje među svim dopustivim rješenjima (problema minimizacije) minimizira maksimalnu vrijednost funkcije cilja nad svim scenarijima:

$$z_A = \max_{s \in S} f(X_A, D^s) = \min_{X \in \bigcap_{s \in S} F^s} \max_{s \in S} f(X, D^s).$$

Apsolutno robusno rješenje po svojoj prirodi je konzervativno i nastoji nas zaštititi od najgoreg slučaja. Rješenje je dobro tada kad nam nije stalo do optimalnosti, ali nam je stalo da funkcija cilja ni u najgorem slučaju ne prijeđe neku gornju granicu.

Definicija 1.3 (drugi kriterij robusnosti). **Devijantno robusno rješenje** X_D je ono koje među svim dopustivim rješenjima (problema minimizacije) minimizira maksimalni otklon vrijednosti funkcije cilja od optimalne vrijednosti nad svim scenarijima:

$$z_D = \max_{s \in S} (f(X_D, D^s) - f(X_s^*, D^s)) = \min_{X \in \bigcap_{s \in S} F^s} \max_{s \in S} (f(X, D^s) - f(X_s^*, D^s)).$$

Devijantno robusno rješenje polazi od pretpostavke da funkcija cilja može poprimati vrlo različite vrijednosti ovisno o scenariju pa nam nije važna apsolutna vrijednost funkcije cilja, nego njezin otklon od optimalne vrijednosti. Rješenje je dobro tada kad kvalitetu odluke mjerimo a-posteriori, dakle tada kad znamo koji scenarij je nastupio.

Definicija 1.4 (treći kriterij robusnosti). **Relativno robusno rješenje** X_R je ono koje među svim dopustivim rješenjima (problema minimizacije) minimizira maksimalni relativni otklon vrijednosti funkcije cilja od optimalne vrijednosti nad svim scenarijima:

$$z_R = \max_{s \in S} \frac{f(X_R, D^s) - f(X_s^*, D^s)}{f(X_s^*, D^s)} = \min_{X \in \bigcap_{s \in S} F^s} \max_{s \in S} \frac{f(X, D^s) - f(X_s^*, D^s)}{f(X_s^*, D^s)}.$$

Relativno robusno rješenje koristimo u sličnim situacijama kao i devijantno robusno rješenje, odnosno tada kad mislimo da je primjerenije da otklon od optimalne vrijednosti mjerimo relativno (u postotku), a ne apsolutno u jedinicama. Rješenje je opet dobro tada kad kvalitetu odluke mjerimo a-posteriori.

Tri kriterija robusnosti u pravilu polučuju drukčija robusna rješenja.

Pronalaženje robusnih rješenja formuliramo i kao rješavanje problema matematičkog programiranja:

$$(1.2) \quad \begin{array}{l} (RP)_{A\dots} \\ (RP)_{D\dots} \\ (RP)_{R\dots} \end{array} \left[\begin{array}{l} z_A = y \rightarrow \min \\ \text{uz uvjete:} \\ f(X, D^s) \leq y, \forall s \in S \quad , \\ X \in \bigcap_{s \in S} F^s \\ \\ z_D = y \rightarrow \min \\ \text{uz uvjete:} \\ f(X, D^s) \leq y + z^s, \forall s \in S \quad , \\ X \in \bigcap_{s \in S} F^s \\ \\ z_R = y \rightarrow \min \\ \text{uz uvjete:} \\ f(X, D^s) \leq (y + 1)z^s, \forall s \in S \quad . \\ X \in \bigcap_{s \in S} F^s \end{array} \right.$$

Prema definicijama 1.2, 1.3 i 1.4, robusni problemi $(RP)_A$, $(RP)_D$ i $(RP)_R$ imaju apsolutno, devijantno i relativno robusno rješenje z_A , z_D i z_R , redom. Pored vektora varijabli odlučivanja X uvedena je još jedna pomoćna varijabla y . Za svaki scenarij s najprije rješavamo odgovarajući standardni problem optimizacije. Tri matematička programa imaju sličnu strukturu pa ih općenito formuliramo kao jedan program:

$$RP\dots \left[\begin{array}{l} z = y \rightarrow \min \\ \text{uz uvjete:} \\ g_s(X) \leq y, \forall s \in S \quad , \\ X \in \bigcap_{s \in S} F^s \end{array} \right. \quad g_s(X) = \begin{cases} f(X, D^s) & \text{za } (RP)_A \\ f(X, D^s) - z^s & \text{za } (RP)_D \\ f(X, D^s)/z^s - 1 & \text{za } (RP)_R \end{cases}$$

Matematički program RP nazivamo **robusni program** diskretne optimizacije.

Primjere robusnih varijanti nekih problema optimizacije kao i rezultate o njihovoj složenosti nalazimo u knjizi [KY97].

2. Robusni problemi toka

Neka je $G = (V, A)$ mreža (usmjereni graf) gdje su:

- $V = \{v_i | i = 1, 2, \dots, n\}$ skup vrhova (čvorova),
- $A = \{a_{ij} := (v_i, v_j) | i, j = 1, 2, \dots, n, i \neq j\}$ skup lukova.

Vrhove v_1 i v_n nazivamo *izvor* i *ponor*. Neka su u_{ij} *kapacitet*, c_{ij} *jedinična cijena* (cijena jedne jedinice toka, dok je cijena toka nekog luka jednaka umnošku jedinične cijene s vrijednošću toka tog luka) i x_{ij} *tok* pridruženi luku a_{ij} . Neka je F zadana *vrijednost toka*. Pretpostavljamo da su svi ulazni podaci u_{ij} , c_{ij} , x_{ij} i F cjelobrojni te da su sve jedinične cijene c_{ij} nenegativne. Ograničenje na cjelobrojnost nije veliko smanjenje općenitosti, a ima smisla tada kad se modelira neka diskretna pojava, naprimjer prijevoz komadne robe.

Standardni (klasični) problem toka minimalne cijene glasi: pronaći dopustivi tok od izvora do ponora s najmanjom cijenom pri čemu poštujemo zakone održanja toka u čvorovima i ograničenja kapaciteta po lukovima. Problem formuliramo kao:

$$(2.1) \quad MCF \dots \left[\begin{array}{l} z = \sum_{(v_i, v_j) \in A} c_{ij} x_{ij} \rightarrow \min \\ \text{uz uvjete:} \\ \sum_{\substack{v_j \in V \\ (v_i, v_j) \in A}} x_{ij} - \sum_{\substack{v_j \in V \\ (v_j, v_i) \in A}} x_{ji} = \begin{cases} F & \text{ako je } v_i = v_1 \\ -F & \text{ako je } v_i = v_n, \forall v_i \in V \\ 0 & \text{inače} \end{cases} \\ 0 \leq x_{ij} \leq u_{ij}, \forall (v_i, v_j) \in A \\ x_{ij} \in \mathbb{Z}_{\geq 0}, \forall (v_i, v_j) \in A \end{array} \right.$$

Napomena 2.1. *Primijetimo da nema potrebe promatrati mreže s antiparalelnim lukovima pozitivnog toka jer tokove možemo poništiti u tom slučaju.*

Ovako zadani problem uključuje u sebi i problem traženja maksimalnog toka minimalne cijene:

- izračunamo unaprijed maksimalni tok pa
- zadamo F kao vrijednost maksimalnog toka.

U nekoj literaturi, npr. u knjigama [BJS10, Jun13], problem toka minimalne cijene je definiran na drukčiji način tako da dozvoljava više izvora i ponora. U takvoj formulaciji, svakom vrhu v_i je pridružen **balans** b_i koji predstavlja dostupnu ponudu toka (ako je $b_i > 0$) ili potrebnu potražnju za tokom (ako je $b_i < 0$). Vrh v_i takav da je $b_i > 0$ nazivamo **proizvođač**, a vrh v_i takav da je $b_i < 0$ nazivamo **potrošač**. Svaki proizvođač je izvor, a svaki potrošač je ponor. Prema tome je promijenjen zakon održanja toka u čvorovima. Pretpostavljamo da je $\sum_{v_i \in V} b_i = 0$, tj. ukupna ponuda je jednaka ukupnoj potražnji. Iako naizgled općenitija, formulacija se jednostavno reducira na standardnu. Redukciju dobivamo tako da uvedemo umjetni izvor i umjetni ponor, i dodamo lukove odgovarajućeg kapaciteta od umjetnog izvora do svakog proizvođača i od svakog potrošača do umjetnog ponora.

Osim problema toka minimalne cijene, u standardnoj literaturi također se proučava problem maksimalnog toka. Lukovima a_{ij} pridružujemo kapacitet u_{ij} i tok x_{ij} . Brojevima x_{ij} zadajemo dopustivi tok kao funkciju koja poštuje zakone održanja toka u čvorovima i ograničenja kapaciteta po lukovima te prebacuje vrijednost toka F iz izvora u ponor.

Standardni (klasični) problem maksimalnog toka glasi: pronaći dopustivi tok od izvora do ponora s najvećom vrijednošću toka pri čemu poštuju zakone održanja toka u čvorovima i ograničenja kapaciteta po lukovima. Problem formuliramo kao:

$$(2.2) \quad MF... \left[\begin{array}{l} z = F \rightarrow \max \\ \text{uz uvjete:} \\ \sum_{\substack{v_j \in V \\ (v_i, v_j) \in A}} x_{ij} - \sum_{\substack{v_j \in V \\ (v_j, v_i) \in A}} x_{ji} = \begin{cases} F & \text{ako je } v_i = v_1 \\ -F & \text{ako je } v_i = v_n, \forall v_i \in V \\ 0 & \text{inače} \end{cases} \\ 0 \leq x_{ij} \leq u_{ij}, \forall (v_i, v_j) \in A \\ x_{ij} \in \mathbb{Z}_{\geq 0}, \forall (v_i, v_j) \in A \end{array} \right. .$$

2.1. Robusni problem toka minimalne cijene

Za onako formulirani standardni problem 2.1 promatramo robusne varijante te koristimo sljedeće oznake i pojmove:

- S - konačan skup scenarija u kojem svaki scenarij predstavlja drukčije zadane jedinične cijene lukova,
- c_{ij}^s - nenegativna jedinična cijena luka $(v_i, v_j) \in A$ u scenariju $s \in S$,
- z^s - vrijednost funkcije cilja za optimalno rješenje u scenariju $s \in S$.

Apsolutno robusni problem toka minimalne cijene glasi: pronaći tok od izvora do ponora kod kojeg je maksimalna cijena po svim scenarijima minimalna. Problem formuliramo kao:

$$(2.3) \quad (RMCF)_{A...} \left[\begin{array}{l} z_A = \left(\max_{s \in S} \sum_{(v_i, v_j) \in A} c_{ij}^s x_{ij} \right) \rightarrow \min \\ \text{uz uvjete:} \\ \sum_{\substack{v_j \in V \\ (v_i, v_j) \in A}} x_{ij} - \sum_{\substack{v_j \in V \\ (v_j, v_i) \in A}} x_{ji} = \begin{cases} F & \text{ako je } v_i = v_1 \\ -F & \text{ako je } v_i = v_n, \forall v_i \in V \\ 0 & \text{inače} \end{cases} \\ 0 \leq x_{ij} \leq u_{ij}, \forall (v_i, v_j) \in A \\ x_{ij} \in \mathbb{Z}_{\geq 0}, \forall (v_i, v_j) \in A \end{array} \right.$$

Devijantno robusni problem toka minimalne cijene glasi: pronaći tok od izvora do ponora kod kojeg je maksimalni otklon od optimalne cijene po svim scenarijima minimalan. Problem formuliramo kao:

$$(2.4) \quad (RMCF)_{D...} \left[\begin{array}{l} z_D = \left(\max_{s \in S} \sum_{(v_i, v_j) \in A} c_{ij}^s x_{ij} - z^s \right) \rightarrow \min \\ \text{uz uvjete:} \\ \sum_{\substack{v_j \in V \\ (v_i, v_j) \in A}} x_{ij} - \sum_{\substack{v_j \in V \\ (v_j, v_i) \in A}} x_{ji} = \begin{cases} F & \text{ako je } v_i = v_1 \\ -F & \text{ako je } v_i = v_n, \forall v_i \in V \\ 0 & \text{inače} \end{cases} \\ 0 \leq x_{ij} \leq u_{ij}, \forall (v_i, v_j) \in A \\ x_{ij} \in \mathbb{Z}_{\geq 0}, \forall (v_i, v_j) \in A \end{array} \right.$$

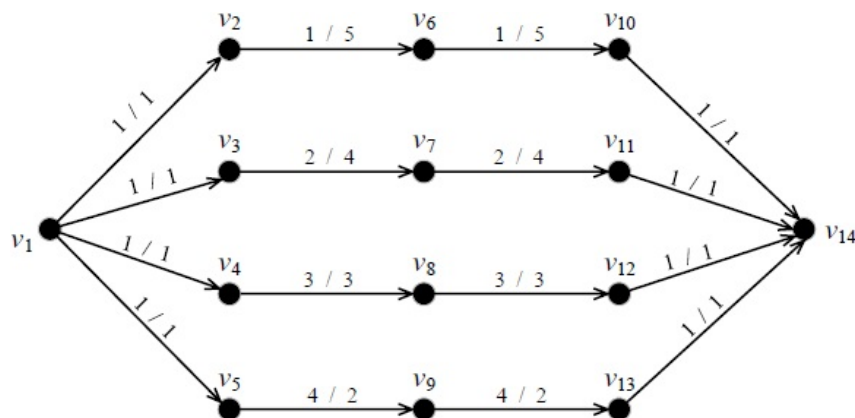
Relativno robusni problem toka minimalne cijene glasi: pronaći tok od izvora do ponora kod kojeg je maksimalni relativni otklon od optimalne cijene po svim scenarijima minimalan. Problem formuliramo kao:

$$(2.5) \quad (RMCF)_{R\dots} \quad \left[\begin{array}{l} z_R = \left(\max_{s \in S} \frac{\sum_{(v_i, v_j) \in A} c_{ij}^s x_{ij} - z^s}{z^s} \right) \rightarrow \min \\ \text{uz uvjete:} \\ \sum_{\substack{v_j \in V \\ (v_i, v_j) \in A}} x_{ij} - \sum_{\substack{v_j \in V \\ (v_j, v_i) \in A}} x_{ji} = \begin{cases} F & \text{ako je } v_i = v_1 \\ -F & \text{ako je } v_i = v_n, \forall v_i \in V \\ 0 & \text{inače} \end{cases} \\ 0 \leq x_{ij} \leq u_{ij}, \forall (v_i, v_j) \in A \\ x_{ij} \in \mathbb{Z}_{\geq 0}, \forall (v_i, v_j) \in A \end{array} \right.$$

Primjer 2.2. Neka je zadana maksimalna vrijednost toka $F = 2$. Neka je broj scenarija $|S| = 2$ te broj vrhova $|V| = 14$ i broj lukova $|A| = 16$. Neka je slojevita mreža $G^l = (V, A^l)$ takva da:

- (1) skup vrhova V je oblika $V = \{v_i | i = 1, 2, \dots, 14\}$,
- (2) skup lukova A^l je oblika $A^l = \{a_{1,i}, a_{j,14}, a_{k,k+4} | i = 2, \dots, 5, j = 10, \dots, 13, k = 2, 3, \dots, 9\}$,
- (3) kapaciteti lukova u_{ij} su jednaki 1,
- (4) jedinične cijene lukova c_{ij}^1 / c_{ij}^2 za oba scenarija su jednake oznakama lukova na slici.

Neka je vrh v_1 izvor, a vrh v_{14} ponor. Tada se slojevita mreža G^l sastoji od četiri različita puta koja povezuju izvor i ponor te koja imaju kapacitet jednak 1. Kako su kapaciteti lukova 1, a zadana vrijednost toka je 2, to moramo poslati od izvora do ponora dvije jedinice toka duž dva različita puta, tj. svaki dopustivi tok je kombinacija točno dva jedinična toka. Drugim riječima, imamo šest mogućnosti slanja obje jedinice toka, tj. imamo šest kombinacija parova jediničnih tokova.



SLIKA 2.1. Jedinične cijene lukova u slojevitoj mreži za oba scenarija.

Neka su $\varphi_1, \varphi_2, \varphi_3$ i φ_4 jedinični tokovi duž puteva $(v_1, v_2, v_6, v_{10}, v_{14}), (v_1, v_3, v_7, v_{11}, v_{14}), (v_1, v_4, v_8, v_{12}, v_{14})$ i $(v_1, v_5, v_9, v_{13}, v_{14})$, redom. Tada su $4 / 12, 6 / 10, 8 / 8$ i $10 / 6$ cijene jediničnih tokova $\varphi_1, \varphi_2, \varphi_3$ i φ_4 , redom, za oba scenarija. Neka su $\mathbf{x}_1, \mathbf{x}_2, \mathbf{x}_3, \mathbf{x}_4, \mathbf{x}_5$ i \mathbf{x}_6 svi dopustivi tokovi - šest kombinacija parova jediničnih tokova $(\varphi_1, \varphi_2), (\varphi_1, \varphi_3), (\varphi_1, \varphi_4), (\varphi_2, \varphi_3), (\varphi_2, \varphi_4)$ i (φ_3, φ_4) , redom. Tada su $10 / 22, 12 / 20, 14 / 18, 14 / 18, 16 / 16$ i $18 / 14$ cijene dopustivih tokova $\mathbf{x}_1, \mathbf{x}_2, \mathbf{x}_3, \mathbf{x}_4, \mathbf{x}_5$ i \mathbf{x}_6 , redom, za oba scenarija.

Optimalno rješenje z^1 u prvom scenariju je za dopustivi tok \mathbf{x}_1

$$z^1 = \min\{10, 12, 14, 14, 16, 18\} = 10.$$

Optimalno rješenje z^2 u drugom scenariju je za dopustivi tok \mathbf{x}_6

$$z^2 = \min\{22, 20, 18, 18, 16, 14\} = 14.$$

Apsolutno robusno rješenje z_A je za dopustivi tok \mathbf{x}_5

$$\begin{aligned} z_A &= \min\{\max\{10, 22\}, \max\{12, 20\}, \max\{14, 18\}, \\ &\quad \max\{14, 18\}, \max\{16, 16\}, \max\{18, 14\}\} \\ &= \min\{22, 20, 18, 18, 16, 18\} = 16. \end{aligned}$$

Devijantno robusno rješenje z_D je za dopustive tokove \mathbf{x}_3 ili \mathbf{x}_4

$$\begin{aligned} z_D &= \min\{\max\{10 - 10, 22 - 14\}, \max\{12 - 10, 20 - 14\}, \\ &\quad \max\{14 - 10, 18 - 14\}, \max\{14 - 10, 18 - 14\}, \\ &\quad \max\{16 - 10, 16 - 14\}, \max\{18 - 10, 14 - 14\}\} \\ &= \min\{8, 6, 4, 4, 6, 8\} = 4. \end{aligned}$$

Relativno robusno rješenje z_R je za dopustive tokove \mathbf{x}_3 ili \mathbf{x}_4

$$\begin{aligned} z_R &= \min\left\{\max\left\{\frac{10 - 10}{10}, \frac{22 - 14}{14}\right\}, \max\left\{\frac{12 - 10}{10}, \frac{20 - 14}{14}\right\}, \right. \\ &\quad \max\left\{\frac{14 - 10}{10}, \frac{18 - 14}{14}\right\}, \max\left\{\frac{14 - 10}{10}, \frac{18 - 14}{14}\right\} \\ &\quad \left. \max\left\{\frac{16 - 10}{10}, \frac{16 - 14}{14}\right\}, \max\left\{\frac{18 - 10}{10}, \frac{14 - 14}{14}\right\}\right\} \\ &= \min\left\{\frac{8}{14}, \frac{6}{14}, \frac{4}{10}, \frac{4}{10}, \frac{6}{10}, \frac{8}{10}\right\} = \frac{4}{10} = 0,4. \end{aligned}$$

U ovom primjeru, robusna rješenja su različita od optimalnih rješenja u oba scenarija, ali i sama robusna rješenja su različita međusobno, tj. neki kriteriji robusnosti polučuju drukčija robusna rješenja.

2.2. Poopćeni robusni problem toka minimalne cijene

Robusne varijante problema toka minimalne cijene poopćavamo tako da dopuštamo ne samo promjene cijena, nego i promjene kapaciteta te koristimo sljedeće oznake i pojmove:

- S - konačan skup scenarija u kojem svaki scenarij predstavlja drukčije zadane jedinične cijene i kapacitete lukova,
- c_{ij}^s - nenegativna jedinična cijena luka $(v_i, v_j) \in A$ u scenariju $s \in S$,
- u_{ij}^s - nenegativni kapacitet luka $(v_i, v_j) \in A$ u scenariju $s \in S$,
- z^s - vrijednost funkcije cilja za optimalno rješenje u scenariju $s \in S$, ovisno o u_{ij}^s i možda nedopustivo za neki drugi scenarij.

Poopćeni apsolutno robusni problem toka minimalne cijene formuliramo kao:

$$(2.6) \quad (GRMCF)_{A\dots} \left[\begin{array}{l} z_A = \left(\max_{s \in S} \sum_{(v_i, v_j) \in A} c_{ij}^s x_{ij} \right) \rightarrow \min \\ \text{uz uvjete:} \\ \sum_{\substack{v_j \in V \\ (v_i, v_j) \in A}} x_{ij} - \sum_{\substack{v_j \in V \\ (v_j, v_i) \in A}} x_{ji} = \begin{cases} F & \text{ako je } v_i = v_1 \\ -F & \text{ako je } v_i = v_n, \forall v_i \in V \\ 0 & \text{inače} \end{cases} \\ 0 \leq x_{ij} \leq \min_{s \in S} u_{ij}^s, \forall (v_i, v_j) \in A \\ x_{ij} \in \mathbb{Z}_{\geq 0}, \forall (v_i, v_j) \in A \end{array} \right.$$

Poopćeni devijantno robusni problem toka minimalne cijene formuliramo kao:

$$(2.7) \quad (GRMCF)_{D\dots} \left[\begin{array}{l} z_D = \left(\max_{s \in S} \sum_{(v_i, v_j) \in A} c_{ij}^s x_{ij} - z^s \right) \rightarrow \min \\ \text{uz uvjete:} \\ \sum_{\substack{v_j \in V \\ (v_i, v_j) \in A}} x_{ij} - \sum_{\substack{v_j \in V \\ (v_j, v_i) \in A}} x_{ji} = \begin{cases} F & \text{ako je } v_i = v_1 \\ -F & \text{ako je } v_i = v_n, \forall v_i \in V \\ 0 & \text{inače} \end{cases} \\ 0 \leq x_{ij} \leq \min_{s \in S} u_{ij}^s, \forall (v_i, v_j) \in A \\ x_{ij} \in \mathbb{Z}_{\geq 0}, \forall (v_i, v_j) \in A \end{array} \right.$$

Poopćeni relativno robusni problem toka minimalne cijene formuliramo kao:

$$(2.8) \quad (GRMCF)_{R\dots} \left[\begin{array}{l} z_R = \left(\max_{s \in S} \frac{\sum_{(v_i, v_j) \in A} c_{ij}^s x_{ij} - z^s}{z^s} \right) \rightarrow \min \\ \text{uz uvjete:} \\ \sum_{\substack{v_j \in V \\ (v_i, v_j) \in A}} x_{ij} - \sum_{\substack{v_j \in V \\ (v_j, v_i) \in A}} x_{ji} = \begin{cases} F & \text{ako je } v_i = v_1 \\ -F & \text{ako je } v_i = v_n, \forall v_i \in V \\ 0 & \text{inače} \end{cases} \\ 0 \leq x_{ij} \leq \min_{s \in S} u_{ij}^s, \forall (v_i, v_j) \in A \\ x_{ij} \in \mathbb{Z}_{\geq 0}, \forall (v_i, v_j) \in A \end{array} \right.$$

Primijetimo da u sve tri varijante robusno rješenje tražimo samo među tokovima koji su dopustivi za sve scenarije.

Primijetimo i da je varijanta $(GRMCF)_A$ jednaka varijanti $(RMCF)_A$, tj. primjerak problema $(GRMCF)_A$ polinomijalno svodimo na primjerak problema $(RMCF)_A$ s istim kapacitetima u svim scenarijima:

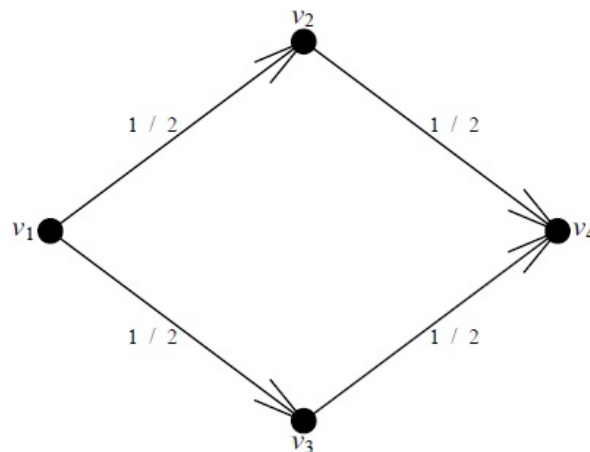
$$u'_{ij} := \min_{s \in S} u_{ij}^s, \forall (v_i, v_j) \in A.$$

Međutim, varijante $(GRMCF)_D$ i $(GRMCF)_R$ mogu se razlikovati od varijanti $(RMCF)_D$ i $(RMCF)_R$ s istim kapacitetima u'_{ij} . Naime, optimalna cijena z^s za scenarij s ima veću slobodu formiranja budući da ovisi ne samo o jediničnim cijenama c_{ij}^s , nego i o kapacitetima u_{ij}^s . Drugim riječima, u scenariju s eventualno povećanje kapaciteta nekih lukova može se iskoristiti da bi se formirao tok s još manjom cijenom.

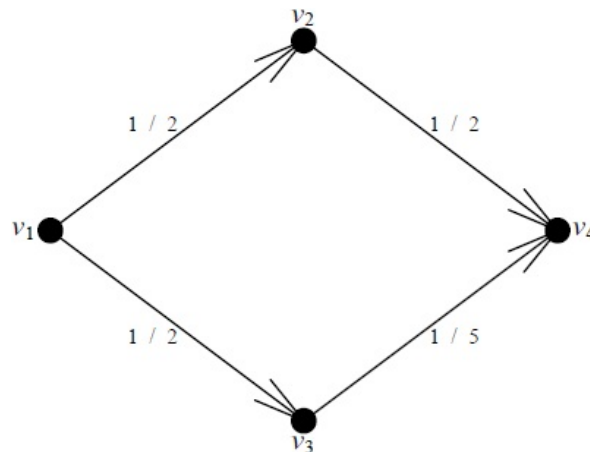
Primjer 2.3. *Neka je zadana maksimalna vrijdnost toka $F = 2$. Neka je broj scenarija $|S| = 2$ te broj vrhova $|V| = 4$ i broj lukova $|A| = 4$. Neka je slojevita mreža $G^l = (V, A^l)$ takva da:*

- (1) skup vrhova V je oblika
 $V = \{v_1, v_2, v_3, v_4\} = \{1, 2, 3, 4\}$,
- (2) skup lukova A^l je oblika
 $A^l = \{a_{12}, a_{13}, a_{24}, a_{34}\} = \{(1, 2), (1, 3), (2, 4), (3, 4)\}$,
- (3) skup kapaciteta lukova U^1 u prvom scenariju je oblika
 $U^1 = \{u_{12}^1, u_{13}^1, u_{24}^1, u_{34}^1\} = \{1, 1, 1, 1\}$,
- (4) skup kapaciteta lukova U^2 u drugom scenariju je oblika
 $U^2 = \{u_{12}^2, u_{13}^2, u_{24}^2, u_{34}^2\} = \{2, 2, 2, 2\}$,
- (5) skup jediničnih cijena lukova C^1 u prvom scenariju je oblika
 $C^1 = \{c_{12}^1, c_{13}^1, c_{24}^1, c_{34}^1\} = \{1, 1, 1, 1\}$,
- (6) skup jediničnih cijena lukova C^2 u drugom scenariju je oblika
 $C^2 = \{c_{12}^2, c_{13}^2, c_{24}^2, c_{34}^2\} = \{2, 2, 2, 5\}$.

Tada je skup minimalnih kapaciteta lukova U' za oba scenarija oblika
 $U' = \{u'_{12}, u'_{13}, u'_{24}, u'_{34}\} = \{1, 1, 1, 1\} = U^1$.



SLIKA 2.2. Kapaciteti lukova u slojevitoj mreži za oba scenarija.



SLIKA 2.3. Jedinične cijene lukova u slojevitoj mreži za oba scenarija.

Kako su kapaciteti lukova u prvom scenariju 1, a zadana vrijednost toka je 2, to moramo poslati od izvora do ponora jednu jedinicu toka duž puta (v_1, v_2, v_4) i drugu jedinicu toka duž puta (v_1, v_3, v_4) . S druge strane, kako su kapaciteti lukova u drugom scenariju 2, to dodatno možemo poslati od izvora do ponora obje jedinice toka duž puta (v_1, v_2, v_4) ili (v_1, v_3, v_4) . Drugim riječima, u prvom scenariju imamo samo jednu mogućnost slanja obje jedinice toka, a u drugom scenariju tri mogućnosti.

Optimalna rješenja z^1 i z^2 u prvom i drugom scenariju su

$$\begin{aligned}
 z^1 &= c_{1,2}^1 \cdot x_{1,2} + c_{1,3}^1 \cdot x_{1,3} + c_{2,4}^1 \cdot x_{2,4} + c_{3,4}^1 \cdot x_{3,4} \\
 &= 1 \cdot 1 + 1 \cdot 1 + 1 \cdot 1 + 1 \cdot 1 = 4, \\
 z^2 &= \min\{c_{1,2}^2 \cdot x_{1,2} + c_{1,3}^2 \cdot x_{1,3} + c_{2,4}^2 \cdot x_{2,4} + c_{3,4}^2 \cdot x_{3,4}, \\
 &\quad c_{1,2}^2 \cdot x_{1,2} + c_{2,4}^2 \cdot x_{2,4}, c_{1,3}^2 \cdot x_{1,3} + c_{3,4}^2 \cdot x_{3,4}\} \\
 &= \min\{2 \cdot 1 + 2 \cdot 1 + 2 \cdot 1 + 5 \cdot 1, 2 \cdot 2 + 2 \cdot 2, 2 \cdot 2 + 5 \cdot 2\} \\
 &= \min\{11, 8, 14\} = 8.
 \end{aligned}$$

Međutim, ako se ograničimo na skup minimalnih kapaciteta lukova U' , onda je optimalno rješenje z' u drugom scenariju

$$z' = c_{1,2}^2 \cdot x_{1,2} + c_{1,3}^2 \cdot x_{1,3} + c_{2,4}^2 \cdot x_{2,4} + c_{3,4}^2 \cdot x_{3,4} = 2 \cdot 1 + 2 \cdot 1 + 2 \cdot 1 + 5 \cdot 1 = 11.$$

Dakle, optimalna cijena z^2 za scenarij 2 ima veću slobodu formiranja (u odnosu na z') budući da ovisi ne samo o jediničnim cijenama C^2 , nego i o kapacitetima U^2 . Drugim riječima, u scenariju 2 povećanje kapaciteta lukova (u odnosu na U') iskorišteno je da bi se formirao tok s još manjom cijenom.

Kako se optimalna rješenja z^2 i z' razlikuju, to se rješenja poopćenih varijanti problema $(GRMCF)_D$ i $(GRMCF)_R$ mogu razlikovati od rješenja običnih varijanti problema $(RMCF)_D$ i $(RMCF)_R$, redom, s istim kapacitetima U' u svim scenarijima.

Kako su minimalni kapaciteti lukova za oba scenarija 1, a zadana vrijednost toka je 2, to opet moramo poslati od izvora do ponora jednu jedinicu toka duž puta (v_1, v_2, v_4) i drugu jedinicu toka duž puta (v_1, v_3, v_4) . Drugim riječima, za oba scenarija opet imamo samo jednu mogućnost slanja obje jedinice toka pa je rješavanje (poopćenih) robusnih varijanti problema toka minimalne cijene gotovo trivijalno.

Apsolutno robusno rješenje z_A je

$$z_A = \min\{\max\{4, 11\}\} = 11.$$

Poopćeno apsolutno robusno rješenje z_{AG} je

$$z_{AG} = \min\{\max\{4, 11\}\} = 11.$$

Devijantno robusno rješenje z_D je

$$z_D = \min\{\max\{4 - 4, 11 - 11\}\} = 0.$$

Poopćeno devijantno robusno rješenje z_{DG} je

$$z_{DG} = \min\{\max\{4 - 4, 11 - 8\}\} = 3.$$

Relativno robusno rješenje z_R je

$$z_R = \min\{\max\left\{\frac{4 - 4}{4}, \frac{11 - 11}{11}\right\}\} = 0.$$

Poopćeno relativno robusno rješenje z_{RG} je

$$z_{RG} = \min\{\max\left\{\frac{4 - 4}{4}, \frac{11 - 8}{8}\right\}\} = \frac{3}{8} = 0,375.$$

Zaista, rješenja poopćenih varijanti problema $(GRMCF)_D$ i $(GRMCF)_R$ se razlikuju od rješenja običnih varijanti problema $(RMCF)_D$ i $(RMCF)_R$, redom, s istim kapacitetima U' u svim scenarijima.

2.3. Relaksirani robusni problem toka minimalne cijene

Robusne varijante problema toka minimalne cijene relaksiramo tako da izostavimo uvjet cjelobrojnosti cjelobrojnih varijabli odlučivanja te koristimo sljedeće oznake i pojmove:

- S - konačan skup scenarija u kojem svaki scenarij predstavlja drukčije zadane jedinične cijene lukova,
- c_{ij}^s - nenegativna jedinična cijena luka $(v_i, v_j) \in A$ u scenariju $s \in S$,
- z^s - vrijednost funkcije cilja za optimalno rješenje u scenariju $s \in S$.

Dakle, relaksirani robusni problem toka je problem s istim varijablama odlučivanja, istim parametrima, istom funkcijom cilja i istim ograničenjima kao i formulirani robusni problem toka, jedino je izostavljen uvjet cjelobrojnosti varijabli odlučivanja.

Relaksirani apsolutno robusni problem toka minimalne cijene formuliramo kao:

$$(2.9) \quad (RRMCF)_{A\dots} \left[\begin{array}{l} z_A = \left(\max_{s \in S} \sum_{(v_i, v_j) \in A} c_{ij}^s x_{ij} \right) \rightarrow \min \\ \text{uz uvjete:} \\ \sum_{\substack{v_j \in V \\ (v_i, v_j) \in A}} x_{ij} - \sum_{\substack{v_j \in V \\ (v_j, v_i) \in A}} x_{ji} = \begin{cases} F & \text{ako je } v_i = v_1 \\ -F & \text{ako je } v_i = v_n, \forall v_i \in V \\ 0 & \text{inače} \end{cases} \\ 0 \leq x_{ij} \leq u_{ij}, \forall (v_i, v_j) \in A \end{array} \right.$$

Relaksirani devijantno robusni problem toka minimalne cijene formuliramo kao:

$$(2.10) \quad (RRMCF)_{D\dots} \left[\begin{array}{l} z_D = \left(\max_{s \in S} \sum_{(v_i, v_j) \in A} c_{ij}^s x_{ij} - z^s \right) \rightarrow \min \\ \text{uz uvjete:} \\ \sum_{\substack{v_j \in V \\ (v_i, v_j) \in A}} x_{ij} - \sum_{\substack{v_j \in V \\ (v_j, v_i) \in A}} x_{ji} = \begin{cases} F & \text{ako je } v_i = v_1 \\ -F & \text{ako je } v_i = v_n, \forall v_i \in V \\ 0 & \text{inače} \end{cases} \\ 0 \leq x_{ij} \leq u_{ij}, \forall (v_i, v_j) \in A \end{array} \right.$$

Relaksirani relativno robusni problem toka minimalne cijene formuliramo kao:

$$(2.11) \quad (RRMCF)_{R\dots} \quad \left[\begin{array}{l} z_R = \left(\max_{s \in S} \frac{\sum_{(v_i, v_j) \in A} c_{ij}^s x_{ij} - z^s}{z^s} \right) \rightarrow \min \\ \text{uz uvjete:} \\ \sum_{\substack{v_j \in V \\ (v_i, v_j) \in A}} x_{ij} - \sum_{\substack{v_j \in V \\ (v_j, v_i) \in A}} x_{ji} = \begin{cases} F & \text{ako je } v_i = v_1 \\ -F & \text{ako je } v_i = v_n, \forall v_i \in V \\ 0 & \text{inače} \end{cases} \\ 0 \leq x_{ij} \leq u_{ij}, \forall (v_i, v_j) \in A \end{array} \right.$$

Relaksirani problem je problem običnog linearnog programiranja, a rješavamo ga puno jednostavnije od istovjetnog cjelobrojnog problema.

U slučaju problema minimizacije relaksirano rješenje daje donju ogradu za cjelobrojno rješenje. Naime, relaksirani problem ima veću slobodu rješavanja budući da su varijable odlučivanja necjelobrojne pa je skup relaksiranih rješenja nadskup skupa dopustivih cjelobrojnih rješenja. Drugim riječima, relaksirane varijante bolje minimiziraju funkciju cilja.

Primjer 2.4. Prema primjeru 2.2, relativno robusno rješenje z_R je 0,4 za dopustive tokove \mathbf{x}_3 ili \mathbf{x}_4 .

Neka su φ_2 i φ_3 i dalje jedinični tokovi (s vrijednostima $f_2 = f_3 = 1$), a φ_1 i φ_4 nadalje tokovi s vrijednostima $f_1 = 0,77778$ i $f_4 = 0,22222$. Tada su $3,11112 / 9,33336$, $6 / 10$, $8 / 8$ i $2,2222 / 1,33332$ cijene tokova φ_1 , φ_2 , φ_3 i φ_4 za oba scenarija. Neka je \mathbf{x}_7 dopustivi tok - kombinacija trojke tokova $(\varphi_1, \varphi_3, \varphi_4)$. Tada je $13,33332 / 18,66668$ cijena dopustivog toka \mathbf{x}_7 za oba scenarija.

Relaksirano relativno robusno rješenje z_{R_R} je za dopustivi tok \mathbf{x}_7

$$\begin{aligned} z_{R_R} &= \min\{\dots, \max\left\{\frac{13,33332 - 10}{10}, \frac{18,66668 - 14}{14}\right\}, \dots\} \\ &= \min\left\{\dots, \frac{4,66668}{14}, \dots\right\} = \frac{4,66668}{14} = 0,33333. \end{aligned}$$

U ovom primjeru, rješenje relaksirane varijante problema $(RRMCF)_R$ je manje od rješenja obične varijante problema $(RMCF)_R$ iz primjera 2.2, tj. relaksirano rješenje daje donju ogradu za cjelobrojno rješenje.

Dakle, relaksirani problem ima veću slobodu rješavanja (u odnosu na cjelobrojni problem) budući da su varijable odlučivanja necjelobrojne pa je skup relaksiranih rješenja nadskup skupa dopustivih cjelobrojnih rješenja. Drugim riječima, relaksirana varijanta problema $(RRMCF)_R$ bolje minimizira funkciju cilja (u odnosu na običnu varijantu problema $(RMCF)_R$).

2.4. Robusni problem maksimalnog toka

Za onako formulirani standardni problem 2.2 promatramo robusne varijante te koristimo sljedeće oznake i pojmove:

- S - konačan skup scenarija u kojem svaki scenarij predstavlja drukčije zadane kapacitete lukova,
- u_{ij}^s - nenegativni kapacitet luka $(v_i, v_j) \in A$ u scenariju $s \in S$,
- z^s - vrijednost funkcije cilja za optimalno rješenje u scenariju $s \in S$.

Apsolutno robusni problem maksimalnog toka glasi: pronaći tok od izvora do ponora kod kojeg je minimalna vrijednost toka po svim scenarijima maksimalna. Problem formuliramo kao:

$$(2.12) \quad (RMF)_{A\dots} \left[\begin{array}{l} z_A = \left(\min_{s \in S} F \right) \rightarrow \max \\ \text{uz uvjete:} \\ \sum_{\substack{v_j \in V \\ (v_i, v_j) \in A}} x_{ij} - \sum_{\substack{v_j \in V \\ (v_j, v_i) \in A}} x_{ji} = \begin{cases} F & \text{ako je } v_i = v_1 \\ -F & \text{ako je } v_i = v_n, \forall v_i \in V \\ 0 & \text{inače} \end{cases} \\ 0 \leq x_{ij} \leq \min_{s \in S} u_{ij}^s, \forall (v_i, v_j) \in A \\ x_{ij} \in \mathbb{Z}_{\geq 0}, \forall (v_i, v_j) \in A \end{array} \right.$$

Devijantno robusni problem maksimalnog toka glasi: pronaći tok od izvora do ponora kod kojeg je maksimalni otklon od optimalne vrijednosti toka po svim scenarijima minimalan. Problem formuliramo kao:

$$(2.13) \quad (RMF)_{D\dots} \left[\begin{array}{l} z_D = \left(\max_{s \in S} z^s - F \right) \rightarrow \min \\ \text{uz uvjete:} \\ \sum_{\substack{v_j \in V \\ (v_i, v_j) \in A}} x_{ij} - \sum_{\substack{v_j \in V \\ (v_j, v_i) \in A}} x_{ji} = \begin{cases} F & \text{ako je } v_i = v_1 \\ -F & \text{ako je } v_i = v_n, \forall v_i \in V \\ 0 & \text{inače} \end{cases} \\ 0 \leq x_{ij} \leq \min_{s \in S} u_{ij}^s, \forall (v_i, v_j) \in A \\ x_{ij} \in \mathbb{Z}_{\geq 0}, \forall (v_i, v_j) \in A \end{array} \right.$$

Relativno robusni problem maksimalnog toka glasi: pronaći tok od izvora do ponora kod kojeg je maksimalni relativni otklon od optimalne vrijednosti toka po svim scenarijima minimalan. Problem formuliramo kao:

$$(2.14) \quad (RMF)_R \dots \left[\begin{array}{l} z_R = \left(\max_{s \in S} \frac{z^s - F}{z^s} \right) \rightarrow \min \\ \text{uz uvjete:} \\ \sum_{\substack{v_j \in V \\ (v_i, v_j) \in A}} x_{ij} - \sum_{\substack{v_j \in V \\ (v_j, v_i) \in A}} x_{ji} = \begin{cases} F & \text{ako je } v_i = v_1 \\ -F & \text{ako je } v_i = v_n, \forall v_i \in V \\ 0 & \text{inače} \end{cases} \\ 0 \leq x_{ij} \leq \min_{s \in S} u_{ij}^s, \forall (v_i, v_j) \in A \\ x_{ij} \in \mathbb{Z}_{\geq 0}, \forall (v_i, v_j) \in A \end{array} \right.$$

Poteškoća je u tome što skup dopustivih rješenja nije isti za sve scenarije. Zato se ograničavamo na ona rješenja koja su istovremeno dopustiva za sve scenarije, tj. zadovoljavaju $0 \leq x_{ij} \leq u_{ij}^s$ za sve $s \in S$. Drugim riječima,

$$0 \leq x_{ij} \leq \min_{s \in S} u_{ij}^s.$$

Neka je

$$u'_{ij} := \min_{s \in S} u_{ij}^s.$$

Pomoćni standardni (klasični) problem maksimalnog toka formuliramo kao:

$$(2.15) \quad MF' \dots \left[\begin{array}{l} z = F \rightarrow \max \\ \text{uz uvjete:} \\ \sum_{\substack{v_j \in V \\ (v_i, v_j) \in A}} x_{ij} - \sum_{\substack{v_j \in V \\ (v_j, v_i) \in A}} x_{ji} = \begin{cases} F & \text{ako je } v_i = v_1 \\ -F & \text{ako je } v_i = v_n, \forall v_i \in V \\ 0 & \text{inače} \end{cases} \\ 0 \leq x_{ij} \leq u'_{ij}, \forall (v_i, v_j) \in A \\ x_{ij} \in \mathbb{Z}_{\geq 0}, \forall (v_i, v_j) \in A \end{array} \right.$$

Tada se očito skup dopustivih rješenja robusnih varijanti problema $(RMF)_A$, $(RMF)_D$ i $(RMF)_R$ poklapa sa skupom dopustivih rješenja pomoćnog standardnog problema MF' , a vrijednost toka je ista bez obzira u kojem kontekstu taj tok promatramo.

Teorem 2.5. *Robusno rješenje bilo koje robusne varijante problema $(RMF)_A$, $(RMF)_D$ ili $(RMF)_R$ dobivamo izravno iz optimalnog rješenja z' pomoćnog standardnog problema MF' .*

Dokaz. Za robusni problem $(RMF)_A$ vrijedi

$$\min_{s \in S} (F) = F.$$

Kako vrijednost toka F ne ovisi o scenariju $s \in S$, to ovaj izraz poprima najveću vrijednost ako je F maksimalan. Dakle,

$$z_A = z'.$$

Za robusni problem $(RMF)_D$ vrijedi

$$\max_{s \in S} (z^s - F) = \max_{s \in S} z^s - F.$$

Ovaj izraz poprima najmanju vrijednost ako je F maksimalan. Dakle,

$$z_D = \max_{s \in S} z^s - z'.$$

Za robusni problem $(RMF)_R$ vrijedi

$$\max_{s \in S} \left(\frac{z^s - F}{z^s} \right) = 1 - \frac{F}{\max_{s \in S} z^s}.$$

Ovaj izraz poprima najmanju vrijednost ako je F maksimalan. Dakle,

$$z_R = 1 - \frac{z'}{\max_{s \in S} z^s}.$$

□

Iz teorema 2.5 slijedi da nema smisla razmatrati robusne probleme $(RMF)_A$, $(RMF)_D$ i $(RMF)_R$ jer njihova rješenja dobivamo izravno rješavanjem pomoćnog standardnog problema MF' . Drugim riječima, robusne varijante problema maksimalnog toka su trivijalne.

2.5. Složenost robusnih problema toka

U ovom odjeljku dokazujemo da su (poopćene) apsolutno i devijantno robusne varijante problema toka minimalne cijene NP-teške. Prvo, polinomijalno reduciramo [GJ79] robusni problem najkraćeg puta, čije su apsolutno i devijantno robusne varijante NP-teške, na robusni problem toka minimalne cijene. Zatim, polinomijalno svodimo robusni problem toka minimalne cijene na odgovarajuću poopćenu varijantu. Međutim, prema napomeni A.4, dokazi ne vrijede za relativno robusnu varijantu.

Teorem 2.6. *Robusne varijante problema najkraćeg puta su polinomijalno reducibilne na odgovarajuće robusne varijante problema toka minimalne cijene.*

Dokaz. Neka je unaprijed zadana vrijednost toka $F = 1$. Tada robusne varijante problema toka minimalne cijene svodimo na jedinične tokove od izvora do ponora (zbog cjelobrojnosti). Svaki jedinični tok određuje put u mreži od izvora do ponora, i obratno, svaki takav put opisuje jedinični tok. Jedinični tok najmanje cijene određuje najkraći put, i obratno, najkraći put opisuje jedinični tok najmanje cijene. Rješenje bilo koje robusne varijante problema toka minimalne cijene zapravo je rješenje odgovarajuće robusne varijante problema najkraćeg puta, i obratno. \square

Teorem 2.7. *Robusni problemi $(RMCF)_A$ i $(RMCF)_D$ su NP-teški.*

Dokaz. Prema teoremu A.3, (barem dvije) robusne varijante problema najkraćeg puta $(RSP)_A$ i $(RSP)_D$ su NP-teške čak i tada kad je mreža slojevita sa širinom 2, a broj scenarija je 2. Iz prethodnog teorema slijedi da su odgovarajuće robusne varijante problema toka minimalne cijene $(RMCF)_A$ i $(RMCF)_D$ također NP-teške. \square

Teorem 2.8. *Poopćeni robusni problemi $(GRMCF)_A$ i $(GRMCF)_D$ su NP-teški.*

Dokaz. Primjerak problema $(RMCF)_A$ polinomijalno svodimo na primjerak problema $(GRMCF)_A$ s istim kapacitetima u svim scenarijima:

$$u_{ij}^s := u_{ij}, \forall s \in S,$$

tako da za zadani primjerak problema $(RMCF)_A$ definiramo primjerak problema $(GRMCF)_A$ u kojem svi scenariji imaju iste kapacitete kao u primjerku problema $(RMCF)_A$. Analogno, primjerak problema $(RMCF)_D$ polinomijalno svodimo na primjerak problema $(GRMCF)_D$. Tvrdnja sada slijedi iz prethodnog teorema. \square

3. Osnovne operacije s tokovima

Na početku, definiramo rezidualnu mrežu koju koristimo za traženje maksimalnog toka i maksimalnog toka minimalne cijene u polaznoj mreži. Zatim, definiramo pojmove poput puta uvećavajućeg toka ili ciklusa smanjujuće cijene. Značajnost putu uvećavajućeg toka dajemo teoremom o uvećavajućem putu - tok u polaznoj mreži je maksimalan ako i samo ako ne postoji put uvećavajućeg toka u rezidualnoj mreži. Značajnost ciklusu smanjujuće cijene dajemo teoremom o smanjujućem ciklusu - tok u polaznoj mreži je minimalne cijene ako i samo ako ne postoji ciklus smanjujuće cijene u rezidualnoj mreži. Na kraju, definiramo slojevitú rezidualnu mrežu koju isto koristimo za traženje maksimalnog toka u polaznoj mreži.

U ovom poglavlju predstavljamo i *osnovne operacije s tokovima* koje upotrebljavamo kao sastavne metode u (meta)heuristikama. U nekim osnovnim operacijama s tokovima koristimo rezidualnu mrežu: uvećanje toka, uvećanje toka minimalne cijene, smanjenje cijene toka, perturbiranje toka i harmoniziranje toka. Detaljno opisujemo svaku pojedinu metodu ukazujući na način njezine implementacije pa zatim analiziramo njezinu složenost. Pretpostavljamo da svi tokovi djeluju na istoj mreži te da je (barem privremeno) odabran samo jedan scenarij za jedinične cijene lukova.

3.1. Rezidualna mreža

Definicija 3.1. *Rezidualna mreža* $G_{\mathbf{x}} = (V, A_{\mathbf{x}})$ je posebna vrsta grafa koja za zadanu mrežu $G = (V, A)$ i zadani tok \mathbf{x} u G ima svojstva:

- (1) vrhovi od $G_{\mathbf{x}}$ su vrhovi od G ,
- (2) lukovi iz $A_{\mathbf{x}}$ su takvi da za svaki luk $(v_i, v_j) \in A$ vrijedi:
 - ako je $x_{ij} < u_{ij}$, onda postoji **luk unaprijed** $a_{ij,\mathbf{x}} := (v_i, v_j) \in A_{\mathbf{x}}$ **rezidualnog kapaciteta** $u_{ij,\mathbf{x}} := u_{ij} - x_{ij}$ te **rezidualne jedinične cijene** $c_{ij,\mathbf{x}} := c_{ij}^s$ za neki scenarij $s \in S$,
 - ako je $x_{ij} > 0$, onda postoji **luk unatrag** $a_{ji,\mathbf{x}} := (v_j, v_i) \in A_{\mathbf{x}}$ **rezidualnog kapaciteta** $u_{ji,\mathbf{x}} := x_{ij}$ te **rezidualne jedinične cijene** $c_{ji,\mathbf{x}} := -c_{ij}^s$ za neki scenarij $s \in S$.

Primijetimo da u rezidualnoj mreži može postojati put od v_i do v_j iako ne postoji u polaznoj mreži. Primijetimo još da je uvećanje toka od v_i do v_j ujedno i smanjenje rezidualnog kapaciteta od v_i do v_j te uvećanje rezidualnog kapaciteta od v_j do v_i .

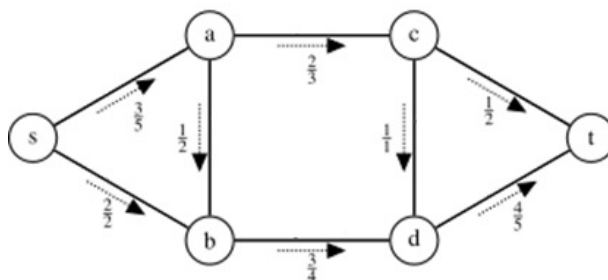
Definicija 3.2. *Put uvećavajućeg toka* je elemntarni put u rezidualnoj mreži od izvora do ponora čiji lukovi imaju pozitivne rezidualne kapacitete.

Značajnost putu uvećavajućeg toka dajemo sljedećim teoremom:

Teorem 3.3 (o uvećavajućem putu). *Tok u polaznoj mreži je maksimalan ako i samo ako ne postoji put uvećavajućeg toka u rezidualnoj mreži.*

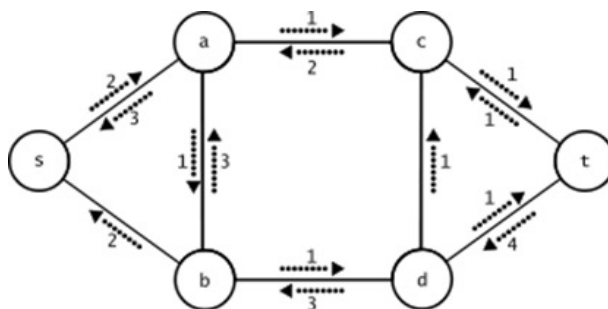
Dokaz. Tvrdnja je dokazana u knjizi [Car79], stranice 207-208. □

Primjer 3.4. *Neka je $G = (V, A)$ polazna mreža gdje je V skup vrhova oblika $V = \{s, a, b, c, d, t\}$. Neka su $\frac{x_{ij}}{u_{ij}}, i, j \in V, i \neq j$, tokovi, odnosno kapaciteti u G :*



SLIKA 3.1. Polazna mreža G .

Tada je rezidualna mreža $G_{\mathbf{x}} = (V, A_{\mathbf{x}})$ oblika:

SLIKA 3.2. Rezidualna mreža $G_{\mathbf{x}}$.

Zadana vrijednost toka F u G od izvora s do ponora t je jednaka 5. Kako postoji pozitivni rezidualni kapacitet duž puta, npr. (s, a, c, t) , uvećavajućeg toka, to tok nije maksimalan:

$$\min\{u_{s,a} - x_{s,a}, u_{a,c} - x_{a,c}, u_{c,t} - x_{c,t}\} = \min\{5 - 3, 3 - 2, 2 - 1\} = 1 > 0.$$

Dakle, iznos za koji možmo uvećati postojeći tok je jednak 1. Analogno vrijedi i za put (s, a, b, d, t) uvećavajućeg toka. Dakle, maksimalni iznos za koji možmo uvećati postojeći tok je jednak 2. Stoga je vrijednost maksimalnog toka u G od izvora s do ponora t jednaka $5 + 1 + 1 = 7$.

Rezidualnu mrežu koristimo za provjeravanje maksimalnosti toka u polaznoj mreži. Ako tok u polaznoj mreži nije maksimalan, onda rezidualnu mrežu koristimo za traženje puta uvećavajućeg toka.

Lema 3.5. Tok u polaznoj mreži je maksimalan ako i samo ako ponor nije dohvatljiv izvorom u rezidualnoj mreži.

Dokaz. Tvrdnja slijedi iz teorema 3.3 o uvećavajućem putu. □

Uvećanje toka \mathbf{x} duž puta γ u polaznoj mreži odgovara pribrajanju elementarnog toka \mathbf{x}' duž puta γ' uvećavajućeg toka u rezidualnoj mreži toku \mathbf{x} . Općenito, pri traženju maksimalnog toka u polaznoj mreži, za uvećanje toka možemo koristiti bilo koji tok u rezidualnoj mreži, a ne samo elementarni tok dobiven putem uvećavajućeg toka.

Lema 3.6. Neka je \mathbf{x} tok u polaznoj mreži G koji ima vrijednost f . Neka je \mathbf{x}' tok u rezidualnoj mreži $G_{\mathbf{x}}$ koji ima vrijednost f' . Tada postoji tok \mathbf{x}'' u polaznoj mreži G koji ima vrijednost $f'' = f + f'$.

Dokaz. Tvrdnja je dokazana u knjizi [Jun13], stranica 179. □

Maksimalni tok u rezidualnoj mreži odgovara maksimalnom toku u polaznoj mreži.

Lema 3.7. Neka je \mathbf{x} tok u polaznoj mreži G koji ima vrijednost f . Neka je F' vrijednost maksimalnog toka u rezidualnoj mreži $G_{\mathbf{x}}$. Tada je u polaznoj mreži G vrijednost maksimalnog toka $F = f + F'$.

Dokaz. Tvrdnja je dokazana u knjizi [Jun13], stranica 180. □

Dakle, za bilo koji tok u polaznoj mreži od izvora do ponora možemo odrediti iz rezidualne mreže je li maksimalan. Ako tok nije maksimalan, onda možemo konstruirati tok veće vrijednosti. Međutim, nije još sasvim jasno da će ponavljanje metode uvećavajućeg toka rezultirati maksimalnim tokom u konačnom broju koraka.

Teorem 3.8 (o cjelobrojnom toku). *Neka su kapaciteti lukova cjelobrojni. Tada postoji maksimalni tok u kojem su tokovi lukova cjelobrojni.*

Dokaz. Neka su kapaciteti lukova cjelobrojni. Tada iz teorema B.2 o maksimalnom toku i minimalnom rezu slijedi da je vrijednost maksimalnog toka cjelobrojna. Kako su kapaciteti lukova cjelobrojni te zadana vrijednost toka cjelobrojna, to slijedi da je svaka sljedeća veća vrijednost toka cjelobrojna. Kako se vrijednost toka u svakom koraku uveća cjelobrojno barem za jednu jedinicu, to ponavljanje metode uvećavajućeg toka rezultira maksimalnim tokom u konačnom broju koraka. Slijedi da za bilo koju mrežu u kojoj su kapaciteti lukova cjelobrojni postoji maksimalni tok u kojem su tokovi lukova cjelobrojni. □

Nadalje, ponavljanje metode uvećavajućeg toka u polaznoj mreži u kojoj su kapaciteti lukova cjelobrojni uvijek daje maksimalni tok u kojem su tokovi lukova cjelobrojni.

Maksimalni tok tražimo pozivom metode *UvecajTok*:

UvecajTok

- (1) Odaberi proizvoljan cjelobrojan tok u mreži G , npr. prazni tok, u kojem su tokovi lukova jednaki nula.
- (2) Neka je \mathbf{x} trenutni tok u G . Konstruiraj rezidualnu mrežu $G_{\mathbf{x}}$. Traži put uvećavajućeg toka u $G_{\mathbf{x}}$. Ako takav put ne postoji, idi na korak (4).
- (3) Neka je γ put uvećavajućeg toka u $G_{\mathbf{x}}$. Neka je δ najmanji kapacitet lukova u γ .
Za svaki luk unaprijed $a_{ij,\mathbf{x}}$ od γ uvećaj tok luka a_{ij} od G za δ jedinica.
Za svaki luk unatrag $a_{ji,\mathbf{x}}$ od γ smanji tok luka a_{ij} od G za δ jedinica.
Idi na korak (2).
- (4) Tok u G je maksimalni tok.

Ako na cijene lukova gledamo kao na duljine, onda najkraći put od izvora do ponora u rezidualnoj mreži sačinjava put uvećavajućeg toka minimalne cijene. Kako je tok konstruiran u svakom koraku metode uvećavajućeg toka minimalne cijene, to ne postoji ciklus negativne duljine u rezidualnoj mreži. Stoga potreban najkraći put od izvora do ponora možemo dobiti Bellman-Fordovom ili Floydovom metodom.

Alternativno, u člancima [EK72, Tom71] je pokazano da možemo promijeniti cijene lukova u rezidualnoj mreži na takav način da postanu nenegativne, a da pritom putevi od izvora do ponora koji su najkraći u rezidualnoj mreži ostanu najkraći putevi od izvora do ponora u promijenjenoj mreži. Kako su cijene lukova nenegativne, to možemo dobiti potreban najkraći put od izvora do ponora Dijkstrinom metodom.

Kako su kapaciteti lukova cjelobrojni, to ukupan broj uvećanja nije veći od vrijednosti maksimalnog toka. Ako rezidualna mreža sadrži nekoliko puteva uvećavajućeg toka minimalne cijene, onda odabirom puta najmanje duljine po broju lukova možemo smanjiti ukupan broj potrebnih uvećanja.

Definicija 3.9. *Ciklus smanjujuće cijene je elementarni ciklus u rezidualnoj mreži čiji lukovi imaju pozitivne rezidualne kapacitete, a zbroj rezidualnih jediničnih cijena tih lukova je negativan.*

Značajnost ciklusu smanjujuće cijene dajemo sljedećim teoremom:

Teorem 3.10 (o smanjujućem ciklusu). *Tok u polaznoj mreži je minimalne cijene ako i samo ako ne postoji ciklus smanjujuće cijene u rezidualnoj mreži.*

Dokaz. Tvrdnja je dokazana u knjizi [Car79], stranice 216-217. □

Maksimalni tok minimalne cijene tražimo pozivom metode

- (1) *SmanjiCijenu* - konstruiramo niz maksimalnih tokova sa slijedno opadajućom cijenom, sve dok cijena toka nije minimalna:

SmanjiCijenu

- (1) Konstruiraj cjelobrojan maksimalni tok u mreži G pozivom metode *UvecajTok*.
- (2) Neka je \mathbf{x} trenutni tok u G . Konstruiraj rezidualnu mrežu $G_{\mathbf{x}}$.
Traži ciklus smanjujuće cijene u $G_{\mathbf{x}}$. Ako takav ciklus ne postoji, idi na korak (4).
- (3) Neka je γ ciklus smanjujuće cijene u $G_{\mathbf{x}}$. Neka je δ najmanji kapacitet lukova u γ .
Za svaki luk unaprijed $a_{ij,\mathbf{x}}$ od γ uvećaj tok luka a_{ij} od G za δ jedinica.
Za svaki luk unatrag $a_{ji,\mathbf{x}}$ od γ smanji tok luka a_{ij} od G za δ jedinica.
Idi na korak (2).
- (4) Tok u G je maksimalni tok minimalne cijene.

- (2) *UvecajTokMinCijene* - konstruiramo niz tokova minimalne cijene sa slijedno rastućom vrijednošću, sve dok vrijednost toka nije maksimalna:

UvecajTokMinCijene

- (1) U koraku (1) metode *UvecajTok* početni tok odaberi tako da je minimalne cijene.
- (2) U koracima (2) i (3) metode *UvecajTok* put uvećavajućeg toka odaberi tako da je minimalne cijene.

Ako su jedinične cijene lukova nenegativne, onda je očito prazni tok onaj minimalne cijene s vrijednošću nula. Stoga u drugom slučaju kao proizvoljan početni tok možemo odabrati prazni tok.

U većini slučajeva, traženje puta uvećavajućeg toka minimalne cijene zahtjeva mnogo manje posla nego traženje ciklusa smanjujuće cijene pa je metoda uvećavajućeg toka efikasnija od metode smanjujuće cijene, osim ako početno konstruiramo maksimalni tok skoro minimalne cijene.

Napomena 3.11. *Ako u polaznoj mreži zadamo dva luka:*

- (1) *luk unaprijed $a_{ij} = (v_i, v_j)$ toka x_{ij} , $0 < x_{ij} < u_{ij}$, i*
- (2) *luk unatrag $a_{ji} = (v_j, v_i)$ toka x_{ji} , $0 < x_{ji} < u_{ji}$,*

onda u rezidualnoj mreži dobivamo dva para paralelnih lukova:

- (1) *par paralelnih lukova unaprijed:*
 - $a_{ij,\mathbf{x}}^1$ *rezidualnog kapaciteta $u_{ij,\mathbf{x}}^1 = u_{ij} - x_{ij}$ koji odgovara a_{ij} i*
 - $a_{ij,\mathbf{x}}^2$ *rezidualnog kapaciteta $u_{ij,\mathbf{x}}^2 = x_{ji}$ koji odgovara a_{ji} , te*
- (2) *par paralelnih lukova unatrag:*
 - $a_{ji,\mathbf{x}}^1$ *rezidualnog kapaciteta $u_{ji,\mathbf{x}}^1 = u_{ji} - x_{ji}$ koji odgovara a_{ji} i*
 - $a_{ji,\mathbf{x}}^2$ *rezidualnog kapaciteta $u_{ji,\mathbf{x}}^2 = x_{ij}$ koji odgovara a_{ij} .*

Ako bi identificirali paralelne lukove nekog para u rezidualnoj mreži tako da zbrojimo njihove rezidualne kapacitete, onda bi teško odredili koliki udio rezidualnog toka pribrajamo toku kojeg luka u polaznoj mreži. Naprimjer, neka par paralelnih lukova unaprijed identificiramo lukom $a_{ij,\mathbf{x}}$ rezidualnog kapaciteta $u_{ij,\mathbf{x}} = u_{ij} - x_{ij} + x_{ji}$ i rezidualnog toka $x_{ij,\mathbf{x}}$. Tada teško odredimo koliki udio $x_{ij,\mathbf{x}}$ koji otpada na dio $u_{ij} - x_{ij}$ pribrajamo toku x_{ij} luka a_{ij} , a koliki udio $x_{ij,\mathbf{x}}$ koji otpada na dio x_{ji} pribrajamo toku x_{ji} luka a_{ji} . Stoga ne identificiramo paralelne lukove.

3.2. Slojevita rezidualna mreža

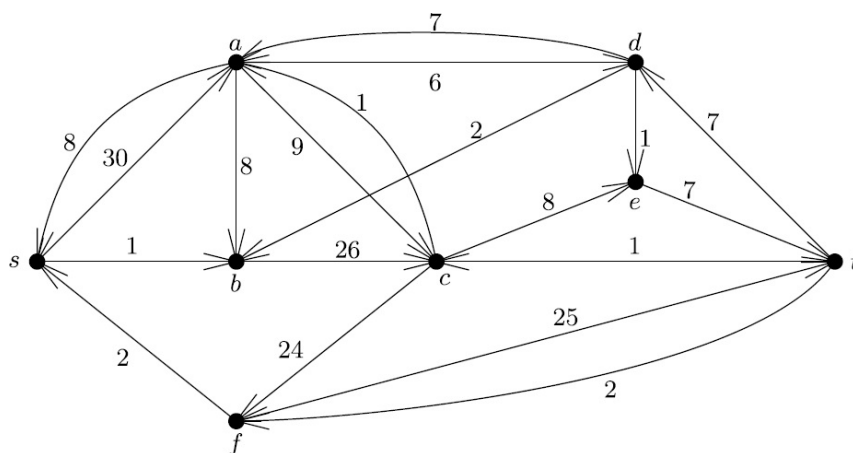
Rezidualne mreže su prevelike i presložene, čak i za manje primjerke problema. Zaista, rezidualna mreža u sljedećem primjeru je pretrpana. Stoga umjesto rezidualnih mreža razmatramo odgovarajuće podmreže - slojevite rezidualne mreže. Glavna ideja je da u algoritmima za rješavanje standardnog problema maksimalnog toka, uz korištenje puta uvećavajućeg toka najmanje duljine, koristimo i odgovarajuću malu slojevit rezidualnu mrežu koju ne mijenjamo sve dok svaki sljedeći put uvećavajućeg toka nema veću duljinu. Budući da tražimo samo puteve uvećavajućeg toka najmanje duljine, rezidualna mreža sadržava suvišne elemente koje uklanjamo sljedećom definicijom.

Definicija 3.12. *Slojevita rezidualna mreža* $G_{\mathbf{x}}^l = (V_{\mathbf{x}}^l, A_{\mathbf{x}}^l)$ je posebna vrsta rezidualne mreže $G_{\mathbf{x}} = (V, A_{\mathbf{x}})$ i slojevite mreže $G^l = (V, A^l)$ (iz definicije A.1) koja ima svojstva:

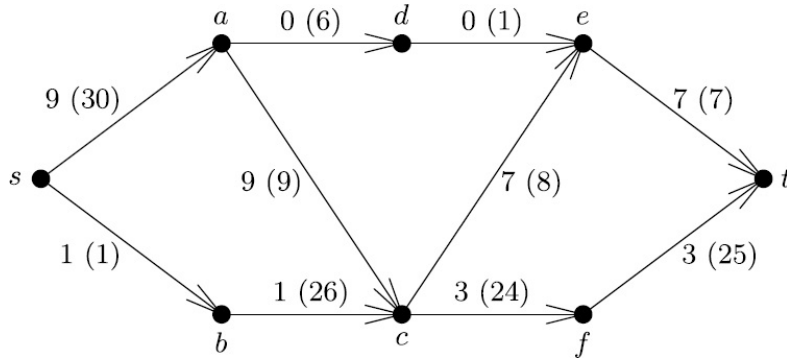
- (1) ne postoji nijedan vrh $v \neq t$ takav da je $d(s, v) \geq d(s, t)$, gdje je $d : V \times V \rightarrow \mathbb{R}_{\geq 0}$ najmanja duljina po cijeni lukova puta između dva vrha, i ne postoji nijedan luk incidentan s tim vrhom,
- (2) ne postoji nijedan luk s repom u sloju V_j i glavom u sloju $V_{i \leq j}$.

Napomena 3.13. Čak i slojevita rezidualna mreža može sadržavati suvišne elemente, npr. vrhovi kojima ponor nije dohvatljiv. Kako te vrhove ne možemo odrediti tijekom konstrukcije slojevite rezidualne mreže, to ih nećemo tražiti i uklanjati.

Primjer 3.14. Neka je \mathbf{x}_3 tok u primjeru B.13 s vrijednošću $f_3 = 10$. Tada su rezidualna mreža $G_{\mathbf{x}_3}$ i slojevita rezidualna mreža $G_{\mathbf{x}_3}^l$ oblika:



SLIKA 3.3. Rezidualna mreža $G_{\mathbf{x}_3}$ toka \mathbf{x}_3 .



SLIKA 3.4. Slojevita rezidualna mreža $G_{\mathbf{x}_3}^l$ s blokovnim tokom \mathbf{x}_3^l (iz definicije 3.21).

gdje \mathbf{x}_3^l proizlazi iz tri puta uvećavajućeg toka podebljanih lukova u primjeru B.13 na slikama tokova s vrijednostima $f_3 = 10$, $f_4 = 17$, $f_5 = 19$. Kapacitete lukova zapisujemo unutar zagrada, a vrijednosti tokova po lukovima izvan zagrada. Primijetimo da sva tri puta uvećavajućeg toka jednakih duljina 4 izgledaju preglednije u slojevitoj rezidualnoj mreži. Primijetimo još da cjelobrojni tok \mathbf{x}_3^l je blokovni, ali nije maksimalan - postoji put (s, a, d, e, c, f, t) uvećavajućeg toka s lukom unatrag (e, c) .

Slojevitu rezidualnu mrežu konstruiramo pozivom metode *KonstruirajSlojevituzRezidualnuMrežu*:

KonstruirajSlojevituzRezidualnuMrežu

```

neka je indeks  $i \leftarrow 0$  nula
neka se početni sloj  $V_0 \leftarrow \{s\}$  sastoji od izvora  $s$ 
neka je skup vrhova  $V_{\mathbf{x}}^l \leftarrow V_0$  početni sloj
neka je skup lukova  $A_{\mathbf{x}}^l \leftarrow \emptyset$  prazan
sve dok ponor  $t \notin V_{\mathbf{x}}^l$  nije u skupu vrhova i sloj  $V_i \neq \emptyset$  nije prazan
  neka je indeks  $i \leftarrow i + 1$  uvećan za jedan
  neka je sloj  $V_i \leftarrow \emptyset$  prazan
  za svaki vrh  $v \in V_{i-1}$  u sloju
    za svaki luk  $a \in A$  u skupu lukova s repom  $v$ 
      ako glava  $w \notin V_{\mathbf{x}}^l$  luka  $a$  nije u skupu vrhova i rezidualni kapacitet  $u_a - x_a > 0$  je pozitivan
      onda je  $A_{\mathbf{x}}^l \leftarrow A_{\mathbf{x}}^l \cup \{(v, w)\}$ ,  $V_i \leftarrow V_i \cup \{w\}$  i  $u_{(v,w)} \leftarrow u_a - x_a$ 
    za svaki luk  $a \in A$  u skupu lukova s glavom  $v$ 
      ako rep  $w \notin V_{\mathbf{x}}^l$  luka  $a$  nije u skupu vrhova i rezidualni kapacitet  $x_a > 0$  je pozitivan
      onda je  $A_{\mathbf{x}}^l \leftarrow A_{\mathbf{x}}^l \cup \{(v, w)\}$ ,  $V_i \leftarrow V_i \cup \{w\}$  i  $u_{(v,w)} \leftarrow x_a$ 
  ako je ponor  $t \in V_i$  u sloju
    za svaki vrh  $v \in V_i, v \neq t$  u sloju, osim ponora, ukloni vrh  $v$  iz sloja  $V_i$ 
    za svaki luk  $a \in A_{\mathbf{x}}^l$  u skupu lukova s glavom  $v$ , ukloni luk  $a$  iz skupa lukova  $A_{\mathbf{x}}^l$ 
  neka je  $V_{\mathbf{x}}^l \leftarrow V_{\mathbf{x}}^l \cup V_i$ 
ako je ponor  $t \in V_{\mathbf{x}}^l$  u skupu vrhova
  onda tok nije maksimalan,  $max \leftarrow false$  i
  duljina  $d \leftarrow i$  puta uvećavajućeg toka je indeks  $i$ 
inače je tok maksimalan,  $max \leftarrow true$ 

```

Teorem 3.15. *Metoda *KonstruirajSlojevituzRezidualnuMrežu* ima polinomijalnu složenost $O(|A|)$.*

Metoda koja konstruira slojevitú rezidualnu mrežu raspoređuje vrhove u slojeve i uklanja suvišne vrhove i lukove, prema prethodnoj definiciji.

Boolovoj varijabli *max* dodjeljujemo simbol *true* ako je tok maksimalan, tj. ako je ponor dohvatljiv izvorom, inače dodjeljujemo simbol *false*. Cjelobrojnoj varijabli *d* dodjeljujemo duljinu puta uvećavajućeg toka.

Napomena 3.16. *Primijetimo da u slojevitoj rezidualnoj mreži ne postoje istovremeno luk unaprijed i luk unatrag.*

Tok povećamo pozivom metode *PovecajTok*:

PovecajTok

za svaki luk a_{ij} u polaznoj mreži
 ako je $a_{ij,x}$ luk unaprijed u slojevitoj rezidualnoj mreži i
 rezidualni kapacitet $u_{ij} - (x_{ij} + x_{ij,x}) \geq 0$ nenegativan
 onda je $x_{ij} \leftarrow x_{ij} + x_{ij,x}$ tok luka a_{ij}
 ako je $a_{ji,x}$ luk unatrag u slojevitoj rezidualnoj mreži i
 rezidualni kapacitet $x_{ij} - x_{ji,x} \geq 0$ nenegativan
 onda je $x_{ij} \leftarrow x_{ij} - x_{ji,x}$ tok luka a_{ij}

Teorem 3.17. *Metoda PovecajTok ima polinomijalnu složenost $O(|A|)$.*

Dokaz. Konstrukcija povećanog toka ima $|A|$ koraka. □

Tok maksimiziramo pozivom metode *MaksimizirajTok*:

MaksimizirajTok

za svaki luk a_{ij} u polaznoj mreži
 neka je tok $x_{ij} \leftarrow 0$ luka a_{ij} nula
 neka tok nije maksimalan, $max \leftarrow false$
 sve dok tok nije maksimalan, $max = false$
 pozovi metodu *KonstruirajSlojevitúRezidualnuMrežu*
 ako tok nije maksimalan, $max = false$
 onda u slojevitoj rezidualnoj mreži potraži blokovni tok
 pozivom metode *Dinic* ili *MalhotraKumarMaheshwari*
 povećaj tok blokovnim tokom pozivom metode *PovecajTok*

Lema 3.18. *Metoda MaksimizirajTok ima donju ogradu složenosti $\Omega(|A|)$.*

Dokaz. Kako u svakom koraku konstrukcije maksimalnog toka, prema teoremu 3.17, metoda *PovecajTok* ima polinomijalnu složenost $O(|A|)$, to metoda *MaksimizirajTok* ima donju ogradu složenosti $\Omega(|A|)$. □

Lema 3.19. *Neka je \mathbf{x} tok u polaznoj mreži G koji ima vrijednost f . Neka je \mathbf{x}' tok u slojevitoj rezidualnoj mreži $G_{\mathbf{x}}^l$ koji ima vrijednost f' . Tada postoji tok \mathbf{x}'' u polaznoj mreži G koji ima vrijednost $f'' = f + f'$.*

Dokaz. Kako je slojevita rezidualna mreža podmreža rezidualne mreže, to možemo promatrati \mathbf{x}' kao tok u rezidualnoj mreži tako da dodijelimo vrijednost 0 svakom luku koji postoji u rezidualnoj mreži, a ne postoji u slojevitoj rezidualnoj mreži. Tvrdnja sada slijedi iz leme 3.6. \square

Napomena 3.20. *Lema 3.7 ne vrijedi u slojevitoj rezidualnoj mreži.*

3.3. Blokovni tok

Pokazali smo da maksimalni tok u polaznoj mreži dobivamo traženjem odgovarajućeg toka u nizu rezidualnih mreža. Primijetimo da korak označavanja u metodi *FordFulkerson* iz dodatka B.1 odgovara novom konstruiranju rezidualne mreže nakon svakog uvećanja toka. Primijetimo još da korak označavanja u metodi *EdmondsKarp* iz dodatka B.2 odgovara konstruiranju slojevite rezidualne mreže. Stoga konstruiranje rezidualnih mreža eksplicitno ne rezultira boljim algoritmom. Kako bi postigli poboljšanje, to, prema napomeni B.10, konstruiramo nekoliko puteva uvećavajućeg toka unutar iste rezidualne mreže.

Definicija 3.21. *Blokovni tok* je tok za koji svaki put uvećavajućeg toka sadrži luk unatrag.

Trivijalno, svaki maksimalni tok je blokovni, ali obrat ne vrijedi - u primjeru B.13 tok \mathbf{x}_9 s vrijednošću $f_9 = 31$ je blokovni i maksimalan, a u primjeru 3.14 cjelobrojni tok \mathbf{x}'_3 je blokovni, ali nije maksimalan - postoji put (s, a, d, e, c, f, t) uvećavajućeg toka s lukom unatrag (e, c) .

Algoritam započinjemo (obično praznim) tokom \mathbf{x}_0 u polaznoj mreži, potražimo blokovni tok u slojevitoj rezidualnoj mreži, povećamo tok blokovnim tokom, itd. Algoritam završavamo tada kad dosegemo tok \mathbf{x}_k za koji ponor nije dohvatljiv izvorom u slojevitoj rezidualnoj mreži pa ponor nije dohvatljiv izvorom ni u rezidualnoj mreži. Prema lemi 3.5, dobiveni tok je maksimalan. Svako traženje blokovnog toka, zajedno sa sljedstvenim povećanjem toka, nazivamo **faza** algoritma.

Lema 3.22. *Neka je \mathbf{x} tok u polaznoj mreži G koji ima vrijednost f . Neka je \mathbf{x}' blokovni tok u slojevitoj rezidualnoj mreži $G_{\mathbf{x}}^l$ koji ima vrijednost f' . Neka je \mathbf{x}'' tok u polaznoj mreži G konstruiran povećanjem toka \mathbf{x} blokovnim tokom \mathbf{x}' koji ima vrijednost $f'' = f + f'$. Neka je $G_{\mathbf{x}''}^l$ slojevita rezidualna mreža s obzirom na tok \mathbf{x}'' . Tada je udaljenost po broju lukova od izvora do ponora u $G_{\mathbf{x}''}^l$ veća nego u $G_{\mathbf{x}}^l$.*

Dokaz. Tvrdnja je dokazana u knjizi [Jun13], stranica 183. □

Korolar 3.23. *Konstrukcija maksimalnog toka u polaznoj mreži ima najviše $|V| - 1$ faza.*

Dokaz. Prema prethodnoj lemi, udaljenost od izvora do ponora u $G_{\mathbf{x}_k}^l$ je barem za k veća nego u $G_{\mathbf{x}_0}^l$ pa je očito broj faza najviše $|V| - 1$. □

Lema 3.24. *Neka metode Dinic i MalhotraKumarMaheshwari imaju složenost k_G . Tada metoda MaksimizirajTok ima složenost $O(|V|k_G)$.*

Dokaz. Prema prethodnom korolaru, metoda MaksimizirajTok ima najviše $O(|V|)$ faza. □

3.4. Opis osnovnih operacija s tokovima

Uvećanje toka. Zadan je cjelobrojni tok f u mreži G s vrijednošću F . Metoda vraća cjelobrojni tok g u mreži G s vrijednošću $F + \delta$, gdje je δ najmanji kapacitet lukova na putu γ uvećavajućeg toka u rezidualnoj mreži G_f . Alternativno, metoda signalizira da takvo uvećanje toka nije moguće budući da je F već maksimalna vrijednost od f u G .

Metodu implementiramo na sljedeći način. Konstruiramo rezidualnu mrežu G_f . Tražimo put γ uvećavajućeg toka u G_f . U tu svrhu koristimo primjerice Mooreov BFS algoritam za traženje najkraćeg puta u mreži. Ako γ ne postoji, onda je tok f u mreži G maksimalni tok. Inače, tok g u mreži G dobivamo tako da na f zbrojimo δ jedinica toka za svaki luk unaprijed od γ , odnosno od f oduzmemo δ jedinica toka za svaki luk unatrag od γ , gdje je δ najmanji kapacitet lukova u γ .

Uvećanje toka minimalne cijene. Zadan je cjelobrojni tok f u mreži G s vrijednošću F i minimalnom cijenom toka c . Metoda vraća cjelobrojni tok g u mreži G s minimalnom cijenom toka $c + \varepsilon_\delta$, ali većom vrijednošću $F + \delta$, gdje je δ najmanji kapacitet lukova na putu γ uvećavajućeg toka minimalne cijene u rezidualnoj mreži G_f , a ε_δ cijena lukova na γ ovisna o δ . Alternativno, metoda signalizira da takvo uvećanje toka minimalne cijene nije moguće budući da je F već maksimalna vrijednost od f u G .

Metodu implementiramo na sljedeći način. Konstruiramo rezidualnu mrežu G_f . Tražimo put γ uvećavajućeg toka minimalne cijene u G_f . U tu svrhu koristimo primjerice Bellman-Fordov algoritam za traženje najkraćeg puta (takvog da je zbroj rezidualnih cijena lukova minimalan) u mreži. Ako γ ne postoji, onda je tok f u mreži G maksimalni tok minimalne cijene. Inače, tok g u mreži G dobivamo tako da na f zbrojimo δ jedinica toka za svaki luk unaprijed od γ , odnosno od f oduzmemo δ jedinica toka za svaki luk unatrag od γ , gdje je δ najmanji kapacitet lukova u γ .

Smanjenje cijene toka. Zadan je cjelobrojni tok f u mreži G s vrijednošću F i cijenom toka c . Metoda vraća cjelobrojni tok g u mreži G s istom vrijednošću F , ali manjom cijenom toka $c + \varepsilon_\delta$, gdje je δ najmanji kapacitet lukova na ciklusu γ smanjujuće cijene u rezidualnoj mreži G_f , a ε_δ negativna cijena lukova na γ ovisna o δ . Alternativno, metoda signalizira da takvo smanjenje cijene toka nije moguće budući da je c već minimalna cijena od f u G .

Metodu implementiramo na sljedeći način. Konstruiramo rezidualnu mrežu G_f . Tražimo ciklus γ smanjujuće cijene u G_f . U tu svrhu koristimo Floyd-Warshallov algoritam za traženje negativnog ciklusa (takvog da je zbroj rezidualnih cijena lukova negativan) u mreži. Ako γ ne postoji, onda je tok f u mreži G tok minimalne cijene. Inače, tok g u mreži G dobivamo tako da na f zbrojimo δ jedinica toka za svaki luk unaprijed od γ , odnosno od f oduzmemo δ jedinica toka za svaki luk unatrag od γ , gdje je δ najmanji kapacitet lukova u γ .

Perturbiranje toka. Zadan je cjelobrojni tok f u mreži G s vrijednošću F . Metoda vraća cjelobrojni tok g u mreži G s vrijednošću F . Na g možemo gledati kao na tok koji sliči f no malo se razlikuje. Alternativno, metoda signalizira da perturbiranje toka nije moguće.

Metodu implementiramo na sljedeći način. Konstruiramo rezidualnu mrežu G_f . Tražimo proizvoljan jednostavni ciklus γ u G_f . U tu svrhu koristimo backtracking DFS algoritam za traženje jednostavnog ciklusa u mreži. Ako γ postoji, onda tok g u mreži G dobivamo tako da na f zbrojimo δ jedinica toka za svaki luk unaprijed od γ , odnosno od f oduzmemo δ jedinica toka za svaki luk unatrag od γ , gdje je δ najmanji kapacitet lukova u γ . Inače, perturbiranje toka nije moguće.

Harmoniziranje toka. Zadani su cjelobrojni tokovi f i g u mreži G oba s vrijednošću F . Metoda vraća cjelobrojni tok h u mreži G s vrijednošću F . Na h možemo gledati kao na tok više sličniji g nego što je sličio f . Alternativno, metoda signalizira da harmoniziranje toka nije moguće.

Metodu implementiramo na sljedeći način. Konstruiramo rezidualnu mrežu G_{fg} za f sastavljenu samo od lukova (unatrag) unaprijed koje (ne) koristi g . Tražimo proizvoljan jednostavni ciklus γ u G_{fg} . U tu svrhu koristimo backtracking DFS algoritam za traženje jednostavnog ciklusa u mreži. Ako γ postoji, onda tok h u mreži G dobivamo tako da na f zbrojimo δ jedinica toka za svaki luk unaprijed od γ , odnosno od f oduzmemo δ jedinica toka za svaki luk unatrag od γ , gdje je δ najmanji kapacitet lukova u γ . Inače, harmoniziranje toka nije moguće.

Komponiranje tokova. Zadano je F jediničnih (cjelobrojnih) tokova $\varphi_1, \varphi_2, \dots, \varphi_F$ u mreži G i F jediničnih (cjelobrojnih) tokova $\eta_1, \eta_2, \dots, \eta_F$ u mreži G . Metoda vraća cjelobrojni tok f u mreži G s vrijednošću F koji je jednak zbroju nekih $\varphi_1, \varphi_2, \dots, \varphi_F$ i $\eta_1, \eta_2, \dots, \eta_F$. Komponiranje tokova je uvijek moguće.

Metodu implementiramo na sljedeći način. Započnemo od praznog toka f . Ako je vrijednost od f jednaka $F - 1$, onda izaberemo jedan jedinični tok φ_i od dosad neizabranih jediničnih tokova $\varphi_1, \varphi_2, \dots, \varphi_F$. Ako je vrijednost od f manja od ili jednaka $F - 2$, onda izaberemo jedan jedinični tok φ_i od dosad neizabranih jediničnih tokova $\varphi_1, \varphi_2, \dots, \varphi_F$ i drugi jedinični tok η_j od dosad neizabranih jediničnih tokova $\eta_1, \eta_2, \dots, \eta_F$. Ako f i φ_i te η_j nisu međusobno kompatibilni, tj. ako njihov zbroj krši zakon ograničenja kapaciteta po lukovima, onda pokušamo s nekim drugim nasumično izabranim jediničnim tokovima φ_i i η_j od dosad neizabranih jediničnih tokova $\varphi_1, \varphi_2, \dots, \varphi_F$ i $\eta_1, \eta_2, \dots, \eta_F$. Pozovemo metodu sumiranja tokova za f i φ_i te η_j u f . Ponavljamo postupak za f sve dok ne obidemo svaki od jediničnih tokova ili sve dok vrijednost od f nije jednaka F . Ako je vrijednost od f manja od F , onda pozivamo metodu uvećanja toka sve dok vrijednost od f nije jednaka F .

Dekomponiranje toka. Zadan je cjelobrojni tok f u mreži G s vrijednošću F . Metoda vraća F jediničnih (cjelobrojnih) tokova $\varphi_1, \varphi_2, \dots, \varphi_F$ u mreži G čiji je zbroj jednak f . Prema knjizi [Car79], dekomponiranje toka je uvijek moguće.

Metodu implementiramo na sljedeći način. Tražimo neki jednostavni put γ_f od izvora do ponora duž lukova od f u G . U tu svrhu koristimo primjerice Mooreov BFS algoritam za traženje najkraćeg puta u mreži. Ako γ ne postoji, onda je tok f u mreži G prazni tok. Inače, prvi jedinični tok φ_1 u mreži G dobivamo tako da na prazan tok zbrojimo jednu jedinicu toka za svaki luk od γ , dok cjelobrojni tok f_1 u mreži G s vrijednošću $F - 1$ dobivamo tako da od f oduzmemo φ_1 . Ponavljamo postupak za f_1 čime dobivamo drugi jedinični tok φ_2 u mreži G i cjelobrojni tok f_2 u mreži G s vrijednošću $F - 2$, ..., itd., sve dok γ postoji, tj. sve dok ne dobijemo svih F jediničnih tokova.

Sumiranje tokova. Zadani su cjelobrojni tokovi f_1, f_2, \dots, f_k u mreži G . Metoda vraća cjelobrojni pseudo-tok f u mreži G koji je jednak zbroju f_1, f_2, \dots, f_k . Dakle, vrijednost pseudo-toka f na svakom luku je jednaka zbroju vrijednosti tokova f_1, f_2, \dots, f_k na svim odgovarajućim lukovima. Očito je da vrijednost F pseudo-toka f je jednaka zbroju vrijednosti tokova f_1, f_2, \dots, f_k . Također, očito je da pseudo-tok f mora poštovati zakon održanja toka u čvorovima te da mora biti cjelobrojan jer su i tokovi f_1, f_2, \dots, f_k . Međutim, očito je i da pseudo-tok f može kršiti zakon ograničenja kapaciteta po lukovima. Metoda signalizira ako je to slučaj.

Dijeljenje toka. Zadan je cjelobrojni tok f u mreži G i prirodni broj k . Metoda vraća tok g u mreži G koji je jednak kvocijentu f i k . Dakle, vrijednost toka g na svakom luku je jednaka kvocijentu vrijednosti toka f na svakom odgovarajućem luku i broja k . Očito je da vrijednost F toka g je jednaka kvocijentu vrijednosti toka f i broja k . Također, očito je da tok g mora poštovati zakone održanja toka u čvorovima i ograničenja kapaciteta po lukovima. Međutim, očito je i da tok g može biti necjelobrojan. Metoda signalizira ako je to slučaj.

Centriranje tokova. Zadani su cjelobrojni tokovi f_1, f_2, \dots, f_k u mreži G . Metoda vraća tok f u mreži G koji je jednak aritmetičkoj sredini od f_1, f_2, \dots, f_k . Dakle, vrijednost toka f na svakom luku je jednaka aritmetičkoj sredini vrijednosti tokova f_1, f_2, \dots, f_k na svim odgovarajućim lukovima. Očito je da vrijednost F toka f je jednaka aritmetičkoj sredini vrijednosti tokova f_1, f_2, \dots, f_k . Također, očito je da tok f mora poštovati zakone održanja toka u čvorovima i ograničenja kapaciteta po lukovima. Međutim, očito je i da tok f može biti necjelobrojan. Metoda signalizira ako je to slučaj.

Zaokruživanje toka. Zadan je necjelobrojni tok f u mreži G s vrijednošću F . Metoda vraća cjelobrojni tok g u mreži G s vrijednošću \tilde{F} koja je zaokruženje od F na cijeli broj. Na g možemo gledati kao na cjelobrojnu aproksimaciju od f . Zaokruživanje toka je uvijek moguće.

Metodu implementiramo na sljedeći način. Zaokružimo vrijednost toka f na svakom luku na cijeli broj čime dobivamo cjelobrojni pseudo-tok h . Očito je da pseudo-tok h mora poštovati zakon ograničenja kapaciteta po lukovima. Naprimjer, ako je tok po luku 2,5 i cjelobrojni kapacitet po luku 3 (najmanji mogući), onda zaokruživanje decimalne vrijednosti ne krši taj zakon jer je $3 \leq 3$. Očito je i da pseudo-tok h može kršiti zakon održanja toka u čvorovima. Naprimjer, ako u čvor ulaze tokovi 1,8 i 0,6 te izlazi tok 2,4, onda zaokruživanje decimalnih vrijednosti ne poštuje taj zakon jer je $2 + 1 \neq 2$. Tražimo neki jednostavni put γ_h od izvora do ponora duž lukova od h u G . U tu svrhu koristimo primjerice Mooreov BFS algoritam za traženje najkraćeg puta u mreži. Ako γ ne postoji, onda je mreža G nepovezana mreža. Inače, analogno metodi dekomponiranja toka, prvi jedinični tok η_1 u mreži G dobivamo tako da na prazan tok zbrojimo jednu jedinica toka za svaki luk od γ , dok cjelobrojni pseudo-tok h_1 u mreži G dobivamo tako da od h oduzmemo η_1 . Ponavljamo postupak za h_1 čime dobivamo drugi jedinični tok η_2 u mreži G i cjelobrojni pseudo-tok h_2 u mreži G , ..., itd., sve dok γ postoji. Tok g u mreži G dobivamo tako da zbrojimo dobivene jedinične tokove. Ako je vrijednost od g manja od \tilde{F} , onda pozivamo metodu uvećanja toka sve dok vrijednost od g nije jednaka \tilde{F} .

Traženje toka zadane vrijednosti. Zadana je cjelobrojna vrijednost F . Metoda konstruira i vraća cjelobrojni tok f u mreži G s vrijednošću F . Alternativno, metoda signalizira da takva vrijednost toka nije dostižna.

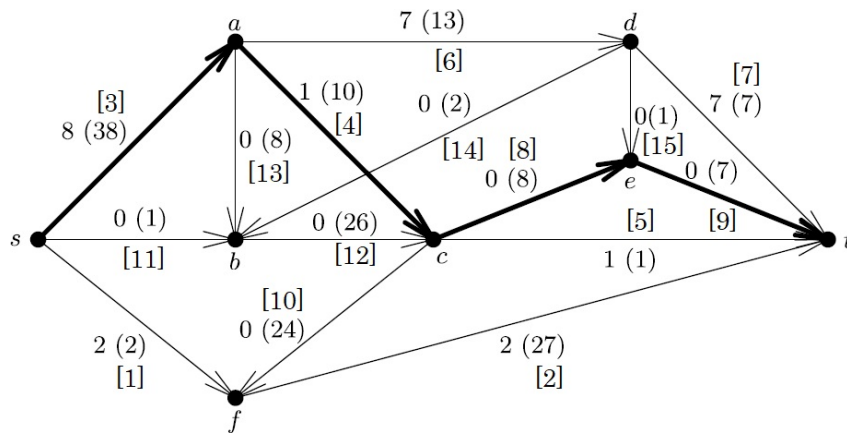
Metodu implementiramo na sljedeći način. Započinjemo od praznog toka f pa pozivamo metodu uvećanja toka sve dok vrijednost od f nije jednaka F . Ako je vrijednost F maksimalna, onda možemo primijeniti i algoritme za traženje minimalnog reza (Ford-Fulkersonov, Edmonds-Karpov), prema teoremu B.2 o maksimalnom toku i minimalnom rezu, te prema napomeni B.5, ili maksimalnog toka (Dinicev, Malhotra-Kumar-Maheshwarijev).

Traženje toka minimalne cijene zadane vrijednosti. Zadana je cjelobrojna vrijednost F . Metoda konstruira i vraća cjelobrojni tok f u mreži G s vrijednošću F i minimalnom cijenom toka c . Alternativno, metoda signalizira da takva vrijednost toka nije dostižna.

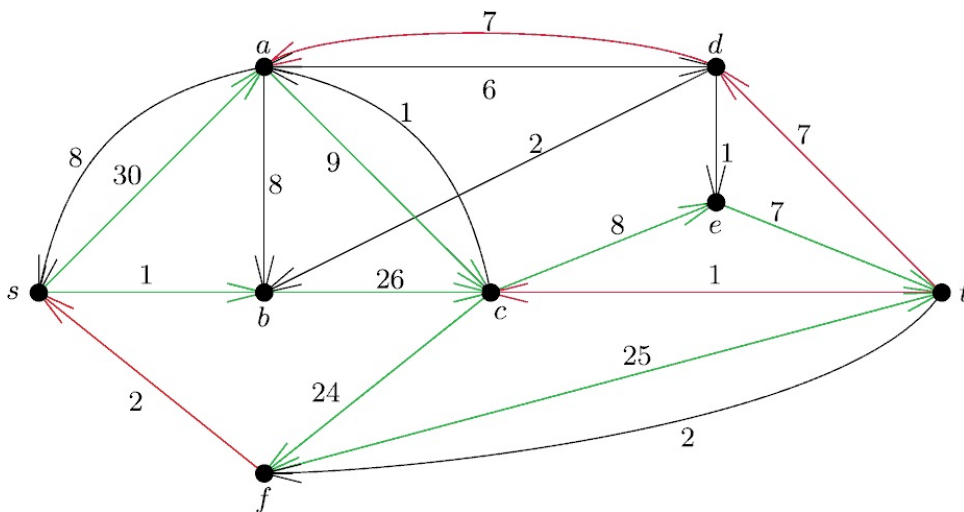
Metodu implementiramo na sljedeći način. Započinjemo od praznog toka f pa pozivamo metodu uvećanja toka minimalne cijene sve dok vrijednost od f nije jednaka F . Alternativno, pozovemo metodu traženja toka zadane vrijednosti pa pozivamo metodu smanjenja cijene toka sve dok cijena od f nije minimalna.

3.5. Primjer osnovnih operacija s tokovima

Primjer 3.25. Neka je \mathbf{x}_3 tok u primjeru B.13 s vrijednošću $f_3 = 10$. Tada su polazna mreža G i rezidualna mreža $G_{\mathbf{x}_3}$ oblika:



SLIKA 3.5. Polazna mreža G s tokom \mathbf{x}_3 .



SLIKA 3.6. Rezidualna mreža $G_{\mathbf{x}_3}$ toka \mathbf{x}_3 .

gdje \mathbf{x}_3 proizlazi iz tri puta uvećavajućeg toka podebljanih lukova u primjeru B.13 na slikama tokova s vrijednostima $f_0 = 0$, $f_1 = 2$, $f_2 = 3$.

Kapacitete lukova zapisujemo unutar oblikih zagrada, jedinične cijene lukova zapisujemo unutar uglatih zagrada, a vrijednosti tokova po lukovima izvan zagrada. Primijetimo da cjelobrojni tok \mathbf{x}_3 nije maksimalan - postoji put (s, a, c, e, t) uvećavajućeg toka kojeg ističemo podebljano. Primijetimo još da cjelobrojni tok \mathbf{x}_3 je minimalne cijene:

Neka su $\gamma_1 = (s, f, t)$, $\gamma_2 = (s, a, c, t)$, $\gamma_3 = (s, a, d, t)$, $\gamma_4 = (s, a, c, e, t)$, $\gamma_5 = (s, a, c, f, t)$, $\gamma_6 = (s, b, c, f, t)$, $\gamma_7 = (s, a, b, c, f, t)$, $\gamma_8 = (s, a, d, b, c, f, t)$, $\gamma_9 = (s, a, d, e, c, f, t)$ svih devet puteva uvećavajućeg toka podebljanih lukova u primjeru B.13 na slikama tokova s vrijednostima $f_0 = 0$, $f_1 = 2$, $f_2 = 3$, $f_3 = 10$, $f_4 = 17$, $f_5 = 19$, $f_6 = 20$, $f_7 = 28$, $f_8 = 30$. Tada su rezidualni kapaciteti tih devet puteva uvećavajućeg toka $\delta_1 = 2$, $\delta_2 = 1$, $\delta_3 = 7$, $\delta_4 = 7$, $\delta_5 = 2$, $\delta_6 = 1$, $\delta_7 = 8$, $\delta_8 = 2$, $\delta_9 = 1$, jedinične cijene $\varepsilon_1 = 3$, $\varepsilon_2 = 12$, $\varepsilon_3 = 16$, $\varepsilon_4 = 24$, $\varepsilon_5 = 19$, $\varepsilon_6 = 35$, $\varepsilon_7 = 40$, $\varepsilon_8 = 47$, $\varepsilon_9 = 28$, odnosno cijene $\varepsilon_{\delta_1} = \delta_1 \cdot \varepsilon_1 = 2 \cdot 3 = 6$, $\varepsilon_{\delta_2} = 12$, $\varepsilon_{\delta_3} = 112$, $\varepsilon_{\delta_4} = 168$, $\varepsilon_{\delta_5} = 38$, $\varepsilon_{\delta_6} = 35$, $\varepsilon_{\delta_7} = 320$, $\varepsilon_{\delta_8} = 94$, $\varepsilon_{\delta_9} = 28$. Kako su jedinične cijene $\varepsilon_1, \varepsilon_2, \varepsilon_3$ puteva $\gamma_1, \gamma_2, \gamma_3$ uvećavajućeg toka manje od jediničnih cijena ostalih puteva $\gamma_4, \gamma_5, \dots, \gamma_9$ uvećavajućeg toka, to je cjelobrojni tok \mathbf{x}_3 minimalne cijene $c_3 = \varepsilon_{\delta_1} + \varepsilon_{\delta_2} + \varepsilon_{\delta_3} = 6 + 12 + 112 = 130$.

Uvećanje toka \mathbf{x}_3 duž puta γ_4 vraća cjelobrojni tok \mathbf{x}_4 s vrijednošću $f_4 = 17$ i cijenom $c_4 = 298$ - nije minimalna jer je $\varepsilon_4 = 24 > 19 = \varepsilon_5$. S druge strane, uvećanje toka \mathbf{x}_3 duž puta γ_5 vraća cjelobrojni tok s vrijednošću $f_5 = 19$ i minimalnom cijenom $c_5 = 301$. Primijetimo da kad bi bilo $f_5 = 17 = f_4$, tada bi bilo $c_5 = 263 < 298 = c_4$.

Uvećanje toka konstruira rezidualnu mrežu $G_{\mathbf{x}_3}$ za cjelobrojni tok \mathbf{x}_3 u mreži G s vrijednošću $f_3 = 10$, postavlja put $\gamma_4 = (s, a, c, e, t)$ uvećavajućeg toka u $G_{\mathbf{x}_3}$, dohvaća rezidualni kapacitet $\delta_4 = 7$ od γ_4 i šalje tok vrijednosti δ_4 duž γ_4 pa vraća cjelobrojni tok u mreži G s vrijednošću $f_3 + \delta_4 = 17$.

Uvećanje toka minimalne cijene konstruira rezidualnu mrežu $G_{\mathbf{x}_3}$ za cjelobrojni tok \mathbf{x}_3 u mreži G s vrijednošću $f_3 = 10$ i minimalnom cijenom toka $c_3 = 130$, postavlja put $\gamma_5 = (s, a, c, f, t)$ uvećavajućeg toka minimalne cijene u $G_{\mathbf{x}_3}$, dohvaća rezidualni kapacitet $\delta_5 = 9$ i cijenu $\varepsilon_{\delta_5} = 171$ od γ_5 i šalje tok vrijednosti δ_5 duž γ_5 pa vraća cjelobrojni tok u mreži G s minimalnom cijenom toka $c_3 + \varepsilon_{\delta_5} = 301$, ali većom vrijednošću $f_3 + \delta_5 = 19$.

Smanjenje cijene toka konstruira rezidualnu mrežu $G_{\mathbf{x}_4}$ za cjelobrojni tok \mathbf{x}_4 u mreži G s vrijednošću $f_4 = 17$ i cijenom toka $c_4 = 298$, postavlja ciklus $\gamma_0 = (t, e, c, f, t)$ smanjujuće cijene u $G_{\mathbf{x}_4}$, dohvaća rezidualni kapacitet $\delta_0 = 7$ i negativnu cijenu $\varepsilon_{\delta_0} = -35$ od γ_0 i šalje tok vrijednosti δ_0 duž γ_0 pa vraća cjelobrojni tok u mreži G s istom vrijednošću $f_4 = 17$, ali manjom (minimalnom) cijenom toka $c_4 + \varepsilon_{\delta_0} = 263$.

Primijetimo da je vraćeni tok jednak toku s vrijednošću $f_5 = 17 = f_4$ i minimalnom cijenom $c_5 = 263 = c_4$ koji proizlazi iz uvećanja toka \mathbf{x}_3 duž puta γ_5 .

Perturbiranje toka konstruira rezidualnu mrežu $G_{\mathbf{x}_3}$ za cjelobrojni tok \mathbf{x}_3 u mreži G s vrijednošću $f_3 = 10$, postavlja jednostavni ciklus $\gamma_0 = (t, d, e, t)$ u $G_{\mathbf{x}_3}$, dohvaća rezidualni kapacitet $\delta_0 = 1$ od γ_0 i šalje tok vrijednosti δ_0 duž γ_0 pa vraća cjelobrojni tok u mreži G s vrijednošću $f'_3 = 10$ koji sliči \mathbf{x}_3 no malo se razlikuje od njega.

Primijetimo da su vraćeni tok te tok \mathbf{x}_3 iste vrijednosti.

Harmoniziranje toka, slično perturbiranju toka, konstruira rezidualnu mrežu za prvi cjelobrojni tok u mreži s nekom vrijednošću sastavljen samo od lukova (unatrag) unaprijed koje (ne) koristi drugi cjelobrojni tok u mreži s istom vrijednošću, postavlja jednostavni ciklus, dohvaća rezidualni kapacitet jednostavnog ciklusa i šalje tok vrijednosti rezidualnog kapaciteta duž jednostavnog ciklusa pa vraća cjelobrojni tok u mreži s istom vrijednošću koji sliči prvom toku no razlikuje se od njega po tome što koristi dio drugog toka:

Neka je \mathbf{x}'_3 tok s vrijednošću $f'_3 = 10$ koji proizlazi iz tri puta $\gamma_4, \gamma_5, \gamma_6$ uvećavajućeg toka. Tada harmoniziranje toka konstruira rezidualnu mrežu $G_{\mathbf{x}_3, \mathbf{x}'_3}$ za cjelobrojne tokove \mathbf{x}_3 i \mathbf{x}'_3 u mreži G oba s vrijednošću $f_3 = 10 = f'_3$ sastavljen samo od zelenih lukova unaprijed koje koristi \mathbf{x}'_3 i od crvenih lukova unatrag koji odgovaraju lukovima koje ne koristi \mathbf{x}'_3 , postavlja jednostavni ciklus $\gamma_0 = (t, d, a, c, f, t)$ u $G_{\mathbf{x}_3, \mathbf{x}'_3}$, dohvaća rezidualni kapacitet $\delta_0 = 7$ od γ_0 i šalje tok vrijednosti δ_0 duž γ_0 pa vraća cjelobrojni tok u mreži G s vrijednošću $f''_3 = 10$ više sličniji \mathbf{x}'_3 nego što je sličio \mathbf{x}_3 .

Primijetimo da su vraćeni tok te tokovi \mathbf{x}_3 i \mathbf{x}'_3 iste vrijednosti.

Neka su φ_1, φ_2 dva jedinična toka duž puta γ_1 , φ_3 jedan jedinični tok duž puta γ_2 i $\varphi_4, \varphi_5, \dots, \varphi_{10}$ sedam jediničnih tokova duž puta γ_3 . Neka su $\eta_1, \eta_2, \dots, \eta_7$ sedam jediničnih tokova duž puta γ_4 , η_8, η_9 dva jedinična toka duž puta γ_5 i η_{10} jedan jedinični tok duž puta γ_6 .

Komponiranje tokova zbraja pet puta neki od deset jediničnih tokova $\varphi_1, \varphi_2, \dots, \varphi_{10}$ u mreži G s nekim od deset jediničnih tokova $\eta_1, \eta_2, \dots, \eta_{10}$ u mreži G pa vraća cjelobrojni tok \mathbf{x}'_3 u mreži G s vrijednošću $f'_3 = 10$ koji je jednak zbroju nekih $\varphi_1, \varphi_2, \dots, \varphi_{10}$ i $\eta_1, \eta_2, \dots, \eta_{10}$:

$$\mathbf{x}'_3 = (\varphi_1 + \eta_2) + (\varphi_2 + \eta_4) + (\varphi_3 + \eta_6) + (\varphi_4 + \eta_8) + (\varphi_5 + \eta_{10}).$$

Primijetimo da je vraćeni tok \mathbf{x}'_3 različit od toka \mathbf{x}_3 , ali iste vrijednosti. Primijetimo još da vraćeni tok \mathbf{x}'_3 ne krši zakon ograničenja kapaciteta po lukovima.

Dekomponiranje toka za cjelobrojni tok \mathbf{x}_3 u mreži G s vrijednošću $f_3 = 10$ postavlja jednostavni put γ_1 u G i šalje dva puta tok vrijednosti 1 duž γ_1 , jedan puta tok vrijednosti 1 duž γ_2 i sedam puta tok vrijednosti 1 duž γ_3 pa vraća deset jediničnih tokova $\varphi_1, \varphi_2, \dots, \varphi_{10}$ u mreži G čiji je zbroj jednak \mathbf{x}_3 :

$$\mathbf{x}_3 = \varphi_1 + \varphi_2 + \dots + \varphi_{10}.$$

Sumiranje tokova zbraja dva cjelobrojna toka \mathbf{x}_3 i \mathbf{x}'_3 u mreži G oba s vrijednošću $f_3 = 10 = f'_3$ pa za svaki luk zbraja vrijednosti od \mathbf{x}_3 i \mathbf{x}'_3 u G te vraća cjelobrojni tok \mathbf{x}''_3 u mreži G s vrijednošću $f''_3 = f_3 + f'_3 = 20$:

$$\begin{aligned} x_{s,a} &= 8 + 9 = 17 \underbrace{(38)}_{=u_{s,a}}, x_{s,b} = 0 + 1 = 1 \underbrace{(1)}_{=u_{s,b}}, x_{s,f} = 2 + 0 = 2 \underbrace{(2)}_{=u_{s,f}}, \\ x_{a,b} &= 0 + 0 = 0(8), x_{a,c} = 1 + 9 = 10(10), x_{a,d} = 7 + 0 = 7(13), \\ x_{c,e} &= 0 + 7 = 7(8), x_{c,f} = 0 + 3 = 3(24), x_{c,t} = 1 + 0 = 1(1), \\ x_{d,b} &= 0 + 0 = 0(2), x_{d,e} = 0 + 0 = 0(1), x_{d,t} = 7 + 0 = 7(7), \\ x_{b,c} &= 0 + 1 = 1(26), x_{e,t} = 0 + 7 = 7(7), x_{f,t} = 2 + 3 = 5(27). \end{aligned}$$

Primijetimo da vraćeni tok \mathbf{x}''_3 poštuje zakon održanja toka u čvorovima. Primijetimo još da vraćeni tok \mathbf{x}''_3 ne krši zakon ograničenja kapaciteta po lukovima.

Dijeljenje toka dijeli jedan cjelobrojni tok \mathbf{x}''_3 u mreži G s vrijednošću $f''_3 = 20$ prirodnim brojem 2 pa za svaki luk dijeli vrijednost od \mathbf{x}''_3 u G s 2 te vraća tok \mathbf{x}'''_3 u mreži G s vrijednošću $f'''_3 = f''_3/2 = 10$:

$$\begin{aligned} x_{s,a} &= 17/2 = 8,5 \underbrace{(38)}_{=u_{s,a}}, x_{s,b} = 1/2 = 0,5 \underbrace{(1)}_{=u_{s,b}}, x_{s,f} = 2/2 = 1 \underbrace{(2)}_{=u_{s,f}}, \\ x_{a,b} &= 0/2 = 0(8), x_{a,c} = 10/2 = 5(10), x_{a,d} = 7/2 = 3,5(13), \\ x_{c,e} &= 7/2 = 3,5(8), x_{c,f} = 3/2 = 1,5(24), x_{c,t} = 1/2 = 0,5(1), \\ x_{d,b} &= 0/2 = 0(2), x_{d,e} = 0/2 = 0(1), x_{d,t} = 7/2 = 3,5(7), \\ x_{b,c} &= 1/2 = 0,5(26), x_{e,t} = 7/2 = 3,5(7), x_{f,t} = 5/2 = 2,5(27). \end{aligned}$$

Primijetimo da vraćeni tok \mathbf{x}'''_3 poštuje zakone održanja toka u čvorovima i ograničenja kapaciteta po lukovima. Primijetimo još da je vraćeni tok \mathbf{x}'''_3 necjelobrojan.

Centriranje tokova računa aritmetičku sredinu dva cjelobrojna toka \mathbf{x}_3 i \mathbf{x}'_3 u mreži G oba s vrijednošću $f_3 = 10 = f'_3$ pa za svaki luk računa aritmetičku sredinu vrijednosti od \mathbf{x}_3 i \mathbf{x}'_3 u G te vraća tok \mathbf{x}'''_3 u mreži G s vrijednošću $f'''_3 = 10$. Drugim riječima, centriranje tokova \mathbf{x}_3 i \mathbf{x}'_3 odgovara sumiranju tokova \mathbf{x}_3 i \mathbf{x}'_3 pa dijeljenju vraćenog toka \mathbf{x}''_3 s 2.

Zaokruživanje toka zaokružuje jedan necjelobrojni tok \mathbf{x}_3''' u mreži G s vrijednošću $f_3''' = 10$ pa za svaki luk zaokružuje vrijednost od \mathbf{x}_3''' u G te vraća cjelobrojni pseudo-tok $\tilde{\mathbf{x}}_3'''$ u mreži G :

$$\begin{aligned} x_{s,a} &= [8, 5] = 9 \underbrace{(38)}_{=u_{s,a}}, x_{s,b} = [0, 5] = 1 \underbrace{(1)}_{=u_{s,b}}, x_{s,f} = [1] = 1 \underbrace{(2)}_{=u_{s,f}}, \\ x_{a,b} &= [0] = 0(8), x_{a,c} = [5] = 5(10), x_{a,d} = [3, 5] = 4(13), \\ x_{c,e} &= [3, 5] = 4(8), x_{c,f} = [1, 5] = 2(24), x_{c,t} = [0, 5] = 1(1), \\ x_{d,b} &= [0] = 0(2), x_{d,e} = [0] = 0(1), x_{d,t} = [3, 5] = 4(7), \\ x_{b,c} &= [0, 5] = 1(26), x_{e,t} = [3, 5] = 4(7), x_{f,t} = [2, 5] = 3(27). \end{aligned}$$

Primijetimo da vraćeni pseudo-tok $\tilde{\mathbf{x}}_3'''$ poštuje zakon ograničenja kapaciteta po lukovima. Primijetimo još da vraćeni pseudo-tok $\tilde{\mathbf{x}}_3'''$ krši zakon održanja toka u čvorovima - izvor s šalje samo 11 jedinica toka, a ponor t prima $12 > 11$ jedinica toka i čvor c šalje 7 jedinica toka, a prima samo $6 < 7$ jedinica toka.

Kako bi pseudo-tok $\tilde{\mathbf{x}}_3'''$ postao dopustivi tok s vrijednošću $f_3''' = 11$, to ga dekomponiramo na jedanaest jediničnih tokova koje sumiramo - tok η_1 duž puta γ_1 , tok η_2 duž puta γ_2 , tokove η_3, \dots, η_6 duž puta γ_3 , tokove η_7, \dots, η_{10} duž puta γ_4 i tok η_{11} duž puta γ_6 :

$$\tilde{\mathbf{x}}_3''' = \eta_1 + \eta_2 + \dots + \eta_{11}$$

Traženje toka zadane vrijednosti za cjelobrojnu vrijednost $F = 10$ postupno uvećava vrijednost praznog toka \mathbf{x}_0 do F putevima $\gamma_1, \gamma_2, \gamma_3$ uvećavajućeg toka pa vraća cjelobrojni tok \mathbf{x}_3 u mreži G s vrijednošću $f_3 = 10$.

Traženje toka minimalne cijene zadane vrijednosti za cjelobrojnu vrijednost $F = 10$ postupno uvećava vrijednost praznog toka \mathbf{x}_0 do F putevima $\gamma_1, \gamma_2, \gamma_3$ uvećavajućeg toka čuvajući minimalnu cijenu pa vraća cjelobrojni tok \mathbf{x}_3 u mreži G s vrijednošću $f_3 = 10$ i minimalnom cijenom toka $c_3 = 130$.

3.6. Složenost osnovnih operacija s tokovima

Prije svega, analiziramo složenost sastavnih metoda u implementaciji osnovnih operacija s tokovima:

- (1) Konstruiranje rezidualne mreže za zadani cjelobrojni tok u polaznoj mreži s nekom vrijednošću svakom luku polazne mreže pridružuje lukove unaprijed i unatrag rezidualne mreže pa ima polinomijalnu složenost $O(|A|)$.
- (2) Postavljanje puta uvećavajućeg toka u rezidualnoj mreži ima polinomijalnu složenost $O(|A|)$ Mooreovog BFS algoritma.
- (3) Postavljanje puta uvećavajućeg toka minimalne cijene u rezidualnoj mreži ima polinomijalnu složenost $O(|V||A|)$ Bellman-Fordovog algoritma.
- (4) Postavljanje ciklusa smanjujuće cijene u rezidualnoj mreži ima polinomijalnu složenost $O(|V|^3)$ Floyd-Warshallovog algoritma.
- (5) Postavljanje jednostavnog ciklusa u rezidualnoj mreži ima polinomijalnu složenost $O(|V|)$ backtracking DFS algoritma.
- (6) Postavljanje jednostavnog puta u polaznoj mreži ima polinomijalnu složenost $O(|A|)$ Mooreovog BFS algoritma.
- (7) Dohvaćanje rezidualnog kapaciteta puta uvećavajućeg toka ili ciklusa smanjujuće cijene računa najmanji kapacitet lukova na tom putu ili u tom ciklusu pa ima polinomijalnu složenost $O(|A|)$.
- (8) Slanje toka u polaznoj mreži s vrijednošću dohvaćenog rezidualnog kapaciteta puta uvećavajućeg toka ili ciklusa smanjujuće cijene svakom luku polazne mreže duž tog puta ili tog ciklusa pridružuje tu vrijednost pa ima polinomijalnu složenost $O(|A|)$.

Uvećanje toka konstruira rezidualnu mrežu G_f za cjelobrojni tok f u mreži G s vrijednošću F , postavlja put γ uvećavajućeg toka u G_f , dohvaća rezidualni kapacitet δ od γ i šalje tok vrijednosti δ duž γ . Stoga ima polinomijalnu složenost $O(|A| + 3|A|) = O(|A|)$.

Uvećanje toka minimalne cijene konstruira rezidualnu mrežu G_f za cjelobrojni tok f u mreži G s vrijednošću F i minimalnom cijenom toka c , postavlja put γ uvećavajućeg toka minimalne cijene u G_f , dohvaća rezidualni kapacitet δ i cijenu ε_δ od γ i šalje tok vrijednosti δ duž γ . Stoga ima polinomijalnu složenost $O(|V||A| + 3|A|) = O(|V||A|)$.

Smanjenje cijene toka konstruira rezidualnu mrežu G_f za cjelobrojni tok f u mreži G s vrijednošću F i cijenom toka c , postavlja ciklus γ smanjujuće cijene u G_f , dohvaća rezidualni kapacitet δ i negativnu cijenu ε_δ od γ i šalje tok vrijednosti δ duž γ . Stoga ima polinomijalnu složenost $O(|V|^3 + 3 \underbrace{|A|}_{\leq |V|^2}) = O(|V|^3)$.

Perturbiranje toka konstruira rezidualnu mrežu G_f za cjelobrojni tok f u mreži G s vrijednošću F , postavlja jednostavni ciklus γ u G_f , dohvaća rezidualni kapacitet δ od γ i šalje tok vrijednosti δ duž γ . Stoga ima polinomijalnu složenost

$$O(\underbrace{|V|}_{\leq |A|} + 3|A|) = O(|A|).$$

Harmoniziranje toka konstruira rezidualnu mrežu G_{f_g} za cjelobrojne tokove f i g u mreži G oba s vrijednošću F , postavlja jednostavni ciklus γ u G_{f_g} , dohvaća rezidualni kapacitet δ od γ i šalje tok vrijednosti δ duž γ . Stoga ima polinomijalnu složenost

$$O(\underbrace{|V|}_{\leq |A|} + 3|A|) = O(|A|).$$

Komponiranje tokova pokušava zbrojiti F puta neki od F jediničnih (cjelobrojnih) tokova $\varphi_1, \varphi_2, \dots, \varphi_F$ u mreži G s nekim od F jediničnih (cjelobrojnih) tokova $\eta_1, \eta_2, \dots, \eta_F$ u mreži G metodom sumiranja tokova koja ima polinomijalnu složenost $O(2|A|)$ za ta dva jedinična toka te, eventualno, uvećati vrijednost trenutnog toka f do F metodom uvećanja toka. Stoga ima kvazi-polinomijalnu složenost

$$O(F \cdot 2|A| + |A|) = O(F|A|).$$

Dekomponiranje toka za cjelobrojni tok f u mreži G s vrijednošću F postavlja jednostavni put γ u G i šalje tok vrijednosti 1 duž γ te postupak ponavlja F puta. Stoga ima kvazi-polinomijalnu složenost

$$O(F \cdot 2|A|) = O(F|A|).$$

Sumiranje tokova pokušava zbrojiti svaki od k cjelobrojnih tokova f_1, f_2, \dots, f_k u mreži G pa za svaki luk zbraja vrijednosti od f_i u G . Stoga ima kvazi-polinomijalnu složenost

$$O(k|A|).$$

Dijeljenje toka pokušava podijeliti jedan cjelobrojni tok f u mreži G prirodnim brojem k pa za svaki luk dijeli vrijednost od f u G s k . Stoga ima polinomijalnu složenost

$$O(|A|).$$

Centriranje tokova pokušava izračunati aritmetičku sredinu k cjelobrojnih tokova f_1, f_2, \dots, f_k u mreži G pa za svaki luk računa aritmetičku sredinu vrijednosti od f_i u G . Stoga ima kvazi-polinomijalnu složenost

$$O(k|A|).$$

Zaokruživanje toka zaokružuje jedan necjelobrojni tok f u mreži G s vrijednošću F na cjelobrojni tok g u mreži G s vrijednošću \tilde{F} pa za svaki luk zaokružuje vrijednost od f u G . Analogno kao i metoda dekomponiranja toka, postavlja jednostavni put γ u G i šalje tok vrijednosti 1 duž γ te postupak ponavlja \tilde{F} puta. Eventualno kao i metoda komponiranja tokova, uvećava vrijednost trenutnog toka g do \tilde{F} metodom uvećanja toka. Stoga ima kvazi-polinomijalnu složenost

$$O(|A| + \underbrace{\tilde{F}}_{\approx F} |A| + |A|) = O(F|A|).$$

Traženje toka zadane vrijednosti za cjelobrojnu vrijednost F postupno uvećava vrijednost praznog toka f do F metodom uvećanja toka. Stoga ima kvazi-polinomijalnu složenost

$$O(F|A|).$$

Traženje toka minimalne cijene zadane vrijednosti za cjelobrojnu vrijednost F postupno uvećava vrijednost praznog toka f do F čuvajući minimalnu cijenu metodom uvećanja toka minimalne cijene. Stoga ima kvazi-polinomijalnu složenost

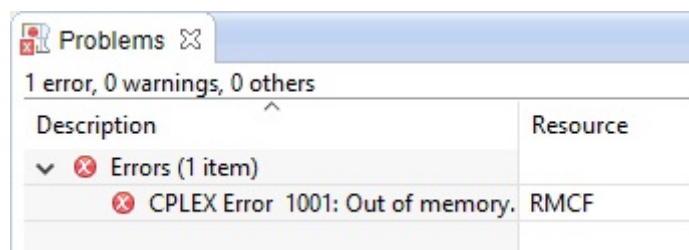
$$O(F|V||A|).$$

4. Egzaktno rješavanje robusnih problema toka

Robusne probleme toka općenito rješavamo *egzaktnim algoritmima* za cjelobrojno linearno programiranje, pomoću grananja i ograđivanja (eng. branch-and-bound) ili ravnine odsjecanja (eng. cutting-plane). Za egzaktno rješavanje (poopćenog) robusnog problema toka minimalne cijene potrebno ga je formulirati kao problem cjelobrojnog linearnog programiranja. Za egzaktno rješavanje relaksiranog robusnog problema toka minimalne cijene potrebno ga je formulirati kao problem običnog linearnog programiranja. Relaksirane robusne varijante problema toka minimalne cijene rješavamo puno jednostavnije od istovjetnih problema cjelobrojnog linearnog programiranja. Kako relaksirani problem ima veću slobodu rješavanja u odnosu na cjelobrojni problem, to može bolje minimizirati funkciju cilja pa relaksirano rješenje daje donju ogradu za cjelobrojno rješenje.

Manji primjerci robusnih problema toka egzaktno su rješivi alatima IBM ILOG CPLEX Optimization Studio ili Microsoft Excel Solver (u daljnjem tekstu CPLEX i Solver) za rješavanje problema optimizacije. Međutim, prilikom rješavanja većih primjeraka robusnih problema toka, CPLEX nerijetko javlja grešku, i to posebno u devijantno te relativno robusnoj varijanti, a često je i samo vrijeme izvršavanja predugo, dok Solver ima postavljena ograničenja na veličinu problema.

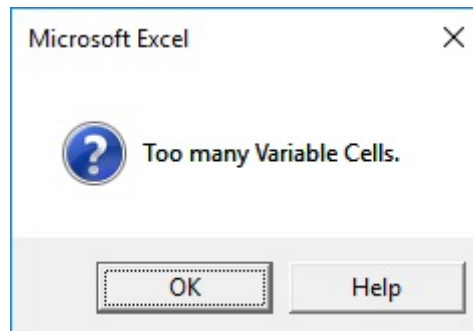
Primjer 4.1. *Za primjerke problema koji u nekoj robusnoj varijanti nisu rješivi CPLEX-om, alat javlja grešku da je bez memorije.*



SLIKA 4.1. CPLEX greška.

Razlog tomu je vrlo vjerojatno prevelik broj međurješenja potproblema koja se privremeno pohranjuju u memoriju.

Primjer 4.2. Za primjerke problema koji u nekoj robusnoj varijanti nisu rješivi Solverom, alat javlja poruku da ima previše varijabli.



SLIKA 4.2. Solver poruka.

Razlog tomu su postavljena ograničenja na veličinu problema, odnosno na broj varijabli odlučivanja i uvjeta koji se zadaju.

CPLEX je paket biblioteka za rješavanje problema optimizacije poput problema (mješovitog) cjelobrojnog programiranja, problema linearnog programiranja simpleks metodama ili metodama unutrašnje točke (metodama barijere), problema konveksnog kvadratnog programiranja, i problema uvjetovanih linearno ili konveksno kvadratno.

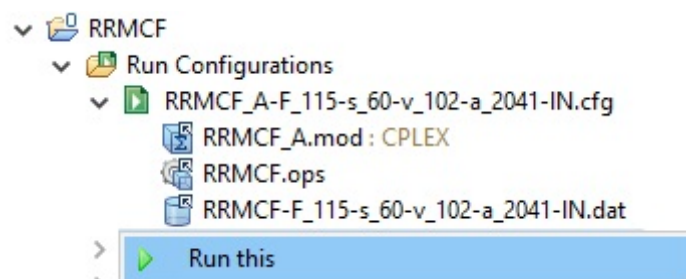
Prema korisničkim uputama [IBM15], za rješavanje problema potrebno je opisati modele i zadati podatke. U modelima se opisuje problem, tj. deklariraju se varijable (odlučivanja).

Varijabla odlučivanja je nepoznanica u problemu optimizacije. Svrha modela je pronaći vrijednosti za varijable odlučivanja takve da zadovoljavaju navedene uvjete i optimiziraju određenu funkciju cilja.

Za opisivanje problema potrebno je odgovoriti na sljedeća pitanja:

- (1) Koje su nepoznanice (varijable odlučivanja) u problemu?
- (2) Koja su ograničenja (uvjeti) na varijable odlučivanja?
- (3) Koja je svrha (funkcija cilja) rješavanja problema?

U primjercima podataka se zadaje problem, tj. pridružuju se vrijednosti deklariranim varijablama. Komentirane varijable služe informativno. Zatim se pokrene nova konfiguracija s modelom i primjerkom podataka:



SLIKA 4.3. CPLEX konfiguracija.

Promotrimo imena i tipove varijabli korištenih za rješavanje robusnih problema toka minimalne cijene koje se deklariraju u modelima te im se pridružuju neke vrijednosti u primjercima podataka:

Ime varijable	Tip varijable	Opis varijable
FlowVal	int	zadana vrijednost toka
FlowValMax	int	maksimalna vrijednost toka
ScenariosNum	int	broj scenarija
VerticesNum	int	broj vrhova
Scenarios	range	skup scenarija
Vertices	range	skup vrhova
Capacity	int[][]	<i>(R)RMCF</i> kapaciteti lukova u
	int[][][]	<i>GRMCF</i>
CapacityMin	int[][]	minimalni kapaciteti lukova
Cost	int[][][]	jedinične cijene lukova
Flow	dvar int+[][]	<i>(G)RMCF</i> tokovi lukova u
	dvar float+[][]	<i>RRMCF</i>
SolutionAbs	dvar int+	apsolutno rješenje problema
SolutionDev	dvar int+	devijantno rješenje problema
SolutionRel	dvar float+	relativno rješenje problema
SolutionOpt	int[]	optimalna rješenja problema

TABLICA 4.1. Legenda imena varijabli.

Tip varijable	Opis tipa varijable
range	raspon varijabli
int	cjelobrojna varijabla
int[]	cjelobrojno (jednodimenzionalno) polje varijabli
int[][]	cjelobrojno dvodimenzionalno polje varijabli
int[][][]	cjelobrojno trodimenzionalno polje varijabli
dvar int+	cjelobrojna nenegativna varijabla odlučivanja
dvar int+[][]	cjelobrojno nenegativno dvodimenzionalno polje varijabli odlučivanja
dvar float+	realna nenegativna varijabla odlučivanja
dvar float+[][]	realno nenegativno dvodimenzionalno polje varijabli odlučivanja

TABLICA 4.2. Legenda tipova varijabli.


```

int FlowVal = ...; // F
int FlowValMax = ...; // max{F}
int ScenariosNum = ...; // card(S) = |S|
int VerticesNum = ...; // card(V) = |V|
range Scenarios = 1..ScenariosNum;
range Vertices = 1..VerticesNum;
int Capacity[Vertices][Vertices] = ...; // u_ij
int Cost[Scenarios][Vertices][Vertices] = ...; // c^s_ij
dvar int+ Flow[Vertices][Vertices]; // x_ij
dvar int+ SolutionAbs; // y
int SolutionOpt[Scenarios] = ...; // z^s

minimize SolutionAbs;
subject to {
  forall(s in Scenarios)
    sum(i in Vertices, j in Vertices) (Cost[s][i][j] * Flow[i][j]) <= SolutionAbs;
  forall(i in Vertices)
    sum(j in Vertices) (Flow[i][j] - Flow[j][i]) == ((i == 1) ? FlowVal :
      (i == VerticesNum) ? -FlowVal : 0);
  forall(i in Vertices, j in Vertices)
    0 <= Flow[i][j] <= Capacity[i][j];
}

```

DATOTEKA 4.6. Model apsolutno robusnog problema toka minimalne cijene *RMCF_A.mod*.

```

int FlowVal = ...; // F
int FlowValMax = ...; // max{F}
int ScenariosNum = ...; // card(S) = |S|
int VerticesNum = ...; // card(V) = |V|
range Scenarios = 1..ScenariosNum;
range Vertices = 1..VerticesNum;
int Capacity[Vertices][Vertices] = ...; // u_ij
int Cost[Scenarios][Vertices][Vertices] = ...; // c^s_ij
dvar int+ Flow[Vertices][Vertices]; // x_ij
dvar int+ SolutionDev; // y
int SolutionOpt[Scenarios] = ...; // z^s

minimize SolutionDev;
subject to {
  forall(s in Scenarios)
    sum(i in Vertices, j in Vertices) (Cost[s][i][j] * Flow[i][j]) - SolutionOpt[s]
      <= SolutionDev;
  forall(i in Vertices)
    sum(j in Vertices) (Flow[i][j] - Flow[j][i]) == ((i == 1) ? FlowVal :
      (i == VerticesNum) ? -FlowVal : 0);
  forall(i in Vertices, j in Vertices)
    0 <= Flow[i][j] <= Capacity[i][j];
}

```

DATOTEKA 4.7. Model devijantno robusnog problema toka minimalne cijene *RMCF_D.mod*.


```

int FlowVal = ...; // F
int FlowValMax = ...; // max{F}
int ScenariosNum = ...; // card(S) = |S|
int VerticesNum = ...; // card(V) = |V|
range Scenarios = 1..ScenariosNum;
range Vertices = 1..VerticesNum;
int Capacity[Vertices][Vertices] = ...; // u_ij
int Cost[Scenarios][Vertices][Vertices] = ...; // c^s_ij
dvar int+ Flow[Vertices][Vertices]; // x_ij
dvar float+ SolutionRel; // y
int SolutionOpt[Scenarios] = ...; // z^s

minimize SolutionRel;
subject to {
  forall(s in Scenarios)
    sum(i in Vertices, j in Vertices) (Cost[s][i][j] * Flow[i][j]) / SolutionOpt[s] - 1
      <= SolutionRel;
  forall(i in Vertices)
    sum(j in Vertices) (Flow[i][j] - Flow[j][i]) == ((i == 1) ? FlowVal :
      (i == VerticesNum) ? -FlowVal : 0);
  forall(i in Vertices, j in Vertices)
    0 <= Flow[i][j] <= Capacity[i][j];
}

```

DATOTEKA 4.8. Model relativno robusnog problema toka minimalne cijene *RMCF_R.mod*.

```

FlowVal = 2;
FlowValMax = 4;
ScenariosNum = 2;
VerticesNum = 14;
//ArcsNum = 16;
Capacity = [[0, 1, 1, 1, 1, 0, 0, 0, 0, 0, 0, 0, 0, 0],
            [0, 0, 0, 0, 0, 1, 0, 0, 0, 0, 0, 0, 0, 0],
            [0, 0, 0, 0, 0, 0, 1, 0, 0, 0, 0, 0, 0, 0],
            [0, 0, 0, 0, 0, 0, 0, 1, 0, 0, 0, 0, 0, 0],
            [0, 0, 0, 0, 0, 0, 0, 0, 1, 0, 0, 0, 0, 0],
            [0, 0, 0, 0, 0, 0, 0, 0, 0, 1, 0, 0, 0, 0],
            [0, 0, 0, 0, 0, 0, 0, 0, 0, 0, 1, 0, 0, 0],
            [0, 0, 0, 0, 0, 0, 0, 0, 0, 0, 0, 1, 0, 0],
            [0, 0, 0, 0, 0, 0, 0, 0, 0, 0, 0, 0, 1, 0],
            [0, 0, 0, 0, 0, 0, 0, 0, 0, 0, 0, 0, 0, 1],
            [0, 0, 0, 0, 0, 0, 0, 0, 0, 0, 0, 0, 0, 1],
            [0, 0, 0, 0, 0, 0, 0, 0, 0, 0, 0, 0, 0, 1],
            [0, 0, 0, 0, 0, 0, 0, 0, 0, 0, 0, 0, 0, 0]];
Cost = [[0, 1, 1, 1, 1, 0, 0, 0, 0, 0, 0, 0, 0, 0],
        [0, 0, 0, 0, 0, 1, 0, 0, 0, 0, 0, 0, 0, 0],
        [0, 0, 0, 0, 0, 0, 2, 0, 0, 0, 0, 0, 0, 0],
        [0, 0, 0, 0, 0, 0, 0, 3, 0, 0, 0, 0, 0, 0],
        [0, 0, 0, 0, 0, 0, 0, 0, 4, 0, 0, 0, 0, 0],
        [0, 0, 0, 0, 0, 0, 0, 0, 0, 1, 0, 0, 0, 0],

```

```

[0, 0, 0, 0, 0, 0, 0, 0, 0, 0, 0, 2, 0, 0, 0],
[0, 0, 0, 0, 0, 0, 0, 0, 0, 0, 0, 0, 3, 0, 0],
[0, 0, 0, 0, 0, 0, 0, 0, 0, 0, 0, 0, 0, 4, 0],
[0, 0, 0, 0, 0, 0, 0, 0, 0, 0, 0, 0, 0, 0, 1],
[0, 0, 0, 0, 0, 0, 0, 0, 0, 0, 0, 0, 0, 0, 1],
[0, 0, 0, 0, 0, 0, 0, 0, 0, 0, 0, 0, 0, 0, 1],
[0, 0, 0, 0, 0, 0, 0, 0, 0, 0, 0, 0, 0, 0, 1],
[0, 0, 0, 0, 0, 0, 0, 0, 0, 0, 0, 0, 0, 0, 0]],
[[0, 1, 1, 1, 1, 0, 0, 0, 0, 0, 0, 0, 0, 0, 0],
[0, 0, 0, 0, 0, 5, 0, 0, 0, 0, 0, 0, 0, 0, 0],
[0, 0, 0, 0, 0, 0, 4, 0, 0, 0, 0, 0, 0, 0, 0],
[0, 0, 0, 0, 0, 0, 0, 3, 0, 0, 0, 0, 0, 0, 0],
[0, 0, 0, 0, 0, 0, 0, 0, 2, 0, 0, 0, 0, 0, 0],
[0, 0, 0, 0, 0, 0, 0, 0, 0, 5, 0, 0, 0, 0, 0],
[0, 0, 0, 0, 0, 0, 0, 0, 0, 0, 4, 0, 0, 0, 0],
[0, 0, 0, 0, 0, 0, 0, 0, 0, 0, 0, 3, 0, 0, 0],
[0, 0, 0, 0, 0, 0, 0, 0, 0, 0, 0, 0, 2, 0, 0],
[0, 0, 0, 0, 0, 0, 0, 0, 0, 0, 0, 0, 0, 0, 1],
[0, 0, 0, 0, 0, 0, 0, 0, 0, 0, 0, 0, 0, 0, 1],
[0, 0, 0, 0, 0, 0, 0, 0, 0, 0, 0, 0, 0, 0, 1],
[0, 0, 0, 0, 0, 0, 0, 0, 0, 0, 0, 0, 0, 0, 1],
[0, 0, 0, 0, 0, 0, 0, 0, 0, 0, 0, 0, 0, 0, 0]]];
SolutionOpt = [10, 14];
/*
FlowOpt = [[[0, 1, 1, 0, 0, 0, 0, 0, 0, 0, 0, 0, 0, 0, 0],
[0, 0, 0, 0, 0, 1, 0, 0, 0, 0, 0, 0, 0, 0, 0],
[0, 0, 0, 0, 0, 0, 1, 0, 0, 0, 0, 0, 0, 0, 0],
[0, 0, 0, 0, 0, 0, 0, 0, 0, 0, 0, 0, 0, 0, 0],
[0, 0, 0, 0, 0, 0, 0, 0, 0, 0, 0, 0, 0, 0, 0],
[0, 0, 0, 0, 0, 0, 0, 0, 0, 1, 0, 0, 0, 0, 0],
[0, 0, 0, 0, 0, 0, 0, 0, 0, 0, 1, 0, 0, 0, 0],
[0, 0, 0, 0, 0, 0, 0, 0, 0, 0, 0, 0, 0, 0, 0],
[0, 0, 0, 0, 0, 0, 0, 0, 0, 0, 0, 0, 0, 0, 0],
[0, 0, 0, 0, 0, 0, 0, 0, 0, 0, 0, 0, 0, 0, 1],
[0, 0, 0, 0, 0, 0, 0, 0, 0, 0, 0, 0, 0, 0, 1],
[0, 0, 0, 0, 0, 0, 0, 0, 0, 0, 0, 0, 0, 0, 0],
[0, 0, 0, 0, 0, 0, 0, 0, 0, 0, 0, 0, 0, 0, 0],
[0, 0, 0, 0, 0, 0, 0, 0, 0, 0, 0, 0, 0, 0, 0],
[0, 0, 0, 0, 0, 0, 0, 0, 0, 0, 0, 0, 0, 0, 0],
[0, 0, 0, 0, 0, 0, 0, 0, 0, 0, 0, 0, 0, 0, 0],
[0, 0, 0, 0, 0, 0, 0, 0, 0, 0, 0, 1, 0, 0, 0],
[0, 0, 0, 0, 0, 0, 0, 0, 0, 0, 0, 0, 1, 0, 0],
[0, 0, 0, 0, 0, 0, 0, 0, 0, 0, 0, 0, 0, 0, 0],
[0, 0, 0, 0, 0, 0, 0, 0, 0, 0, 0, 0, 0, 0, 0],
[0, 0, 0, 0, 0, 0, 0, 0, 0, 0, 0, 0, 0, 0, 1],
[0, 0, 0, 0, 0, 0, 0, 0, 0, 0, 0, 0, 0, 0, 1],
[0, 0, 0, 0, 0, 0, 0, 0, 0, 0, 0, 0, 0, 0, 0]]];

```

```

FlowAbs = [[0, 0, 1, 0, 1, 0, 0, 0, 0, 0, 0, 0, 0, 0],
           [0, 0, 0, 0, 0, 0, 0, 0, 0, 0, 0, 0, 0, 0],
           [0, 0, 0, 0, 0, 0, 1, 0, 0, 0, 0, 0, 0, 0],
           [0, 0, 0, 0, 0, 0, 0, 0, 0, 0, 0, 0, 0, 0],
           [0, 0, 0, 0, 0, 0, 0, 0, 1, 0, 0, 0, 0, 0],
           [0, 0, 0, 0, 0, 0, 0, 0, 0, 0, 0, 0, 0, 0],
           [0, 0, 0, 0, 0, 0, 0, 0, 0, 0, 1, 0, 0, 0],
           [0, 0, 0, 0, 0, 0, 0, 0, 0, 0, 0, 0, 0, 0],
           [0, 0, 0, 0, 0, 0, 0, 0, 0, 0, 0, 0, 1, 0],
           [0, 0, 0, 0, 0, 0, 0, 0, 0, 0, 0, 0, 0, 0],
           [0, 0, 0, 0, 0, 0, 0, 0, 0, 0, 0, 0, 0, 1],
           [0, 0, 0, 0, 0, 0, 0, 0, 0, 0, 0, 0, 0, 0],
           [0, 0, 0, 0, 0, 0, 0, 0, 0, 0, 0, 0, 0, 1],
           [0, 0, 0, 0, 0, 0, 0, 0, 0, 0, 0, 0, 0, 0]];
FlowDev = [[0, 1, 0, 0, 1, 0, 0, 0, 0, 0, 0, 0, 0, 0],
           [0, 0, 0, 0, 0, 1, 0, 0, 0, 0, 0, 0, 0, 0],
           [0, 0, 0, 0, 0, 0, 0, 0, 0, 0, 0, 0, 0, 0],
           [0, 0, 0, 0, 0, 0, 0, 0, 0, 0, 0, 0, 0, 0],
           [0, 0, 0, 0, 0, 0, 0, 0, 1, 0, 0, 0, 0, 0],
           [0, 0, 0, 0, 0, 0, 0, 0, 0, 1, 0, 0, 0, 0],
           [0, 0, 0, 0, 0, 0, 0, 0, 0, 0, 0, 0, 0, 0],
           [0, 0, 0, 0, 0, 0, 0, 0, 0, 0, 0, 0, 0, 0],
           [0, 0, 0, 0, 0, 0, 0, 0, 0, 0, 0, 0, 1, 0],
           [0, 0, 0, 0, 0, 0, 0, 0, 0, 0, 0, 0, 0, 1],
           [0, 0, 0, 0, 0, 0, 0, 0, 0, 0, 0, 0, 0, 0],
           [0, 0, 0, 0, 0, 0, 0, 0, 0, 0, 0, 0, 0, 0],
           [0, 0, 0, 0, 0, 0, 0, 0, 0, 0, 0, 0, 0, 1],
           [0, 0, 0, 0, 0, 0, 0, 0, 0, 0, 0, 0, 0, 0]];
FlowRel = [[0, 0, 1, 1, 0, 0, 0, 0, 0, 0, 0, 0, 0, 0],
           [0, 0, 0, 0, 0, 0, 0, 0, 0, 0, 0, 0, 0, 0],
           [0, 0, 0, 0, 0, 0, 1, 0, 0, 0, 0, 0, 0, 0],
           [0, 0, 0, 0, 0, 0, 0, 1, 0, 0, 0, 0, 0, 0],
           [0, 0, 0, 0, 0, 0, 0, 0, 0, 0, 0, 0, 0, 0],
           [0, 0, 0, 0, 0, 0, 0, 0, 0, 0, 0, 0, 0, 0],
           [0, 0, 0, 0, 0, 0, 0, 0, 0, 0, 1, 0, 0, 0],
           [0, 0, 0, 0, 0, 0, 0, 0, 0, 0, 0, 1, 0, 0],
           [0, 0, 0, 0, 0, 0, 0, 0, 0, 0, 0, 0, 0, 0],
           [0, 0, 0, 0, 0, 0, 0, 0, 0, 0, 0, 0, 0, 0],
           [0, 0, 0, 0, 0, 0, 0, 0, 0, 0, 0, 0, 0, 1],
           [0, 0, 0, 0, 0, 0, 0, 0, 0, 0, 0, 0, 0, 1],
           [0, 0, 0, 0, 0, 0, 0, 0, 0, 0, 0, 0, 0, 0],
           [0, 0, 0, 0, 0, 0, 0, 0, 0, 0, 0, 0, 0, 0]];
SolutionAbs = 16;
SolutionDev = 4;
SolutionRel = 0.4;
TimeAbs = 00:00:00.10;
TimeDev = 00:00:00.10;
TimeRel = 00:00:00.09;
*/

```

4.2. Egzaktno rješavanje poopćenog robusnog problema toka minimalne cijene

Poopćene robusne varijante problema toka minimalne cijene formuliramo kao probleme cjelobrojnog linearnog programiranja ovako:

$$\begin{aligned}
 & \left. \begin{array}{l} z_A = y \rightarrow \min \\ \text{uz uvjete:} \\ \sum_{(v_i, v_j) \in A} c_{ij}^s x_{ij} \leq y, \forall s \in S \\ \sum_{\substack{v_j \in V \\ (v_i, v_j) \in A}} x_{ij} - \sum_{\substack{v_j \in V \\ (v_j, v_i) \in A}} x_{ji} = \begin{cases} F & \text{ako je } v_i = v_1 \\ -F & \text{ako je } v_i = v_n, \forall v_i \in V \\ 0 & \text{inače} \end{cases} \\ 0 \leq x_{ij} \leq \min_{s \in S} u_{ij}^s, \forall (v_i, v_j) \in A \\ x_{ij} \in \mathbb{Z}_{\geq 0}, \forall (v_i, v_j) \in A \end{array} \right\} (GRMCF)'_{A\dots} \\
 (4.2) \quad & \left. \begin{array}{l} z_D = y \rightarrow \min \\ \text{uz uvjete:} \\ \sum_{(v_i, v_j) \in A} c_{ij}^s x_{ij} \leq y + z^s, \forall s \in S \\ \sum_{\substack{v_j \in V \\ (v_i, v_j) \in A}} x_{ij} - \sum_{\substack{v_j \in V \\ (v_j, v_i) \in A}} x_{ji} = \begin{cases} F & \text{ako je } v_i = v_1 \\ -F & \text{ako je } v_i = v_n, \forall v_i \in V \\ 0 & \text{inače} \end{cases} \\ 0 \leq x_{ij} \leq \min_{s \in S} u_{ij}^s, \forall (v_i, v_j) \in A \\ x_{ij} \in \mathbb{Z}_{\geq 0}, \forall (v_i, v_j) \in A \end{array} \right\} (GRMCF)'_{D\dots} \\
 & \left. \begin{array}{l} z_R = y \rightarrow \min \\ \text{uz uvjete:} \\ \sum_{(v_i, v_j) \in A} c_{ij}^s x_{ij} \leq (y + 1)z^s, \forall s \in S \\ \sum_{\substack{v_j \in V \\ (v_i, v_j) \in A}} x_{ij} - \sum_{\substack{v_j \in V \\ (v_j, v_i) \in A}} x_{ji} = \begin{cases} F & \text{ako je } v_i = v_1 \\ -F & \text{ako je } v_i = v_n, \forall v_i \in V \\ 0 & \text{inače} \end{cases} \\ 0 \leq x_{ij} \leq \min_{s \in S} u_{ij}^s, \forall (v_i, v_j) \in A \\ x_{ij} \in \mathbb{Z}_{\geq 0}, \forall (v_i, v_j) \in A \end{array} \right\} (GRMCF)'_{R\dots}
 \end{aligned}$$

```

int FlowVal = ...; // F
int FlowValMax = ...; // max{F}
int ScenariosNum = ...; // card(S) = |S|
int VerticesNum = ...; // card(V) = |V|
range Scenarios = 1..ScenariosNum;
range Vertices = 1..VerticesNum;
int Capacity[Scenarios][Vertices][Vertices] = ...; // u^s_ij
int CapacityMin[Vertices][Vertices] = ...; // min{u^s_ij}
int Cost[Scenarios][Vertices][Vertices] = ...; // c^s_ij
dvar int+ Flow[Vertices][Vertices]; // x_ij
dvar int+ SolutionAbs; // y
int SolutionOpt[Scenarios] = ...; // z^s
minimize SolutionAbs;
subject to {
  forall(s in Scenarios)
    sum(i in Vertices, j in Vertices) (Cost[s][i][j] * Flow[i][j]) <= SolutionAbs;
  forall(i in Vertices)
    sum(j in Vertices) (Flow[i][j] - Flow[j][i]) == ((i == 1) ? FlowVal :
      (i == VerticesNum) ? -FlowVal : 0);
  forall(i in Vertices, j in Vertices)
    0 <= Flow[i][j] <= CapacityMin[i][j];
}

```

DATOTEKA 4.10. Model poopćenog apsolutno robusnog problema toka minimalne cijene *GRMCF_A.mod*.

```

int FlowVal = ...; // F
int FlowValMax = ...; // max{F}
int ScenariosNum = ...; // card(S) = |S|
int VerticesNum = ...; // card(V) = |V|
range Scenarios = 1..ScenariosNum;
range Vertices = 1..VerticesNum;
int Capacity[Scenarios][Vertices][Vertices] = ...; // u^s_ij
int CapacityMin[Vertices][Vertices] = ...; // min{u^s_ij}
int Cost[Scenarios][Vertices][Vertices] = ...; // c^s_ij
dvar int+ Flow[Vertices][Vertices]; // x_ij
dvar int+ SolutionDev; // y
int SolutionOpt[Scenarios] = ...; // z^s
minimize SolutionDev;
subject to {
  forall(s in Scenarios)
    sum(i in Vertices, j in Vertices) (Cost[s][i][j] * Flow[i][j]) - SolutionOpt[s]
      <= SolutionDev;
  forall(i in Vertices)
    sum(j in Vertices) (Flow[i][j] - Flow[j][i]) == ((i == 1) ? FlowVal :
      (i == VerticesNum) ? -FlowVal : 0);
  forall(i in Vertices, j in Vertices)
    0 <= Flow[i][j] <= CapacityMin[i][j];
}

```

DATOTEKA 4.11. Model poopćenog devijantno robusnog problema toka minimalne cijene *GRMCF_D.mod*.

```

int FlowVal = ...; // F
int FlowValMax = ...; // max{F}
int ScenariosNum = ...; // card(S) = |S|
int VerticesNum = ...; // card(V) = |V|
range Scenarios = 1..ScenariosNum;
range Vertices = 1..VerticesNum;
int Capacity[Scenarios][Vertices][Vertices] = ...; // u^s_ij
int CapacityMin[Vertices][Vertices] = ...; // min{u^s_ij}
int Cost[Scenarios][Vertices][Vertices] = ...; // c^s_ij
dvar int+ Flow[Vertices][Vertices]; // x_ij
dvar float+ SolutionRel; // y
int SolutionOpt[Scenarios] = ...; // z^s
minimize SolutionRel;
subject to {
  forall(s in Scenarios)
    sum(i in Vertices, j in Vertices) (Cost[s][i][j] * Flow[i][j]) / SolutionOpt[s] - 1
      <= SolutionRel;
  forall(i in Vertices)
    sum(j in Vertices) (Flow[i][j] - Flow[j][i]) == ((i == 1) ? FlowVal :
      (i == VerticesNum) ? -FlowVal : 0);
  forall(i in Vertices, j in Vertices)
    0 <= Flow[i][j] <= CapacityMin[i][j];
}

```

DATOTEKA 4.12. Model poopćenog relativno robusnog problema toka minimalne cijene *GRMCF_R.mod*.

```

FlowVal = 2;
FlowValMax = 2;
ScenariosNum = 2;
VerticesNum = 4;
//ArcsNum = 4;
Capacity= [[ [0, 1, 1, 0],
             [0, 0, 0, 1],
             [0, 0, 0, 1],
             [0, 0, 0, 0]],
           [[0, 2, 2, 0],
             [0, 0, 0, 2],
             [0, 0, 0, 2],
             [0, 0, 0, 0]]];
CapacityMin = [[ [0, 1, 1, 0],
                 [0, 0, 0, 1],
                 [0, 0, 0, 1],
                 [0, 0, 0, 0]];
Cost      = [[ [0, 1, 1, 0],
               [0, 0, 0, 1],
               [0, 0, 0, 1],
               [0, 0, 0, 0]],
             [[0, 2, 2, 0],
               [0, 0, 0, 2],
               [0, 0, 0, 5],
               [0, 0, 0, 0]]];

```

```
SolutionOpt = [4, 8];
/*
FlowOpt = [[0, 1, 1, 0],
           [0, 0, 0, 1],
           [0, 0, 0, 1],
           [0, 0, 0, 0]],
           [[0, 2, 0, 0],
           [0, 0, 0, 2],
           [0, 0, 0, 0],
           [0, 0, 0, 0]];
FlowAbs = [[0, 1, 1, 0],
           [0, 0, 0, 1],
           [0, 0, 0, 1],
           [0, 0, 0, 0]];
FlowDev = [[0, 1, 1, 0],
           [0, 0, 0, 1],
           [0, 0, 0, 1],
           [0, 0, 0, 0]];
FlowRel = [[0, 1, 1, 0],
           [0, 0, 0, 1],
           [0, 0, 0, 1],
           [0, 0, 0, 0]];
SolutionAbs = 11;
SolutionDev = 3;
SolutionRel = 0.375;
TimeAbs = 00:00:00.09;
TimeDev = 00:00:00.08;
TimeRel = 00:00:00.08;
*/
```

DATOTEKA 4.13. Podaci poopćenog robusnog problema toka minimalne cijene *GRMCF.dat* iz primjera 2.3.

4.3. Egzaktno rješavanje relaksiranog robusnog problema toka minimalne cijene

Relaksirane robusne varijante problema toka minimalne cijene formuliramo kao probleme običnog linearnog programiranja ovako:

$$(4.3) \quad \begin{array}{l} (RRMCF)'_{A\dots} \\ (RRMCF)'_{D\dots} \\ (RRMCF)'_{R\dots} \end{array} \left[\begin{array}{l} z_A = y \rightarrow \min \\ \text{uz uvjete:} \\ \sum_{(v_i, v_j) \in A} c_{ij}^s x_{ij} \leq y, \forall s \in S \\ \sum_{\substack{v_j \in V \\ (v_i, v_j) \in A}} x_{ij} - \sum_{\substack{v_j \in V \\ (v_j, v_i) \in A}} x_{ji} = \begin{cases} F & \text{ako je } v_i = v_1 \\ -F & \text{ako je } v_i = v_n, \forall v_i \in V \\ 0 & \text{inače} \end{cases} \\ 0 \leq x_{ij} \leq u_{ij}, \forall (v_i, v_j) \in A \end{array} \right. , \\ \left[\begin{array}{l} z_D = y \rightarrow \min \\ \text{uz uvjete:} \\ \sum_{(v_i, v_j) \in A} c_{ij}^s x_{ij} \leq y + z^s, \forall s \in S \\ \sum_{\substack{v_j \in V \\ (v_i, v_j) \in A}} x_{ij} - \sum_{\substack{v_j \in V \\ (v_j, v_i) \in A}} x_{ji} = \begin{cases} F & \text{ako je } v_i = v_1 \\ -F & \text{ako je } v_i = v_n, \forall v_i \in V \\ 0 & \text{inače} \end{cases} \\ 0 \leq x_{ij} \leq u_{ij}, \forall (v_i, v_j) \in A \end{array} \right. , \\ \left[\begin{array}{l} z_R = y \rightarrow \min \\ \text{uz uvjete:} \\ \sum_{(v_i, v_j) \in A} c_{ij}^s x_{ij} \leq (y + 1)z^s, \forall s \in S \\ \sum_{\substack{v_j \in V \\ (v_i, v_j) \in A}} x_{ij} - \sum_{\substack{v_j \in V \\ (v_j, v_i) \in A}} x_{ji} = \begin{cases} F & \text{ako je } v_i = v_1 \\ -F & \text{ako je } v_i = v_n, \forall v_i \in V \\ 0 & \text{inače} \end{cases} \\ 0 \leq x_{ij} \leq u_{ij}, \forall (v_i, v_j) \in A \end{array} \right. , \end{array}$$

a rješavamo ih, primjerice simpleks metodom, puno jednostavnije od istovjetnih problema cjelobrojnog linearnog programiranja.


```

int FlowVal = ...; // F
int FlowValMax = ...; // max{F}
int ScenariosNum = ...; // card(S) = |S|
int VerticesNum = ...; // card(V) = |V|
range Scenarios = 1..ScenariosNum;
range Vertices = 1..VerticesNum;
int Capacity[Vertices][Vertices] = ...; // u_ij
int Cost[Scenarios][Vertices][Vertices] = ...; // c^s_ij
dvar float+ Flow[Vertices][Vertices]; // x_ij
dvar float+ SolutionAbs; // y
int SolutionOpt[Scenarios] = ...; // z^s

minimize SolutionAbs;
subject to {
  forall(s in Scenarios)
    sum(i in Vertices, j in Vertices) (Cost[s][i][j] * Flow[i][j]) <= SolutionAbs;
  forall(i in Vertices)
    sum(j in Vertices) (Flow[i][j] - Flow[j][i]) == ((i == 1) ? FlowVal :
      (i == VerticesNum) ? -FlowVal : 0);
  forall(i in Vertices, j in Vertices)
    0 <= Flow[i][j] <= Capacity[i][j];
}

```

DATOTEKA 4.14. Model relaksiranog apsolutno robusnog problema toka minimalne cijene *RRMCF_A.mod*.

```

int FlowVal = ...; // F
int FlowValMax = ...; // max{F}
int ScenariosNum = ...; // card(S) = |S|
int VerticesNum = ...; // card(V) = |V|
range Scenarios = 1..ScenariosNum;
range Vertices = 1..VerticesNum;
int Capacity[Vertices][Vertices] = ...; // u_ij
int Cost[Scenarios][Vertices][Vertices] = ...; // c^s_ij
dvar float+ Flow[Vertices][Vertices]; // x_ij
dvar float+ SolutionDev; // y
int SolutionOpt[Scenarios] = ...; // z^s

minimize SolutionDev;
subject to {
  forall(s in Scenarios)
    sum(i in Vertices, j in Vertices) (Cost[s][i][j] * Flow[i][j]) - SolutionOpt[s]
      <= SolutionDev;
  forall(i in Vertices)
    sum(j in Vertices) (Flow[i][j] - Flow[j][i]) == ((i == 1) ? FlowVal :
      (i == VerticesNum) ? -FlowVal : 0);
  forall(i in Vertices, j in Vertices)
    0 <= Flow[i][j] <= Capacity[i][j];
}

```

DATOTEKA 4.15. Model relaksiranog devijantno robusnog problema toka minimalne cijene *RRMCF_D.mod*.

```

int FlowVal = ...; // F
int FlowValMax = ...; // max{F}
int ScenariosNum = ...; // card(S) = |S|
int VerticesNum = ...; // card(V) = |V|
range Scenarios = 1..ScenariosNum;
range Vertices = 1..VerticesNum;
int Capacity[Vertices][Vertices] = ...; // u_ij
int Cost[Scenarios][Vertices][Vertices] = ...; // c^s_ij
dvar float+ Flow[Vertices][Vertices]; // x_ij
dvar float+ SolutionRel; // y
int SolutionOpt[Scenarios] = ...; // z^s

minimize SolutionRel;
subject to {
  forall(s in Scenarios)
    sum(i in Vertices, j in Vertices) (Cost[s][i][j] * Flow[i][j]) / SolutionOpt[s] - 1
      <= SolutionRel;
  forall(i in Vertices)
    sum(j in Vertices) (Flow[i][j] - Flow[j][i]) == ((i == 1) ? FlowVal :
      (i == VerticesNum) ? -FlowVal : 0);
  forall(i in Vertices, j in Vertices)
    0 <= Flow[i][j] <= Capacity[i][j];
}

```

DATOTEKA 4.16. Model relaksiranog relativno robusnog problema toka minimalne cijene *RRMCF_R.mod*.

```

FlowVal = 2;
FlowValMax = 4;
ScenariosNum = 2;
VerticesNum = 14;
//ArcsNum = 16;
Capacity = [[0, 1, 1, 1, 1, 0, 0, 0, 0, 0, 0, 0, 0, 0],
            [0, 0, 0, 0, 0, 1, 0, 0, 0, 0, 0, 0, 0, 0],
            [0, 0, 0, 0, 0, 0, 1, 0, 0, 0, 0, 0, 0, 0],
            [0, 0, 0, 0, 0, 0, 0, 1, 0, 0, 0, 0, 0, 0],
            [0, 0, 0, 0, 0, 0, 0, 0, 1, 0, 0, 0, 0, 0],
            [0, 0, 0, 0, 0, 0, 0, 0, 0, 1, 0, 0, 0, 0],
            [0, 0, 0, 0, 0, 0, 0, 0, 0, 0, 1, 0, 0, 0],
            [0, 0, 0, 0, 0, 0, 0, 0, 0, 0, 0, 1, 0, 0],
            [0, 0, 0, 0, 0, 0, 0, 0, 0, 0, 0, 0, 1, 0],
            [0, 0, 0, 0, 0, 0, 0, 0, 0, 0, 0, 0, 0, 1],
            [0, 0, 0, 0, 0, 0, 0, 0, 0, 0, 0, 0, 0, 1],
            [0, 0, 0, 0, 0, 0, 0, 0, 0, 0, 0, 0, 0, 1],
            [0, 0, 0, 0, 0, 0, 0, 0, 0, 0, 0, 0, 0, 0]];
Cost = [[0, 1, 1, 1, 1, 0, 0, 0, 0, 0, 0, 0, 0, 0],
        [0, 0, 0, 0, 0, 1, 0, 0, 0, 0, 0, 0, 0, 0],
        [0, 0, 0, 0, 0, 0, 2, 0, 0, 0, 0, 0, 0, 0],
        [0, 0, 0, 0, 0, 0, 0, 3, 0, 0, 0, 0, 0, 0],
        [0, 0, 0, 0, 0, 0, 0, 0, 4, 0, 0, 0, 0, 0],
        [0, 0, 0, 0, 0, 0, 0, 0, 0, 1, 0, 0, 0, 0],

```

```

[0, 0, 0, 0, 0, 0, 0, 0, 0, 0, 0, 2, 0, 0, 0],
[0, 0, 0, 0, 0, 0, 0, 0, 0, 0, 0, 0, 3, 0, 0],
[0, 0, 0, 0, 0, 0, 0, 0, 0, 0, 0, 0, 0, 4, 0],
[0, 0, 0, 0, 0, 0, 0, 0, 0, 0, 0, 0, 0, 0, 1],
[0, 0, 0, 0, 0, 0, 0, 0, 0, 0, 0, 0, 0, 0, 1],
[0, 0, 0, 0, 0, 0, 0, 0, 0, 0, 0, 0, 0, 0, 1],
[0, 0, 0, 0, 0, 0, 0, 0, 0, 0, 0, 0, 0, 0, 1],
[0, 0, 0, 0, 0, 0, 0, 0, 0, 0, 0, 0, 0, 0, 0]],
[[0, 1, 1, 1, 1, 0, 0, 0, 0, 0, 0, 0, 0, 0, 0],
[0, 0, 0, 0, 0, 5, 0, 0, 0, 0, 0, 0, 0, 0, 0],
[0, 0, 0, 0, 0, 0, 4, 0, 0, 0, 0, 0, 0, 0, 0],
[0, 0, 0, 0, 0, 0, 0, 3, 0, 0, 0, 0, 0, 0, 0],
[0, 0, 0, 0, 0, 0, 0, 0, 2, 0, 0, 0, 0, 0, 0],
[0, 0, 0, 0, 0, 0, 0, 0, 0, 5, 0, 0, 0, 0, 0],
[0, 0, 0, 0, 0, 0, 0, 0, 0, 0, 4, 0, 0, 0, 0],
[0, 0, 0, 0, 0, 0, 0, 0, 0, 0, 0, 3, 0, 0, 0],
[0, 0, 0, 0, 0, 0, 0, 0, 0, 0, 0, 0, 2, 0, 0],
[0, 0, 0, 0, 0, 0, 0, 0, 0, 0, 0, 0, 0, 0, 1],
[0, 0, 0, 0, 0, 0, 0, 0, 0, 0, 0, 0, 0, 0, 1],
[0, 0, 0, 0, 0, 0, 0, 0, 0, 0, 0, 0, 0, 0, 1],
[0, 0, 0, 0, 0, 0, 0, 0, 0, 0, 0, 0, 0, 0, 1],
[0, 0, 0, 0, 0, 0, 0, 0, 0, 0, 0, 0, 0, 0, 0]]];
SolutionOpt = [10, 14];
/*
FlowOpt = [[[0, 1, 1, 0, 0, 0, 0, 0, 0, 0, 0, 0, 0, 0, 0],
[0, 0, 0, 0, 0, 1, 0, 0, 0, 0, 0, 0, 0, 0, 0],
[0, 0, 0, 0, 0, 0, 1, 0, 0, 0, 0, 0, 0, 0, 0],
[0, 0, 0, 0, 0, 0, 0, 0, 0, 0, 0, 0, 0, 0, 0],
[0, 0, 0, 0, 0, 0, 0, 0, 0, 0, 0, 0, 0, 0, 0],
[0, 0, 0, 0, 0, 0, 0, 0, 0, 1, 0, 0, 0, 0, 0],
[0, 0, 0, 0, 0, 0, 0, 0, 0, 0, 1, 0, 0, 0, 0],
[0, 0, 0, 0, 0, 0, 0, 0, 0, 0, 0, 0, 0, 0, 0],
[0, 0, 0, 0, 0, 0, 0, 0, 0, 0, 0, 0, 0, 0, 0],
[0, 0, 0, 0, 0, 0, 0, 0, 0, 0, 0, 0, 0, 0, 1],
[0, 0, 0, 0, 0, 0, 0, 0, 0, 0, 0, 0, 0, 0, 1],
[0, 0, 0, 0, 0, 0, 0, 0, 0, 0, 0, 0, 0, 0, 0],
[0, 0, 0, 0, 0, 0, 0, 0, 0, 0, 0, 0, 0, 0, 0],
[0, 0, 0, 0, 0, 0, 0, 0, 0, 0, 0, 0, 0, 0, 0],
[0, 0, 0, 0, 0, 0, 0, 0, 0, 0, 0, 0, 0, 0, 0],
[0, 0, 0, 0, 0, 0, 0, 0, 0, 0, 0, 0, 0, 0, 0],
[0, 0, 0, 0, 0, 0, 0, 0, 0, 0, 0, 0, 0, 0, 0],
[0, 0, 0, 0, 0, 0, 0, 0, 0, 0, 0, 0, 0, 0, 0],
[0, 0, 0, 0, 0, 0, 0, 0, 0, 0, 0, 0, 0, 0, 0],
[0, 0, 0, 0, 0, 0, 0, 0, 0, 0, 0, 0, 0, 0, 0],
[0, 0, 0, 0, 0, 0, 0, 0, 0, 0, 0, 0, 0, 0, 0],
[0, 0, 0, 0, 0, 0, 0, 0, 0, 0, 0, 0, 0, 0, 1],
[0, 0, 0, 0, 0, 0, 0, 0, 0, 0, 0, 0, 0, 0, 1],
[0, 0, 0, 0, 0, 0, 0, 0, 0, 0, 0, 0, 0, 0, 0]]];

```

```

FlowAbs = [[0, 0.5, 0, 0.5, 1, 0, 0, 0, 0, 0, 0, 0],
           [0, 0, 0, 0, 0, 0.5, 0, 0, 0, 0, 0, 0],
           [0, 0, 0, 0, 0, 0, 0, 0, 0, 0, 0, 0],
           [0, 0, 0, 0, 0, 0, 0.5, 0, 0, 0, 0, 0],
           [0, 0, 0, 0, 0, 0, 0, 1, 0, 0, 0, 0],
           [0, 0, 0, 0, 0, 0, 0, 0, 0.5, 0, 0, 0],
           [0, 0, 0, 0, 0, 0, 0, 0, 0, 0, 0, 0],
           [0, 0, 0, 0, 0, 0, 0, 0, 0, 0.5, 0, 0],
           [0, 0, 0, 0, 0, 0, 0, 0, 0, 0, 1, 0],
           [0, 0, 0, 0, 0, 0, 0, 0, 0, 0, 0, 0.5],
           [0, 0, 0, 0, 0, 0, 0, 0, 0, 0, 0, 0],
           [0, 0, 0, 0, 0, 0, 0, 0, 0, 0, 0, 0.5],
           [0, 0, 0, 0, 0, 0, 0, 0, 0, 0, 0, 1],
           [0, 0, 0, 0, 0, 0, 0, 0, 0, 0, 0, 0]];
FlowDev = [[0,0.67, 0, 1,0.33, 0, 0, 0, 0, 0, 0, 0],
           [0, 0, 0, 0, 0,0.67, 0, 0, 0, 0, 0, 0],
           [0, 0, 0, 0, 0, 0, 0, 0, 0, 0, 0, 0],
           [0, 0, 0, 0, 0, 0, 0, 1, 0, 0, 0, 0],
           [0, 0, 0, 0, 0, 0, 0, 0,0.33, 0, 0, 0],
           [0, 0, 0, 0, 0, 0, 0, 0, 0,0.67, 0, 0],
           [0, 0, 0, 0, 0, 0, 0, 0, 0, 0, 0, 0],
           [0, 0, 0, 0, 0, 0, 0, 0, 0, 0, 1, 0],
           [0, 0, 0, 0, 0, 0, 0, 0, 0, 0,0.33, 0],
           [0, 0, 0, 0, 0, 0, 0, 0, 0, 0, 0,0.67],
           [0, 0, 0, 0, 0, 0, 0, 0, 0, 0, 0, 0],
           [0, 0, 0, 0, 0, 0, 0, 0, 0, 0, 0, 1],
           [0, 0, 0, 0, 0, 0, 0, 0, 0, 0, 0,0.33],
           [0, 0, 0, 0, 0, 0, 0, 0, 0, 0, 0, 0]];
FlowRel = [[0,0.78, 0, 1,0.22, 0, 0, 0, 0, 0, 0, 0],
           [0, 0, 0, 0, 0,0.78, 0, 0, 0, 0, 0, 0],
           [0, 0, 0, 0, 0, 0, 0, 0, 0, 0, 0, 0],
           [0, 0, 0, 0, 0, 0, 0, 1, 0, 0, 0, 0],
           [0, 0, 0, 0, 0, 0, 0, 0,0.22, 0, 0, 0],
           [0, 0, 0, 0, 0, 0, 0, 0, 0,0.78, 0, 0],
           [0, 0, 0, 0, 0, 0, 0, 0, 0, 0, 0, 0],
           [0, 0, 0, 0, 0, 0, 0, 0, 0, 0, 1, 0],
           [0, 0, 0, 0, 0, 0, 0, 0, 0, 0,0.22, 0],
           [0, 0, 0, 0, 0, 0, 0, 0, 0, 0, 0,0.78],
           [0, 0, 0, 0, 0, 0, 0, 0, 0, 0, 0, 0],
           [0, 0, 0, 0, 0, 0, 0, 0, 0, 0, 0, 1],
           [0, 0, 0, 0, 0, 0, 0, 0, 0, 0, 0,0.22],
           [0, 0, 0, 0, 0, 0, 0, 0, 0, 0, 0, 0]];

SolutionAbs = 16;
SolutionDev = 4;
SolutionRel = 0.33;
TimeAbs = 00:00:00.07;
TimeDev = 00:00:00.07;
TimeRel = 00:00:00.09;
*/

```

DATOTEKA 4.17. Podaci relaksiranog robusnog problema toka minimalne cijene *RRMCF.dat* iz primjera 2.4.

5. Približno rješavanje robusnih problema toka

Pojam *heuristika* ima podrijetlo u grčkoj riječi *heuriskein*, a znači otkrivanje novih strategija (pravila) za rješavanje problema. Prefiks *meta* je također grčka riječ, a znači metoda neke više razine. Pojam *metaheuristike* je uveden u članku [Glo86] te knjizi [Tal09]. Metaheuristike opisujemo kao općenite metode više razine koje koristimo kao vodeće strategije pri dizajniranju ishodišnih heuristika za rješavanje specifičnih problema optimizacije.

Pronalaženje optimalnih rješenja je teško za mnoge probleme optimizacije. U praksi, često smo zadovoljni dovoljno „dobrim” rješenjima koja dobivamo heuristikama ili metaheuristikama. (Meta)heuristike predstavljaju skup metoda optimizacije čija popularnost u zadnje vrijeme raste te koje su uspješne i puno obećavaju. (Meta)heuristike pružaju „prihvatljiva” rješenja u „razumno” vremenu pri rješavanju teških i složenih problema u znanosti i inženjerstvu. To objašnjava značajan porast interesa u njihovoj domeni. Za razliku od egzaktnih algoritama, (meta)heuristike ne jamče optimalnost dobivenih rješenja, a za razliku od aproksimacijskih algoritama, (meta)heuristike ne daju ocjenu točnosti dobivenih rješenja, tj. ne otkrivaju koliko su dobivena rješenja blizu optimalnima.

Algoritam je *heuristika* ako nije poznato nikakvo teorijsko jamstvo dobrote dopustivog rješenja dobivenog tim algoritmom. Pod jamstvom kvalitete dopustivog rješenja smatramo gornju ogradu za razliku ili kvocijent vrijednosti funkcija cilja za dopustivo i optimalno rješenje primjerka problema optimizacije. Ako je riječ o problemu minimizacije, onda je dopustivo rješenje veće od optimalnog pa su razlika ili kvocijent veći od 1 te gornja ograda ima smisla. Kako ne postoji gornja ograda, to moramo imati neki drugi dobar razlog za korištenje heuristike, a to su eksperimentalne evaluacije algoritma koje pokazuju da na većini primjeraka on zaista daje dopustivo rješenje koje je blizu optimalnog.

Prema disertaciji [Pul09], heuristike ugrubo dijelimo na:

- *klasične* - razvijane uglavnom između 1960. i 1990. godine,
- *moderne* ili *metaheuristike* - razvijaju se posljednjih 30-ak godina.

Klasične heuristike obično dijelimo na:

- *konstruktivne* - brži algoritmi koji neko približno rješenje generiraju tako da na prazno rješenje, u nizu koraka, dodavaju komponente rješenja, sve dok ne konstruiraju cijelo rješenje, ili dok ne zadovolje neki drugi uvjet za zaustavljanje,
- *lokalna traženja* - precizniji algoritmi koji neko približno rješenje generiraju tako da početno rješenje, u nizu koraka, zamjenjuju boljim rješenjem iz okoline početnog rješenja, sve dok postoji bolje rješenje u okolini tekućeg rješenja.

Moderne heuristike ili metaheuristike ovisno o svojstvima dijelimo prema:

- inspiraciji - *prirodne (eng. nature inspired)* koje ideju za strategiju nalaze u prirodi (npr. evolucijski algoritmi oponašaju proces evolucije živih bića) i *ne-prirodne (eng. non-nature)*,
- pamćenju - *sa pamćenjem (eng. memory based)* koje pamte već istražena rješenja (npr. tabu traženja pamte loša rješenja te ih isključuju iz daljnje pretrage) i *bez pamćenja (eng. memory-less)* (npr. evolucijski algoritmi ne pamte već pregledana rješenja),
- funkciji cilja - *statične (eng. static based)* koje ne mijenjaju funkciju cilja i *dinamične (eng. dynamic based)*,
- broju rješenja - *jednostanične (eng. single-point based)* koje rade s jednim rješenjem (npr. tabu traženja) i *populacijske (eng. population based)* (npr. evolucijski algoritmi).

Primjeri metaheuristika su:

- *tabu traženja (eng. tabu searches)*,
- *mravlji algoritmi (eng. ant-colony algorithms)*,
- *evolucijski algoritmi (eng. evolutionary algorithms)* koji uključuju *genetske algoritme (eng. genetic algorithms)*,
- *simulirana kaljenja (eng. simulated annealings)*,
- *deterministička kaljenja (eng. deterministic annealings)*,
- *neuronske mreže (eng. neural networks)*.

Evolucijski algoritam je prirodna, bez pamćenja, statična te populacijska metaheuristika koja rješava zadani problem optimizacije i održava populaciju jedinki u svakoj iteraciji. Svaka jedinka predstavlja dopustivo rješenje problema i implementirana je kao primjerak neke složene strukture podataka. Svaka jedinka se evaluira čime se dobiva mjera njene sposobnosti preživljavanja koja je u vezi s funkcijom cilja početnog problema. Nova populacija se stvara tako da se odabiru sposobnije jedinke. Neki članovi nove populacije prolaze kroz promjenu koja se odvija primjenom genetičkih operatora i kojom se stvaraju nove jedinke.

Osnovni **algoritam lokalnog traženja** je *iterativno poboljšanje (eng. iterative improvement)*. Svaka iteracija se izvodi samo ako je novo rješenje bolje od tekućeg rješenja. Postupak u svakoj iteraciji pretražuje okolinu tekućeg rješenja koju čine slična dopustiva rješenja, a zaustavlja se tada kad završi u lokalnom minimumu.

Tipove lokalnog traženja ovisno o načinu izbora boljeg rješenja dijelimo na:

- **najbolje poboljšanje (eng. best improvement)** - koje pretražuje cijelu okolinu tekućeg rješenja i vraća najbolje rješenje,
- **prvo poboljšanje (eng. first improvement)** - koje pretražuje okolinu tekućeg rješenja i vraća prvo bolje rješenje.

Kako su robusne varijante problema toka minimalne cijene NP-teške, to ih ima smisla rješavati (meta)heuristikama:

- algoritmom lokalnog traženja,
- evolucijskim algoritmom,
- hibridnim algoritmom koji kombinira evoluciju i lokalno traženje.

Ulazni parametri (meta)heurističkih metoda su:

- tip inicijaliziranja lokalnog traženja - nasumični, jednostruki, višestruki ili centriranje tokova,
- tip operatora križanja tokova - harmoniziranje toka, komponiranje tokova ili centriranje tokova,
- tip operatora mutiranja toka - lokalno traženje, smanjenje cijene toka ili perturbiranje toka,
- varijanta rješenja - apsolutna, devijantna ili relativna.

5.1. Algoritam lokalnog traženja za rješavanje robusnog problema toka minimalne cijene

Postupak lokalnog traženja izvodimo ovako:

- (1) Inicijaliziramo dopustivi tok kao početno tekuće rješenje.
- (2) Generiramo okolinu tekućeg rješenja - slične dopustive tokove.
- (3) Tražimo rješenje s najboljom (najmanjom) robusnom cijenom u toj okolini.
- (4) Ako je robusna cijena tog rješenja iz te okoline bolja (manja) od robusne cijene tekućeg rješenja, onda zadamo to rješenje iz te okoline kao novo tekuće rješenje.
- (5) Ponavljamo iterativni proces sve dok nije dosegnut unaprijed zadani broj iteriranja (nije nužan uvjet) i postoji bolje rješenje u okolini tekućeg rješenja (dovoljan uvjet).

Postupkom inicijaliziranja od praznog ili optimalnih tokova stvaramo jedan dopustivi tok. Uloga inicijaliziranja je da postavi početni tok stvaranjem (ne)ovisnosti o scenarijima čime se omogućava da postupak lokalnog traženja dobro započne.

Postupak nasumičnog inicijaliziranja dopustivog toka izvodimo ovako:

- (1) Pozovemo metodu traženja toka zadane vrijednosti.
- (2) Dobivamo rješenje koje ne ovisi ni o jednom scenariju.

Postupak jednostrukog inicijaliziranja dopustivog toka izvodimo ovako:

- (1) Pozovemo metodu traženja toka minimalne cijene zadane vrijednosti za svaki scenarij posebno.
- (2) Dobivamo optimalna rješenja koja ovise o pojedinom scenariju.
- (3) Provedemo postupak računanja robusne cijene dobivenih rješenja.
- (4) Odaberemo rješenje s najmanjom robusnom cijenom.

Postupak višestrukog inicijaliziranja dopustivog toka izvodimo ovako:

- (1) Pozovemo metodu traženja toka minimalne cijene zadane vrijednosti za svaki scenarij posebno.
- (2) Dobivamo optimalna rješenja koja ovise o pojedinom scenariju.
- (3) Provedemo postupak lokalnog traženja za dobivena rješenja.
- (4) Odaberemo rješenje s najmanjom robusnom cijenom.

Postupak inicijaliziranja dopustivog toka **centriranjem tokova** izvodimo ovako:

- (1) Pozovemo metodu traženja toka minimalne cijene zadane vrijednosti za svaki scenarij posebno.
- (2) Dobivamo optimalna rješenja koja ovise o pojedinom scenariju.
- (3) Pozovemo metodu centriranja tokova za dobivena rješenja.
- (4) Dobijemo li necjelobrojno rješenje, pozovemo metodu zaokruživanja toka za nedopustivo rješenje.
- (5) Dobivamo rješenje koje je aritmetička sredina optimalnih rješenja.

Postupak generiranja okoline tekućeg rješenja izvodimo ovako:

- (1) Pozovemo metodu smanjenja cijene toka za tekuće rješenje i za svaki scenarij posebno.
- (2) Dobivamo toliko novih rješenja - poboljšanja tekućeg rješenja koliko ima scenarija.
- (3) Ako trebamo veću okolinu, onda napravimo dovoljno iteracija poboljšavanja dobivenih rješenja i zapamtimo sva (među)rješenja.

Postupak računanja robusne cijene zadanog rješenja izvodimo ovako:

- (1) Ovisno o varijantama robusnog problema, izmjerimo ponašanje tog rješenja pod svakim scenarijem posebno kao cijenu toka, odnosno apsolutni otklon cijene toka od optimalne cijene toka, odnosno relativni otklon cijene toka od optimalne cijene toka (za taj scenarij).
- (2) Odredimo najgore ponašanje - maksimalnu vrijednost, dakle najveću cijenu toka, odnosno najveći otklon cijene toka na skupu svih scenarija.
- (3) Uzmemo to najgore ponašanje kao robusnu cijenu.

Pseudo-kod metode *LokalnoTrazenje* slijedi poznati obrazac [Tal09]:

LokalnoTrazenje

- (1) Inicijaliziraj dopustivi tok kao početno tekuće rješenje.
- (2) (Sve dok nije dosegnut unaprijed zadani broj iteriranja i)
sve dok postoji bolje rješenje u okolini tekućeg rješenja:
- (3) Inicijaliziraj i evaluiraj okolinu tekućeg rješenja.
- (4) Ako neko rješenje iz okoline ima manju robusnu cijenu od tekućeg rješenja, onda ga zadaj kao novo tekuće rješenje.

5.2. *Evolucijski algoritam za rješavanje robusnog problema toka minimalne cijene*

Evolucijski postupak izvodimo ovako:

- (1) Generiramo početnu populaciju rješenja od optimalnih rješenja za sve scenarije. Dobivamo toliko jedinki u početnoj populaciji rješenja koliko ima scenarija. Ako trebamo više jedinki, onda napravimo dovoljno mutacija tih rješenja.
- (2) Pokrećemo iterativni proces u kojem sudjeluju operacije križanja i mutiranja. Stvaramo nove jedinke primjenom tih operacija, dok neke jedinke odumiru.
- (3) Generiramo novu populaciju (generaciju) svakom iteracijom.
- (4) Vjerojatnost preživljavanja jedinki iz generacije u generaciju te vjerojatnost sudjelovanja jedinki u križanju ovisi o njihovoj robusnoj cijeni, tj. smatramo sposobnijom i podobnijom jedinku s boljom (manjom) robusnom cijenom.
- (5) Uzmemo jedinku s najboljom (najmanjom) robusnom cijenom u populaciji kao tekuće rješenje problema.
- (6) Zaustavljamo iterativni proces nakon unaprijed zadanog broja iteriranja (generacija) ili broja ponavljanja tekućeg rješenja, tj. tada kad više nema poboljšanja.
- (7) Uzmemo jedinku s najboljom (najmanjom) robusnom cijenom iz zadnje generacije kao konačno rješenje problema.

Postupkom križanja od dva roditelja (dva dopustiva toka) stvaramo jednog ili dva njihova potomka (opet jedan ili dva dopustiva toka).

Postupak križanja harmoniziranjem toka izvodimo ovako:

- (1) Pozovemo metodu harmoniziranja toka redom za prvog i drugog roditelja.
- (2) Dobivamo prvog potomka koji sličí prvom roditelju no razlikuje se od njega po tome što koristi dio toka drugog roditelja.
- (3) Zamijenimo li roditeljima uloge, dobivamo drugog potomka.

Postupak križanja komponiranjem tokova izvodimo ovako:

- (1) Pozovemo metodu dekomponiranja toka za oba roditelja.
- (2) Pozovemo metodu komponiranja tokova za dobivene jedinične tokove redom od prvog i drugog roditelja.
- (3) Dobivamo prvog potomka koji koristi prvenstveno jedinične tokove prvog roditelja pa zatim drugog roditelja.
- (4) Zamijenimo li roditeljima uloge, dobivamo drugog potomka.

Postupak križanja centriranjem tokova izvodimo ovako:

- (1) Pozovemo metodu centriranja toka za dva roditelja.
- (2) Dobijemo li necjelobrojnog potomka, pozovemo metodu zaokruživanja toka za nedopustivog potomka.
- (3) Dobivamo potomka koji je aritmetička sredina roditelja.

Postupkom mutiranja od jedne jedinke (dopustivog toka) stvaramo jednu mutiranu jedinku (opet dopustivi tok). Uloga mutiranja je da malo pokvari jedinku unošenjem lošijeg genetskog materijala čime se sprječava da evolucijski postupak prebrzo završi u lokalnom minimumu.

Postupak mutiranja lokalnim traženjem u hibridnoj varijanti evolucijskog algoritma izvodimo ovako:

- (1) Provedemo postupak lokalnog traženja za jednu jedinku kao početno rješenje.
- (2) Dobivamo mutiranu jedinku koja ima manju ili jednaku robusnu cijenu od polazne jedinke.

Postupak mutiranja smanjenjem cijene toka izvodimo ovako:

- (1) Pozovemo metodu smanjenja cijene toka za jednu jedinku i za nasumično odabrani scenarij.
- (2) Dobivamo mutiranu jedinku koja ima manju ili veću robusnu cijenu od polazne jedinke.

Postupak mutiranja perturbiranjem toka izvodimo ovako:

- (1) Pozovemo metodu perturbiranja toka za jednu jedinku.
- (2) Dobivamo mutiranu jedinku koja ima manju ili veću robusnu cijenu od polazne jedinke.

Inicijaliziranje početne populacije obično izvodimo nekom heuristikom ili nasumičnim odabirom, ali u ovom slučaju početnu populaciju rješenja generiramo od (mutacija) optimalnih rješenja za sve scenarije.

Odabiranje „dobrog” roditelja iz populacije u svrhu križanja ili neke „loše” jedinke u svrhu odbacivanja iz populacije održava **natjecanje** - nasumičnim odabirom nekog (nasumičnog) broja jedinki dobivamo podpopulaciju u kojoj tražimo najboljeg roditelja ili najlošiju jedinku.

Umetanje potomka „dobrih” roditelja u populaciju uvažava **sličnost** - ako postoji neka jedinka u populaciji koja je slična novoj, tj. ako se vrijednosti njihovih funkcija cilja razlikuju za manje od ili jednako 5% bolje vrijednosti, onda boljeg blizanca prihvaćamo u populaciju, a lošijeg odbacujemo, inače novu jedinku prihvaćamo u populaciju, a neku „lošu” odbacujemo natjecanjem iz populacije. Primijetimo da je zbog uvjeta sličnosti veličina populacije uvijek nepromijenjena. Zaista, kad jednu jedinku umetnemo u populaciju tada neku drugu obrišemo.

Evolucijski algoritam zadovoljava **elitizam** - najbolju jedinku nikada ne odbacujemo. Primijetimo da je zbog uvjeta sličnosti uvjet elitizma uvijek očuvan. Zaista, bolju jedinku prihvaćamo u populaciju, a lošiju odbacujemo. Natjecanje, sličnost i elitizam nalazimo u članku [PM12].

Pseudo-kod metode *Evolucija* slijedi poznati obrazac [ES15, Mic96, Tal09]:

Evolucija

- (1) Inicijaliziraj i evaluiraj početnu populaciju rješenja.
- (2) Zadaaj jedinku s najmanjom robusnom cijenom kao tekuće rješenje.
- (3) Sve dok nije dosegnut unaprijed zadani broj iteriranja ili sve dok nije dosegnut unaprijed zadani broj ponavljanja tekućeg rješenja:
 - (4) Odaberi natjecanjem prvog i drugog roditelja iz populacije, pa ih križaj.
 - (5) Evaluiraj njihovog potomka i umetni ga u populaciju uvažavanjem sličnosti.
 - (6) S (malom) vjerojatnošću odaberi nasumično jednu jedinku iz populacije, pa ju mutiraj.
 - (7) Evaluiraj njezinog mutanta i zamijeni ju u populaciji njezinim mutantom.
 - (8) Ako potomak ili mutant imaju manju robusnu cijenu od tekućeg rješenja, onda ih zadaaj kao novo tekuće rješenje.

5.3. (Meta)heuristike za rješavanje poopćenog robusnog problema toka minimalne cijene

Postupci rješavanja poopćenog robusnog problema toka minimalne cijene slijede jednaki obrazac kao postupak lokalnog traženja, odnosno evolucijski postupak, ali postoje dvije bitne razlike:

- (1) Računamo minimalan kapacitet lukova po svim scenarijima i to za svaki luk posebno, a kojeg koristimo u uvjetu ograničenja kapaciteta po lukovima.

RacunajMinimalanKapacitet

za svaki luk $a \in A$ u skupu lukova

za svaki scenarij $s \in S$ u skupu scenarija

neka je $u'_a \leftarrow \min\{u'_a, u_a^s\}$ minimalan kapacitet luka a

- (2) Računamo optimalna rješenja koja ovise o pojedinom scenariju, a kojih dobivamo toliko koliko ima scenarija, tako da uzimamo u obzir kapacitete za svaki scenarij posebno.

RacunajOptimalnaRjesenja

za svaki scenarij $s \in S$ u skupu scenarija

pozovi metodu traženja toka minimalne cijene zadane vrijednosti i

u konstrukciji rezidualne mreže uzmi u obzir kapacitete u_a^s lukova $a \in A$ iz skupa lukova

Postupci računanja minimalnih kapaciteta i optimalnih rješenja prethode inicijalizaciji početnog rješenja, odnosno početne populacije rješenja.

Međutim, moramo paziti prilikom inicijalizacije (jednostrukog i višestrukog te centriranjem tokova) dopustivog toka kao početnog rješenja u algoritmu lokalnog traženja. Zatim, moramo paziti prilikom inicijalizacije početne populacije rješenja u evolucijskom algoritmu. Naime, postupci inicijaliziranja počinju od optimalnih tokova za sve scenarije, a kako optimalni tokovi za poopćeni robusni problem toka minimalne cijene možda nisu dopustivi za sve scenarije zbog eventualnog kršenja zakona o ograničenju kapaciteta po lukovima, to ih više ne možemo uzimati u obzir.

Jedan način je da početnu populaciju inicijaliziramo neovisno o optimalnim tokovima poopćenog robusnog problema toka minimalne cijene, slično postupku nasumičnog inicijaliziranja:

- (1) Pozovemo metodu traženja toka zadane vrijednosti toliko puta koliko je zadana veličina populacije.
- (2) Dobivamo toliko rješenja koja ne ovise ni o jednom scenariju koliko je zadana veličina populacije.

Drugi način je da početnu populaciju inicijaliziramo ovisno o optimalnim tokovima običnog robusnog problema toka minimalne cijene s minimalnim kapacitetima u svim scenarijima, ali tako da koristimo optimalna rješenja poopćenog robusnog problema toka minimalne cijene.

U primjeru 2.3 luk $(1, 2)$ ima minimalni kapacitet $u'_{1,2} = 1$ te, u drugom scenariju, kapacitet $u^2_{1,2} = 2$ i optimalni tok $x^2_{1,2} = 2$. Ako bi slali poopćeni optimalni tok duž puta (v_1, v_2, v_4) , onda bi dobili $x^2_{1,2} > u'_{1,2}$ pa bi došlo do kršenja zakona o ograničenju kapaciteta po lukovima. Stoga šaljemo obični optimalni tok duž puteva (v_1, v_2, v_4) i (v_1, v_3, v_4) .

5.4. Implementacija (meta)heuristika za rješavanje robusnih problema toka

Implementacija (meta)heuristika za rješavanje robusnih problema toka je pohranjena u nekoliko datoteka:

- *App.config.cs* - konfiguracija i klasa aplikacije kojom su zadani neki ulazni parametri (meta)heurističkih metoda,
- *CPLEXNetwork.cs* - klasa CPLEX mreže kojom je zadano učitavanje i zapisivanje primjeraka problema za alat CPLEX,
- *Network.cs* - klasa mreže kojom su zadani klasični algoritmi za rješavanje problema minimalnog reza (Ford-Fulkersonov, Edmonds-Karpov) i maksimalnog toka (Dinicev, Malhotra-Kumar-Maheshwarijev) te (meta)heuristike za rješavanje robusnog problema (maksimalnog) toka minimalne cijene (algoritam lokalnog traženja i evolucijski algoritam),
- *ResidualNetwork.cs* - klasa rezidualne mreže kojom su zadani klasični algoritmi za rješavanje problema najkraćeg puta (Mooreov BFS, Tarjanov DFS, Dijkstrin, Bellman-Fordov) te negativnog (Floyd-Warshallov) i jednostavnog (backtracking DFS) ciklusa.

U daljnjem tekstu ukratko opisujemo datoteke *App.config* te *(Residual)Network.cs*. Programski kod se nalazi u trećem dodatku.

Na početku, opišimo neke parametre konfiguracije aplikacije *App.config*.

Parametri *NeighborhoodCardinality*, odnosno *PopulationCardinality* predstavljaju veličinu okoline tekućeg rješenja u algoritmu lokalnog traženja, odnosno početne populacije rješenja u evolucijskom algoritmu.

Prema centralnom graničnom teoremu, ako je veličina okoline ili početne populacije dovoljno velika (empirijski, taj broj je jednak 30), onda se smatra da je analiza bazirana na normalnoj distribuciji valjana. Ako je broj scenarija manji od 30, onda veličina okoline ili početne populacije ne mora biti jednaka 30. Naprimjer, ako u algoritmu lokalnog traženja ne postoji ciklus smanjujuće cijene u nekom scenariju za neko rješenje, onda u postupku generiranja okoline nema iteracija poboljšavanja tog rješenja za taj scenarij, odnosno ako u evolucijskom algoritmu ne postoji jednostavni ciklus u nekom scenariju za neko rješenje, onda u postupku generiranja početne populacije nema mutacija tog rješenja za taj scenarij. S druge strane, veličina okoline ili početne populacije mora biti jednaka barem broju scenarija.

Parametri *LocalSearchIterations* te *EvolutionaryIterations* i *SolutionRepetitions* i *SolutionVariability* predstavljaju broj iteriranja te broj ponavljanja tekućeg rješenja i postotak odstupanja od egzaktnog ili relaksiranog rješenja nakon kojeg se prekida izvršavanje algoritama.

Zadani broj iteriranja bi trebao biti dovoljno veliki da bi relativna greška približnog rješenja u odnosu na egzaktno rješenje bila čim manja, a opet dovoljno mali da bi ubrzanje (meta)heuristike u odnosu na egzaktni algoritam bilo čim veće.

Parametri *MutationProbability* i *SolutionSimilarity* predstavljaju postotke vjerojatnosti mutacije i sličnosti s tekućim rješenjem.

Postotak vjerojatnosti mutacije je $MutationProbability = 1$, dakle jedna od sto iteracija evolucijskog algoritma odabire nasumično jednu jedinku iz populacije pa ju mutira. Prema uvjetu sličnosti, postotak sličnosti rješenja s tekućim rješenjem je $SolutionSimilarity = 5$. Parametri *MinimalCutAlgorithm*, *MaximalFlowAlgorithm*, *MinimalCostFlowAlgorithm*, *ShortestPathAlgorithm*, *NegativeCycleAlgorithm*, *SimpleCycleAlgorithm* predstavljaju klasične algoritme za rješavanje standardnih problema u mreži - traženje minimalnog reza te maksimalnog toka i (maksimalnog) toka minimalne cijene, najkraćeg puta, negativnog i jednostavnog ciklusa. Klasično rješavanje standardnih problema u mreži je opisano u drugom dodatku.

Parametar *LocalSearchType* predstavlja tip lokalnog traženja.

Ako je *LocalSearchType* = *BestImprovement*, onda lokalno traženje u svakoj iteraciji pretražuje cijelu okolinu tekućeg rješenja i vraća najbolje rješenje, inače

ako je *LocalSearchType* = *FirstImprovement*, onda pretražuje okolinu tekućeg rješenja i vraća prvo bolje rješenje.

Parametar *FlowRoundingType* predstavlja tip zaokruživanja toka.

Ako je *FlowRoundingType* = *FastImprovement*, onda zaokruživanje toka u svakoj iteraciji šalje δ jedinica toka od izvora do ponora, gdje je δ najmanji tok lukova na jednostavnom putu u mreži, inače je $\delta = 1$.

Opišimo neke strukture, metode i regije klase mreže *Network.cs*.

Strukture *Vertex* i *Arc* predstavljaju vrhove i lukove. Prednost polja vrhova i lukova u odnosu na matrice vrhova i lukova je u tome što za slojevitom mrežu u prikazu vrhova i lukova pomoću matrica ima puno praznih (nula) vrijednosti kroz koje se nepotrebno iterira u petljama, dok u prikazu vrhova i lukova pomoću polja prazne (nula) vrijednosti su izuzete čime se doprinosi brzini algoritama. Struktura *Label* predstavlja oznaku pojedinog vrha, a koristi se u Ford-Fulkersonovom, odnosno Edmonds-Karpovom algoritmu.

Metoda *ConstructLayeredResidualNetwork* konstruira slojevitom rezidualnu mrežu, a koristi se u Dinicevom, odnosno Malhotra-Kumar-Maheshwarijevom algoritmu.

Regija *FlowComputing* sadržava osnovne operacije s tokovima u mreži - uvećanje toka, uvećanje toka minimalne cijene, smanjenje cijene toka, perturbiranje toka, harmoniziranje toka, komponiranje tokova, sumiranje tokova, dijeljenje toka, centriranje tokova, zaokruživanje toka, traženje toka (minimalne cijene) zadane vrijednosti.

Regije *LocalSearchHeuristic* i *EvolutionaryMetaheuristic* sadržavaju operacije s tokovima u mreži - traženje toka minimalne robusne cijene te zadane vrijednosti (meta)heuristicama lokalnog traženja i evolucije. Regija *LocalSearchInitialization* sadržava metode koje inicijaliziraju početno rješenje za generiranje okoline heuristikom lokalnog traženja. Regija *FlowMutatingInitialization* sadržava metode koje mutiranjem inicijaliziraju neku početnu populaciju rješenja. Regija *Evaluation* sadržava metode koje evaluiraju neku (početnu) populaciju rješenja traženjem rješenja čija je najveća cijena po svim scenarijima najmanja. Regija *Selection* sadržava metode koje odabiru natjecanjem prvog i drugog roditelja za križanje ili nasumično jednu jedinku za mutiranje. Regija *Insertion* sadržava metode koje umeću uvažavanjem sličnosti potomka „dobrih” roditelja u neku populaciju rješenja ili zamjenjuju jedinku njezinim mutantom. Regija *Operation* sadržava metode koje generiraju križanjem roditelja i mutiranjem jedinki nova rješenja koja mogu, ali i ne moraju, biti bolja od postojećih.

Regije *MaximalFlow* i *MinimalCut* sadržavaju metode za traženje maksimalnog toka algoritmima Dinic i Malhotra-Kumar-Maheshwari, odnosno minimalnog reza algoritmima Ford-Fulkerson i Edmonds-Karp.

Na kraju, opišimo neke strukture i regije klase rezidualne mreže *ResidualNetwork.cs*.

Analogno datoteci *Network.cs*, struktura *Arc* predstavlja rezidualne lukove. Prema definiciji 3.1 rezidualne mreže, vrhovi su isti vrhovima polazne mreže.

Regija *ShortestPath* sadržava metode za traženje najkraćeg puta algoritmima Moore BFS, Tarjan DFS, Dijkstra i Bellman-Ford.

Regije *NegativeCycle* i *SimpleCycle* sadržavaju metodu za traženje negativnog i jednostavnog ciklusa algoritmom Floyd-Warshall, odnosno backtracking DFS.

5.5. Složenost (meta)heuristika za rješavanje robusnih problema toka

U sljedećim teoremima iskazujemo da algoritam lokalnog traženja te evolucijski algoritam imaju kvazi-polinomijalnu složenost. Na početku dokaza svakog teorema, pokazujemo konačanost postupaka, tj. da postupci rezultiraju približnim rješenjem robusnog problema toka u konačnom broju koraka. Zatim, pokazujemo složenost jednog koraka svakog od ta dva postupka, odnosno složenost postupka inicijaliziranja početnog rješenja te početne populacije rješenja. Na kraju, ocjenjujemo složenost (meta)heuristika za rješavanje poopćenog robusnog problema.

Teorem 5.1. *Algoritam lokalnog traženja za rješavanje robusnog problema toka minimalne cijene je konačan.*

Jedan korak postupka ima kvazi-polinomijalnu složenost $O(|S||V|^3)$.

Postupak inicijaliziranja ima kvazi-polinomijalnu složenost $O(F|S||V||A|)$.

Dokaz. Dokažimo konačnost. Postupak lokalnog traženja se izvodi sve dok nije dosegnut unaprijed zadani (konačni) broj iteriranja i sve dok postoji bolje rješenje u okolini tekućeg rješenja. Zadnji uvjet je dovoljan za izvođenje postupka lokalnog traženja u konačnom broju koraka čak i tada kad broj iteriranja nije zadan unaprijed - kako su robusne cijene nenegativne, to je robusna cijena rješenja iz okoline bolja (manja) od robusne cijene tekućeg rješenja samo konačno mnogo puta.

Inicijalizacija dopustivog toka se svodi na osnovne operacije s tokovima koje se izvršavaju u konačnom broju koraka. Generiranje okoline tekućeg rješenja se izvodi toliko puta kolika je veličina okoline. Računanje robusne cijene zadanog rješenja se izvodi toliko puta koliki je broj scenarija. Dakle, algoritam lokalnog traženja rezultira približnim rješenjem problema *RMCF* u konačnom broju koraka.

Dokažimo složenost. Neka su $|V|$ broj vrhova i $|A|$ broj lukova te $|S|$ broj scenarija. Neka je $|X| \approx 30$ promjenjiva veličina okoline tekućeg rješenja te F zadana vrijednost toka.

Postupak nasumičnog inicijaliziranja poziva metodu traženja toka zadane vrijednosti pa ima kvazi-polinomijalnu složenost

$$O(F|A|).$$

Postupak jednostrukog inicijaliziranja poziva metodu traženja toka minimalne cijene zadane vrijednosti za svaki scenarij posebno i provodi postupak računanja robusne cijene dobivenih rješenja pa ima kvazi-polinomijalnu složenost

$$O(|S| \cdot F|V||A| + |S||A|) = O(F|S||V||A|).$$

Postupak višestrukog inicijaliziranja poziva metodu traženja toka minimalne cijene zadane vrijednosti za svaki scenarij posebno i provodi postupak lokalnog traženja za dobivena rješenja pa ima kvazi-polinomijalnu složenost

$$O(|S| \cdot F|V||A|) = O(F|S||V||A|).$$

Postupak inicijaliziranja centriranjem tokova poziva metodu traženja toka minimalne cijene zadane vrijednosti za svaki scenarij posebno i poziva metodu centriranja tokova za dobivena rješenja te, eventualno, poziva metodu zaokruživanja toka za nedopustivo rješenje pa ima kvazi-polinomijalnu složenost

$$O(|S| \cdot F|V||A| + |S||A| + F|A|) = O(F|S||V||A|).$$

Stoga **postupak inicijaliziranja u najsloženijem slučaju** ima kvazi-polinomijalnu složenost

$$O(F|S||V||A|).$$

Postupak generiranja okoline poziva metodu smanjenja cijene toka za tekuće rješenje i za svaki scenarij posebno te poboljšavanja dobivenih rješenja ima toliko kolika je veličina okoline tekućeg rješenja pa ima kvazi-polinomijalnu složenost

$$O(\underbrace{|X|}_{\approx 30} \cdot |S||V|^3) = O(|S||V|^3).$$

Mjerenje ponašanja nekog rješenja pod svakim scenarijem i za svaki luk računa cijenu toka. Određivanje najgoreg ponašanja nekog rješenja za svaki scenarij računa maksimalnu vrijednost cijene toka. Stoga **postupak računanja robusne cijene nekog rješenja okoline** ima kvazi-polinomijalnu složenost

$$O(|S||A| + |S|) = O(|S||A|).$$

Traženja rješenja s najboljom (najmanjom) robusnom cijenom u nekoj okolini ima toliko kolika je veličina okoline tekućeg rješenja. Stoga **postupak računanja robusne cijene svakog rješenja okoline** ima kvazi-polinomijalnu složenost

$$O(\underbrace{|X|}_{\approx 30} \cdot |S||A|) = O(|S||A|).$$

Dakle, jedan korak **postupka lokalnog traženja** u najsloženijem slučaju ima kvazi-polinomijalnu složenost

$$O(|S||V|^3 + |S| \underbrace{|A|}_{\leq |V|^2}) = O(|S||V|^3).$$

□

Teorem 5.2. *Evolucijski algoritam za rješavanje običnog robusnog problema toka minimalne cijene je konačan.*

Jedan korak postupka ima kvazi-polinomijalnu složenost $O(F|S||V|^3)$.

Postupak inicijaliziranja ima kvazi-polinomijalnu složenost $O(F|S||V|^3)$.

Dokaz. Dokažimo konačnost. Evolucijski postupak se izvodi sve dok nije dosegnut unaprijed zadani (konačni) broj iteriranja ili sve dok nije dosegnut unaprijed zadani (konačni) broj ponavljanja tekućeg rješenja. Prvi uvjet nije nužan za izvođenje postupka evolucijskog postupka u konačnom broju koraka - kako su robusne cijene nenegativne, to je robusna cijena rješenja iz populacije bolja (manja) od robusne cijene tekućeg rješenja samo konačno mnogo puta pa se tekuće rješenje može ponoviti samo konačno mnogo puta.

Križanje dva roditelja ili mutiranje jedne jedinke se svodi na osnovne operacije s tokovima koje se izvršavaju u konačnom broju koraka. Generiranje početne populacije rješenja se izvodi toliko puta kolika je veličina populacije. Evaluacija rješenja se izvodi toliko puta kolika je broj scenarija. Odabiranje natjecanjem „dobrog” roditelja iz populacije u svrhu križanja ili „loše” jedinke u svrhu odbacivanja iz populacije se izvodi toliko puta kolika je veličina podpopulacije. Umetanje potomka u populaciju uvažavanjem sličnosti se izvodi toliko puta kolika je veličina populacije. Dakle, evolucijski algoritam rezultira približnim rješenjem problema $RMCF$ u konačnom broju koraka.

Dokažimo složenost. Neka su $|V|$ broj vrhova i $|A|$ broj lukova te $|S|$ broj scenarija. Neka je $|X| \approx 30$ fiksna veličina početne populacije rješenja te F zadana vrijednost toka.

Postupak križanja harmoniziranjem toka poziva metodu harmoniziranja toka redom za prvog i drugog roditelja pa ima polinomijalnu složenost

$$O(|A|).$$

Postupak križanja komponiranjem tokova poziva metodu dekomponiranja toka za oba roditelja i poziva metodu komponiranja tokova za dobivene jedinične tokove redom od prvog i drugog roditelja pa ima kvazi-polinomijalnu složenost

$$O(2F|A| + F|A|) = O(F|A|).$$

Postupak križanja centriranjem tokova poziva metodu centriranja tokova za dva roditelja te, eventualno, poziva metodu zaokruživanja toka za nedopustivog potomka pa ima kvazi-polinomijalnu složenost

$$O(2|A| + F|A|) = O(F|A|).$$

Stoga **postupak križanja u najsloženijem slučaju** ima kvazi-polinomijalnu složenost

$$O(F|A|).$$

Postupak mutiranja lokalnim traženjem provodi postupak lokalnog traženja za jednu jedinku kao početno rješenje pa, prema dokazu teorema 5.1, ima kvazi-polinomijalnu složenost

$$O(F|S||V| \underbrace{|A|}_{\leq |V|^2} + |S||V|^3) = O(F|S||V|^3).$$

Postupak mutiranja smanjenjem cijene toka poziva metodu smanjenja cijene toka za jednu jedinku i za nasumično odabrani scenarij pa ima polinomijalnu složenost

$$O(|V|^3).$$

Postupak mutiranja perturbiranjem toka poziva metodu perturbiranja toka za jednu jedinku pa ima polinomijalnu složenost

$$O(|A|).$$

Stoga **postupak mutiranja u najsloženijem slučaju** ima kvazi-polinomijalnu složenost

$$O(F|S||V|^3).$$

Generiranje početne populacije rješenja od optimalnih rješenja za sve scenarije provodi postupak mutiranja toliko puta kolika je veličina početne populacije pa inicijalizacija ima kvazi-polinomijalnu složenost

$$O(\underbrace{|X|}_{\approx 30} \cdot F|S||V|^3) = O(F|S||V|^3).$$

Evaluacija te odabiranje i umetanje rješenja ne utječu bitno na složenost evolucijskog postupka.

Dakle, jedan korak **evolucijskog postupka** u najsloženijem slučaju ima kvazi-polinomijalnu složenost

$$O(F \underbrace{|A|}_{\leq |V|^2} + F|S||V|^3) = O(F|S||V|^3).$$

□

Napomena 5.3. U primjercima problema očekujemo da je veličina okoline tekućeg rješenja u algoritmu lokalnog traženja, odnosno veličina početne populacije rješenja u evolucijskom algoritmu, $|X| \approx 30$.

Teorem 5.4. (Meta)heuristika za rješavanje poopćenog robusnog problema toka minimalne cijene lokalnim traženjem je konačna.

Jedan korak postupka ima kvazi-polinomijalnu složenost $O(|S||V|^3)$.

Postupak inicijaliziranja ima kvazi-polinomijalnu složenost $O(F|S||V||A|)$.

Dokaz. Dokažimo konačnost. Postupak rješavanja poopćenog robusnog problema toka minimalne cijene lokalnim traženjem slijedi jednaki obrazac kao postupak rješavanja običnog robusnog problema toka minimalne cijene lokalnim traženjem, koji je konačan, prema teoremu 5.1.

Računanje minimalnih kapaciteta i optimalnih rješenja se izvodi toliko puta koliki je broj scenarija. Dakle, (meta)heuristika lokalnim traženjem rezultira približnim rješenjem poopćenog problema *GRMCF* u konačnom broju koraka.

Dokažimo složenost. Neka su $|V|$ broj vrhova i $|A|$ broj lukova te $|S|$ broj scenarija. Neka je F zadana vrijednost toka.

Postupak računanja minimalnih kapaciteta ima kvazi-polinomijalnu složenost

$$O(|S||A|).$$

Postupak računanja optimalnih rješenja poziva metodu traženja toka minimalne cijene zadane vrijednosti za svaki scenarij posebno pa ima kvazi-polinomijalnu složenost

$$O(|S| \cdot F|V||A|) = O(F|S||V||A|).$$

Prema teoremu 5.1, generiranje početnog tekućeg rješenja u algoritmu lokalnog traženja ima kvazi-polinomijalnu složenost $O(F|S||V||A|)$ pa inicijalizacija ima kvazi-polinomijalnu složenost

$$O(|S||A| + 2 \cdot F|S||V||A|) = O(F|S||V||A|).$$

Kako postupci računanja minimalnih kapaciteta i optimalnih rješenja prethode inicijalizaciji početnog tekućeg rješenja u algoritmu lokalnog traženja, to ne utječu na složenost jednog koraka postupka.

Dakle, jedan korak postupka za rješavanje poopćenog robusnog problema toka minimalne cijene lokalnim traženjem ima istu (u smislu reda veličine) kvazi-polinomijalnu složenost

$$O(F|S||V||A|)$$

kao jedan korak postupka za rješavanje običnog robusnog problema toka minimalne cijene lokalnim traženjem.

□

Teorem 5.5. (Meta)heuristika za rješavanje poopćenog robusnog problema toka minimalne cijene evolucijom je konačna.

Jedan korak postupka ima kvazi-polinomijalnu složenost $O(F|S||V|^3)$.

Postupak inicijaliziranja ima kvazi-polinomijalnu složenost $O(F|S||V|^3)$.

Dokaz. Dokažimo konačnost. Postupak rješavanja poopćenog robusnog problema toka minimalne cijene evolucijom slijedi jednaki obrazac kao postupak rješavanja običnog robusnog problema toka minimalne cijene evolucijom, koji je konačan, prema teoremu 5.2.

Računanje minimalnih kapaciteta i optimalnih rješenja se izvodi toliko puta koliki je broj scenarija. Dakle, (meta)heuristika evolucijom rezultira približnim rješenjem poopćenog problema *GRMCF* u konačnom broju koraka.

Dokažimo složenost. Neka su $|V|$ broj vrhova i $|A|$ broj lukova te $|S|$ broj scenarija. Neka je F zadana vrijednost toka.

Postupak računanja minimalnih kapaciteta ima kvazi-polinomijalnu složenost

$$O(|S||A|).$$

Postupak računanja optimalnih rješenja poziva metodu traženja toka minimalne cijene zadane vrijednosti za svaki scenarij posebno pa ima kvazi-polinomijalnu složenost

$$O(|S| \cdot F|V||A|) = O(F|S||V||A|).$$

Prema teoremu 5.2, generiranje početne populacije rješenja u evolucijskom algoritmu ima kvazi-polinomijalnu složenost $O(F|S||V|^3)$ pa inicijalizacija ima kvazi-polinomijalnu složenost

$$O(|S||A| + \underbrace{F|S||V||A|}_{\leq |V|^2} + F|S||V|^3) = O(F|S||V|^3).$$

Kako postupci računanja minimalnih kapaciteta i optimalnih rješenja prethode inicijalizaciji početne populacije rješenja u evolucijskom algoritmu, to ne utječu na složenost jednog koraka postupka.

Dakle, jedan korak postupka za rješavanje poopćenog robusnog problema toka minimalne cijene evolucijom ima istu (u smislu reda veličine) kvazi-polinomijalnu složenost

$$O(F|S||V|^3)$$

kao jedan korak postupka za rješavanje običnog robusnog problema toka minimalne cijene evolucijom.

□

6. Eksperimentalne evaluacije (meta)heuristika za rješavanje robusnih problema toka

Oblikujemo dva skupa primjeraka problema. U prvom skupu primjerci su dovoljno mali da budu rješivi egzaktnim algoritmima poštujući uvjet cjelobrojnosti varijabli odlučivanja. Za primjerke iz prvog skupa možemo točno izmjeriti preciznost (meta)heuristika. U drugom skupu primjerci su preveliki da budu rješivi egzaktnim algoritmima u cjelobrojnoj varijanti, ali ipak jesu rješivi u relaksiranoj varijanti. Za primjerke iz drugog skupa možemo samo grubo izmjeriti preciznost (meta)heuristika mjereći odstupanje od donje ograde. U slučaju drugog skupa odstupanje približnog rješenja od relaksiranog rješenja daje neku grubu mjeru preciznosti (meta)heuristike, ustvari daje neku pesimističnu ocjenu o relativnoj grešci u najgorem mogućem slučaju. Naprimjer, ako se neko približno rješenje razlikuje od relaksiranog rješenja za 5%, onda se od egzaktnog rješenja razlikuje za manje od 5%. Nadalje, ako jedna (meta)heuristika odstupa od donje ograde za 5%, a druga za 10%, onda je prva (meta)heuristika više nego dvostruko bolja od druge.

Prvi i drugi skup zadajemo tako da svaki sadrži po 30 primjeraka. U praksi, često koristimo slojevite mreže (iz definicije A.1) pa skupove zadajemo tako da odražavaju tu činjenicu.

Odabiremo reprezentativne i realistične te razmjerno velike primjerke problema pa *eksperimentalnom evaluacijom (meta)heuristika za rješavanje robusnih problema toka* na takvim primjercima za svaku od razmatranih robusnih varijanti, mjerimo njihovu preciznost i vrijeme izvršenja pa obrađujemo i uspoređujemo rezultate evaluacija te iznosimo prednosti i nedostatke. U eksperimentima se mjeri:

- relativna greška (%) - relativno odstupanje približnog rješenja od egzaktnog ili relaksiranog rješenja,
- ubrzanje (\times) - omjer vremena izvršenja egzaktnog algoritma i (meta)heuristike.

Što je relativna greška manja to je preciznost (meta)heuristike veća.

Što je ubrzanje veće to je vrijeme izvršenja (meta)heuristike brže.

Raspon (nasumičnih) vrijednosti kapaciteta i jediničnih cijena lukova u jednim primjercima problema je od 0 do 99, a u nekim drugim je od 0 do 9. Eksperimentalno je dokazano da manji raspon vrijednosti (od 0 do 9) znatno smanjuje protočnost mreže što utječe na mogućnost rješavanja robusnih problema toka.

Od *hardvera* se koristi osobno računalo s procesorom Intel Core i5-6440HQ frekvencije 2,60 GHz i radnom memorijom veličine 4 GB. Od *softvera* se koristi operativni sustav Microsoft Windows 10 64-bitne arhitekture, razvojna okolina Microsoft Visual Studio 2015, programski jezik Visual C#, radni okvir .NET 4.5.2 i alat IBM ILOG CPLEX Optimization Studio.

Promotrimo varijante (meta)heuristika korištenih za rješavanje robusnih problema toka minimalne cijene koje se razlikuju u postupku inicijaliziranja (početnog tekućeg rješenja u algoritmu lokalnog traženja ili početne populacije rješenja u evolucijskom algoritmu) te postupcima križanja i mutiranja:

Varijanta (meta)heuristike		Postupak inicijaliziranja	Postupak križanja	Postupak mutiranja
#1	lokalno traženje	nasumični	-	-
#2		jednostruki		
#3		višestruki		
#4		centriranjem tokova		
#5	evolucija	mutiranjem toka ¹	harmoniziranjem toka	lokalnim traženjem
#6				smanjenjem cijene toka
#7				perturbiranjem toka
#8		komponiranjem tokova	lokalnim traženjem	
#9			smanjenjem cijene toka	
#10			perturbiranjem toka	
#11		centriranjem tokova	lokalnim traženjem	
#12			smanjenjem cijene toka	
#13			perturbiranjem toka	

TABLICA 6.1. Legenda varijanti (meta)heuristika.

¹U evolucijskom postupku generiramo početnu populaciju rješenja od optimalnih rješenja za sve scenarije pa dobivamo toliko jedinki u početnoj populaciji rješenja koliko ima scenarija. Ako je broj scenarija manji od 30, onda mutiranjem tokova stvaramo dodatne jedinke u postupku inicijaliziranja.

Napomena 6.1. *Kako je odabir prvog i drugog roditelja za križanje ili jedne jedinke za mutiranje u evolucijskom algoritmu nasumičan, to ponavljanje izvršavanja za iste ulazne parametre obično daje različite rezultate. Radi ublažavanja posljedica nasumičnog odabira, ponavljamo eksperimente više puta čime osiguravamo točnost i stabilnost rezultata.*

Napomena 6.2. *Kako bi primjerci problema bili potpuno definirani i dokumentirani, to njihovu eksplicitnu specifikaciju dajemo na internetskoj stranici*

<https://web.math.pmf.unizg.hr/~spoljarec>

tako da čitatelj ove disertacije može provjeriti točnost ovih rezultata ili može usporediti svoje rezultate s ovima.

6.1. Mali primjerci robusnog problema toka minimalne cijene

Mali primjerke robusnog problema toka minimalne cijene, kojima evaluiramo algoritam lokalnog traženja i evolucijski algoritam, identificiramo rednim brojevima #1, #2, ..., #30. Brojevi scenarija su 30, 15, 10, 5. Prema centralnom graničnom teoremu, ako je veličina okoline ili populacije dovoljno velika (empirijski, taj broj je jednak 30), onda se smatra da je analiza bazirana na normalnoj distribuciji valjana. Ako je broj scenarija manji od 30, onda u postupku generiranja okoline napravimo dovoljno iteracija poboljšavanja nekog rješenja za neki scenarij, odnosno u postupku generiranja početne populacije napravimo dovoljno mutacija nekog rješenja za neki scenarij.

Primjerci se razlikuju po broju vrhova o kojem ovise širine slojeva te brojevi slojeva. Naprimjer, ako je broj vrhova 18, onda su širine slojeva netrivialni djelitelji broja vrhova bez izvora i ponora

$$d(18 - 2) = d(16) = \{8, 4, 2\},$$

a brojevi slojeva su redom kvocijenti broja vrhova i širine slojeva

$$\{16/8, 16/4, 16/2\} = \{2, 4, 8\}.$$

Primjerci se još razlikuju po broju lukova o kojem ovisi gustoća mreže. Naprimjer, ako je broj vrhova 18 i broj lukova 80, onda je gustoća mreže

$$\frac{80}{18(18 - 1)} = 26,14\%.$$

Raspon (nasumičnih) vrijednosti kapaciteta i jediničnih cijena lukova u svim primjercima problema je od 0 do 99.

Osnovna svojstva prvog skupa primjeraka egzaktno rješivih CPLEX-om u svakoj robusnoj varijanti sažeto su prikazana sljedećom tablicom:

Primjerak problema <i>RMCF</i>	Vrijednost toka <i>F</i>	Broj scenarija $ S $	Broj vrhova $ V $	Broj lukova $ A $	Gustoća mreže D_G	Širina slojeva Δ_G	Broj slojeva	Raspon vrijednosti u_{ij}, c_{ij}^s
#1	243	30	18	80	26,14%	8	2	0 - 99
#2	177			56	18,30%	4	4	
#3	93			32	10,46%	2	8	
#4	20			34	11,11%	∞	7	
#4	177	30	17	60	22,06%	5	3	0 - 99
#6	134			42	15,44%	3	5	
#7	198			59	21,69%	∞	2	
#8	456	15	24	143	25,91%	11	2	0 - 99
#9	48			44	7,97%	2	11	
#10	104			130	23,55%	∞	3	
#11	270	15	23	112	22,13%	7	3	0 - 99
#12	52			60	11,86%	3	7	
#13	34			72	14,23%	∞	3	
#14	216	10	27	110	15,67%	5	5	0 - 99
#15	78			153	21,79%	∞	3	
#16	506	10	26	168	25,85%	12	2	0 - 99
#17	270			144	22,15%	8	3	
#18	228			120	18,46%	6	4	
#19	229			88	13,54%	4	6	
#20	112			69	10,62%	3	8	
#21	108			48	7,38%	2	12	
#22	16			118	18,15%	∞	5	
#23	628	5	30	224	25,75%	14	2	0 - 99
#24	247			161	18,51%	7	4	
#25	218			104	11,95%	4	7	
#26	63			56	6,44%	2	14	
#27	97			198	22,76%	∞	3	
#28	356	5	29	180	22,17%	9	3	0 - 99
#29	97			78	9,61%	3	9	
#30	30			90	11,08%	∞	7	

TABLICA 6.2. Prvi skup primjeraka egzaktno rješivih CPLEX-om u svakoj robusnoj varijanti.

Primjerci 6.3. *Relativne greške izmjerene na prvom skupu od 30 malih primjeraka problema za 13 varijanti (meta)heuristika su prikazane u sljedećih šest tablica. Prve dvije tablice se odnose na apsolutno robusnu varijantu, sljedeće dvije tablice se odnose na devijantno robusnu varijantu, a zadnje dvije tablice se odnose na relativno robusnu varijantu. Prva, treća i peta tablica se odnose na 4 varijante algoritma lokalnog traženja, a druga, četvrta i šesta tablica se odnose na 9 varijanti evolucijskog algoritma.*

Primjerak problema	Egzaktno rješenje	Približno rješenje #1		Približno rješenje #2		Približno rješenje #3		Približno rješenje #4		Najmanja relativna greška	
#1	39.700	44.516	12,13%	43.009	8,34%	42.150	6,17%	44.962	13,25%		6,17%
#2	47.676	54.006	13,28%	50.793	6,54%	49.584	4,00%	52.612	10,35%		4,00%
#3	52.501	52.818	0,60%	52.686	0,35%	52.642	0,27%	52.891	0,74%		0,27%
#4	8.578	9.332	8,79%	8.804	2,63%	8.804	2,63%	9.165	6,84%		2,63%
#5	37.864	43.267	14,27%	40.981	8,23%	40.981	8,23%	42.918	13,35%		8,23%
#6	43.074	45.861	6,47%	44.836	4,09%	44.836	4,09%	46.915	8,92%		4,09%
#7	32.636	37.353	14,45%	35.155	7,72%	35.035	7,35%	35.849	9,84%		7,35%
#8	68.342	77.607	13,56%	73.487	7,53%	73.487	7,53%	78.788	15,28%		7,53%
#9	30.351	31.402	3,46%	31.314	3,17%	31.267	3,02%	31.907	5,13%		3,02%
#10	18.790	26.358	40,28%	22.295	18,65%	21.764	15,83%	21.457	14,19%		14,19%
#11	49.736	55.306	11,20%	55.665	11,92%	55.665	11,92%	56.555	13,71%		11,20%
#12	19.576	22.716	16,04%	22.056	12,67%	21.543	10,05%	22.702	15,97%		10,05%
#13	6.824	7.989	17,07%	7.501	9,92%	7.454	9,23%	7.381	8,16%		8,16%
#14	59.609	66.938	12,30%	64.405	8,05%	64.405	8,05%	67.290	12,89%		8,05%
#15	15.388	18.865	22,60%	16.199	5,27%	16.199	5,27%	18.296	18,90%		5,27%
#16	81.320	89.831	10,47%	87.153	7,17%	86.029	5,79%	87.509	7,61%		5,79%
#17	49.328	55.116	11,73%	58.104	17,79%	55.078	11,66%	55.894	13,31%		11,66%
#18	53.075	66.252	24,83%	57.112	7,61%	57.112	7,61%	59.290	11,71%		7,61%
#19	69.116	80.104	15,90%	76.873	11,22%	76.873	11,22%	77.698	12,42%		11,22%
#20	48.258	54.808	13,57%	53.147	10,13%	52.958	9,74%	54.729	13,41%		9,74%
#21	69.158	70.797	2,37%	71.664	3,62%	69.574	0,60%	71.109	2,82%		0,60%
#22	4.175	5.465	30,90%	5.070	21,44%	4.928	18,04%	4.863	16,48%		16,48%
#23	75.982	84.931	11,78%	83.872	10,38%	83.872	10,38%	82.835	9,02%		9,02%
#24	49.509	66.015	33,34%	58.836	18,84%	58.524	18,21%	56.762	14,65%		14,65%
#25	76.698	89.274	16,40%	88.719	15,67%	86.401	12,65%	85.221	11,11%		11,11%
#26	46.485	48.334	3,98%	48.326	3,96%	48.326	3,96%	48.570	4,49%		3,96%
#27	16.462	22.108	34,30%	19.271	17,06%	19.271	17,06%	18.362	11,54%		11,54%
#28	66.375	78.587	18,40%	74.298	11,94%	73.457	10,67%	72.481	9,20%		9,20%
#29	44.382	53.423	20,37%	47.309	6,60%	47.309	6,60%	49.981	12,62%		6,60%
#30	10.211	12.231	19,78%	11.520	12,82%	11.306	10,72%	11.384	11,49%		10,72%
Prosječna relativna greška			15,82%		9,71%		8,62%		10,98%	8,62%	0,27%

TABLICA 6.3. Relativne greške algoritma lokalnog traženja za apsolutno robusnu varijantu.

Primjerak problema	Egzaktno rješenje	Približno rješenje #5	Približno rješenje #6	Približno rješenje #7	Približno rješenje #8	Približno rješenje #9	Približno rješenje #10	Približno rješenje #11	Približno rješenje #12	Približno rješenje #13	Najmanja relativna greška									
#1	39.700	42.821	7.86%	42.327	6.62%	42.971	8.24%	40.213	1.29%	41.347	4.15%	42.796	7.80%	42.193	6.28%	43.213	8.85%	43.213	8.85%	1,2%
#2	47.676	49.920	4,71%	50.539	6,01%	50.414	5,74%	48.604	1,95%	48.492	1,71%	50.817	6,59%	49.984	4,84%	50.163	5,22%	50.163	5,22%	1,71%
#3	52.501	52.642	0,27%	52.686	0,35%	52.686	0,35%	52.505	0,01%	52.505	0,01%	52.662	0,31%	52.668	0,32%	52.686	0,35%	52.686	0,35%	0,01%
#4	8.578	8.704	1,47%	8.704	1,50%	8.704	1,50%	8.614	0,42%	8.611	0,38%	8.803	2,62%	8.832	2,96%	8.832	1,69%	8.832	1,69%	0,38%
#5	37.864	38.764	2,38%	38.745	2,33%	38.937	2,83%	38.444	1,53%	39.072	3,19%	40.495	6,95%	41.231	8,89%	41.927	10,73%	41.927	10,73%	1,53%
#6	43.074	45.398	5,40%	45.382	5,36%	44.837	4,09%	43.890	1,89%	45.398	5,40%	45.368	5,33%	45.398	5,40%	45.398	5,40%	45.398	5,40%	1,89%
#7	32.636	33.520	2,71%	34.689	6,29%	35.023	7,31%	33.388	2,30%	34.014	4,22%	33.349	2,18%	34.439	5,52%	35.335	7,51%	35.087	7,51%	2,18%
#8	68.342	72.478	6,05%	71.728	4,95%	74.092	8,41%	69.695	1,98%	70.365	2,96%	72.192	5,63%	73.175	7,07%	74.718	9,33%	75.221	10,07%	1,98%
#9	30.351	31.036	2,26%	31.285	3,08%	31.337	3,25%	30.875	1,73%	30.760	1,35%	30.783	1,42%	31.255	2,98%	31.294	3,11%	31.299	3,12%	1,35%
#10	18.790	21.056	12,06%	22.208	18,19%	22.161	17,94%	19.746	5,09%	19.823	5,50%	20.522	9,22%	21.722	15,60%	21.910	16,60%	22.289	18,62%	5,09%
#11	49.736	54.122	8,82%	55.173	10,93%	55.050	10,68%	52.287	5,13%	52.048	4,65%	53.012	6,59%	54.555	9,69%	57.460	15,53%	56.211	13,02%	4,65%
#12	19.576	20.515	4,80%	21.585	10,26%	21.072	7,64%	20.489	4,66%	20.856	6,54%	20.841	6,46%	21.404	9,34%	22.002	12,39%	22.149	13,14%	4,66%
#13	6.824	7.038	3,14%	7.477	9,57%	7.198	5,48%	6.964	2,05%	7.018	2,84%	7.191	5,38%	7.359	7,84%	7.536	10,43%	7.827	14,70%	2,05%
#14	59.609	63.090	5,84%	62.477	4,81%	62.210	4,36%	62.634	5,07%	62.022	4,05%	61.838	3,74%	64.378	8,00%	64.480	8,17%	64.014	7,39%	3,74%
#15	15.388	16.194	5,24%	17.257	12,15%	17.349	12,74%	15.952	3,67%	16.460	6,97%	16.255	5,63%	16.199	5,27%	17.350	12,75%	16.933	10,04%	3,67%
#16	81.320	85.535	5,18%	86.535	6,41%	86.596	6,49%	82.548	1,51%	82.998	2,06%	83.629	2,84%	85.967	5,71%	89.801	10,43%	87.607	7,73%	1,51%
#17	49.328	54.771	11,03%	55.610	12,74%	56.156	13,84%	52.435	6,30%	52.997	7,44%	52.683	6,80%	54.648	10,78%	55.956	13,44%	55.812	13,14%	6,30%
#18	53.075	55.536	4,64%	56.006	5,52%	56.963	7,33%	54.726	3,11%	55.556	4,67%	56.049	5,60%	56.452	6,36%	56.266	6,01%	57.502	8,34%	3,11%
#19	69.116	75.866	9,77%	76.063	10,05%	74.695	8,07%	72.015	4,19%	71.905	4,04%	72.420	4,78%	76.873	11,22%	77.204	11,70%	76.552	10,76%	4,04%
#20	48.258	50.622	4,90%	53.741	11,36%	50.922	5,52%	50.118	3,85%	51.462	6,64%	50.682	5,02%	52.361	8,50%	53.230	10,30%	54.679	13,31%	3,85%
#21	69.158	69.574	0,60%	71.095	2,80%	69.691	0,77%	69.382	0,32%	69.978	1,19%	70.063	1,31%	69.574	0,60%	70.841	2,43%	71.654	3,61%	0,32%
#22	4.175	4.680	12,10%	4.906	17,51%	4.686	12,24%	4.577	9,63%	4.391	5,17%	4.461	6,85%	4.735	13,41%	4.815	15,33%	4.846	16,07%	5,17%
#23	75.982	80.024	5,32%	79.949	5,22%	81.300	7,00%	78.190	2,91%	79.381	4,47%	78.649	3,51%	83.757	10,23%	83.406	9,77%	83.505	9,90%	2,91%
#24	49.509	56.891	14,91%	57.995	17,14%	57.124	15,38%	53.277	7,61%	53.974	9,02%	53.600	8,26%	57.083	15,30%	58.706	18,58%	58.588	18,34%	7,61%
#25	76.698	85.314	11,23%	85.347	11,28%	86.769	13,13%	81.446	6,19%	83.265	8,56%	82.520	7,59%	86.188	12,37%	87.167	13,65%	85.881	11,97%	6,19%
#26	46.485	47.781	2,79%	48.194	3,68%	48.219	3,73%	47.057	1,23%	49.094	5,61%	47.425	2,02%	47.702	2,62%	49.178	5,79%	48.740	4,85%	1,23%
#27	16.462	18.168	10,36%	19.003	15,44%	18.883	14,71%	16.744	1,71%	18.428	11,94%	18.582	12,88%	18.105	9,98%	18.500	12,38%	18.914	14,89%	1,71%
#28	66.375	71.621	7,90%	71.344	7,49%	73.151	10,21%	69.082	4,08%	69.621	4,89%	70.152	5,69%	72.134	6,68%	74.150	11,71%	72.761	9,62%	4,08%
#29	44.382	46.301	4,32%	46.294	4,31%	46.123	3,92%	45.521	2,57%	45.433	2,37%	45.907	3,44%	47.084	6,09%	49.431	11,38%	48.827	10,02%	2,37%
#30	10.211	11.044	8,16%	11.659	14,18%	11.361	11,26%	10.703	4,82%	11.039	8,11%	11.264	10,31%	11.213	9,81%	11.284	10,51%	11.298	10,65%	4,82%
Prosječna relativna greška			6,21%		8,25%		7,81%		3,29%		4,63%		4,78%		9,62%		9,77%		3,29%	0,01%

TABLICA 6.4. Relativne greške evolucijskog algoritma za apsolutno robusnu varijantu.

Primjerak problema	Egzaktno rješenje	Približno rješenje #1		Približno rješenje #2		Približno rješenje #3		Približno rješenje #4		Najmanja relativna greška	
#1	10.612	15.862	49,47%	14.289	34,65%	13.383	26,11%	12.611	18,84%		18,84%
#2	12.746	17.243	35,28%	15.929	24,97%	15.929	24,97%	16.168	26,85%		24,97%
#3	5.099	8.766	71,92%	6.821	33,77%	6.385	25,22%	6.338	24,30%		24,30%
#4	2.360	3.779	60,13%	2.790	18,22%	2.790	18,22%	3.158	33,81%		18,22%
#5	10.308	14.270	38,44%	13.530	31,26%	12.700	23,21%	12.677	22,98%		22,98%
#6	10.096	14.227	40,92%	14.727	45,87%	12.967	28,44%	12.036	19,22%		19,22%
#7	10.641	14.839	39,45%	15.431	45,01%	13.726	28,99%	12.742	19,74%		19,74%
#8	16.302	24.723	51,66%	21.680	32,99%	21.134	29,64%	21.469	31,70%		29,64%
#9	5.871	7.306	24,44%	6.942	18,24%	6.593	12,30%	7.057	20,20%		12,30%
#10	8.379	13.407	60,01%	12.513	49,34%	11.461	36,78%	10.342	23,43%		23,43%
#11	14.987	23.029	53,66%	20.834	39,01%	19.142	27,72%	19.807	32,16%		27,72%
#12	8.850	14.513	63,99%	11.902	34,49%	11.034	24,68%	12.558	41,90%		24,68%
#13	2.834	4.065	43,44%	3.801	34,12%	3.708	30,84%	3.582	26,39%		26,39%
#14	18.005	26.575	47,60%	24.344	35,21%	24.344	35,21%	25.277	40,39%		35,21%
#15	6.177	9.550	54,61%	8.677	40,47%	8.677	40,47%	8.469	37,11%		37,11%
#16	15.034	22.328	48,52%	19.386	28,95%	19.386	28,95%	20.659	37,42%		28,95%
#17	16.579	24.137	45,59%	23.305	40,57%	22.629	36,49%	22.201	33,91%		33,91%
#18	16.128	25.469	57,92%	21.972	36,24%	21.972	36,24%	22.132	37,23%		36,24%
#19	20.122	29.150	44,87%	29.709	47,64%	29.709	47,64%	28.149	39,89%		39,89%
#20	12.369	18.594	50,33%	16.559	33,88%	16.559	33,88%	16.698	35,00%		33,88%
#21	9.120	14.251	56,26%	13.408	47,02%	11.346	24,41%	11.248	23,33%		23,33%
#22	2.039	3.236	58,71%	2.720	33,40%	2.568	25,94%	2.712	33,01%		25,94%
#23	12.821	25.102	95,79%	20.571	60,45%	20.571	60,45%	19.922	55,39%		55,39%
#24	16.227	31.599	94,73%	25.029	54,24%	25.029	54,24%	23.337	43,82%		43,82%
#25	15.115	28.155	86,27%	27.112	79,37%	27.050	78,96%	23.552	55,82%		55,82%
#26	5.972	10.368	73,61%	7.211	20,75%	7.211	20,75%	7.637	27,88%		20,75%
#27	5.641	10.915	93,49%	8.253	46,30%	8.253	46,30%	7.872	39,55%		39,55%
#28	13.037	23.566	80,76%	23.126	77,39%	21.654	66,10%	20.348	56,08%		56,08%
#29	9.203	18.161	97,34%	13.184	43,26%	13.184	43,26%	13.626	48,06%		43,26%
#30	4.071	5.381	32,18%	6.422	57,75%	5.364	31,76%	5.687	39,70%		31,76%
Prosječna relativna greška			58,38%		40,83%		34,94%		34,17%	34,17%	12,30%

TABLICA 6.5. Relativne greške algoritma lokalnog traženja za devijantno robusnu varijantu.

Primjerak problema	Egzaktno rješenje	Približno rješenje #1		Približno rješenje #2		Približno rješenje #3		Približno rješenje #4		Najmanja relativna greška	
#1	0,454890	0,809512	77,96%	0,611309	34,39%	0,542604	19,28%	0,619923	36,28%		19,28%
#2	0,407460	0,662676	62,64%	0,565162	38,70%	0,511590	25,56%	0,571128	40,17%		25,56%
#3	0,150250	0,244014	62,40%	0,196180	30,57%	0,183920	22,41%	0,180312	20,01%		20,01%
#4	0,520880	0,780569	49,86%	0,676433	29,86%	0,612240	17,54%	0,686285	31,75%		17,54%
#5	0,425310	0,582061	36,86%	0,580062	36,39%	0,514341	20,93%	0,640070	50,49%		20,93%
#6	0,373330	0,567489	52,01%	0,495449	32,71%	0,477165	27,81%	0,506772	35,74%		27,81%
#7	0,631260	0,852168	34,99%	0,890387	41,05%	0,762432	20,78%	0,905240	43,40%		20,78%
#8	0,410110	0,779078	89,97%	0,627306	52,96%	0,581229	41,73%	0,670034	63,38%		41,73%
#9	0,298980	0,370724	24,00%	0,364228	21,82%	0,360325	20,52%	0,365400	22,22%		20,52%
#10	0,857820	1,376387	60,45%	1,327470	54,75%	1,006232	17,30%	1,128992	31,61%		17,30%
#11	0,518410	0,779110	50,29%	0,723389	39,54%	0,654820	26,31%	0,728948	40,61%		26,31%
#12	0,998960	1,675868	67,76%	1,448937	45,04%	1,198933	20,02%	1,529693	53,13%		20,02%
#13	0,821610	1,310855	59,55%	1,139319	38,67%	1,007164	22,58%	1,180671	43,70%		22,58%
#14	0,480970	0,689173	43,29%	0,605147	25,82%	0,605147	25,82%	0,715242	48,71%		25,82%
#15	0,733580	1,546529	110,82%	1,083903	47,76%	1,083903	47,76%	1,041341	41,95%		41,95%
#16	0,261680	0,442898	69,25%	0,398595	52,32%	0,381990	45,98%	0,383400	46,51%		45,98%
#17	0,541780	0,697392	28,72%	0,771047	42,32%	0,727395	34,26%	0,716394	32,23%		28,72%
#18	0,514920	0,965132	87,43%	0,768704	49,29%	0,737821	43,29%	0,722234	40,26%		40,26%
#19	0,459210	0,781695	70,23%	0,673665	46,70%	0,654381	42,50%	0,676871	47,40%		42,50%
#20	0,383800	0,591459	54,11%	0,548952	43,03%	0,516486	34,57%	0,560605	46,07%		34,57%
#21	0,170230	0,260764	53,18%	0,245339	44,12%	0,223893	31,52%	0,214542	26,03%		26,03%
#22	1,004900	1,568533	56,09%	1,551684	54,41%	1,218357	21,24%	1,419419	41,25%		21,24%
#23	0,206060	0,413795	100,81%	0,364196	76,74%	0,349389	69,56%	0,330777	60,52%		60,52%
#24	0,490220	0,933356	90,40%	0,783662	59,86%	0,783662	59,86%	0,732299	49,38%		49,38%
#25	0,247220	0,464682	87,96%	0,439637	77,83%	0,439637	77,83%	0,383646	55,18%		55,18%
#26	0,148950	0,180758	21,35%	0,224108	50,46%	0,171452	15,11%	0,184848	24,10%		15,11%
#27	0,592390	1,029149	73,73%	0,894002	50,91%	0,794909	34,19%	0,785531	32,60%		32,60%
#28	0,247080	0,432926	75,22%	0,394596	59,70%	0,394596	59,70%	0,379109	53,44%		53,44%
#29	0,268160	0,555861	107,29%	0,375061	39,86%	0,375061	39,86%	0,419353	56,38%		39,86%
#30	0,696390	1,002155	43,91%	1,011846	45,30%	0,826901	18,74%	1,092854	56,93%		18,74%
Prosječna relativna greška			63,42%		45,43%		33,49%		42,38%	33,49%	15,11%

TABLICA 6.7. Relativne greške algoritma lokalnog traženja za relativno robusnu varijantu.

Primjerak problema	Egzaktno rješenje	Približno rješenje #5	Približno rješenje #6	Približno rješenje #7	Približno rješenje #8	Približno rješenje #9	Približno rješenje #10	Približno rješenje #11	Približno rješenje #12	Približno rješenje #13	Najmanja relativna greška	
#1	0.454890	0.572807	25.92%	0.527927	16.06%	0.562679	23.70%	0.494146	8.63%	0.492425	8.25%	8.25%
#2	0.407460	0.507474	24.55%	0.514745	26.33%	0.525326	28.93%	0.437222	7.30%	0.433387	6.36%	6.36%
#3	0.150250	0.196180	30.57%	0.196180	30.57%	0.196180	30.57%	0.154130	2.11%	0.154130	2.56%	2.11%
#4	0.520880	0.673945	29.39%	0.573248	10.05%	0.619531	18.94%	0.535669	2.84%	0.550208	5.63%	2.84%
#5	0.425310	0.544237	27.96%	0.515643	21.24%	0.507147	19.24%	0.457272	7.51%	0.495545	16.51%	7.51%
#6	0.373330	0.436840	17.01%	0.520449	39.41%	0.496782	33.07%	0.406525	8.89%	0.428178	14.69%	8.31%
#7	0.631260	0.724560	14.78%	0.810898	28.46%	0.776255	22.97%	0.657920	4.22%	0.653650	3.55%	3.55%
#8	0.410110	0.541274	31.98%	0.546155	33.17%	0.511049	24.61%	0.464838	13.34%	0.470947	14.83%	12.89%
#9	0.298980	0.326176	9.10%	0.348759	16.65%	0.337754	12.97%	0.301718	0.92%	0.313158	4.74%	0.92%
#10	0.857820	0.971384	13.24%	1.146576	33.66%	1.208380	40.87%	0.917224	6.93%	1.018255	18.70%	6.93%
#11	0.518410	0.654412	26.23%	0.686538	32.43%	0.665441	28.36%	0.575543	11.02%	0.608135	17.31%	11.02%
#12	0.998960	1.198933	20.02%	1.357309	35.87%	1.169039	17.03%	1.055599	5.67%	1.179938	18.12%	5.67%
#13	0.821610	0.994324	21.02%	1.104514	34.43%	1.018660	23.98%	0.898666	9.38%	0.885885	7.82%	7.82%
#14	0.480970	0.573048	19.14%	0.607985	26.41%	0.646092	34.33%	0.583425	21.30%	0.549112	14.17%	14.17%
#15	0.733580	0.928556	26.58%	1.010293	37.72%	1.024621	39.67%	0.790912	7.82%	0.811553	10.63%	7.82%
#16	0.261680	0.341632	30.55%	0.376368	43.83%	0.402150	53.68%	0.303165	15.85%	0.282665	8.02%	8.02%
#17	0.541780	0.718350	32.59%	0.731993	35.11%	0.723016	33.45%	0.622432	14.89%	0.625336	15.42%	14.89%
#18	0.514920	0.622493	20.89%	0.740598	43.83%	0.759240	47.45%	0.574478	11.57%	0.575391	11.74%	11.57%
#19	0.459210	0.593462	29.24%	0.610990	33.05%	0.616946	34.35%	0.535157	16.54%	0.537929	17.14%	16.54%
#20	0.383800	0.499726	30.20%	0.575889	50.05%	0.511543	33.28%	0.448941	16.97%	0.450039	17.26%	16.97%
#21	0.170230	0.197380	15.95%	0.216135	26.97%	0.231417	35.94%	0.189879	11.54%	0.196648	15.52%	11.54%
#22	1.004900	1.081301	7.60%	1.212560	20.66%	1.266667	26.05%	1.057730	5.26%	1.193380	18.76%	5.26%
#23	0.206060	0.328145	59.25%	0.320010	55.30%	0.318210	54.43%	0.301945	46.53%	0.296962	44.11%	26.69%
#24	0.490220	0.710893	45.02%	0.721664	47.21%	0.715010	45.85%	0.590224	20.40%	0.608609	24.15%	20.40%
#25	0.247220	0.379947	53.69%	0.418849	69.42%	0.403884	63.37%	0.333977	35.09%	0.378196	52.98%	35.09%
#26	0.148950	0.171452	15.11%	0.186673	25.33%	0.207341	39.20%	0.158986	6.74%	0.172459	15.78%	3.76%
#27	0.592390	0.742017	25.26%	0.874065	47.55%	0.888690	50.02%	0.626884	5.82%	0.656609	10.84%	5.82%
#28	0.247080	0.341367	38.16%	0.380187	53.87%	0.406795	64.64%	0.317360	28.44%	0.313630	26.93%	26.91%
#29	0.268160	0.361414	34.78%	0.409402	52.67%	0.339213	26.50%	0.303105	13.03%	0.302900	12.95%	12.95%
#30	0.696390	0.756401	8.62%	0.849064	21.92%	0.891087	27.96%	0.784677	12.68%	0.782781	12.41%	8.62%
Prosječna relativna greška			26.15%		34.97%		34.51%		12.64%		15.53%	12.64%
								28.50%			37.78%	39.51%
												12.64%
												0.92%

TABLICA 6.8. Relativne greške evolucijskog algoritma za relativno robusnu varijantu.

Ubrzanja izmjerena na prvom skupu od 30 malih primjeraka problema za 13 varijanti (meta)heuristika su prikazana u sljedećih šest tablica. Prve dvije tablice se odnose na apsolutno robusnu varijantu, sljedeće dvije tablice se odnose na devijantno robusnu varijantu, a zadnje dvije tablice se odnose na relativno robusnu varijantu. Prva, treća i peta tablica se odnose na 4 varijante algoritma lokalnog traženja, a druga, četvrta i šesta tablica se odnose na 9 varijanti evucijskog algoritma.

Primjerak problema	Egzaktno vrijeme	Približno vrijeme #1		Približno vrijeme #2		Približno vrijeme #3		Približno vrijeme #4		Najveće ubrzanje	
#1	1,06s	0,08s	14,02x	0,02s	65,61x	0,59s	1,79x	0,08s	13,62x		65,61x
#2	5,83s	0,02s	241,83x	0,02s	306,92x	0,89s	6,56x	0,05s	121,93x		306,92x
#3	0,09s	0,01s	8,36x	0,01s	15,84x	0,31s	0,29x	0,02s	5,96x		15,84x
#4	0,18s	0,01s	12,83x	0,01s	29,56x	0,31s	0,59x	0,02s	10,45x		29,56x
#5	15,00s	0,04s	401,64x	0,02s	827,01x	1,91s	7,87x	0,10s	148,23x		827,01x
#6	0,21s	0,01s	15,42x	0,01s	24,82x	0,67s	0,31x	0,05s	4,64x		24,82x
#7	1,25s	0,02s	56,21x	0,02s	58,93x	0,56s	2,24x	0,03s	45,70x		58,93x
#8	0,23s	0,07s	3,41x	0,15s	1,57x	1,77s	0,13x	0,11s	2,09x		3,41x
#9	0,14s	0,02s	6,03x	0,01s	13,50x	0,15s	0,93x	0,01s	10,07x		13,50x
#10	4,14s	0,02s	182,45x	0,01s	350,18x	0,42s	9,75x	0,05s	81,45x		350,18x
#11	32,47s	0,02s	2.149,66x	0,03s	974,53x	0,27s	121,71x	0,04s	842,44x		2.149,66x
#12	0,76s	0,01s	89,80x	0,01s	60,77x	0,17s	4,56x	0,01s	86,40x		89,80x
#13	0,48s	0,01s	43,45x	0,01s	35,99x	0,16s	3,06x	0,01s	32,30x		43,45x
#14	6,93s	0,09s	78,95x	0,01s	687,83x	1,04s	6,68x	0,18s	38,79x		687,83x
#15	0,65s	0,02s	37,03x	0,03s	23,13x	0,29s	2,26x	0,04s	16,47x		37,03x
#16	0,17s	0,11s	1,51x	0,05s	3,43x	0,57s	0,30x	0,24s	0,72x		3,43x
#17	12,52s	0,09s	145,16x	0,02s	586,81x	0,22s	55,66x	0,08s	158,85x		586,81x
#18	1,78s	0,02s	91,63x	0,01s	189,82x	0,95s	1,88x	0,14s	12,88x		189,82x
#19	1,23s	0,04s	29,10x	0,02s	61,36x	0,14s	8,86x	0,02s	80,51x		80,51x
#20	0,29s	0,01s	24,08x	0,01s	25,11x	0,17s	1,66x	0,02s	16,64x		25,11x
#21	0,17s	0,03s	6,48x	0,01s	13,44x	0,19s	0,92x	0,02s	7,95x		13,44x
#22	0,51s	0,01s	35,53x	0,01s	47,69x	0,14s	3,70x	0,02s	22,32x		47,69x
#23	0,43s	0,15s	2,86x	0,02s	26,18x	0,27s	1,61x	0,29s	1,50x		26,18x
#24	0,46s	0,02s	18,83x	0,01s	37,53x	0,08s	5,94x	0,01s	34,26x		37,53x
#25	0,15s	0,05s	3,23x	0,02s	7,95x	0,11s	1,35x	0,01s	15,27x		15,27x
#26	0,20s	0,02s	9,51x	0,01s	13,62x	0,06s	3,16x	0,01s	26,07x		26,07x
#27	0,67s	0,03s	26,47x	0,03s	21,35x	0,13s	5,16x	0,02s	29,87x		29,87x
#28	0,57s	0,05s	10,75x	0,03s	20,47x	0,16s	3,52x	0,03s	20,52x		20,52x
#29	0,31s	0,02s	17,59x	0,03s	12,26x	0,07s	4,25x	0,01s	29,24x		29,24x
#30	0,29s	0,01s	19,34x	0,02s	18,61x	0,08s	3,80x	0,01s	28,08x		28,08x
Prosječno ubrzanje			126,11x		152,06x		9,02x		64,84x	152,06x	2.149,66x

TABLICA 6.9. Ubrzanja algoritma lokalnog traženja za apsolutno robusnu varijantu.

Primjerak problema	Egzaktno vrijeme	Približno vrijeme										Najveće ubrzanje							
		#1	#2	#3	#4	#5	#6	#7	#8	#9	#10		#11	#12	#13				
#1	1,06s	0,25s	4,19x	0,04s	26,34x	0,02s	42,69x	8,20s	0,13x	5,12s	0,21x	0,28s	3,77x	0,11s	10,06x	0,10s	10,68x	42,69x	
#2	5,83s	0,23s	24,85x	0,05s	109,79x	0,03s	217,65x	2,97s	1,96x	3,12s	1,87x	0,25s	23,60x	0,11s	53,64x	0,09s	61,57x	217,65x	
#3	0,09s	0,05s	1,87x	0,01s	6,72x	0,01s	6,34x	0,98s	0,09x	0,80s	0,11x	0,05s	1,75x	0,04s	2,18x	0,04s	2,22x	6,72x	
#4	0,18s	0,09s	2,05x	0,02s	8,71x	0,03s	6,58x	0,22s	0,83x	0,17s	1,03x	0,06s	2,87x	0,03s	6,20x	0,04s	5,12x	8,71x	
#5	15,00s	0,40s	37,50x	0,11s	138,47x	0,03s	448,28x	3,05s	4,92x	2,33s	6,44x	0,18s	81,58x	0,10s	157,52x	0,09s	166,04x	448,28x	
#6	0,21s	0,06s	3,52x	0,02s	10,61x	0,02s	10,57x	2,10s	0,10x	0,38s	0,55x	0,17s	1,22x	0,06s	3,68x	0,06s	3,40x	10,61x	
#7	1,25s	0,19s	6,46x	0,03s	36,02x	0,03s	45,36x	3,58s	0,35x	1,03s	1,21x	0,35s	3,54x	0,09s	14,27x	0,07s	19,21x	45,36x	
#8	0,23s	3,11s	0,07x	0,23s	0,99x	0,07s	3,41x	22,58s	0,01x	27,03s	0,01x	1,85s	0,12x	0,24s	0,96x	0,19s	1,21x	3,41x	
#9	0,14s	0,21s	0,67x	0,03s	4,89x	0,02s	5,77x	0,43s	0,32x	0,75s	0,19x	0,22s	0,65x	0,08s	1,69x	0,06s	2,48x	5,77x	
#10	4,14s	0,65s	6,38x	0,04s	96,28x	0,04s	106,02x	3,26s	1,27x	3,75s	1,11x	0,54s	7,73x	0,10s	43,57x	0,10s	40,35x	106,02x	
#11	32,47s	0,35s	92,46x	0,11s	297,08x	0,08s	382,68x	18,69s	1,74x	17,28s	1,88x	0,56s	58,05x	0,25s	127,89x	0,16s	205,00x	382,68x	
#12	0,76s	0,25s	3,10x	0,03s	29,05x	0,03s	22,90x	1,60s	0,48x	0,68s	1,11x	0,31s	2,48x	0,07s	10,22x	0,10s	7,31x	29,05x	
#13	0,48s	0,22s	2,21x	0,02s	22,40x	0,02s	23,98x	0,73s	0,66x	0,32s	1,49x	0,35s	1,38x	0,20s	4,76x	0,03s	14,92x	23,98x	
#14	6,93s	1,71s	4,06x	0,06s	108,98x	0,06s	116,45x	7,18s	0,96x	5,19s	1,34x	0,82x	4,76x	0,16s	42,43x	0,18s	39,03x	116,45x	
#15	0,65s	0,53s	1,23x	0,04s	15,45x	0,04s	15,76x	1,63s	0,40x	1,23s	0,53x	0,59s	1,10x	0,14s	4,80x	0,13s	5,18x	15,76x	
#16	0,17s	1,03s	0,17x	0,07s	2,54x	0,10s	1,67x	43,68s	0,00x	52,97s	0,00x	1,31s	0,13x	0,29s	0,58x	0,27s	0,63x	2,54x	
#17	12,52s	0,61s	20,46x	0,07s	181,17x	0,09s	137,15x	16,49s	0,76x	27,87s	0,45x	0,85s	14,70x	0,50s	25,08x	0,32s	39,23x	181,17x	
#18	1,78s	1,10s	1,62x	0,06s	29,92x	0,03s	61,37x	12,98s	0,14x	5,29s	0,34x	1,08s	1,65x	0,20s	8,86x	0,18s	10,03x	61,37x	
#19	1,23s	0,49s	2,52x	0,04s	32,04x	0,04s	32,04x	10,52s	0,12x	8,73s	0,14x	0,37s	3,32x	0,15s	7,94x	0,16s	7,76x	32,47x	
#20	0,29s	0,42s	0,68x	0,03s	10,45x	0,07s	3,89x	2,81s	0,10x	3,97s	0,07x	0,50s	0,59x	0,24s	1,19x	0,11s	2,56x	10,45x	
#21	0,17s	0,32s	0,53x	0,04s	4,33x	0,03s	6,55x	1,60s	0,11x	1,20s	0,14x	0,35s	0,49x	0,07s	2,43x	0,09s	1,89x	6,55x	
#22	0,51s	0,35s	1,46x	0,03s	17,95x	0,03s	16,51x	0,51s	1,00x	0,28s	1,81x	0,36s	1,41x	0,12s	4,12x	0,05s	11,04x	17,95x	
#23	0,43s	0,68s	0,63x	0,13s	3,43x	0,06s	6,77x	62,09s	0,01x	73,38s	0,01x	1,76s	0,24x	0,56s	0,76x	0,66s	0,65x	6,77x	
#24	0,46s	0,30s	1,53x	0,03s	13,77x	0,06s	8,14x	16,15s	0,03x	10,82s	0,04x	1,18s	0,39x	0,24s	1,92x	0,34s	1,36x	13,77x	
#25	0,15s	0,28s	0,53x	0,07s	2,24x	0,03s	5,22x	8,32s	0,02x	7,07s	0,02x	0,47s	0,32x	0,39s	0,38x	0,63s	0,24x	5,22x	
#26	0,20s	0,23s	0,88x	0,02s	9,14x	0,03s	6,60x	1,97s	0,10x	0,35s	0,57x	0,36s	0,56x	0,11s	1,77x	0,11s	1,88x	9,14x	
#27	0,67s	0,30s	2,25x	0,03s	24,17x	0,04s	18,21x	3,85s	0,17x	0,85s	0,79x	0,43s	1,54x	0,10s	6,83x	0,09s	7,71x	24,17x	
#28	0,57s	0,59s	0,97x	0,15s	3,91x	0,05s	11,68x	27,74s	0,02x	32,50s	0,02x	0,65s	0,87x	0,71s	0,80x	0,48s	1,20x	11,68x	
#29	0,31s	0,23s	1,33x	0,14s	2,14x	0,05s	6,27x	3,03s	0,10x	5,07s	0,06x	1,49s	1,10x	0,12s	2,69x	0,22s	1,43x	6,27x	
#30	0,29s	0,35s	0,82x	0,04s	6,78x	0,03s	8,90x	1,05s	0,28x	0,63s	0,46x	0,83s	0,83x	0,05s	5,28x	0,16s	1,82x	8,90x	
Prosječno ubrzanje			7,57x		41,87x		59,51x		0,57x		0,80x		7,46x		18,79x		22,44x	59,51x	448,28x

TABLICA 6.10. Ubrzanja evolucijskog algoritma za apsolutno robusnu varijantu.

Primjerak problema	Egzaktno vrijeme	Približno vrijeme #1	Približno vrijeme #2	Približno vrijeme #3	Približno vrijeme #4	Najveće ubrzanje					
#1	1.137,07s	0,02s	62.776,11×	0,02s	69.277,78×	0,69s	1.658,73×	0,06s	19.929,58×	69.277,78×	
#2	114,37s	0,02s	5.488,77×	0,02s	7.364,93×	0,53s	214,32×	0,01s	9.123,83×	9.123,83×	
#3	0,12s	0,01s	13,70×	0,01s	13,64×	0,28s	0,43×	0,01s	19,31×	19,31×	
#4	0,15s	0,01s	16,41×	0,01s	18,18×	0,27s	0,56×	0,02s	9,90×	18,18×	
#5	462,35s	0,01s	42.295,98×	0,01s	49.035,41×	0,81s	571,69×	0,02s	22.674,55×	49.035,41×	
#6	6,86s	0,01s	516,74×	0,01s	1.143,45×	0,37s	18,61×	0,01s	627,67×	1.143,45×	
#7	11,23s	0,03s	385,47×	0,02s	645,96×	0,48s	23,25×	0,01s	1.382,87×	1.382,87×	
#8	219,46s	0,03s	7.121,28×	0,06s	3.977,30×	0,78s	282,66×	0,04s	5.539,90×	7.121,28×	
#9	0,28s	0,01s	22,16×	0,01s	50,50×	0,17s	1,68×	0,01s	29,79×	50,50×	
#10	114,05s	0,03s	3.910,83×	0,02s	7.116,92×	0,36s	314,11×	0,02s	6.024,03×	7.116,92×	
#11	187,78s	0,02s	11.879,70×	0,04s	5.034,79×	0,43s	441,19×	0,02s	10.082,31×	11.879,70×	
#12	0,50s	0,01s	46,49×	0,01s	48,08×	0,16s	3,08×	0,01s	43,15×	48,08×	
#13	2,42s	0,02s	149,84×	0,01s	341,61×	0,17s	14,15×	0,01s	166,72×	341,61×	
#14	45,48s	0,03s	1.622,59×	0,02s	2.409,72×	0,70s	65,31×	0,02s	2.011,13×	2.409,72×	
#15	5,40s	0,03s	184,48×	0,02s	313,04×	0,24s	22,69×	0,04s	152,26×	313,04×	
#16	23,90s	0,07s	327,29×	0,05s	504,29×	0,52s	45,71×	0,03s	790,59×	790,59×	
#17	653,58s	0,03s	23.453,04×	0,03s	24.146,57×	0,25s	2.638,19×	0,03s	24.824,52×	24.824,52×	
#18	264,30s	0,07s	3.990,25×	0,01s	19.955,60×	0,22s	1.195,93×	0,01s	23.583,26×	23.583,26×	
#19	3,63s	0,02s	240,34×	0,01s	326,92×	0,13s	28,18×	0,01s	315,09×	326,92×	
#20	1,44s	0,01s	137,93×	0,01s	96,68×	0,16s	8,98×	0,01s	137,35×	137,93×	
#21	0,18s	0,01s	13,83×	0,01s	18,03×	0,15s	1,23×	0,02s	11,29×	18,03×	
#22	0,35s	0,01s	33,05×	0,01s	35,60×	0,18s	1,99×	0,01s	26,07×	35,60×	
#23	1,81s	0,08s	23,25×	0,06s	29,59×	0,25s	7,22×	0,07s	25,55×	29,59×	
#24	0,75s	0,02s	35,43×	0,01s	53,91×	0,12s	6,46×	0,03s	29,32×	53,91×	
#25	0,78s	0,03s	25,74×	0,01s	66,96×	0,09s	8,39×	0,01s	80,66×	80,66×	
#26	0,25s	0,01s	28,15×	0,02s	13,23×	0,08s	3,20×	0,02s	15,81×	28,15×	
#27	0,17s	0,02s	8,77×	0,03s	5,86×	0,14s	1,25×	0,01s	11,82×	11,82×	
#28	0,35s	0,02s	16,40×	0,02s	19,49×	0,22s	1,58×	0,03s	12,04×	19,49×	
#29	0,21s	0,02s	13,10×	0,02s	13,60×	0,06s	3,78×	0,01s	14,83×	14,83×	
#30	0,17s	0,01s	13,22×	0,01s	11,44×	0,06s	2,66×	0,01s	16,03×	16,03×	
Prosječno ubrzanje			5.493,01×		6.402,97×		252,91×		4.257,04×	6.402,97×	69.277,78×

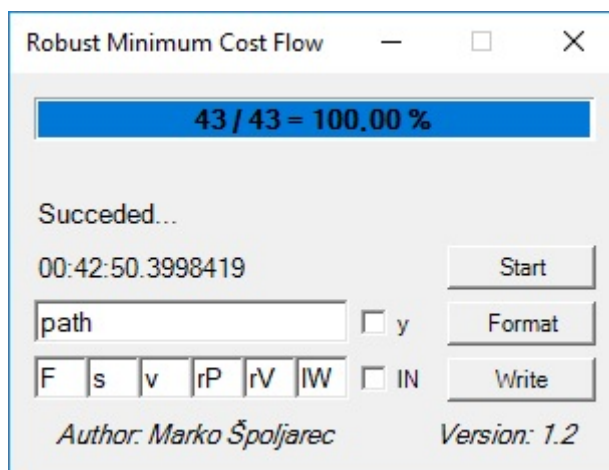
TABLICA 6.11. Ubrzanja algoritma lokalnog traženja za devijantno robusnu varijantu.

Primjerak problema	Egzaktno vrijeme	Približno vrijeme #5	Približno vrijeme #6	Približno vrijeme #7	Približno vrijeme #8	Približno vrijeme #9	Približno vrijeme #10	Približno vrijeme #11	Približno vrijeme #12	Približno vrijeme #13	Najveće ubrzanje																																																
#1	1.137,07x	0.11x	9.896,27x	0.03x	33.536,25x	0.03x	33.914,75x	0.03x	3.965	287,31x	9,34x	121,76x	0,39x	2.912,33x	0,14x	7.883,52x	0,23x	4.926,58x	0,23x	890,35x	0,12x	980,35x	0,12x	81,61x	0,05x	2,59x	7,32x	6,15x	15,879,37x	82,35x	295,57x	356,27x	3.925,24x	891,82x	17,79x	3.807,11x	5.617,70x	22,35x	64,99x	1.137,09x	110,82x	677,19x	11,429,20x	9,253,78x	136,39x	20,40x	11,55x	34,05x	26,61x	34,79x	11,32x	6,17x	11,21x	1,28x	6,16x	8,54x	515,41x	2.582,60x	33.914,75x
#2	1.147,37x	0.23x	496,66x	0.04x	2.592,01x	0.03x	4.266,57x	0.03x	5,76x	197,25x	2,08x	55,03x	0,19x	592,59x	0,20x	567,36x	0,12x	980,35x	0,12x	81,61x	0,05x	2,59x	7,32x	6,15x	15,879,37x	82,35x	295,57x	356,27x	3.925,24x	891,82x	17,79x	3.807,11x	5.617,70x	22,35x	64,99x	1.137,09x	110,82x	677,19x	11,429,20x	9,253,78x	136,39x	20,40x	11,55x	34,05x	26,61x	34,79x	11,32x	6,17x	11,21x	1,28x	6,16x	8,54x	515,41x	2.582,60x	33.914,75x				
#3	0.12x	0.04x	3.03x	0.02x	7.32x	0.03x	6.30x	0.19x	0.64x	0.19x	0.33x	0.36x	0.17x	0.21x	0.57x	0.07x	1.61x	0.05x	2.59x	0.05x	2.59x	7.32x	6.15x	15.879.37x	82.35x	295.57x	356.27x	3.925.24x	891.82x	17.79x	3.807.11x	5.617.70x	22.35x	64.99x	1.137.09x	110.82x	677.19x	11.429.20x	9.253.78x	136.39x	20.40x	11.55x	34.05x	26.61x	34.79x	11.32x	6.17x	11.21x	1.28x	6.16x	8.54x	515.41x	2.582.60x	33.914.75x					
#4	0.15x	0.10x	1.48x	0.02x	6.15x	0.03x	4.46x	0.15x	0.15x	0.10x	0.11x	1.35x	0.10x	1.47x	0.04x	3.50x	0.06x	2.67x	0.03x	4.51x	0.03x	4.51x	15.879.37x	82.35x	295.57x	356.27x	3.925.24x	891.82x	17.79x	3.807.11x	5.617.70x	22.35x	64.99x	1.137.09x	110.82x	677.19x	11.429.20x	9.253.78x	136.39x	20.40x	11.55x	34.05x	26.61x	34.79x	11.32x	6.17x	11.21x	1.28x	6.16x	8.54x	515.41x	2.582.60x	33.914.75x						
#5	462,35x	0.21x	2.196,86x	0.07x	6.779,89x	0.03x	15.879,37x	2,18x	212,08x	2,27x	203,84x	1,95x	237,01x	0,22x	2.144,47x	0,15x	3.097,15x	0,13x	3.615,17x	0,13x	3.615,17x	15,879,37x	82,35x	295,57x	356,27x	3.925,24x	891,82x	17,79x	3.807,11x	5.617,70x	22,35x	64,99x	1.137,09x	110,82x	677,19x	11,429,20x	9,253,78x	136,39x	20,40x	11,55x	34,05x	26,61x	34,79x	11,32x	6,17x	11,21x	1,28x	6,16x	8,54x	515,41x	2.582,60x	33.914,75x							
#6	6.86x	0.09x	78,88x	0.02x	295,57x	0.03x	242,94x	1,01x	6,79x	2,02x	3,40x	0,93x	7,34x	0,09x	74,57x	0,15x	47,04x	0,08x	82,35x	0,08x	82,35x	15,879,37x	82,35x	295,57x	356,27x	3.925,24x	891,82x	17,79x	3.807,11x	5.617,70x	22,35x	64,99x	1.137,09x	110,82x	677,19x	11,429,20x	9,253,78x	136,39x	20,40x	11,55x	34,05x	26,61x	34,79x	11,32x	6,17x	11,21x	1,28x	6,16x	8,54x	515,41x	2.582,60x	33.914,75x							
#7	11,23x	0.18x	62,19x	0.03x	356,27x	0.06x	190,41x	2,16x	5,20x	2,52x	4,46x	2,10x	5,34x	0,12x	90,64x	0,07x	163,55x	0,14x	81,42x	0,14x	81,42x	15,879,37x	82,35x	295,57x	356,27x	3.925,24x	891,82x	17,79x	3.807,11x	5.617,70x	22,35x	64,99x	1.137,09x	110,82x	677,19x	11,429,20x	9,253,78x	136,39x	20,40x	11,55x	34,05x	26,61x	34,79x	11,32x	6,17x	11,21x	1,28x	6,16x	8,54x	515,41x	2.582,60x	33.914,75x							
#8	219,46x	0.93x	236,43x	0.10x	2.111,49x	0.06x	3.925,24x	32,39x	6,78x	18,90x	11,61x	18,17x	12,08x	1,03x	213,19x	0,25x	886,32x	0,25x	891,82x	0,25x	891,82x	15,879,37x	82,35x	295,57x	356,27x	3.925,24x	891,82x	17,79x	3.807,11x	5.617,70x	22,35x	64,99x	1.137,09x	110,82x	677,19x	11,429,20x	9,253,78x	136,39x	20,40x	11,55x	34,05x	26,61x	34,79x	11,32x	6,17x	11,21x	1,28x	6,16x	8,54x	515,41x	2.582,60x	33.914,75x							
#9	0.28x	0.23x	1.21x	0.02x	14,73x	0.02x	17,79x	0.80x	0.35x	0.51x	0.55x	0.50x	0.56x	0.26x	1.09x	0.19x	1.50x	0.24x	2.45x	0.24x	2.45x	15,879,37x	82,35x	295,57x	356,27x	3.925,24x	891,82x	17,79x	3.807,11x	5.617,70x	22,35x	64,99x	1.137,09x	110,82x	677,19x	11,429,20x	9,253,78x	136,39x	20,40x	11,55x	34,05x	26,61x	34,79x	11,32x	6,17x	11,21x	1,28x	6,16x	8,54x	515,41x	2.582,60x	33.914,75x							
#10	114,05x	0.60x	190,72x	0.10x	1.101,25x	0.03x	3.807,11x	4,48x	25,43x	3,33x	34,21x	3,07x	37,15x	0,65x	175,23x	0,14x	797,09x	0,19x	615,97x	0,19x	615,97x	15,879,37x	82,35x	295,57x	356,27x	3.925,24x	891,82x	17,79x	3.807,11x	5.617,70x	22,35x	64,99x	1.137,09x	110,82x	677,19x	11,429,20x	9,253,78x	136,39x	20,40x	11,55x	34,05x	26,61x	34,79x	11,32x	6,17x	11,21x	1,28x	6,16x	8,54x	515,41x	2.582,60x	33.914,75x							
#11	187,78x	0.72x	261,44x	0.03x	5.617,70x	0.07x	2.547,75x	13,17x	14,26x	12,49x	15,03x	10,29x	18,24x	0,92x	204,10x	0,48x	393,42x	0,57x	328,33x	0,57x	328,33x	15,879,37x	82,35x	295,57x	356,27x	3.925,24x	891,82x	17,79x	3.807,11x	5.617,70x	22,35x	64,99x	1.137,09x	110,82x	677,19x	11,429,20x	9,253,78x	136,39x	20,40x	11,55x	34,05x	26,61x	34,79x	11,32x	6,17x	11,21x	1,28x	6,16x	8,54x	515,41x	2.582,60x	33.914,75x							
#12	0.50x	0.27x	1.82x	0.03x	16,70x	0.02x	22,35x	1,33x	0,38x	1,11x	0,45x	0,94x	0,53x	0,30x	1,64x	0,12x	4,06x	0,07x	7,02x	0,07x	7,02x	15,879,37x	82,35x	295,57x	356,27x	3.925,24x	891,82x	17,79x	3.807,11x	5.617,70x	22,35x	64,99x	1.137,09x	110,82x	677,19x	11,429,20x	9,253,78x	136,39x	20,40x	11,55x	34,05x	26,61x	34,79x	11,32x	6,17x	11,21x	1,28x	6,16x	8,54x	515,41x	2.582,60x	33.914,75x							
#13	2,42x	0.29x	8,43x	0.04x	64,99x	0.06x	42,83x	4,28x	5,75x	4,28x	7,18x	0,28x	8,75x	0,37x	6,47x	0,04x	61,66x	0,09x	25,48x	0,09x	25,48x	15,879,37x	82,35x	295,57x	356,27x	3.925,24x	891,82x	17,79x	3.807,11x	5.617,70x	22,35x	64,99x	1.137,09x	110,82x	677,19x	11,429,20x	9,253,78x	136,39x	20,40x	11,55x	34,05x	26,61x	34,79x	11,32x	6,17x	11,21x	1,28x	6,16x	8,54x	515,41x	2.582,60x	33.914,75x							
#14	45,48x	0.93x	48,88x	0.05x	838,18x	0.04x	1.137,09x	8,46x	5,38x	9,09x	5,00x	7,44x	6,11x	1,37x	33,19x	0,42x	107,94x	0,37x	123,17x	0,42x	123,17x	15,879,37x	82,35x	295,57x	356,27x	3.925,24x	891,82x	17,79x	3.807,11x	5.617,70x	22,35x	64,99x	1.137,09x	110,82x	677,19x	11,429,20x	9,253,78x	136,39x	20,40x	11,55x	34,05x	26,61x	34,79x	11,32x	6,17x	11,21x	1,28x	6,16x	8,54x	515,41x	2.582,60x	33.914,75x							
#15	5,40x	0.55x	9,87x	0.08x	67,59x	0.05x	110,82x	2,52x	2,14x	2,74x	1,97x	1,87x	2,89x	0,60x	8,96x	0,17x	10,45x	0,17x	31,05x	0,17x	31,05x	15,879,37x	82,35x	295,57x	356,27x	3.925,24x	891,82x	17,79x	3.807,11x	5.617,70x	22,35x	64,99x	1.137,09x	110,82x	677,19x	11,429,20x	9,253,78x	136,39x	20,40x	11,55x	34,05x	26,61x	34,79x	11,32x	6,17x	11,21x	1,28x	6,16x	8,54x	515,41x	2.582,60x	33.914,75x							
#16	23,90x	0.79x	30,44x	0.04x	677,19x	0.09x	258,62x	8,61x	2,78x	5,23x	0,46x	38,19x	0,63x	0,85x	28,21x	0,38x	63,28x	0,49x	48,68x	0,49x	48,68x	15,879,37x	82,35x	295,57x	356,27x	3.925,24x	891,82x	17,79x	3.807,11x	5.617,70x	22,35x	64,99x	1.137,09x	110,82x	677,19x	11,429,20x	9,253,78x	136,39x	20,40x	11,55x	34,05x	26,61x	34,79x	11,32x	6,17x	11,21x	1,28x	6,16x	8,54x	515,41x	2.582,60x	33.914,75x							
#17	653,58x	0.57x	1.151,76x	0.06x	11.429,20x	0.10x	6.856,95x	14,38x	45,45x	10,49x	62,31x	13,66x	47,84x	0,76x	860,83x	0,52x	1.248,58x	0,25x	2.625,05x	0,25x	2.625,05x	15,879,37x	82,35x	295,57x	356,27x	3.925,24x	891,82x	17,79x	3.807,11x	5.617,70x	22,35x	64,99x	1.137,09x	110,82x	677,19x	11,429,20x	9,253,78x	136,39x	20,40x	11,55x	34,05x	26,61x	34,79x	11,32x	6,17x	11,21x	1,28x	6,16x	8,54x	515,41x	2.582,60x	33.914,75x							
#18	264,30x	0.50x	525,30x	0.03x	9.253,78x	0.07x	3.971,12x	6,88x	38,43x	8,01x	32,99x	12,08x	21,89x	0,76x	394,87x	0,25x	1.051,38x	0,25x	2.625,05x	0,25x	2.625,05x	15,879,37x	82,35x	295,57x	356,27x	3.925,24x	891,82x	17,79x	3.807,11x	5.617,70x	22,35x	64,99x	1.137,09x	110,82x	677,19x	11,429,20x	9,253,78x	136,39x	20,40x	11,55x	34,05x	26,61x	34,79x	11,32x	6,17x	11,21x	1,28x	6,16x	8,54x	515,41x	2.582,60x	33.914,75x							
#19	3,63x	0.28x	12,86x	0.06x	57,69x	0.03x	136,39x	10,78x	0,34x	7,47x	0,49x	7,45x	0,49x	0,60x	6,08x	0,33x	10,84x	0,22x	16,55x	0,22x	16,55x	15,879,37x	82,35x	295,57x	356,27x	3.925,24x	891,82x	17,79x	3.807,11x	5.617,70x	22,35x	64,99x	1.137,09x	110,82x	677,19x	11,429,20x	9,253,78x	136,39x	20,40x	11,55x	34,05x	26,61x	34,79x	11,32x	6,17x	11,21x	1,28x	6,16x	8,54x	515,41x	2.582,60x	33.914,75x							
#20	1,44x	0.32x	4,57x	0.07x	20,40x	0.09x	16,64x	1,21x	1,19x	2,65x	0,54x	3,05x	0,47x	0,30x	4,75x	0,16x	9,09x	0,10x	14,04x	0,10x	14,04x	15,879,37x	82,35x	295,57x	356,27x	3.925,24x	891,82x	17,79x	3.807,11x	5.617,70x	22,35x</																												

Primjerak problema	Egzaktno vrijeme	Približno vrijeme #1	Približno vrijeme #2	Približno vrijeme #3	Približno vrijeme #4	Najveće ubrzanje					
#1	136,83s	0,02s	8.263,18x	0,02s	6.649,98x	0,83s	164,05x	0,03s	4.201,97x	8.263,18x	
#2	8,11s	0,01s	613,87x	0,02s	388,43x	0,71s	11,42x	0,02s	355,98x	613,87x	
#3	0,15s	0,01s	10,27x	0,01s	29,55x	0,21s	0,73x	0,01s	13,81x	29,55x	
#4	0,17s	0,01s	15,60x	0,01s	29,90x	0,30s	0,56x	0,03s	6,03x	29,90x	
#5	1,36s	0,01s	95,50x	0,01s	103,51x	0,84s	1,62x	0,01s	108,52x	108,52x	
#6	11,30s	0,01s	1.149,93x	0,02s	523,11x	0,41s	27,42x	0,01s	1.415,17x	1.415,17x	
#7	0,37s	0,02s	18,61x	0,01s	33,79x	0,36s	1,03x	0,01s	42,59x	42,59x	
#8	9,27s	0,02s	415,64x	0,06s	145,21x	1,26s	7,38x	0,06s	161,40x	415,64x	
#9	0,37s	0,01s	32,28x	0,01s	47,14x	0,12s	3,10x	0,01s	53,72x	53,72x	
#10	70,04s	0,02s	3.442,83x	0,02s	4.302,00x	0,37s	187,30x	0,07s	990,74x	4.302,00x	
#11	0,64s	0,04s	14,32x	0,01s	65,30x	0,88s	0,73x	0,10s	6,44x	65,30x	
#12	0,37s	0,02s	20,62x	0,01s	38,44x	0,16s	2,35x	0,01s	41,86x	41,86x	
#13	0,29s	0,01s	43,40x	0,01s	39,99x	0,18s	1,61x	0,01s	26,69x	43,40x	
#14	9,10s	0,06s	156,70x	0,10s	92,58x	0,56s	16,30x	0,01s	786,24x	786,24x	
#15	1,95s	0,01s	178,70x	0,02s	85,79x	0,23s	8,55x	0,06s	32,65x	178,70x	
#16	43,75s	0,06s	743,44x	0,02s	2.380,49x	0,59s	74,42x	0,05s	972,01x	2.380,49x	
#17	380,62s	0,06s	6.796,17x	0,02s	18.455,73x	0,25s	1.493,48x	0,02s	17.933,56x	18.455,73x	
#18	52,91s	0,02s	2.297,83x	0,02s	2.525,86x	0,27s	199,64x	0,03s	1.726,97x	2.525,86x	
#19	0,59s	0,01s	44,94x	0,03s	20,65x	0,19s	3,16x	0,02s	25,45x	44,94x	
#20	0,71s	0,01s	49,25x	0,02s	37,51x	0,24s	2,99x	0,01s	51,67x	51,67x	
#21	0,28s	0,01s	22,01x	0,01s	29,20x	0,15s	1,89x	0,01s	20,92x	29,20x	
#22	0,17s	0,01s	12,23x	0,01s	15,32x	0,13s	1,28x	0,01s	12,99x	15,32x	
#23	1,49s	0,06s	23,13x	0,01s	101,24x	0,30s	4,91x	0,06s	25,47x	101,24x	
#24	0,45s	0,02s	27,17x	0,01s	37,73x	0,10s	4,49x	0,03s	13,78x	37,73x	
#25	1,28s	0,03s	36,66x	0,01s	124,07x	0,09s	15,05x	0,01s	113,46x	124,07x	
#26	0,18s	0,02s	8,29x	0,01s	15,68x	0,08s	2,21x	0,02s	11,31x	15,68x	
#27	0,18s	0,03s	5,74x	0,03s	6,06x	0,17s	1,06x	0,03s	6,26x	6,26x	
#28	0,23s	0,01s	16,12x	0,03s	7,23x	0,30s	0,78x	0,06s	3,67x	16,12x	
#29	0,15s	0,02s	8,45x	0,01s	10,41x	0,06s	2,47x	0,01s	14,50x	14,50x	
#30	0,12s	0,01s	10,92x	0,01s	10,20x	0,09s	1,27x	0,02s	6,05x	10,92x	
Prosječno ubrzanje			819,13x		1.211,74x		74,77x		972,73x	1.211,74x	18.455,73x

TABLICA 6.13. Ubrzanja algoritma lokalnog traženja za relativno robusnu varijantu.

Broj iteriranja nije definiran, a broj ponavljanja tekućeg rješenja u evolucijskom algoritmu je $SolutionRepetitions = 300$. Ukupno vrijeme izvršavanja izmjereno na prvom skupu od 30 malih primjeraka problema za 13 varijanti (meta)heuristika i za sve 3 robusne varijante je 42 minute i 50 sekundi.



SLIKA 6.1. Vrijeme izvršavanja (meta)heuristika.

Sljedeći skup primjeraka nije egzaktno rješiv CPLEX-om u navedenoj robusnoj varijanti za navedene brojeve vrhova:

Vrijednost toka F	Broj scenarija $ S $	Broj vrhova $ V $	Broj lukova $ A $	Gustoća mreže D_G	Širina slojeva Δ_G	Broj slojeva	Raspon vrijednosti u_{ij}, c_{ij}^s	Robusna varijanta $RMCF$
323	30	20	99	26,05%	9	2	0 - 99	D
644	15	26	168	25,85%	12	2	0 - 99	D, R
644	10	28	195	25,79%	13	2	0 - 99	D, R
686	10	26	168	25,85%	12	2	0 - 99	R

TABLICA 6.15. Skup primjeraka egzaktno nerješivih CPLEX-om u nekoj robusnoj varijanti.

Skup je zanimljiv jer prikazuje granične slučajeve za navedene brojeve scenarija. Npr., primjerak problema #1 s brojem vrhova $|V| = 18$ je egzaktno rješiv CPLEX-om u svakoj robusnoj varijanti, dok primjerak problema s jednakim brojem scenarija $|S| = 30$ te brojem vrhova $|V| = 20$ nije egzaktno rješiv CPLEX-om u devijantno robusnoj varijanti. Dakle, uvećanjem broja vrhova dobivamo primjerke problema koji nisu egzaktno rješivi CPLEX-om u nekoj robusnoj varijanti.

6.2. *Veliki primjerci robusnog problema toka minimalne cijene*

Velike primjerke robusnog problema toka minimalne cijene, kojima evaluiramo algoritam lokalnog traženja i evolucijski algoritam, identificiramo rednim brojevima #31, #32, ..., #60. Brojevi scenarija su 60, 30, 15, 10. Ako je broj scenarija jednak 60 ili 30, onda je veličina okoline ili populacije jednaka točno broju scenarija.

Primjerci se razlikuju po broju vrhova o kojem ovise širine slojeva te brojevi slojeva. Naprimjer, ako je broj vrhova 122, onda su širine slojeva netrivialni, manji od 10, djelitelji broja vrhova bez izvora i ponora

$$d(122 - 2) = d(120) = \{6, 4, 3, 2\},$$

a brojevi slojeva su redom kvocijenti broja vrhova i širine slojeva

$$\{120/6, 120/4, 120/3, 120/2\} = \{20, 30, 40, 60\}.$$

Primjerci se još razlikuju po broju lukova o kojem ovisi gustoća mreže. Naprimjer, ako je broj vrhova 122 i broj lukova 696, onda je gustoća mreže

$$\frac{696}{122(122 - 1)} = 4,71\%.$$

Raspon (nasumičnih) vrijednosti kapaciteta i jediničnih cijena lukova u primjercima problema s brojevima scenarija 60, 30, 15 je od 0 do 99, a s brojem scenarija 10 je od 0 do 9. Eksperimentalno je dokazano da manji raspon vrijednosti (od 0 do 9) znatno smanjuje protočnost mreže što utječe na mogućnost rješavanja robusnih problema toka.

Osnovna svojstva drugog skupa primjeraka relaksirano rješivih CPLEX-om u svakoj robusnoj varijanti sažeto su prikazana sljedećom tablicom:

Primjerak problema <i>RMCF</i>	Vrijednost toka <i>F</i>	Broj scenarija $ S $	Broj vrhova $ V $	Broj lukova $ A $	Gustoća mreže D_G	Širina slojeva Δ_G	Broj slojeva	Raspon vrijednosti u_{ij}, c_{ij}^s
#31	215	60	122	696	4,71%	6	20	0 - 99
#32	183			472	3,20%	4	30	
#33	96			357	2,42%	3	40	
#34	68			240	1,63%	2	60	
#35	35			2818	19,09%	∞	7	
#36	179	60	102	485	4,71%	5	20	0 - 99
#37	60			200	1,94%	2	50	
#38	115			2041	19,81%	∞	4	
#39	329	30	162	1232	4,72%	8	20	0 - 99
#40	85			632	2,42%	4	40	
#41	17			320	1,23%	2	80	
#42	321			4466	17,12%	∞	4	
#43	224	30	152	735	3,20%	5	30	0 - 99
#44	147			447	1,95%	3	50	
#45	161			4404	19,19%	∞	4	
#46	457	15	222	2321	4,73%	11	20	0 - 99
#47	26			440	0,90%	2	110	
#48	186			7174	14,62%	∞	5	
#49	145	15	212	1435	3,21%	7	30	0 - 99
#50	95			627	1,40%	3	70	
#51	274			5543	12,39%	∞	7	
#52	15	10	252	1235	1,95%	5	50	0 - 9
#53	53			14138	22,35%	∞	5	
#54	56	10	242	2760	4,73%	12	20	0 - 9
#55	41			1872	3,21%	8	30	
#56	35			1416	2,43%	6	40	
#57	26			952	1,63%	4	60	
#58	19			717	1,23%	3	80	
#59	6			480	0,82%	2	120	
#60	20			6680	11,45%	∞	5	

TABLICA 6.16. Drugi skup primjeraka relaksirano rješivih CPLEX-om u svakoj robusnoj varijanti.

Primjerci 6.4. Relativne greške izmjerene na drugom skupu od 30 velikih primjerala problema za 13 varijanti (meta)heuristika su prikazane u sljedećih šest tablica. Prve dvije tablice se odnose na apsolutno robusnu varijantu, sljedeće dvije tablice se odnose na devijantno robusnu varijantu, a zadnje dvije tablice se odnose na relativno robusnu varijantu. Prva, treća i peta tablica se odnose na 4 varijante algoritma lokalnog traženja, a druga, četvrta i šesta tablica se odnose na 9 varijanti evolucijskog algoritma.

Primjerak problema	Relaksirano rješenje	Približno rješenje #1		Približno rješenje #2		Približno rješenje #3		Približno rješenje #4		Najmanja relativna greška	
#31	211.168	255.898	21,18%	242.518	14,85%	240.908	14,08%	240.454	13,87%		13,87%
#32	269.898	313.372	16,11%	302.459	12,06%	299.095	10,82%	303.958	12,62%		10,82%
#33	192.326	216.742	12,70%	211.275	9,85%	211.275	9,85%	211.744	10,10%		9,85%
#34	211.414	237.005	12,10%	225.613	6,72%	223.398	5,67%	225.461	6,64%		5,67%
#35	13.731	19.128	39,31%	16.071	17,04%	15.854	15,46%	17.885	30,25%		15,46%
#36	179.401	213.175	18,83%	203.400	13,38%	202.304	12,77%	201.674	12,42%		12,42%
#37	155.463	168.647	8,48%	166.095	6,84%	165.149	6,23%	165.774	6,63%		6,23%
#38	29.104	36.393	25,04%	34.250	17,68%	34.250	17,68%	35.870	23,25%		17,68%
#39	303.919	367.740	21,00%	366.799	20,69%	359.450	18,27%	352.400	15,95%		15,95%
#40	157.960	188.273	19,19%	186.683	18,18%	184.454	16,77%	178.273	12,86%		12,86%
#41	66.113	74.756	13,07%	72.535	9,71%	72.079	9,02%	72.723	10,00%		9,02%
#42	68.149	90.147	32,28%	86.121	26,37%	84.803	24,44%	85.699	25,75%		24,44%
#43	315.410	370.578	17,49%	363.570	15,27%	362.612	14,97%	362.610	14,96%		14,96%
#44	356.849	403.568	13,09%	391.721	9,77%	391.721	9,77%	396.623	11,15%		9,77%
#45	36.179	47.543	31,41%	44.537	23,10%	44.276	22,38%	43.879	21,28%		21,28%
#46	382.518	488.175	27,62%	489.727	28,03%	485.711	26,98%	463.140	21,08%		21,08%
#47	131.974	153.967	16,66%	149.190	13,04%	146.461	10,98%	146.307	10,86%		10,86%
#48	44.809	64.529	44,01%	58.325	30,16%	58.325	30,16%	58.908	31,46%		30,16%
#49	179.904	242.539	34,82%	228.340	26,92%	228.340	26,92%	216.759	20,49%		20,49%
#50	305.734	360.202	17,82%	349.397	14,28%	348.467	13,98%	340.989	11,53%		11,53%
#51	89.713	119.511	33,21%	119.952	33,71%	116.781	30,17%	113.944	27,01%		27,01%
#52	3.126	4.034	29,05%	3.932	25,78%	3.903	24,86%	3.817	22,10%		22,10%
#53	1.240	1.647	32,82%	1.635	31,85%	1.604	29,35%	1.675	35,08%		29,35%
#54	4.495	6.069	35,02%	5.849	30,12%	5.849	30,12%	5.639	25,45%		25,45%
#55	5.086	6.638	30,52%	6.438	26,58%	6.419	26,21%	6.266	23,20%		23,20%
#56	6.024	7.419	23,16%	7.389	22,66%	7.349	22,00%	7.034	16,77%		16,77%
#57	7.047	8.285	17,57%	8.098	14,91%	8.098	14,91%	7.851	11,41%		11,41%
#58	7.121	7.933	11,40%	8.021	12,64%	7.835	10,03%	7.804	9,59%		9,59%
#59	3.349	3.690	10,18%	3.657	9,20%	3.656	9,17%	3.632	8,45%		8,45%
#60	472	630	33,47%	631	33,69%	608	28,81%	630	33,47%		28,81%
Prosječna relativna greška			23,29%		19,17%		18,09%		17,86%	17,86%	5,67%

TABLICA 6.17. Relativne greške algoritma lokalnog traženja za apsolutno robusnu varijantu.

Primjerak problema	Relaksirano rješenje	Približno rješenje #5	Približno rješenje #6	Približno rješenje #7	Približno rješenje #8	Približno rješenje #9	Približno rješenje #10	Približno rješenje #11	Približno rješenje #12	Približno rješenje #13	Najmanja relativna greška																																																																																																																																																																																																																																																																																																																																																																																																																																																																																																																																																																																																																																																																																																																																																																																																																																																																																																																																																																																																																																																																															
#31	211.168	241.595	14.41%	241.145	14.20%	237.478	12.46%	230.194	9.01%	231.573	9.66%	235.954	11.74%	236.544	12.02%	236.833	12.15%	237.833	12.45%	238.833	12.70%	240.833	13.45%	242.833	14.15%	244.833	14.85%	246.833	15.55%	248.833	16.25%	250.833	16.95%	252.833	17.65%	254.833	18.35%	256.833	19.05%	258.833	19.75%	260.833	20.45%	262.833	21.15%	264.833	21.85%	266.833	22.55%	268.833	23.25%	270.833	23.95%	272.833	24.65%	274.833	25.35%	276.833	26.05%	278.833	26.75%	280.833	27.45%	282.833	28.15%	284.833	28.85%	286.833	29.55%	288.833	30.25%	290.833	30.95%	292.833	31.65%	294.833	32.35%	296.833	33.05%	298.833	33.75%	300.833	34.45%	302.833	35.15%	304.833	35.85%	306.833	36.55%	308.833	37.25%	310.833	37.95%	312.833	38.65%	314.833	39.35%	316.833	40.05%	318.833	40.75%	320.833	41.45%	322.833	42.15%	324.833	42.85%	326.833	43.55%	328.833	44.25%	330.833	44.95%	332.833	45.65%	334.833	46.35%	336.833	47.05%	338.833	47.75%	340.833	48.45%	342.833	49.15%	344.833	49.85%	346.833	50.55%	348.833	51.25%	350.833	51.95%	352.833	52.65%	354.833	53.35%	356.833	54.05%	358.833	54.75%	360.833	55.45%	362.833	56.15%	364.833	56.85%	366.833	57.55%	368.833	58.25%	370.833	58.95%	372.833	59.65%	374.833	60.35%	376.833	61.05%	378.833	61.75%	380.833	62.45%	382.833	63.15%	384.833	63.85%	386.833	64.55%	388.833	65.25%	390.833	65.95%	392.833	66.65%	394.833	67.35%	396.833	68.05%	398.833	68.75%	400.833	69.45%	402.833	70.15%	404.833	70.85%	406.833	71.55%	408.833	72.25%	410.833	72.95%	412.833	73.65%	414.833	74.35%	416.833	75.05%	418.833	75.75%	420.833	76.45%	422.833	77.15%	424.833	77.85%	426.833	78.55%	428.833	79.25%	430.833	79.95%	432.833	80.65%	434.833	81.35%	436.833	82.05%	438.833	82.75%	440.833	83.45%	442.833	84.15%	444.833	84.85%	446.833	85.55%	448.833	86.25%	450.833	86.95%	452.833	87.65%	454.833	88.35%	456.833	89.05%	458.833	89.75%	460.833	90.45%	462.833	91.15%	464.833	91.85%	466.833	92.55%	468.833	93.25%	470.833	93.95%	472.833	94.65%	474.833	95.35%	476.833	96.05%	478.833	96.75%	480.833	97.45%	482.833	98.15%	484.833	98.85%	486.833	99.55%	488.833	100.25%	490.833	100.95%	492.833	101.65%	494.833	102.35%	496.833	103.05%	498.833	103.75%	500.833	104.45%	502.833	105.15%	504.833	105.85%	506.833	106.55%	508.833	107.25%	510.833	107.95%	512.833	108.65%	514.833	109.35%	516.833	110.05%	518.833	110.75%	520.833	111.45%	522.833	112.15%	524.833	112.85%	526.833	113.55%	528.833	114.25%	530.833	114.95%	532.833	115.65%	534.833	116.35%	536.833	117.05%	538.833	117.75%	540.833	118.45%	542.833	119.15%	544.833	119.85%	546.833	120.55%	548.833	121.25%	550.833	121.95%	552.833	122.65%	554.833	123.35%	556.833	124.05%	558.833	124.75%	560.833	125.45%	562.833	126.15%	564.833	126.85%	566.833	127.55%	568.833	128.25%	570.833	128.95%	572.833	129.65%	574.833	130.35%	576.833	131.05%	578.833	131.75%	580.833	132.45%	582.833	133.15%	584.833	133.85%	586.833	134.55%	588.833	135.25%	590.833	135.95%	592.833	136.65%	594.833	137.35%	596.833	138.05%	598.833	138.75%	600.833	139.45%	602.833	140.15%	604.833	140.85%	606.833	141.55%	608.833	142.25%	610.833	142.95%	612.833	143.65%	614.833	144.35%	616.833	145.05%	618.833	145.75%	620.833	146.45%	622.833	147.15%	624.833	147.85%	626.833	148.55%	628.833	149.25%	630.833	149.95%	632.833	150.65%	634.833	151.35%	636.833	152.05%	638.833	152.75%	640.833	153.45%	642.833	154.15%	644.833	154.85%	646.833	155.55%	648.833	156.25%	650.833	156.95%	652.833	157.65%	654.833	158.35%	656.833	159.05%	658.833	159.75%	660.833	160.45%	662.833	161.15%	664.833	161.85%	666.833	162.55%	668.833	163.25%	670.833	163.95%	672.833	164.65%	674.833	165.35%	676.833	166.05%	678.833	166.75%	680.833	167.45%	682.833	168.15%	684.833	168.85%	686.833	169.55%	688.833	170.25%	690.833	170.95%	692.833	171.65%	694.833	172.35%	696.833	173.05%	698.833	173.75%	700.833	174.45%	702.833	175.15%	704.833	175.85%	706.833	176.55%	708.833	177.25%	710.833	177.95%	712.833	178.65%	714.833	179.35%	716.833	180.05%	718.833	180.75%	720.833	181.45%	722.833	182.15%	724.833	182.85%	726.833	183.55%	728.833	184.25%	730.833	184.95%	732.833	185.65%	734.833	186.35%	736.833	187.05%	738.833	187.75%	740.833	188.45%	742.833	189.15%	744.833	189.85%	746.833	190.55%	748.833	191.25%	750.833	191.95%	752.833	192.65%	754.833	193.35%	756.833	194.05%	758.833	194.75%	760.833	195.45%	762.833	196.15%	764.833	196.85%	766.833	197.55%	768.833	198.25%	770.833	198.95%	772.833	199.65%	774.833	200.35%	776.833	201.05%	778.833	201.75%	780.833	202.45%	782.833	203.15%	784.833	203.85%	786.833	204.55%	788.833	205.25%	790.833	205.95%	792.833	206.65%	794.833	207.35%	796.833	208.05%	798.833	208.75%	800.833	209.45%	802.833	210.15%	804.833	210.85%	806.833	211.55%	808.833	212.25%	810.833	212.95%	812.833	213.65%	814.833	214.35%	816.833	215.05%	818.833	215.75%	820.833	216.45%	822.833	217.15%	824.833	217.85%	826.833	218.55%	828.833	219.25%	830.833	219.95%	832.833	220.65%	834.833	221.35%	836.833	222.05%	838.833	222.75%	840.833	223.45%	842.833	224.15%	844.833	224.85%	846.833	225.55%	848.833	226.25%	850.833	226.95%	852.833	227.65%	854.833	228.35%	856.833	229.05%	858.833	229.75%	860.833	230.45%	862.833	231.15%	864.833	231.85%	866.833	232.55%	868.833	233.25%	870.833	233.95%	872.833	234.65%	874.833	235.35%	876.833	236.05%	878.833	236.75%	880.833	237.45%	882.833	238.15%	884.833	238.85%	886.833	239.55%	888.833	240.25%	890.833	240.95%	892.833	241.65%	894.833	242.35%	896.833	243.05%	898.833	243.75%	900.833	244.45%	902.833	245.15%	904.833	245.85%	906.833	246.55%	908.833	247.25%	910.833	247.95%	912.833	248.65%	914.833	249.35%	916.833	250.05%	918.833	250.75%	920.833	251.45%	922.833	252.15%	924.833	252.85%	926.833	253.55%	928.833	254.25%	930.833	254.95%	932.833	255.65%	934.833	256.35%	936.833	257.05%	938.833	257.75%	940.833	258.45%	942.833	259.15%	944.833	259.85%	946.833	260.55%	948.833	261.25%	950.833	261.95%	952.833	262.65%	954.833	263.35%	956.833	264.05%	958.833	264.75%	960.833	265.45%	962.833	266.15%	964.833	266.85%	966.833	267.55%	968.833	268.25%	970.833	268.95%	972.833	269.65%	974.833	270.35%	976.833	271.05%	978.833	271.75%	980.833	272.45%	982.833	273.15%	984.833	273.85%	986.833	274.55%	988.833	275.25%	990.833	275.95%	992.833	276.65%	994.833	277.35%	996.833	278.05%	998.833	278.75%	1000.833	279.45%	1002.833	280.15%	1004.833	280.85%	1006.833	281.55%	1008.833	282.25%	1010.833	282.95%	1012.833	283.65%	1014.833	284.35%	1016.833	285.05%	1018.833	285.75%	1020.833	286.45%	1022.833	287.15%	1024.833	287.85%	1026.833	288.55%	1028.833	289.25%	1030.833	289.95%	1032.833	290.65%	1034.833	291.35%	1036.833	292.05%	1038.833	292.75%	1040.833	293.45%	1042.833	294.15%	1044.833	294.85%	1046.833	295.55%	1048.833	296.25%	1050.833	296.95%	1052.833	297.65%	1054.833	298.35%	1056.833	299.05%	1058.833	299.75%	1060.833	300.45%	1062.833	301.15%	1064.833	301.85%	1066.833	302.55%	1068.833	303.25%	1070.833	303.95%	1072.833	304.65%	1074.833	305.35%	1076.833	306.05%	1078.833	306.75%	1080.833	307.45%	1082.833	308.15%	1084.833	308.85%	1086.833	309.55%	1088.833	310.25%	1090.833	310.95%	1092.833	311.65%	1094.833	312.35%	1096.833	313.05%	1098.833	313.75%	1100.833	314.45%	1102.833	315.15%	1104.833	315.85%	1106.833	316.55%	1108.833	317.25%	1110.833	317.95%	1112.833	318.65%	1114.833	319.35%	1116.833	320.05%	1118.833	320.75%	1120.833	321.45%	1122.833	322.15%	1124.833	322.85%	1126.833	323.55%	1128.833	324.25%	1130.833	324.95%	1132.833	325.65%	1134.833	326.35%	1136.833	327.05%	1138.833	327.75%	1140.833	328.45%	1142.833	329.15%	1144.833	329.85%	1146.833	330.55%	1148.833	331.25%	1150.833	331.95%	1152.833	332.65%	1154.833	333.35%	1156.833	334.05%	1158.833	334.75%	1160.833	335.45%	1162.833	336.15%	1164.833	336.85%	1166.833	337.55%	1168.833	338.25%	1170.833	338.95%	1172.833	339.65%	1174.833	340.35%	1176.833	341.05%	1178.833	341.75%	1180.833	342.45%	1182.833	343.15%	1184.833	343.85%	1186.833	344.55%	1188.833	345.25%	1190.833	345.95%	1192.833	346.65%	1194.833	347.35%	1196.833	348.05%	1198.833	348.75%	1200.833	349.45%	1202.833	350.15%	1204.833	350.85%	1206.833	351.55%	1208.833	352.25%	1210.833	352.95%	1212.833	353.65%	1214.833	354.35%	1216.833	355.05%	1218.833	355.75%	1220.833	356.45%	1222.833	357.15%	1224.833	357.85%	1226.833	358.55%	1228.833	359.25%	1230.833	359.95%	1232.833	360.65%	1234.833	361.35%	1236.833	362.05%	1238.833	362.75%	1240.833	363.45%	1242.833	364.15%	1244.833	364.85%	1246.833	365.55%	1248.833	366.25%	1250.833	366.95%	1252.833	367.65%	1254.833	368.35%	1256.833	369.05%	1258.833	369.75%	1260.833	370.45%	1262.833	371.15%	1264.833	371.85%	1266.833	372.55%	1268.83

Primjerak problema	Relaksirano rješenje	Približno rješenje #1		Približno rješenje #2		Približno rješenje #3		Približno rješenje #4		Najmanja relativna greška	
#31	124.757	165.591	32,73%	154.412	23,77%	154.412	23,77%	145.870	16,92%		16,92%
#32	124.111	162.883	31,24%	154.880	24,79%	151.776	22,29%	144.548	16,47%		16,47%
#33	77.019	104.193	35,28%	96.141	24,83%	96.141	24,83%	91.640	18,98%		18,98%
#34	44.238	58.993	33,35%	56.431	27,56%	56.144	26,91%	51.809	17,11%		17,11%
#35	7.890	12.222	54,90%	10.968	39,01%	10.843	37,43%	12.252	55,29%		37,43%
#36	97.799	126.100	28,94%	122.057	24,80%	119.961	22,66%	114.747	17,33%		17,33%
#37	36.134	49.593	37,25%	47.581	31,68%	46.965	29,97%	43.574	20,59%		20,59%
#38	17.345	24.502	41,26%	23.649	36,34%	22.864	31,82%	23.392	34,86%		31,82%
#39	188.185	254.273	35,12%	246.052	30,75%	241.053	28,09%	233.332	23,99%		23,99%
#40	84.470	117.119	38,65%	110.296	30,57%	110.296	30,57%	104.860	24,14%		24,14%
#41	22.482	31.003	37,90%	29.460	31,04%	28.471	26,64%	27.608	22,80%		22,80%
#42	45.780	66.017	44,20%	62.918	37,44%	60.530	32,22%	60.000	31,06%		31,06%
#43	162.339	215.984	33,05%	210.237	29,50%	209.812	29,24%	202.335	24,64%		24,64%
#44	111.649	150.179	34,51%	148.828	33,30%	147.403	32,02%	142.848	27,94%		27,94%
#45	22.391	34.884	55,79%	29.922	33,63%	29.922	33,63%	28.660	28,00%		28,00%
#46	256.974	367.811	43,13%	359.432	39,87%	359.432	39,87%	338.274	31,64%		31,64%
#47	39.183	57.430	46,57%	53.161	35,67%	53.161	35,67%	50.863	29,81%		29,81%
#48	27.453	48.359	76,15%	44.079	60,56%	41.501	51,17%	40.235	46,56%		46,56%
#49	118.647	184.865	55,81%	167.570	41,23%	167.570	41,23%	156.450	31,86%		31,86%
#50	113.349	162.427	43,30%	159.266	40,51%	159.266	40,51%	144.339	27,34%		27,34%
#51	51.159	80.106	56,58%	79.083	54,58%	78.184	52,83%	71.163	39,10%		39,10%
#52	1.516	2.458	62,14%	2.272	49,87%	2.272	49,87%	2.209	45,71%		45,71%
#53	557	988	77,38%	936	68,04%	900	61,58%	1.036	86,00%		61,58%
#54	2.539	4.117	62,15%	3.892	53,29%	3.892	53,29%	3.682	45,02%		45,02%
#55	2.568	4.167	62,27%	3.882	51,17%	3.882	51,17%	3.675	43,11%		43,11%
#56	2.732	4.105	50,26%	4.062	48,68%	4.039	47,84%	3.770	37,99%		37,99%
#57	2.228	3.469	55,70%	3.333	49,60%	3.333	49,60%	3.077	38,11%		38,11%
#58	1.602	2.508	56,55%	2.390	49,19%	2.246	40,20%	2.212	38,08%		38,08%
#59	652	992	52,15%	973	49,23%	956	46,63%	882	35,28%		35,28%
#60	236	408	72,88%	399	69,07%	395	67,37%	402	70,34%		67,37%
Prosječna relativna greška			48,24%		40,65%		38,70%		34,20%	34,20%	16,47%

TABLICA 6.19. Relativne greške algoritma lokalnog traženja za devijantno robusnu varijantu.

Primjerak problema	Relaksirano rješenje	Približno rješenje #5	Približno rješenje #6	Približno rješenje #7	Približno rješenje #8	Približno rješenje #9	Približno rješenje #10	Približno rješenje #11	Približno rješenje #12	Približno rješenje #13	Najmanja relativna greška					
#31	124.757	156.469	25.42%	155.232	24.43%	154.850	24.12%	145.866	16.92%	144.937	15.77%	148.142	18.74%	147.888	18.54%	15.77%
#32	124.111	152.505	22.88%	150.418	21.20%	153.057	23.32%	143.935	15.97%	142.777	15.03%	146.152	17.76%	147.486	18.83%	15.03%
#33	77.019	95.296	23.73%	98.004	27.25%	98.074	27.34%	89.107	15.69%	88.902	15.43%	92.130	19.62%	91.444	18.73%	15.43%
#34	44.238	54.564	23.34%	54.885	24.07%	53.612	21.19%	49.593	12.10%	49.921	12.85%	50.603	14.39%	52.032	17.62%	12.10%
#35	7.890	10.443	32.36%	10.413	31.98%	10.211	29.42%	9.643	22.22%	9.584	21.47%	9.626	22.00%	9.554	21.09%	18.31%
#36	97.799	121.258	23.99%	121.258	23.99%	121.765	24.51%	110.485	12.97%	111.308	13.81%	114.928	17.51%	115.532	17.92%	12.97%
#37	36.134	46.593	28.95%	45.223	25.15%	47.392	31.16%	41.777	15.62%	41.793	15.66%	42.825	18.52%	42.483	17.57%	15.62%
#38	17.345	22.337	28.78%	21.894	26.23%	22.086	27.33%	19.923	14.86%	19.660	13.35%	20.986	20.99%	21.013	21.15%	13.35%
#39	188.185	243.360	29.32%	245.295	30.35%	246.080	30.76%	226.727	20.48%	228.109	21.22%	231.002	22.75%	235.150	24.96%	20.48%
#40	84.470	104.123	23.27%	104.835	24.11%	106.991	26.66%	102.123	20.90%	101.840	20.56%	105.244	24.59%	106.231	25.76%	20.56%
#41	22.482	29.053	29.23%	29.394	30.74%	28.075	24.88%	27.678	23.11%	27.129	20.67%	27.465	22.16%	28.314	25.94%	20.67%
#42	45.780	61.792	34.98%	62.973	37.56%	60.919	33.07%	56.047	22.43%	57.365	25.31%	56.727	23.91%	60.454	32.05%	22.43%
#43	162.339	211.923	30.54%	207.464	27.80%	208.849	28.65%	199.222	22.72%	195.845	20.64%	199.034	22.60%	203.164	25.15%	20.64%
#44	111.649	142.731	27.84%	146.587	31.29%	140.256	25.62%	135.249	21.14%	138.366	23.93%	138.171	23.75%	143.102	28.17%	21.14%
#45	22.391	28.610	27.77%	28.729	28.31%	28.390	26.99%	26.776	19.58%	26.855	19.94%	27.080	20.94%	28.374	26.72%	19.58%
#46	256.974	356.651	38.79%	357.591	39.15%	356.660	38.79%	334.313	30.10%	336.464	30.93%	332.820	29.52%	350.009	36.20%	29.52%
#47	39.183	53.088	35.49%	52.782	34.71%	53.324	36.09%	50.535	28.97%	50.196	28.11%	49.492	26.31%	51.760	32.10%	26.31%
#48	27.453	38.535	40.37%	42.162	53.58%	41.120	49.78%	35.115	27.91%	36.928	34.51%	35.197	28.21%	39.636	44.38%	27.91%
#49	118.647	166.778	40.57%	164.840	38.93%	168.431	41.96%	154.170	29.94%	155.334	30.13%	160.447	35.23%	164.387	38.55%	29.94%
#50	113.349	157.686	39.12%	155.702	37.37%	153.985	35.85%	140.648	24.08%	143.325	26.45%	149.403	31.81%	153.075	35.00%	24.08%
#51	51.159	76.310	49.16%	74.676	45.97%	79.211	54.83%	65.221	27.49%	66.989	30.94%	66.009	29.03%	71.972	40.68%	27.49%
#52	1.516	2.242	47.89%	2.263	49.27%	2.237	47.56%	2.220	46.44%	2.196	44.85%	2.278	50.26%	2.213	45.98%	44.79%
#53	557	874	56.91%	850	52.60%	847	52.06%	833	49.55%	826	48.29%	850	52.60%	864	55.12%	48.29%
#54	2.539	3.892	53.29%	3.848	51.56%	3.899	53.56%	3.840	51.24%	3.830	50.85%	3.805	49.86%	3.892	53.29%	49.86%
#55	2.568	3.875	50.90%	3.720	44.86%	3.796	47.82%	3.852	50.00%	3.857	50.19%	3.873	50.82%	3.882	51.17%	44.86%
#56	2.732	4.015	46.96%	4.023	47.25%	3.989	46.01%	3.962	45.02%	3.929	43.81%	3.947	44.47%	3.909	43.08%	42.61%
#57	2.228	3.288	47.58%	3.190	43.18%	3.292	47.76%	3.217	44.39%	3.227	44.84%	3.285	47.44%	3.198	43.54%	42.55%
#58	1.602	2.242	39.95%	2.347	46.50%	2.324	45.07%	2.246	40.20%	2.387	49.00%	2.385	48.88%	2.246	40.20%	39.95%
#59	652	941	44.33%	942	44.48%	954	46.32%	926	42.02%	926	42.02%	897	37.58%	895	37.27%	37.27%
#60	236	384	62.71%	370	56.78%	385	63.14%	304	28.81%	342	44.92%	358	51.69%	388	64.41%	28.81%
Prosječna relativna greška			36.88%		36.69%		37.05%		28.10%		28.93%		29.46%		33.40%	28.10%

TABLICA 6.20. Relativne greške evolucijskog algoritma za devijantno robusnu varijantu.

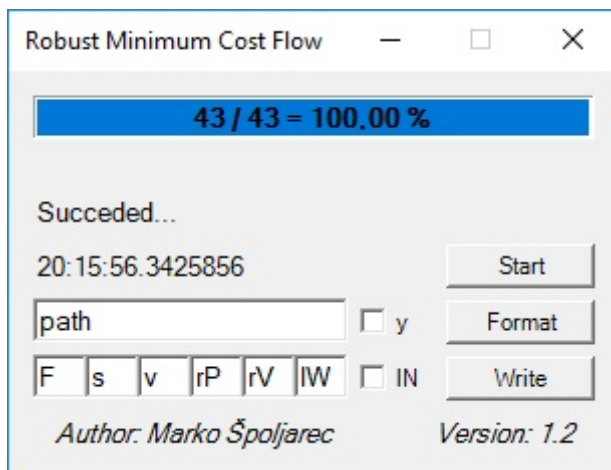
Primjerak problema	Relaksirano rješenje	Približno rješenje #1		Približno rješenje #2		Približno rješenje #3		Približno rješenje #4		Najmanja relativna greška	
#31	1,525998	2,101737	37,73%	2,017277	32,19%	2,003329	31,28%	2,022155	32,51%		31,28%
#32	0,889592	1,227347	37,97%	1,150849	29,37%	1,150849	29,37%	1,145189	28,73%		28,73%
#33	0,690840	0,949513	37,44%	0,891823	29,09%	0,881132	27,54%	0,881689	27,63%		27,54%
#34	0,279421	0,361980	29,55%	0,344513	23,30%	0,344513	23,30%	0,340787	21,96%		21,96%
#35	2,231099	3,736570	67,48%	2,957977	32,58%	2,934447	31,52%	3,518580	57,71%		31,52%
#36	1,258171	1,659985	31,94%	1,647966	30,98%	1,647966	30,98%	1,670422	32,77%		30,98%
#37	0,316371	0,462094	46,06%	0,428641	35,49%	0,417537	31,98%	0,396791	25,42%		25,42%
#38	2,174546	4,237969	94,89%	3,020934	38,92%	3,020934	38,92%	3,719373	71,04%		38,92%
#39	1,650832	2,326413	40,92%	2,240293	35,71%	2,215172	34,19%	2,220008	34,48%		34,19%
#40	1,188764	1,671309	40,59%	1,642967	38,21%	1,599793	34,58%	1,623001	36,53%		34,58%
#41	0,529813	0,785328	48,23%	0,701479	32,40%	0,698281	31,80%	0,710749	34,15%		31,80%
#42	2,270269	3,735630	64,55%	3,560396	56,83%	3,560396	56,83%	3,788594	66,88%		56,83%
#43	1,090206	1,436810	31,79%	1,473369	35,15%	1,441303	32,20%	1,444972	32,54%		31,79%
#44	0,465740	0,627398	34,71%	0,641462	37,73%	0,625739	34,35%	0,637385	36,85%		34,35%
#45	2,002704	3,489971	74,26%	3,127026	56,14%	2,953835	47,49%	3,047669	52,18%		47,49%
#46	2,068530	3,259608	57,58%	3,127751	51,21%	2,948534	42,54%	2,897802	40,09%		40,09%
#47	0,429907	0,604819	40,69%	0,603582	40,40%	0,603582	40,40%	0,589921	37,22%		37,22%
#48	1,727788	3,467289	100,68%	2,996324	73,42%	2,802253	62,19%	3,033560	75,57%		62,19%
#49	1,947047	3,008136	54,50%	2,783500	42,96%	2,783500	42,96%	2,706372	39,00%		39,00%
#50	0,595654	0,876928	47,22%	0,853500	43,29%	0,837127	40,54%	0,791146	32,82%		32,82%
#51	1,408945	2,529818	79,55%	2,282730	62,02%	2,278400	61,71%	2,376839	68,70%		61,71%
#52	0,943993	1,554462	64,67%	1,411417	49,52%	1,407748	49,13%	1,395013	47,78%		47,78%
#53	0,822096	1,520216	84,92%	1,361111	65,57%	1,278970	55,57%	1,506803	83,29%		55,57%
#54	1,299075	2,104037	61,96%	2,040505	57,07%	2,018593	55,39%	1,893340	45,75%		45,75%
#55	1,022651	1,651540	61,50%	1,580846	54,58%	1,580846	54,58%	1,500405	46,72%		46,72%
#56	0,834524	1,345675	61,25%	1,247500	49,49%	1,239916	48,58%	1,195097	43,21%		43,21%
#57	0,462852	0,726125	56,88%	0,680303	46,98%	0,680303	46,98%	0,651128	40,68%		40,68%
#58	0,292030	0,463001	58,55%	0,429923	47,22%	0,429923	47,22%	0,417097	42,83%		42,83%
#59	0,242506	0,358900	48,00%	0,362855	49,63%	0,359052	48,06%	0,330680	36,36%		36,36%
#60	1,028618	2,050562	99,35%	1,759434	71,05%	1,759434	71,05%	1,896226	84,35%		71,05%
Prosječna relativna greška			56,51%		44,95%		42,77%		45,19%	42,77%	21,96%

TABLICA 6.21. Relativne greške algoritma lokalnog traženja za relativno robusnu varijantu.

Primjerci problema	Relaksirano rješenje	Približno rješenje #5	Približno rješenje #6	Približno rješenje #7	Približno rješenje #8	Približno rješenje #9	Približno rješenje #10	Približno rješenje #11	Približno rješenje #12	Približno rješenje #13	Najmanja relativna greška						
#31	1.525998	2.018731	32.29%	1.999608	31.04%	2.023708	32.62%	1.860129	21.90%	1.919301	25.77%	1.957201	28.26%	1.947918	27.65%	19.17%	
#32	0.889592	1.144557	28.66%	1.154359	29.78%	1.149584	29.23%	1.078585	21.24%	1.127331	26.72%	1.134707	27.55%	1.126571	26.64%	18.27%	
#33	0.690840	0.892474	29.19%	0.891198	29.00%	0.865280	25.25%	0.808968	17.10%	0.843954	22.16%	0.863255	24.96%	0.868038	25.65%	17.10%	
#34	0.279421	0.324931	16.29%	0.328029	17.40%	0.351584	25.83%	0.321337	15.00%	0.320197	14.59%	0.324859	16.26%	0.322849	15.54%	14.19%	
#35	2.231099	2.915953	30.70%	2.988835	33.96%	3.018677	35.30%	2.879316	29.05%	2.830280	26.86%	2.972364	33.22%	3.008711	34.85%	26.86%	
#36	1.58171	1.562716	24.21%	1.565060	24.39%	1.598958	27.09%	1.488024	18.27%	1.522401	21.00%	1.522978	21.05%	1.619407	28.69%	18.27%	
#37	0.316371	0.418024	32.13%	0.401312	26.85%	0.405420	28.15%	0.376245	18.93%	0.382011	20.75%	0.384064	21.40%	0.372524	17.75%	17.75%	
#38	2.174546	3.062250	40.82%	3.105862	42.83%	3.093735	35.07%	2.681862	23.33%	2.741610	26.08%	2.832784	30.27%	3.123871	43.66%	23.33%	
#39	1.650832	2.159979	30.84%	2.204317	33.53%	2.217641	34.33%	2.106113	27.58%	2.101827	27.32%	2.093856	26.84%	2.183801	32.28%	26.84%	
#40	1.188764	1.635882	37.61%	1.563458	31.52%	1.599725	34.53%	1.496504	25.89%	1.557528	31.02%	1.564011	31.57%	1.641623	35.54%	25.89%	
#41	0.529813	0.695568	31.29%	0.671362	26.72%	0.694003	30.99%	0.671544	26.75%	0.669614	26.39%	0.664523	25.43%	0.705504	33.16%	25.43%	
#42	2.270269	3.555762	56.62%	3.477512	53.18%	3.533657	55.65%	3.034062	33.64%	3.377244	48.76%	3.286691	44.77%	3.587992	58.04%	33.64%	
#43	1.090206	1.445205	32.56%	1.480461	35.80%	1.488088	36.50%	1.354913	24.28%	1.344519	23.33%	1.337857	22.72%	1.422857	30.51%	22.72%	
#44	0.465740	0.648116	39.16%	0.637578	36.90%	0.622024	33.56%	0.590232	26.73%	0.576148	23.71%	0.570907	22.58%	0.623678	34.58%	22.58%	
#45	2.002704	3.014587	50.53%	2.831325	41.38%	2.911765	45.39%	2.365431	18.11%	2.533920	26.52%	2.538045	26.73%	2.994009	49.50%	18.11%	
#46	2.068530	2.941053	42.18%	3.082026	49.00%	3.079044	48.85%	2.888500	39.64%	2.857063	34.37%	2.779528	34.37%	2.932816	41.78%	34.37%	
#47	0.429907	0.603582	40.40%	0.587317	36.61%	0.600139	39.60%	0.574714	33.68%	0.573754	33.46%	0.565264	31.49%	0.594083	38.19%	33.46%	
#48	1.727788	2.577223	49.16%	3.027338	75.21%	3.076640	78.07%	2.791773	31.91%	2.393493	38.53%	2.467285	42.80%	2.572838	48.91%	31.91%	
#49	1.947047	2.778411	42.70%	2.759840	41.74%	2.759671	41.74%	2.452029	25.94%	2.540391	30.47%	2.604239	33.75%	2.725205	39.97%	25.94%	
#50	0.595654	0.830739	39.47%	0.831588	39.61%	0.843879	41.67%	0.760470	27.67%	0.772000	29.61%	0.775119	30.13%	0.796432	33.71%	27.67%	
#51	1.408945	2.227018	58.06%	2.246246	59.43%	2.199773	56.13%	1.819141	29.11%	1.993347	41.48%	1.890832	34.20%	2.123305	50.70%	29.11%	
#52	0.943993	1.393045	47.57%	1.397428	48.03%	1.393643	47.63%	1.399501	48.25%	1.380894	46.28%	1.421348	50.57%	1.378857	46.07%	43.84%	
#53	0.822096	1.191280	44.91%	1.285088	56.32%	1.282171	55.96%	1.232558	49.93%	1.231008	49.74%	1.280627	55.78%	1.261603	53.46%	44.91%	
#54	1.299075	2.018593	55.39%	2.053070	58.04%	2.010406	54.76%	1.962814	51.09%	1.954969	50.49%	1.982641	52.62%	1.970343	51.67%	49.66%	
#55	1.022651	1.577529	54.26%	1.487895	45.49%	1.486224	45.33%	1.568801	53.33%	1.550648	51.63%	1.538557	50.45%	1.561523	52.69%	45.33%	
#56	0.834524	1.230057	47.40%	1.244697	49.15%	1.239687	48.55%	1.217260	45.86%	1.267293	51.86%	1.247355	49.47%	1.209085	44.88%	44.88%	
#57	0.462852	0.677235	46.32%	0.665985	43.89%	0.668946	44.53%	0.673645	45.54%	0.673645	45.54%	0.658905	42.36%	0.670711	44.91%	42.36%	
#58	0.292030	0.428683	46.79%	0.429654	47.13%	0.426659	46.10%	0.429923	47.22%	0.432014	47.93%	0.430484	47.41%	0.429923	47.22%	43.67%	
#59	0.242506	0.338659	39.65%	0.350368	44.48%	0.358371	47.78%	0.326958	34.82%	0.333333	37.45%	0.335152	38.20%	0.339049	39.81%	34.82%	
#60	1.028618	1.674528	62.79%	1.782609	73.30%	1.788462	73.87%	1.467533	42.67%	1.549784	50.67%	1.558442	51.51%	1.628019	58.27%	42.67%	
Prosječna relativna greška			41.00%		42.06%		42.67%		31.64%		34.11%		39.52%		41.05%	31.64%	14.19%

TABLICA 6.22. Relativne greške evolucijskog algoritma za relativno robusnu varijantu.

Broj iteriranja nije definiran, a broj ponavljanja tekućeg rješenja u evolucijskom algoritmu je $SolutionRepetitions = 300$. Ukupno vrijeme izvršavanja izmjereno na drugom skupu od 30 velikih primjeraka problema za 13 varijanti (meta)heuristika i za sve 3 robusne varijante je 20 sati, 15 minuta i 56 sekunde.



SLIKA 6.2. Vrijeme izvršavanja (meta)heuristika.

Prethodni skup primjeraka je egzaktno nerješiv CPLEX-om u svakoj robusnoj varijanti. Sljedeći skup primjeraka je egzaktno rješiv CPLEX-om u navedenoj robusnoj varijanti za navedene raspone vrijednosti:

Vrijednost toka F	Broj scenarija $ S $	Broj vrhova $ V $	Broj lukova $ A $	Gustoća mreže D_G	Širina slojeva Δ_G	Broj slojeva	Raspon vrijednosti u_{ij}, c_{ij}^s	Robusna varijanta $RMCF$
181	10	252	1235	1,95%	5	50	0 - 99	A
88			10574	16,72%	∞	7		R
467			2760	4,73%	12	20		A
333			1872	3,21%	8	30		A, D, R
204			1416	2,43%	6	40		A
126	10	242	952	1,63%	4	60	0 - 99	A
110			717	1,23%	3	80		A
55			480	0,82%	2	120		A, D
31			7154	12,27%	∞	7		A, R

TABLICA 6.23. Skup primjeraka egzaktno rješivih CPLEX-om u nekoj robusnoj varijanti.

Skup je zanimljiv jer prikazuje granične slučajeve za navedene brojeve scenarija i vrhova. Npr., primjerak problema #52 s rasponom vrijednosti 0 – 9 je egzaktno nerješiv CPLEX-om u svakoj robusnoj varijanti, dok primjerak problema s jednakim brojem scenarija $|S| = 10$ i vrhova $|V| = 252$ te rasponom vrijednosti 0 – 99 je egzaktno rješiv CPLEX-om u apsolutno robusnoj varijanti. Dakle, smanjenjem raspona vrijednosti kapaciteta i jediničnih cijena lukova, tj. smanjenjem protočnosti mreže, dobivamo primjerke problema koji su egzaktno nerješivi CPLEX-om u svakoj robusnoj varijanti.

6.3. Primjerak poopćenog robusnog problema toka minimalne cijene

Primjerak (poopćenog) robusnog problema toka minimalne cijene kojim evaluiramo (meta)heuristike za rješavanje (poopćenog) robusnog problema toka minimalne cijene, identificiramo rednim brojem (#61) #62. Poopćeni primjerak #61 i primjerak #62 su identični po svim vrijednostima varijabli, imaju jednake inicijalne tokove, ali različita optimalna rješenja - početnu populaciju poopćenog primjerka inicijaliziramo ovisno o optimalnim tokovima običnog primjerka s minimalnim kapacitetima u svim scenarijima, ali tako da koristimo optimalna rješenja poopćenog primjerka.

Raspon (nasumičnih) vrijednosti kapaciteta i jediničnih cijena lukova u oba primjerka problema je od 0 do 99.

Osnovna svojstva (poopćenog) primjerka egzaktno rješivog CPLEX-om u svakoj robusnoj varijanti sažeto su prikazana sljedećom tablicom:

Primjerak problema (G)RMCF	Vrijednost toka F	Broj scenarija $ S $	Broj vrhova $ V $	Broj lukova $ A $	Gustoća mreže D_G	Širina slojeva Δ_G	Broj slojeva	Raspon vrijednosti u_{ij}, c_{ij}^s
#61 #62	20	30	18	80	26,14%	8	2	0 - 99

TABLICA 6.24. Primjerak problema GRMCF (#61) i RMCF (#62) egzaktno rješivog CPLEX-om u svakoj robusnoj varijanti.

Primjerak 6.5. *Relativne greške izmjerene na oba primjerka problema za 13 varijanti (meta)heuristika su prikazane u sljedeće tri tablice. Prva tablica se odnosi na 4 varijante algoritma lokalnog traženja, a druga i treća tablica se odnose na 9 varijanti evolucijskog algoritma.*

Robusna varijanta	Primjerak problema	Egzaktno rješenje	Približno rješenje #1		Približno rješenje #2		Približno rješenje #3		Približno rješenje #4		Najmanja relativna greška	
A	#61	3.274	3.532	7,88%	3.504	7,03%	3.369	2,90%	3.504	7,03%		2,90%
D		2.429	2.638	8,60%	2.658	9,43%	2.514	3,50%	2.684	10,50%		3,50%
R		15,800000	15,800000	0,00%	15,800000	0,00%	15,800000	0,00%	15,800000	0,00%		0,00%
A	#62	3.274	3.532	7,88%	3.504	7,03%	3.369	2,90%	3.504	7,03%		2,90%
D		827	1.135	37,24%	1.026	24,06%	997	20,56%	977	18,14%		18,14%
R		0,389090	0,515017	32,36%	0,476584	22,49%	0,445701	14,55%	0,532875	36,95%		14,55%
A	Prosječna relativna greška			7,88%		7,03%		2,90%		7,03%	2,90%	2,90%
D				22,92%		16,75%		12,03%		14,32%	12,03%	3,50%
R				16,18%		11,24%		7,27%		18,48%	7,27%	0,00%

TABLICA 6.25. Relativne greške algoritma lokalnog traženja.

Robusna varijanta	Primjerak problema	Egzaktno rješenje	Približno rješenje #5		Približno rješenje #6		Približno rješenje #7		Približno rješenje #8		Približno rješenje #9	
A	#61	3.274	3.317	1,31%	3.478	6,23%	3.486	6,48%	3.339	1,99%	3.368	2,87%
D		2.429	2.528	4,08%	2.541	4,61%	2.564	5,56%	2.498	2,84%	2.647	8,97%
R		15,800000	15,800000	0,00%	15,800000	0,00%	15,800000	0,00%	15,800000	0,00%	15,800000	0,00%
A	#62	3.274	3.478	6,23%	3.454	5,50%	3.435	4,92%	3.387	3,45%	3.402	3,91%
D		827	1.001	21,04%	955	15,48%	1.010	22,13%	944	14,15%	953	15,24%
R		0,389090	0,451009	15,91%	0,460364	18,32%	0,473945	21,81%	0,435262	11,87%	0,474382	21,92%
A	Prosječna relativna greška			3,77%		5,86%		5,70%		2,72%		3,39%
D				12,56%		10,04%		13,84%		8,49%		12,11%
R				7,96%		9,16%		10,90%		5,93%		10,96%

Robusna varijanta	Primjerak problema	Egzaktno rješenje	Približno rješenje #10		Približno rješenje #11		Približno rješenje #12		Približno rješenje #13		Najmanja relativna greška	
A	#61	3.274	3.393	3,63%	3.389	3,51%	3.450	5,38%	3.355	2,47%		1,31%
D		2.429	2.547	4,86%	2.633	8,40%	2.671	9,96%	2.671	9,96%		2,84%
R		15,800000	15,800000	0,00%	15,800000	0,00%	15,800000	0,00%	15,800000	0,00%		0,00%
A	#62	3.274	3.334	1,83%	3.464	5,80%	3.458	5,62%	3.375	3,08%		1,83%
D		827	920	11,25%	962	16,32%	1.000	20,92%	1.045	26,36%		11,25%
R		0,389090	0,442177	13,64%	0,458710	17,89%	0,448529	15,28%	0,478283	22,92%		11,87%
A	Prosječna relativna greška			2,73%		4,66%		5,50%		2,78%	2,72%	1,31%
D				8,05%		12,36%		15,44%		18,16%	8,05%	2,84%
R				6,82%		8,95%		7,64%		11,46%	5,93%	0,00%

TABLICA 6.26. Relativne greške evolucijskog algoritma.

Najmanje relativne greške očito idu u korist poopćenog primjerka #61.

Ubrzanja izmjerena na oba primjerka problema za 13 varijanti (meta)heuristika su prikazane u sljedeće tri tablice. Prva tablica se odnosi na 4 varijante algoritma lokalnog traženja, a druga i treća tablica se odnose na 9 varijanti evolucijskog algoritma.

Robusna varijanta	Primjerak problema	Egzaktno vrijeme	Približno vrijeme #1		Približno vrijeme #2		Približno vrijeme #3		Približno vrijeme #4		Najveće ubrzanje	
A	#61	0,29s	0,04s	6,72x	0,01s	21,44x	0,65s	0,45x	0,03s	9,44x		21,44x
D		0,31s	0,09s	3,59x	0,01s	27,03x	1,31s	0,24x	0,07s	4,39x		27,03x
R		0,14s	0,15s	0,93x	0,01s	11,62x	3,58s	0,04x	0,15s	0,92x		11,62x
A	#62	0,37s	0,04s	8,31x	0,01s	27,60x	0,59s	0,62x	0,03s	13,24x		27,60x
D		1,75s	0,03s	65,13x	0,01s	141,11x	0,54s	3,22x	0,01s	123,66x		141,11x
R		0,31s	0,02s	14,17x	0,02s	18,74x	0,75s	0,42x	0,02s	12,95x		18,74x
A	Prosječno ubrzanje			7,51x		24,52x		0,54x		11,34x		24,52x
D				34,36x		84,07x		1,73x		64,03x		84,07x
R				7,55x		15,18x		0,23x		6,93x		15,18x

TABLICA 6.27. Ubrzanja algoritma lokalnog traženja.

Robusna varijanta	Primjerak problema	Egzaktno vrijeme	Približno vrijeme #5		Približno vrijeme #6		Približno vrijeme #7		Približno vrijeme #8		Približno vrijeme #9	
A	#61	0,29s	0,35s	0,83x	0,03s	8,47x	0,04s	7,75x	0,45s	0,64x	0,19s	1,51x
D		0,31s	0,25s	1,25x	0,06s	4,87x	0,04s	8,18x	0,50s	0,61x	0,18s	1,72x
R		0,14s	0,61s	0,23x	0,02s	5,74x	0,03s	5,42x	0,43s	0,32x	0,12s	1,12x
A	#62	0,37s	0,12s	3,17x	0,03s	11,22x	0,04s	9,73x	0,41s	0,91x	0,44s	0,84x
D		1,75s	0,09s	20,42x	0,04s	39,35x	0,03s	55,41x	0,14s	12,55x	0,25s	6,93x
R		0,31s	0,19s	1,61x	0,05s	6,19x	0,07s	4,72x	0,52s	0,59x	0,32s	0,96x
A	Prosječno ubrzanje			2,00x		9,84x		8,74x		0,77x		1,18x
D				10,84x		22,11x		31,80x		6,58x		4,33x
R				0,92x		5,97x		5,07x		0,46x		1,04x

Robusna varijanta	Primjerak problema	Egzaktno vrijeme	Približno vrijeme #10		Približno vrijeme #11		Približno vrijeme #12		Približno vrijeme #13		Najveće ubrzanje	
A	#61	0,29s	0,27s	1,09x	0,42s	0,70x	0,07s	4,28x	0,08s	3,72x		8,47x
D		0,31s	0,33s	0,93x	0,13s	2,44x	0,07s	4,41x	0,06s	4,80x		8,18x
R		0,14s	0,12s	1,14x	0,62s	0,23x	0,06s	2,24x	0,06s	2,28x		5,74x
A	#62	0,37s	0,25s	1,50x	0,18s	2,10x	0,08s	4,72x	0,07s	5,67x		11,22x
D		1,75s	0,34s	5,22x	0,20s	8,96x	0,06s	28,06x	0,07s	26,75x		55,41x
R		0,31s	0,29s	1,06x	0,17s	1,83x	0,07s	4,37x	0,09s	3,62x		6,19x
A	Prosječno ubrzanje			1,29x		1,40x		4,50x		4,70x		9,84x
D				3,08x		5,70x		16,24x		15,78x		31,80x
R				1,10x		1,03x		3,31x		2,95x		5,97x

TABLICA 6.28. Ubrzanja evolucijskog algoritma.

Najveća ubrzanja očito idu u korist običnog primjerka #62.

6.4. Rezultati evaluacija (meta)heuristika za rješavanje robusnih problema toka

Rezultat 6.6. Najmanje (prosječne) relativne greške izmjerene na prvom skupu od 30 malih primjeraka problema za 13 varijanti (meta)heuristika su prikazane na sljedećih šest grafikona. Gornji grafikoni se odnose na najmanje relativne greške na ordinati po primjercima problema na apscisi, za apsolutno, devijantno i relativno robusnu varijantu, redom. Donji grafikoni se odnose na najmanje prosječne relativne greške na ordinati, po približnim rješenjima na apscisi, za apsolutno, devijantno i relativno robusnu varijantu.

Najmanju relativnu grešku mjerimo tako da za svaki od 30 malih primjeraka problema izmjerimo najmanju relativnu grešku po 4 varijante algoritma lokalnog traženja, odnosno po 9 varijanti evolucijskog algoritma, a zatim, od tako dobivenog skupa najmanjih relativnih grešaka po varijantama (meta)heuristika, odaberemo onu najmanju.

Najmanju prosječnu relativnu grešku mjerimo tako da za svaku od 4 varijante algoritma lokalnog traženja, odnosno od 9 varijanti evolucijskog algoritma, izmjerimo prosječnu relativnu grešku po 30 malih primjeraka problema, a zatim, od tako dobivenog skupa prosječnih relativnih grešaka po primjercima problema, odaberemo onu najmanju.

Prema primjercima 6.3, najpreciznija približna rješenja imaju sljedeće varijante (meta)heuristika:

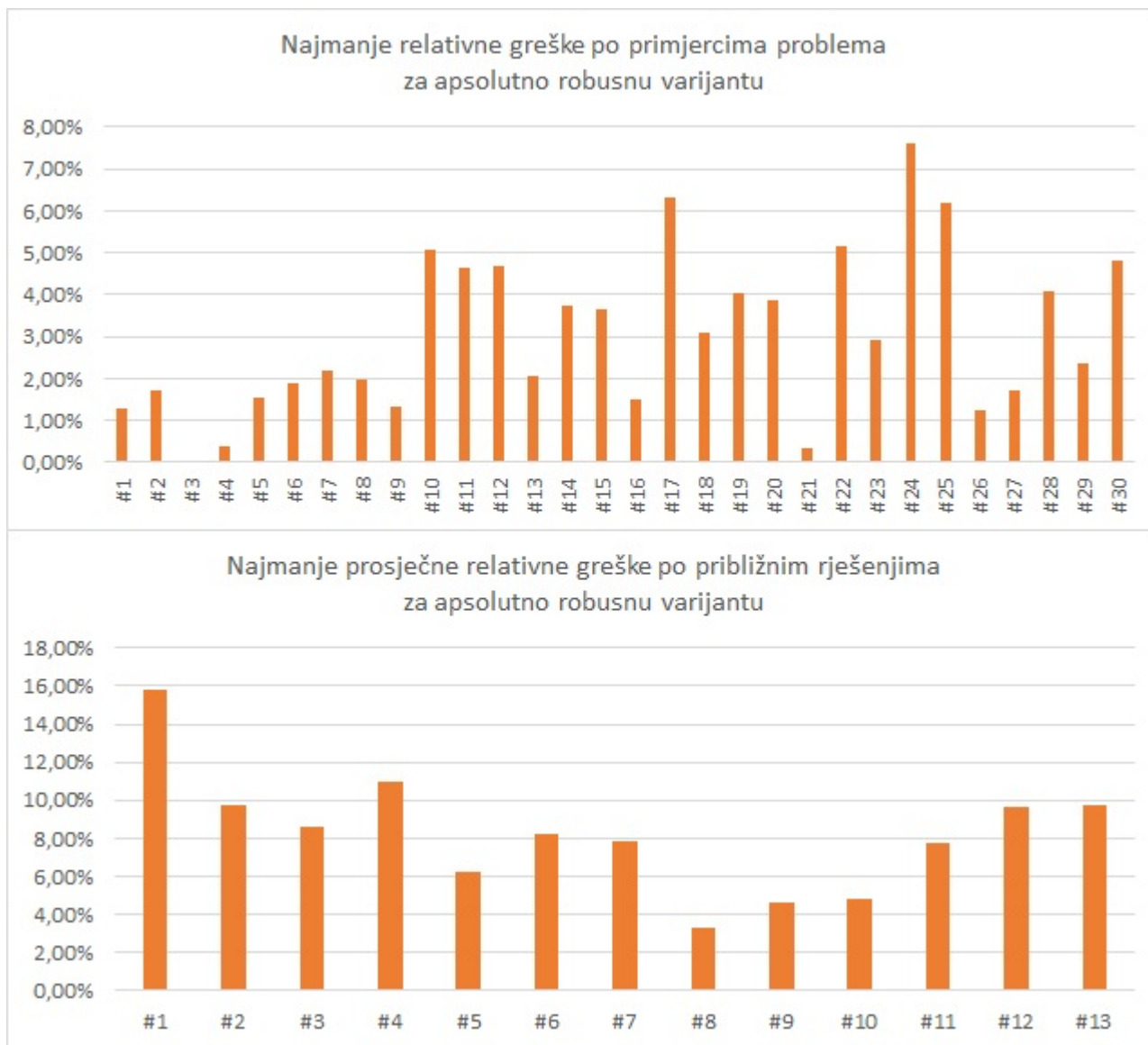
- od algoritma lokalnog traženja varijanta #3,
- od evolucijskog algoritma varijante #8 i #9.

Robusna varijanta	Varijanta (meta)heuristike		Najmanja relativna greška
A	#3	algoritam lokalnog traženja	0,27%
	#8, #9, #10	evolucijski algoritam	0,01%
D	#3	algoritam lokalnog traženja	12,30%
	#9	evolucijski algoritam	1,86%
R	#3	algoritam lokalnog traženja	15,11%
	#8	evolucijski algoritam	0,92%

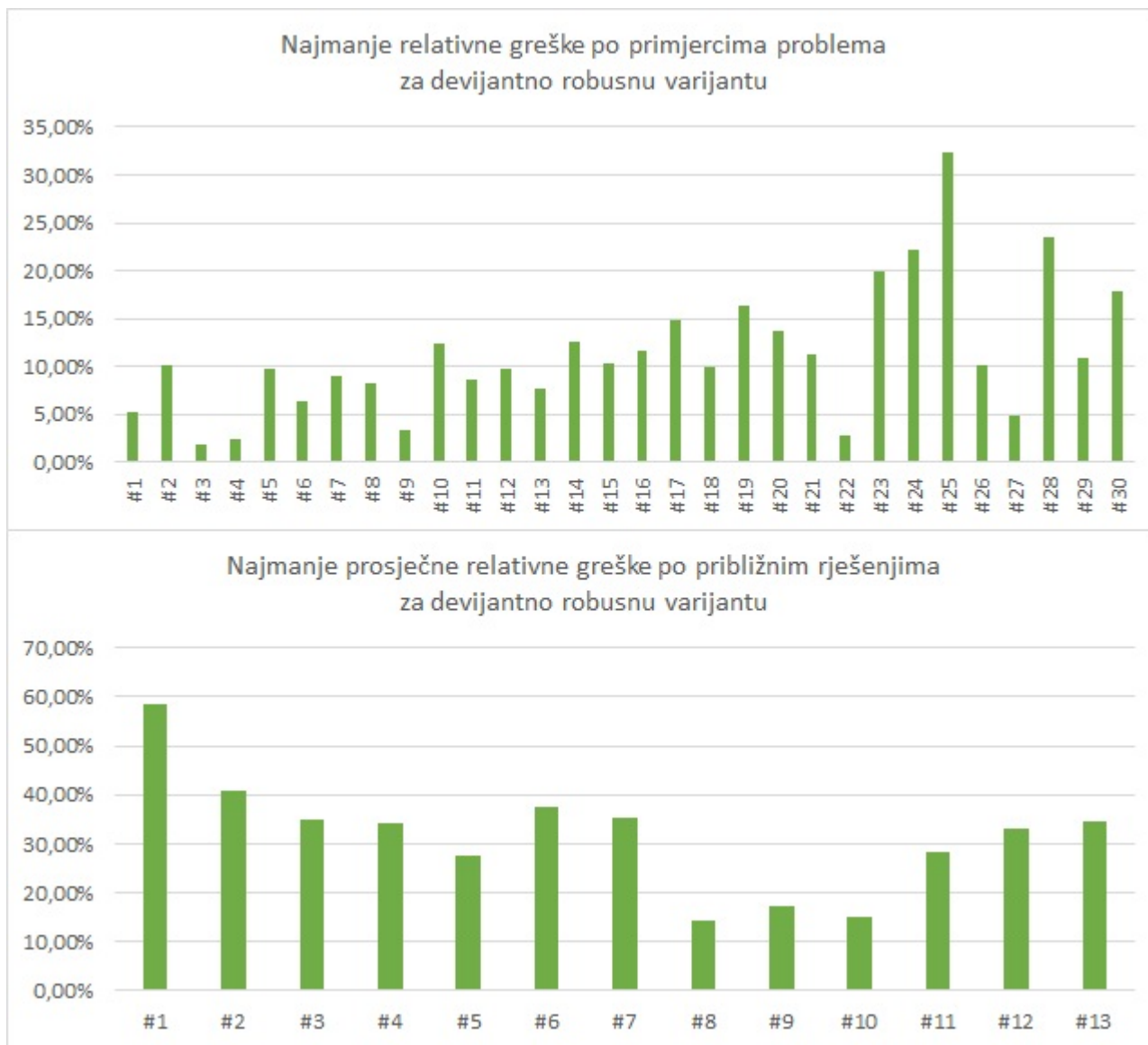
TABLICA 6.29. Najmanje relativne greške po primjercima problema.

Robusna varijanta	Varijanta (meta)heuristike		Najmanja prosječna relativna greška
A	#3	algoritam lokalnog traženja	8,62%
	#8	evolucijski algoritam	3,29%
D	#4	algoritam lokalnog traženja	34,17%
	#8	evolucijski algoritam	14,12%
R	#3	algoritam lokalnog traženja	33,49%
	#8	evolucijski algoritam	12,64%

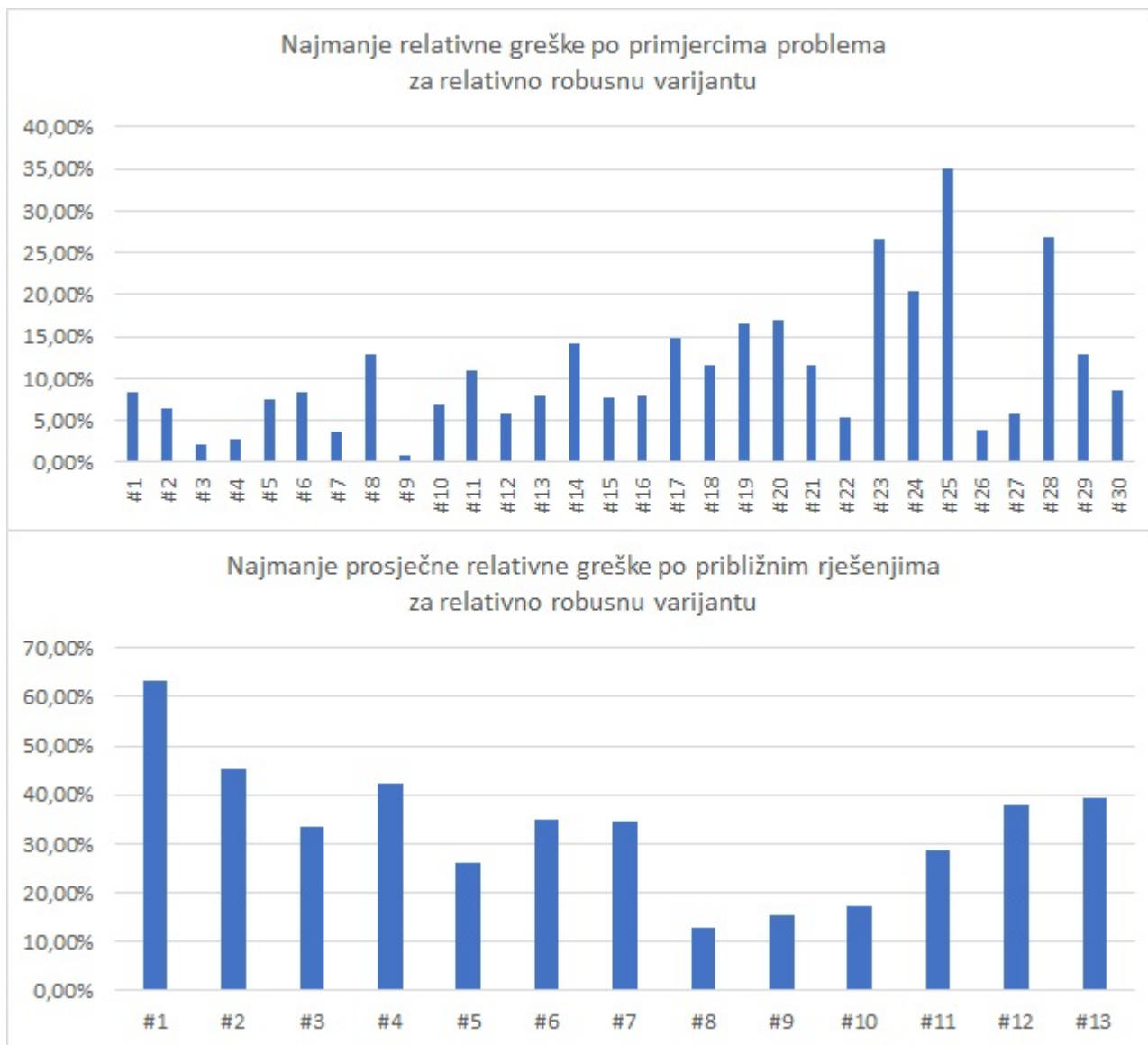
TABLICA 6.30. Najmanje prosječne relativne greške po približnim rješenjima.



SLIKA 6.3. Najmanje (prosječne) relativne greške za apsolutno robusnu varijantu.



SLIKA 6.4. Najmanje (prosječne) relativne greške za devijantno robusnu varijantu.



SLIKA 6.5. Najmanje (prosječne) relativne greške za relativno robusnu varijantu.

Rezultat 6.7. Najveća (prosječna) ubrzanja izmjerena na prvom skupu od 30 malih primjeraka problema za 13 varijanti (meta)heuristika su prikazana na sljedećih šest grafikona. Gornji grafikoni se odnose na najveća ubrzanja na ordinati po primjercima problema na apscisi, za apsolutno, devijantno i relativno robusnu varijantu, redom. Donji grafikoni se odnose na najveća prosječna ubrzanja na ordinati, po približnim rješenjima na apscisi, za apsolutno, devijantno i relativno robusnu varijantu.

Najveće ubrzanje mjerimo tako da za svaki od 30 malih primjeraka problema izmjerimo najveće ubrzanje po 4 varijante algoritma lokalnog traženja, odnosno po 9 varijanti evolucijskog algoritma, a zatim, od tako dobivenog skupa najvećih ubrzanja po varijantama (meta)heuristika, odaberemo ono najveće.

Najveće prosječno ubrzanje mjerimo tako da za svaku od 4 varijante algoritma lokalnog traženja, odnosno od 9 varijanti evolucijskog algoritma, izmjerimo prosječno ubrzanje po 30 malih primjeraka problema, a zatim, od tako dobivenog skupa prosječnih ubrzanja po primjercima problema, odaberemo ono najveće.

Prema primjercima 6.3, najbrže približna rješenja daju sljedeće varijante (meta)heuristika:

- od algoritma lokalnog traženja varijanta #2,
- od evolucijskog algoritma varijanta #7.

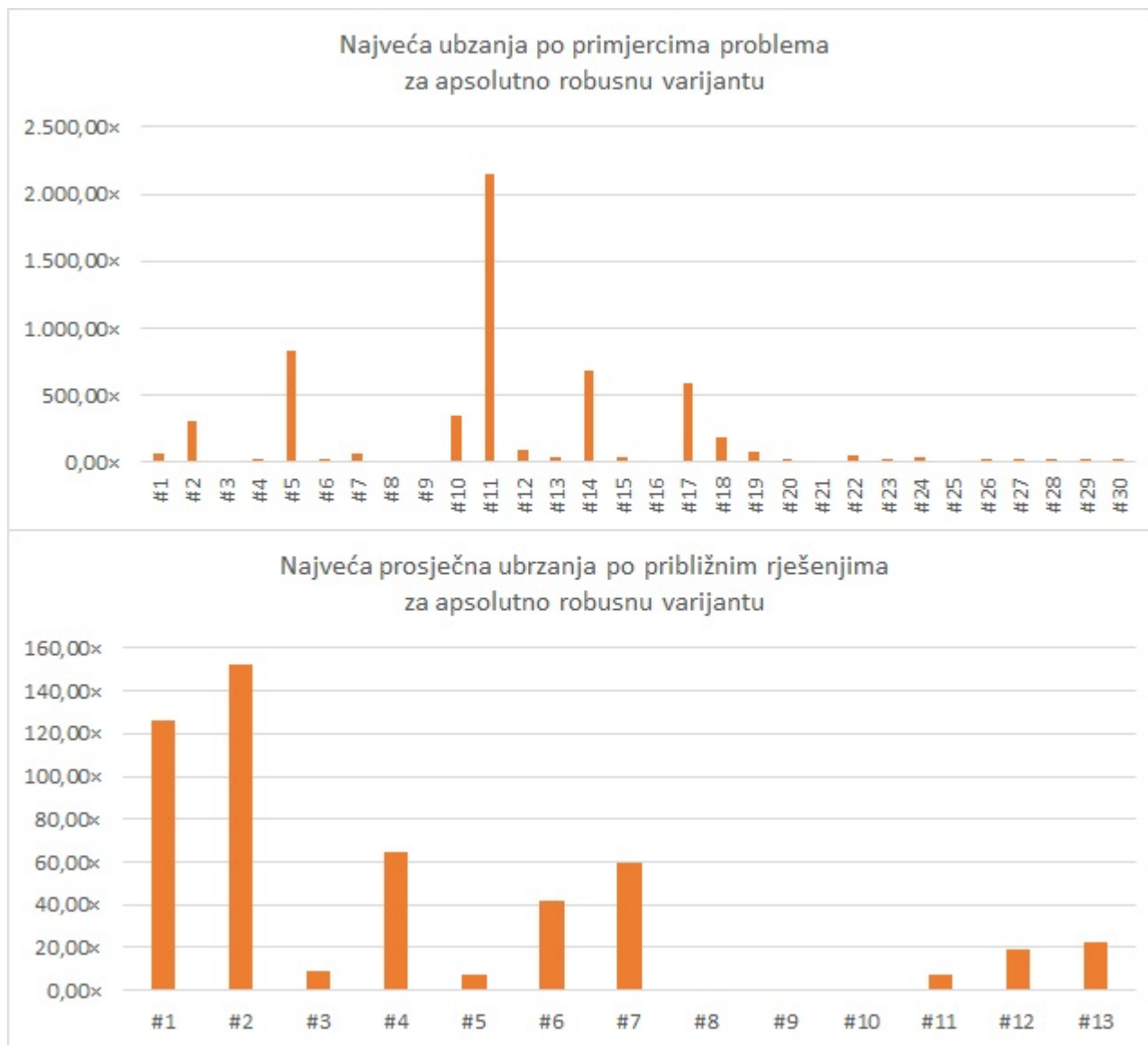
Robusna varijanta	Varijanta (meta)heuristike		Najveća ubrzanja
A	#1 #7	algoritam lokalnog traženja evolucijski algoritam	2.149,66× 448,28×
D	#2 #7	algoritam lokalnog traženja evolucijski algoritam	69.277,78× 33.914,75×
R	#2 #7	algoritam lokalnog traženja evolucijski algoritam	18.455,73× 8.890,17×

TABLICA 6.31. Najveća ubrzanja po primjercima problema.

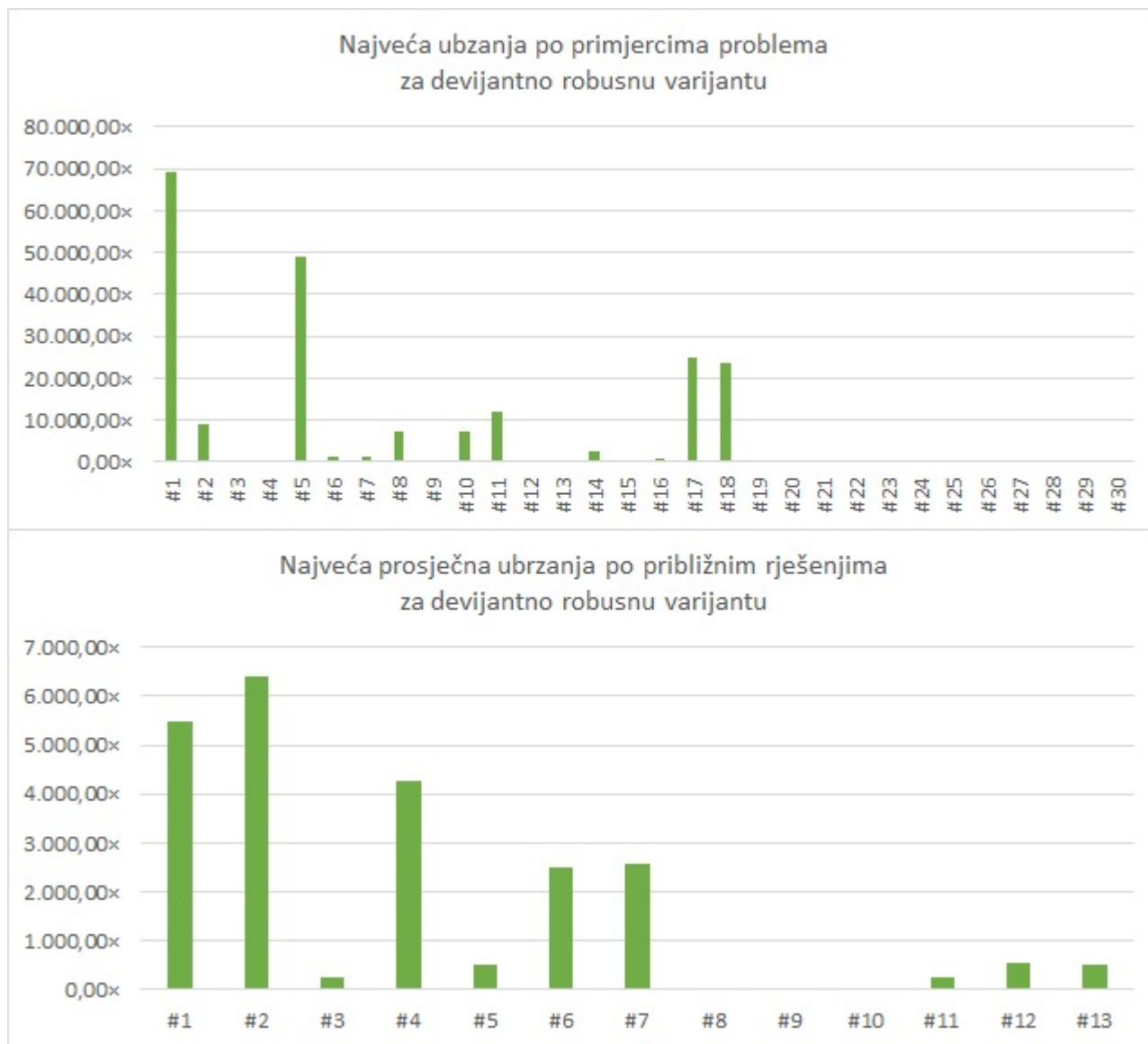
Robusna varijanta	Varijanta (meta)heuristike		Najveća prosječna ubrzanja
A	#2 #7	algoritam lokalnog traženja evolucijski algoritam	152,06× 59,51×
D	#2 #7	algoritam lokalnog traženja evolucijski algoritam	6.402,97× 2.582,60×
R	#2 #7	algoritam lokalnog traženja evolucijski algoritam	1.211,74× 587,09×

TABLICA 6.32. Najveća prosječna ubrzanja po približnim rješenjima.

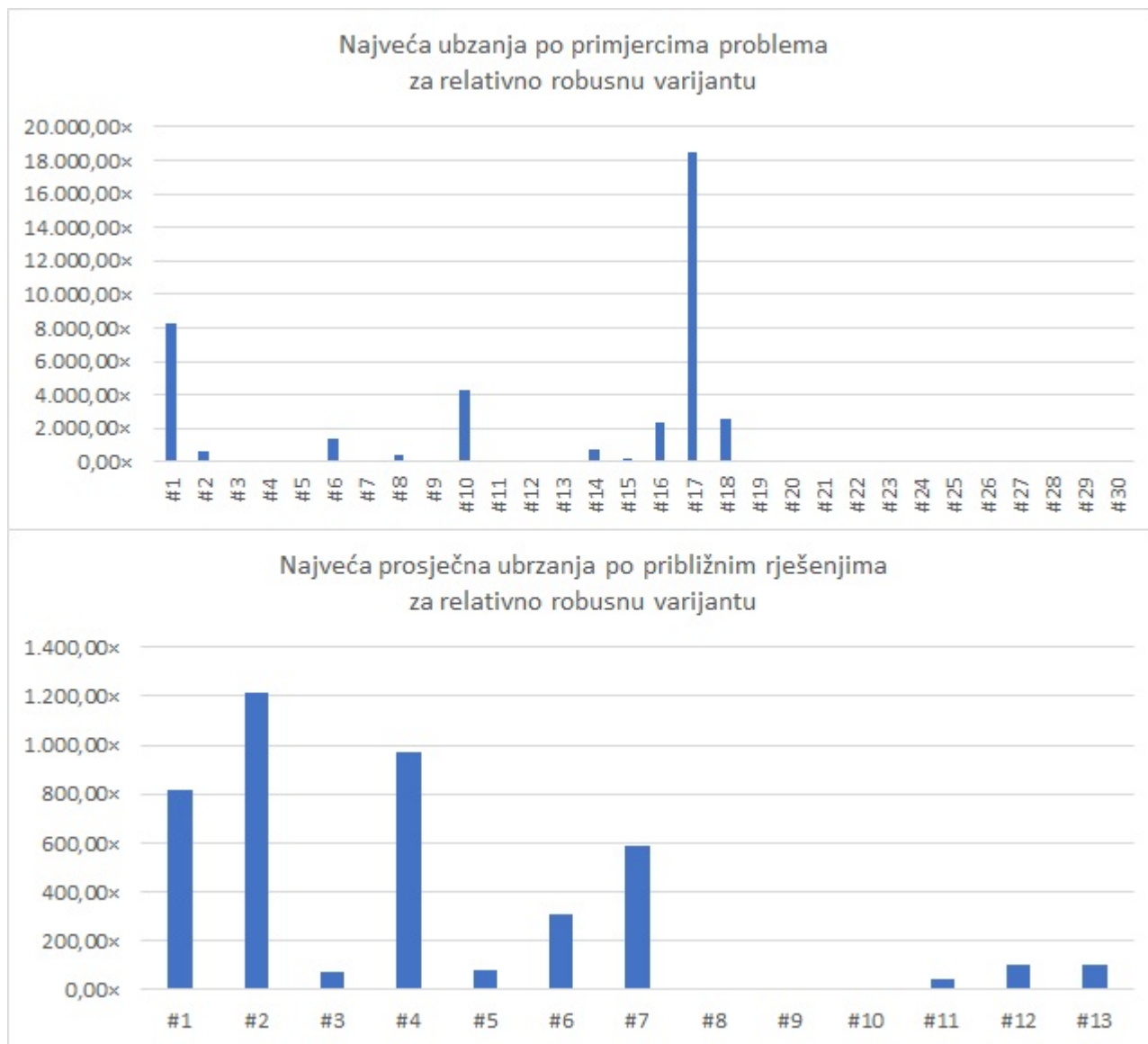
U sljedećih šest grafikona najveća (prosječna) ubrzanja za neke varijante (meta)heuristika znatno su manja u odnosu na neke druge varijante (meta)heuristika pa se čini da ubrzanja nema, ali ono ipak postoji.



SLIKA 6.6. Najveća (prosječna) ubrzanja za apsolutno robusnu varijantu.



SLIKA 6.7. Najveća (prosječna) ubznanja za devijantno robusnu varijantu.



SLIKA 6.8. Najveća (prosječna) ubzanja za relativno robusnu varijantu.

Rezultat 6.8. Najmanje (prosječne) relativne greške izmjerene na drugom skupu od 30 velikih primjeraka problema za 13 varijanti (meta)heuristika su prikazane na sljedećih šest grafikona. Gornji grafikoni se odnose na najmanje relativne greške na ordinati po primjercima problema na apscisi, za apsolutno, devijantno i relativno robusnu varijantu, redom. Donji grafikoni se odnose na najmanje prosječne relativne greške na ordinati, po približnim rješenjima na apscisi, za apsolutno, devijantno i relativno robusnu varijantu.

Najmanju relativnu grešku mjerimo tako da za svaki od 30 velikih primjeraka problema izmjerimo najmanju relativnu grešku po 4 varijante algoritma lokalnog traženja, odnosno po 9 varijanti evolucijskog algoritma, a zatim, od tako dobivenog skupa najmanjih relativnih grešaka po varijantama (meta)heuristika, odaberemo onu najmanju.

Najmanju prosječnu relativnu grešku mjerimo tako da za svaku od 4 varijante algoritma lokalnog traženja, odnosno od 9 varijanti evolucijskog algoritma, izmjerimo prosječnu relativnu grešku po 30 velikih primjeraka problema, a zatim, od tako dobivenog skupa prosječnih relativnih grešaka po primjercima problema, odaberemo onu najmanju.

Prema primjercima 6.4, najpreciznija približna rješenja imaju sljedeće varijante (meta)heuristika:

- od algoritma lokalnog traženja varijante #3 i #4,
- od evolucijskog algoritma varijanta #8.

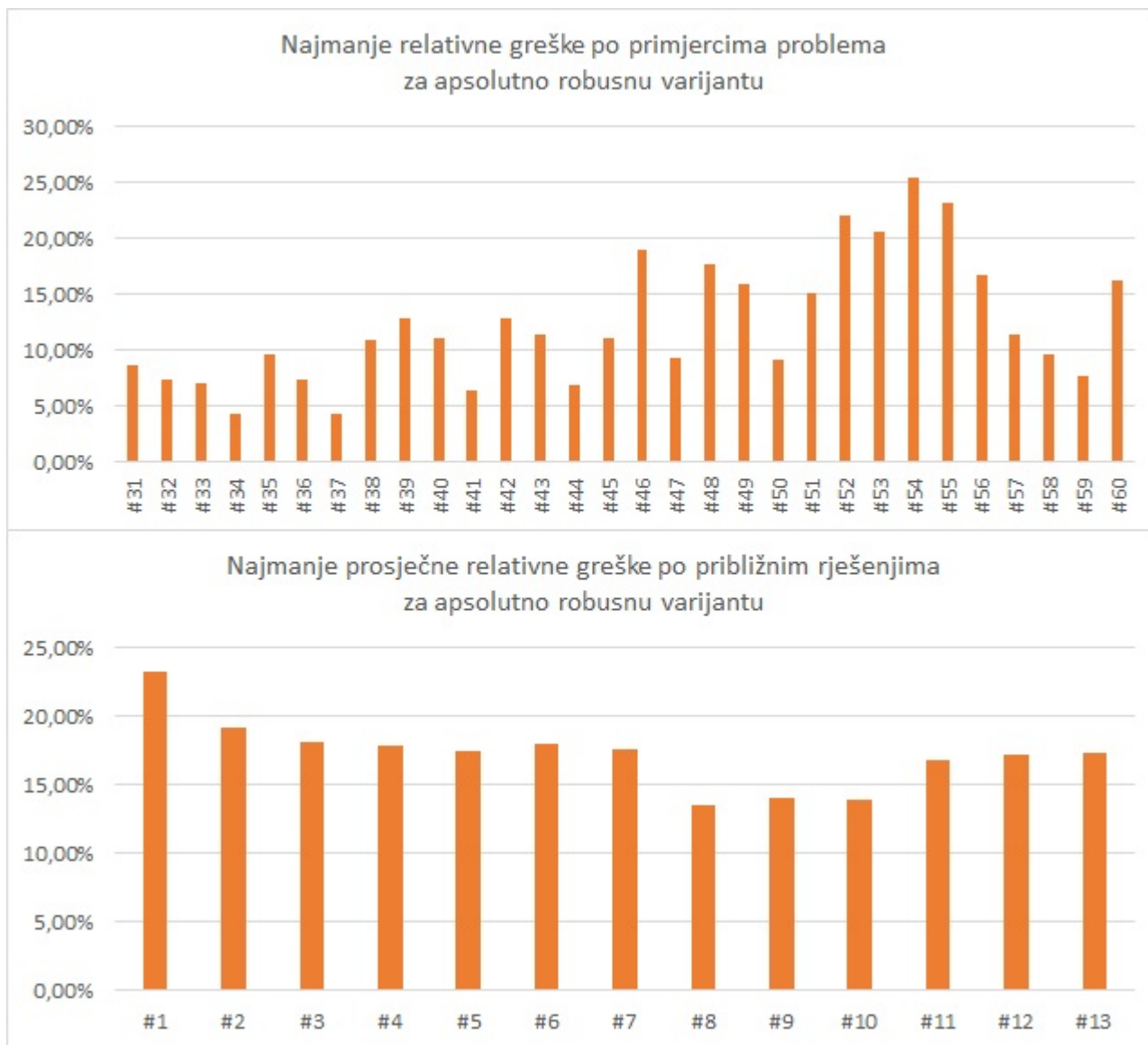
Robusna varijanta	Varijanta (meta)heuristike		Najmanja relativna greška
A	#3	algoritam lokalnog traženja	5,67%
	#10	evolucijski algoritam	4,32%
D	#4	algoritam lokalnog traženja	16,47%
	#8	evolucijski algoritam	12,10%
R	#4	algoritam lokalnog traženja	21,96%
	#11	evolucijski algoritam	14,19%

TABLICA 6.33. Najmanje relativne greške po primjercima problema.

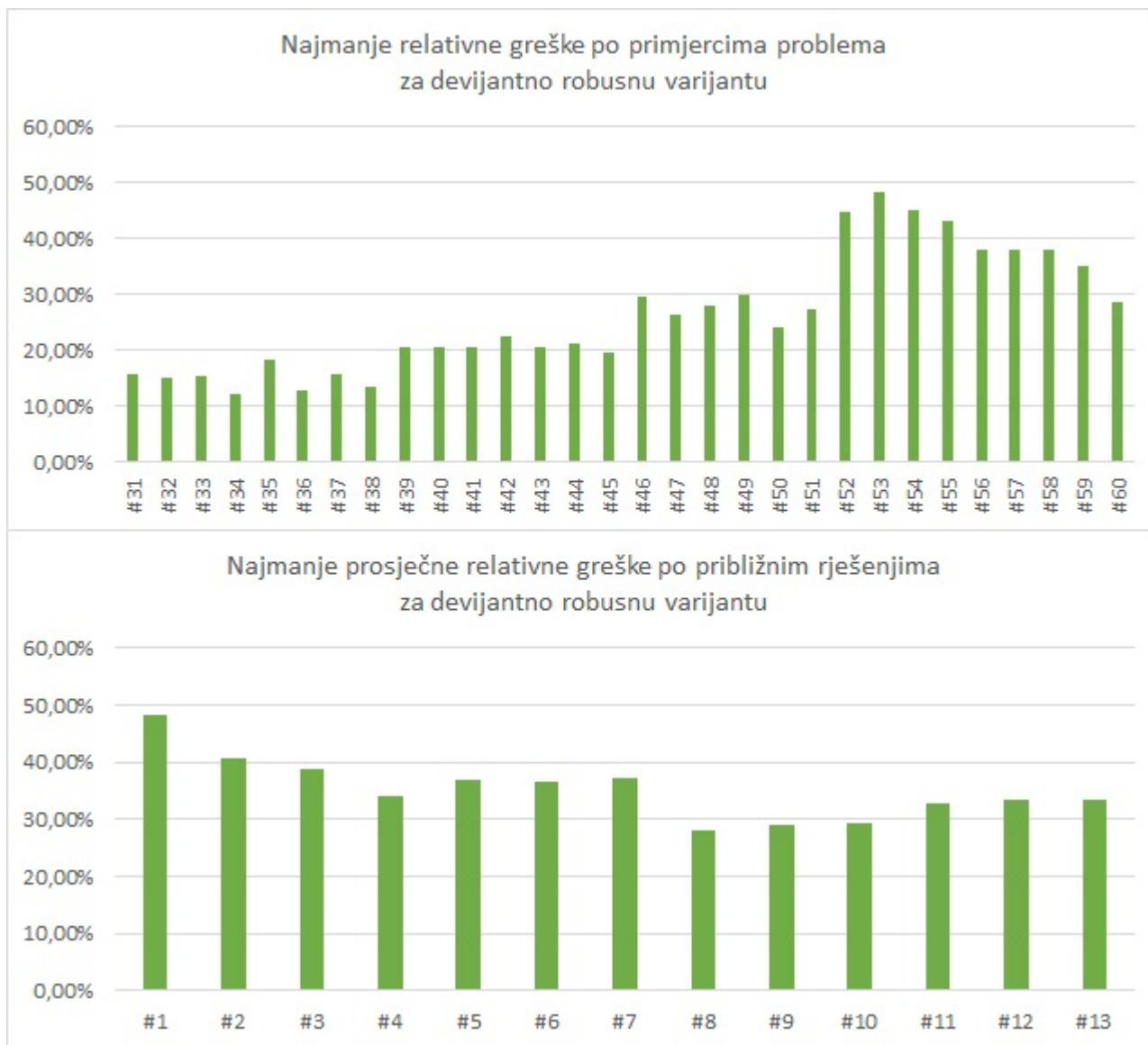
Robusna varijanta	Varijanta (meta)heuristike		Najmanja prosječna relativna greška
A	#4	algoritam lokalnog traženja	17,86%
	#8	evolucijski algoritam	13,54%
D	#4	algoritam lokalnog traženja	34,20%
	#8	evolucijski algoritam	28,10%
R	#3	algoritam lokalnog traženja	42,77%
	#8	evolucijski algoritam	31,64%

TABLICA 6.34. Najmanje prosječne relativne greške po približnim rješenjima.

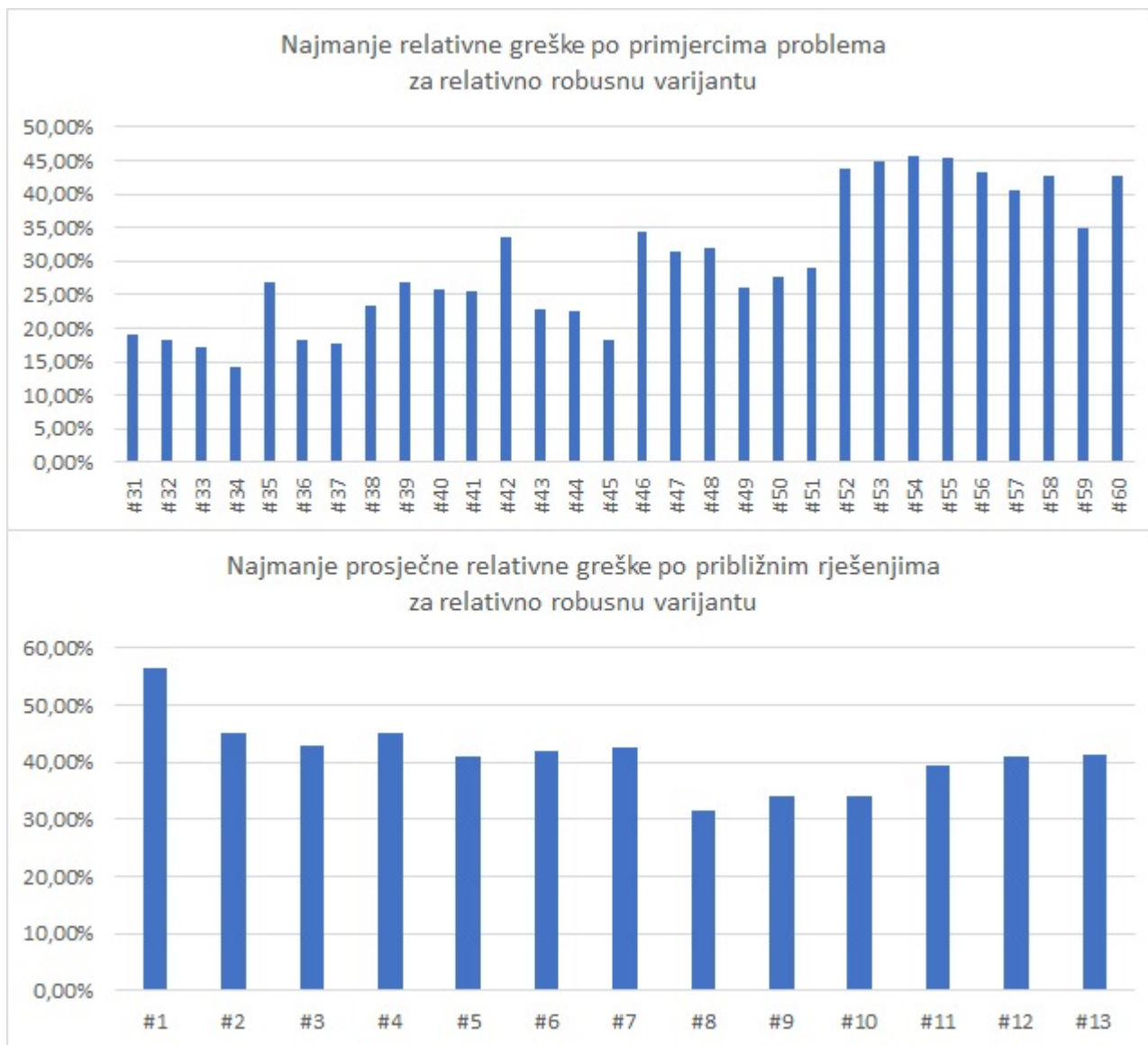
Relativne greške su izračunate u odnosu na donju ogradu za relaksirano rješenje pa relativne greške u odnosu na donju ogradu za cjelobrojno rješenje zapravo su manje.



SLIKA 6.9. Najmanje (prosječne) relativne greške za apsolutno robusnu varijantu.



SLIKA 6.10. Najmanje (prosječne) relative greške za devijantno robusnu varijantu.



SLIKA 6.11. Najmanje (prosječne) relativne greške za relativno robusnu varijantu.

6.5. Prednosti i nedostaci (meta)heuristika za rješavanje robusnih problema toka

Što se tiče implementacije, najzahtjevnijima su se pokazali evolucijski algoritmi. Njihov programski kod je puno složeniji naspram algoritama lokalnog traženja.

Što se tiče relativne greške, najpreciznijima su se pokazali evolucijski algoritmi. Njihova prednost je preciznost, a nedostatak brzina. S druge strane, što se tiče ubrzanja, najbržima su se pokazali algoritmi lokalnog traženja. Obrnuto, njihova prednost je brzina, a nedostatak preciznost. Takav rezultat je očekivan. Naime, kako algoritam lokalnog traženja u svakom koraku postupka generira sve bolje rješenje u odnosu na evolucijski algoritam, to brže završava u lokalnom minimumu. Stoga je algoritam lokalnog traženja brži, ali manje precizniji od evolucijskog algoritma. Ipak, evolucijski algoritmi postižu ubrzanja u odnosu na egzaktne algoritme.

Najprecizniji su evolucijski algoritmi koji provode postupak križanja komponiranjem toka te postupak mutiranja lokalnim traženjem (#8), odnosno smanjenjem cijene toka (#9).

Najbrži su algoritmi lokalnog traženja koji provode postupak jednostrukog inicijaliziranja (#2).

Dodaci

A. Srodni robusni problemi

U ovom dodatku formuliramo *srodne robusne probleme* linearnog programiranja, najkraćeg puta, minimalnog razapinjućeg stabla i 0/1 naprtnjače te dokazujemo da su po složenosti NP-teški. Kako su robusne varijante navedenih problema polinomijalno reducibilne na odgovarajuće robusne varijante problema toka minimalne cijene, to će bilo koji algoritam koji dovoljno efikasno rješava robusni problem toka minimalne cijene, također dovoljno efikasno rješavati navedene srodne robusne probleme. Naprimjer, prema teoremu 2.6, robusne varijante problema najkraćeg puta su polinomijalno reducibilne na odgovarajuće robusne varijante problema toka minimalne cijene.

Dokazi NP-težine slijede uobičajeni obrazac i provodimo ih tako da prvo konstruiramo redukciju poznatog NP-potpunog problema na razmatrani robusni problem pa zatim pokažemo da je postupak redukcije izvediv u polinomnom vremenu. Prvo, definiramo dva standardna NP-potpuna problema 2-particije i skupovnog pokrivača koje polinomijalno reduciramo na razmatrane robusne probleme. Zatim, definiramo slojevitú mrežu i rešetkasti graf koje koristimo u dokazima složenosti robusnih problema najkraćeg puta i minimalnog razapinjućeg stabla.

A.1. Robusni problem linearnog programiranja

Standardni problem linearnog programiranja formuliramo kao:

$$(A.1) \quad LP \dots \left[\begin{array}{l} z = CX \rightarrow \min \\ \text{uz uvjete:} \\ AX = B \\ X \geq 0 \end{array} \right. ,$$

gdje su A matrica te B i C vektori. X je vektor vrijednosti varijabli odlučivanja.

Robusne varijante problema linearnog programiranja formuliramo kao:

$$(A.2) \quad \begin{array}{l} (RLP)_{A\dots} \\ (RLP)_{D\dots} \\ (RLP)_{R\dots} \end{array} \left[\begin{array}{l} z_A = y \rightarrow \min \\ \text{uz uvjete:} \\ C^s X \leq y, \forall s \in S \quad , \\ A^s X = B^s, \forall s \in S \\ X \geq 0 \\ \\ z_D = y \rightarrow \min \\ \text{uz uvjete:} \\ C^s X \leq y + z^s, \forall s \in S \quad , \\ A^s X = B^s, \forall s \in S \\ X \geq 0 \\ \\ z_R = y \rightarrow \min \\ \text{uz uvjete:} \\ C^s X \leq (y + 1)z^s, \forall s \in S \quad , \\ A^s X = B^s, \forall s \in S \\ X \geq 0 \end{array} \right.$$

gdje je $s \in S$ scenarij opisan matricom A^s te vektorima B^s i C^s .

Pritom A^s i B^s zadajemo tako da postoji barem jedan $X \geq 0$ takav da je $A^s X = B^s$ za sve $s \in S$. Dakle, mora postojati rješenje koje je dopustivo za sve scenarije.

Drugi način formuliranja robusnih varijanti linearnog programiranja je takav da A i B budu isti za sve scenarije, a da samo C varira pa svi scenariji imaju isti skup dopustivih rješenja:

$$(A.3) \quad \begin{array}{l} (RLP)'_{A\dots} \\ (RLP)'_{D\dots} \\ (RLP)'_{R\dots} \end{array} \left[\begin{array}{l} z_A = y \rightarrow \min \\ \text{uz uvjete:} \\ C^s X \leq y, \forall s \in S \quad , \\ AX = B \\ X \geq 0 \end{array} \right. \\ \left[\begin{array}{l} z_D = y \rightarrow \min \\ \text{uz uvjete:} \\ C^s X \leq y + z^s, \forall s \in S \quad , \\ AX = B \\ X \geq 0 \end{array} \right. \\ \left[\begin{array}{l} z_R = y \rightarrow \min \\ \text{uz uvjete:} \\ C^s X \leq (y + 1)z^s, \forall s \in S \quad . \\ AX = B \\ X \geq 0 \end{array} \right.$$

A.2. Robusni problem najkraćeg puta

Zadajmo usmjereni graf $G = (V, A)$. Svakom luku $(v_i, v_j) \in A$ zadajmo nenegativnu duljinu c_{ij} . Odaberimo vrhove $v_0 \in V$ i $v_n \in V$ koje nazivamo **polazište** i **odredište**.

Standardni problem najkraćeg puta glasi: pronaći najkraći put od polazišta do odredišta pri čemu duljinu puta računamo kao zbroj cijena njegovih lukova. Problem je rješiv u vremenu $O(|V|^2)$ Dijkstrinim algoritmom. Problem interpretiramo egzaktnije pomoću jediničnih tokova pa ga formuliramo kao:

$$(A.4) \quad SP... \left[\begin{array}{l} z = \sum_{(v_i, v_j) \in A} c_{ij} x_{ij} \rightarrow \min \\ \text{uz uvjete:} \\ \sum_{\substack{v_j \in V \\ (v_i, v_j) \in A}} x_{ij} - \sum_{\substack{v_j \in V \\ (v_j, v_i) \in A}} x_{ji} = \begin{cases} 1 & \text{ako je } v_i = v_0 \\ -1 & \text{ako je } v_i = v_n, \forall v_i \in V \\ 0 & \text{inače} \end{cases} \\ x_{ij} \in \{0, 1\}, \forall (v_i, v_j) \in A \end{array} \right. ,$$

gdje su x_{ij} binarne varijable koje predstavljaju prisustvo, odnosno odsustvo toka po luku $(v_i, v_j) \in A$.

Za ovako formulirani standardni problem A.4 promatramo robusne varijante te koristimo sljedeće oznake i pojmove:

- S - konačan skup scenarija u kojem svaki scenarij predstavlja drukčije zadane duljine lukova,
- c_{ij}^s - duljina luka $(v_i, v_j) \in A$ u scenariju $s \in S$.

Apsolutno robusni problem najkraćeg puta glasi: pronaći put od polazišta do odredišta kod kojeg je maksimalna duljina po svim scenarijima minimalna. Problem formuliramo kao:

$$(A.5) \quad (RSP)_{A...} \left[\begin{array}{l} z_A = \left(\max_{s \in S} \sum_{(v_i, v_j) \in A} c_{ij}^s x_{ij} \right) \rightarrow \min \\ \text{uz uvjete:} \\ \sum_{\substack{v_j \in V \\ (v_i, v_j) \in A}} x_{ij} - \sum_{\substack{v_j \in V \\ (v_j, v_i) \in A}} x_{ji} = \begin{cases} 1 & \text{ako je } v_i = v_0 \\ -1 & \text{ako je } v_i = v_n, \forall v_i \in V \\ 0 & \text{inače} \end{cases} \\ x_{ij} \in \{0, 1\}, \forall (v_i, v_j) \in A \end{array} \right. .$$

Devijantno robusni problem najkraćeg puta glasi: pronaći put od polazišta do odredišta kod kojeg je maksimalni otklon od optimalne duljine po svim scenarijima minimalan. Problem formuliramo kao:

$$(A.6) \quad (RSP)_{D...} \left[\begin{array}{l} z_D = \left(\max_{s \in S} \sum_{(v_i, v_j) \in A} c_{ij}^s x_{ij} - z^s \right) \rightarrow \min \\ \text{uz uvjete:} \\ \sum_{\substack{v_j \in V \\ (v_i, v_j) \in A}} x_{ij} - \sum_{\substack{v_j \in V \\ (v_j, v_i) \in A}} x_{ji} = \begin{cases} 1 & \text{ako je } v_i = v_0 \\ -1 & \text{ako je } v_i = v_n, \forall v_i \in V \\ 0 & \text{inače} \end{cases} \\ x_{ij} \in \{0, 1\}, \forall (v_i, v_j) \in A \end{array} \right. .$$

Relativno robusni problem najkraćeg puta glasi: pronaći put od polazišta do odredišta kod kojeg je maksimalni relativni otklon od optimalne duljine po svim scenarijima minimalan. Problem formuliramo kao:

$$(A.7) \quad (RSP)_{R...} \left[\begin{array}{l} z_R = \left(\max_{s \in S} \frac{\sum_{(v_i, v_j) \in A} c_{ij}^s x_{ij} - z^s}{z^s} \right) \rightarrow \min \\ \text{uz uvjete:} \\ \sum_{\substack{v_j \in V \\ (v_i, v_j) \in A}} x_{ij} - \sum_{\substack{v_j \in V \\ (v_j, v_i) \in A}} x_{ji} = \begin{cases} 1 & \text{ako je } v_i = v_0 \\ -1 & \text{ako je } v_i = v_n, \forall v_i \in V \\ 0 & \text{inače} \end{cases} \\ x_{ij} \in \{0, 1\}, \forall (v_i, v_j) \in A \end{array} \right. .$$

A.3. Robusni problem minimalnog razapinjućeg stabla

Zadajmo neusmjereni i povezani graf $G = (V, E)$. Svakom bridu $e \in E$ zadajmo nenegativnu cijenu c_{ij} . **Razapinjuće stablo** T je povezani podgraf od G bez ciklusa koji sadrži sve vrhove iz V . **Minimalno razapinjuće stablo** je ono s najmanjim zbrojem cijena bridova.

Standardni problem minimalnog razapinjućeg stabla glasi: pronaći minimalno razapinjuće stablo. Problem je rješiv u vremenu $O(|V|^2 \log |V|)$ Primovim algoritmom, odnosno u vremenu $O(|E|^2 \log |E|)$ Kruskalovim algoritmom. Problem formuliramo kao:

$$(A.8) \quad MST... \left[\begin{array}{l} z = \sum_{e \in E_T} c_e \rightarrow \min \\ \text{uz uvjet:} \\ T \text{ je razapinjuće stablo od } G \end{array} \right. .$$

Za ovako formulirani standardni problem A.8 promatramo robusne varijante te koristimo sljedeće oznake i pojmove:

- S - konačan skup scenarija u kojem svaki scenarij predstavlja drukčije zadane cijene bridova,
- c_e^s - cijena brida $e \in E_T$ u scenariju $s \in S$.

Apsolutno robusni problem minimalnog razapinjućeg stabla glasi: pronaći razapinjuće stablo kod kojeg je maksimalna cijena po svim scenarijima minimalna. Problem formuliramo kao:

$$(A.9) \quad (RMST)_{A...} \left[\begin{array}{l} z_A = \left(\max_{s \in S} \sum_{e \in E_T} c_e^s \right) \rightarrow \min \\ \text{uz uvjet:} \\ T \text{ je razapinjuće stablo od } G \end{array} \right. .$$

Devijantno robusni problem minimalnog razapinjućeg stabla glasi: pronaći razapinjuće stablo kod kojeg je maksimalni otklon od optimalne cijene po svim scenarijima minimalan. Problem formuliramo kao:

$$(A.10) \quad (RMST)_{D...} \left[\begin{array}{l} z_D = \left(\max_{s \in S} \sum_{e \in E_T} c_e^s - z^s \right) \rightarrow \min \\ \text{uz uvjet:} \\ T \text{ je razapinjuće stablo od } G \end{array} \right. .$$

Relativno robusni problem minimalnog razapinjućeg stabla glasi: pronaći razapinjuće stablo kod kojeg je maksimalni relativni otklon od optimalne cijene po svim scenarijima minimalan. Problem formuliramo kao:

$$(A.11) \quad (RMST)_{R...} \left[\begin{array}{l} z_R = \left(\max_{s \in S} \frac{\sum_{e \in E_T} c_e^s - z^s}{z^s} \right) \rightarrow \min \\ \text{uz uvjet:} \\ T \text{ je razapinjuće stablo od } G \end{array} \right. .$$

A.4. Robusni problem 0/1 naprtnjače

Standardni problem 0/1 naprtnjače glasi: pronaći izbor predmeta s najvećom vrijednosti pri čemu zbroj težina predmeta ne prelazi kapacitet naprtnjače. Problem je NP-težak, ali je rješiv u pseudo-polinomijalnom vremenu $O(nB)$ dinamičkim programiranjem. Problem formuliramo kao:

$$(A.12) \quad K_{0/1\dots} \left[\begin{array}{l} z = \sum_{i=1}^n p_i x_i \rightarrow \max \\ \text{uz uvjete:} \\ \sum_{i=1}^n c_i x_i \leq B \\ x_i \in \{0, 1\}, \forall i \in \{1, 2, \dots, n\} \end{array} \right. ,$$

gdje su p_i vrijednosti predmeta, c_i težine predmeta te B kapacitet naprtnjače.

Za ovako formulirani standardni problem A.12 promatramo robusne varijante te koristimo sljedeće oznake i pojmove:

- S - konačan skup scenarija u kojem svaki scenarij predstavlja drukčije zadane vrijednosti predmeta,
- p_i^s - vrijednost predmeta $i = 1, 2, \dots, n$ u scenariju $s \in S$.

Težine predmeta ne variraju jer bi u protivnom teško osigurali dopustivost istog rješenja za sve scenarije.

Apsolutno robusni problem 0/1 naprtnjače glasi: pronaći dopustivi izbor predmeta kod kojeg je minimalna vrijednost po svim scenarijima maksimalna. Problem formuliramo kao:

$$(A.13) \quad (RK_{0/1})_{A\dots} \left[\begin{array}{l} z_A = \left(\min_{s \in S} \sum_{i=1}^n p_i^s x_i \right) \rightarrow \max \\ \text{uz uvjete:} \\ \sum_{i=1}^n c_i x_i \leq B \\ x_i \in \{0, 1\}, \forall i \in \{1, 2, \dots, n\} \end{array} \right. .$$

Devijantno robusni problem 0/1 naprtnjače glasi: pronaći dopustivi izbor predmeta kod kojeg je maksimalni otklon od optimalne vrijednosti po svim scenarijima minimalan. Problem formuliramo kao:

$$(A.14) \quad (RK_{0/1})_{D\dots} \left[\begin{array}{l} z_D = \left(\max_{s \in S} z^s - \sum_{i=1}^n p_i^s x_i \right) \rightarrow \min \\ \text{uz uvjete:} \\ \sum_{i=1}^n c_i x_i \leq B \\ x_i \in \{0, 1\}, \forall i \in \{1, 2, \dots, n\} \end{array} \right. .$$

Relativno robusni problem 0/1 naprtnjače glasi: pronaći dopustivi izbor predmeta kod kojeg je maksimalni relativni otklon od optimalne vrijednosti po svim scenarijima minimalan. Problem formuliramo kao:

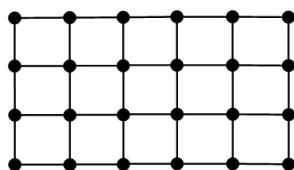
$$(A.15) \quad (RK_{0/1})_{R\dots} \left[\begin{array}{l} z_R = \left(\max_{s \in S} \frac{z^s - \sum_{i=1}^n p_i^s x_i}{z^s} \right) \rightarrow \min \\ \text{uz uvjete:} \\ \sum_{i=1}^n c_i x_i \leq B \\ x_i \in \{0, 1\}, \forall i \in \{1, 2, \dots, n\} \end{array} \right. .$$

Definicija A.2. Rešetkasti graf $G^r = (V, E)$ reda (m, n) je posebna vrsta grafa koja ima svojstva:

- (1) skup vrhova V je oblika $V = \{v_{ij} | i = 1, 2, \dots, m, j = 1, 2, \dots, n\}$,
- (2) skup bridova E je oblika $E = E_r \cup E_c$ gdje su

$$E_r = \{(v_{ij}, v_{i,j+1}) | i = 1, 2, \dots, m, j = 1, 2, \dots, n-1\}$$
 i

$$E_c = \{(v_{ij}, v_{i+1,j}) | i = 1, 2, \dots, m-1, j = 1, 2, \dots, n\}$$
 redčani i stupčani bridovi.



SLIKA A.2. Rešetkasti graf.

Teorem A.3. Robusni problemi $(RSP)_A$ i $(RSP)_D$ su NP-teški čak i tada kad je mreža slojevita sa širinom 2, a broj scenarija je 2.

Dokaz. Problem 2-particije polinomijalno reduciramo na opisanu restrikciju robusnog problema $(RSP)_A$. Konstruirajmo slojevitu mrežu s $2(m+1)$ sloja.

SLIKA A.3. Slojevita mreža s $2(m+1)$ sloja.

Skup vrhova V je oblika $V = V_0 \cup V_1 \cup V_2 \cup \dots \cup V_{2m+1}$ gdje su

$$V_0 = \{v_0\} = \{s\},$$

$$V_{2m+1} = \{v_n\} = \{t\},$$

$$V_k = \{v_{ki} | i = 1, 2\} \text{ za } k = 1, 2, \dots, 2m.$$

Skup lukova A^l je oblika $A^l = A_1 \cup A_2 \cup A_3 \cup$ gdje su

$$A_1 = \{(v_0, v_{11}), (v_0, v_{12}), (v_{2m,1}, v_n), (v_{2m,2}, v_n)\},$$

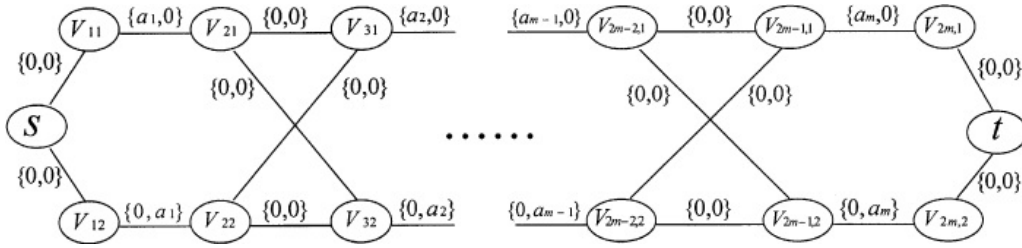
$$A_2 = \bigcup_{k=1}^{m-1} \{(v_{2k,i}, v_{2k+1,j}) | i, j = 1, 2\},$$

$$A_3 = \{(v_{2k-1,i}, v_{2k,i}) | i = 1, 2, k = 1, 2, \dots, m\}.$$

Definirajmo robusni problem $(RSP)_A$ s 2 scenarija. Lukovi iz A_1 i A_2 u oba scenarija imaju duljinu 0. Lukovi iz A_3 imaju duljinu:

$$c_{(v_{2k-1,i}, v_{2k,i})}^1 = \begin{cases} a_k & \text{ako je } i = 1 \\ 0 & \text{ako je } i = 2 \end{cases}, \quad c_{(v_{2k-1,i}, v_{2k,i})}^2 = \begin{cases} 0 & \text{ako je } i = 1 \\ a_k & \text{ako je } i = 2 \end{cases}.$$

Slojevita mreža G^l je oblika:



SLIKA A.4. Slojevita mreža G^l .

Promotrimo put p od vrha s do vrha t .

Neka je

$$I' = \{k | \text{put } p \text{ prolazi lukom } (v_{2k-1,1}, v_{2k,1}) \text{ za svaki } k \in I\}.$$

Tada je

$$I \setminus I' = \{k | \text{put } p \text{ prolazi lukom } (v_{2k-1,2}, v_{2k,2}) \text{ za svaki } k \in I\}.$$

Ukupna duljina puta za scenarij 1 je

$$g_1(p) := \underbrace{\sum_{k \in I'} c_{(v_{2k-1,1}, v_{2k,1})}^1}_{= \sum_{k \in I'} a_k} + \underbrace{\sum_{k \in I \setminus I'} c_{(v_{2k-1,2}, v_{2k,2})}^1}_{=0} = \sum_{k \in I'} a_k.$$

Ukupna duljina puta za scenarij 2 je

$$g_2(p) := \underbrace{\sum_{k \in I'} c_{(v_{2k-1,1}, v_{2k,1})}^2}_{=0} + \underbrace{\sum_{k \in I \setminus I'} c_{(v_{2k-1,2}, v_{2k,2})}^2}_{\sum_{k \in I \setminus I'} a_k} = \sum_{k \in I \setminus I'} a_k.$$

Za svaki put p od vrha s do vrha t je

$$g_1(p) + g_2(p) = \sum_{k \in I} a_k.$$

Problem 2-particije ima rješenje ako i samo ako robusni problem $(RSP)_A$ ima rješenje ukupne duljine

$$z_A = \frac{1}{2} \sum_{k \in I} a_k.$$

(\Leftarrow) Pretpostavimo suprotno. Neka problem 2-particije nema rješenje. Tada svaki put p u jednom od scenarija ima duljinu

$$> \frac{1}{2} \sum_{k \in I} a_k,$$

pa je i maksimum duljine puta p po svim scenarijima

$$> \frac{1}{2} \sum_{k \in I} a_k.$$

Kako to vrijedi za svaki put, to rješenje primjerka robusnog problema $(RSP)_A$, koje dobivamo kao minimum maksimuma, također mora biti

$$> \frac{1}{2} \sum_{k \in I} a_k. (\Rightarrow \Leftarrow)$$

(\Rightarrow) Neka problem 2-particije ima rješenje, tj. neka postoji 2-particija. Tada postoji put p koji u oba scenarija ima duljinu

$$= \frac{1}{2} \sum_{k \in I} a_k,$$

pa je i maksimum duljine puta p po svim scenarijima

$$= \frac{1}{2} \sum_{k \in I} a_k.$$

Kako svaki drugi put ima veći ili jednaki maksimum duljine, to rješenje primjerka robusnog problema $(RSP)_A$, koje dobivamo kao minimum maksimuma, također mora biti

$$= \frac{1}{2} \sum_{k \in I} a_k. \square$$

Očito je da cijelu konstrukciju izvršavamo u polinomijalnom vremenu.

Problem 2-particije polinomijalno reduciramo na opisanu restrikciju robusnog problema $(RSP)_D$. Konstruirajmo istu slojevitú mrežu G^l s $2(m+1)$ sloja kao i za robusni problem $(RSP)_A$. Najkraći put u oba scenarija ima duljinu 0 pa je $z^1 = z^2 = 0$. Kako funkcija cilja robusnog problema $(RSP)_A$ ne sadrži z^s , to je ostatak dokaza isti kao i za robusni problem $(RSP)_A$.

□

Napomena A.4. Za robusni problem $(RSP)_R$ ne možemo koristiti istu ideju dokaza kao i za robusne probleme $(RSP)_A$ i $(RSP)_D$. Kako najkraći put u oba scenarija ima duljinu 0 pa je $z^1 = z^2 = 0$, to ne možemo odrediti relativni otklon od optimalne duljine (zbog dijeljenja s nulom). U članku [Zie04] je pokazano da je relativno robusna varijanta problema najkraćeg puta, u kojoj su duljine lukova zadane kao intervali, NP-teška.

Teorem A.5. Ako je mreža slojevita, a broj scenarija je ograničen konstantom, onda su robusni problemi $(RSP)_A$ i $(RSP)_D$ rješivi u pseudo-polinomijalnom vremenu.

Dokaz. Za opisane restrikcije robusnih problema $(RSP)_A$ i $(RSP)_D$ konstruiramo pseudo-polinomijalni algoritam zasnovan na dinamičkom programiranju. □

Teorem A.6. Ako je broj scenarija neograničen, onda robusni problem $(RSP)_A$ postaje jako NP-težak čak i za slojevitu mrežu.

Teorem A.7. Robusni problemi $(RMST)_A$, $(RMST)_D$ i $(RMST)_R$ su NP-teški čak i pod sljedećim restrikcijama:

- (1) Rešetkasti graf G^r ima samo dva retka, dakle $m = 2$.
- (2) Stupčani bridovi E_c imaju cijenu nula u svim scenarijima, dakle $c_e^s = 0$ za sve $e \in E_c$, $s \in S$.
- (3) Skup scenarija S ima kardinalitet samo dva, dakle $|S| = 2$.

Dokaz. Problem 2-particije polinomijalno reduciramo na opisane restrikcije robusnih problema $(RMST)_A$, $(RMST)_D$ i $(RMST)_R$. Pritom za bilo koji primjerak problema 2-particije odgovarajući primjerak robusnog problema zadovoljava te restrikcije. □

Teorem A.8. Ako je u točki (3) prethodnog teorema broj scenarija ograničen konstantom, onda je robusni problem $(RMST)_A$ rješiv u pseudo-polinomijalnom vremenu.

Dokaz. Za opisanu restrikciju robusnog problema $(RMST)_A$ konstruiramo pseudo-polinomijalni algoritam zasnovan na dinamičkom programiranju. □

Teorem A.9. Ako je broj scenarija neograničen, onda robusni problem $(RMST)_A$ postaje jako NP-težak čak i za rešetkasti graf.

Problem 0/1 naprtnjače je NP-težak već i u standardnom slučaju, dakle i u apsolutno robusnoj varijanti s jednim scenarijem. Riječ je o „slaboj” NP-težini jer je rješiv pseudo-polinomijalnim algoritmom dinamičkog programiranja u vremenu $O(nB)$. U slučaju više scenarija problem postaje kompliciraniji, no složenost mu se ne mora znatno povećati.

Teorem A.10. *Ako je broj scenarija ograničen konstantom, onda je robusni problem $(RK_{0/1})_A$ rješiv u pseudo-polinomijalnom vremenu.*

Dokaz. Za opisanu restrikciju robusnog problema $(RK_{0/1})_A$ konstruiramo pseudo-polinomijalni algoritam zasnovan na dinamičkom programiranju.

□

Teorem A.11. *Ako je broj scenarija neograničen, onda robusni problem $(RK_{0/1})_A$ postaje jako NP-težak.*

Dokaz. Jako NP-teški problem skupovnog pokrivača polinomijalno reduciramo na robusni problem $(RK_{0/1})_A$. Pritom dobivamo primjerke robusnog problema kod kojih ne postoji nikakva gornja ograda na broj scenarija.

□

B. Klasično rješavanje standardnih problema u mreži

Standardne probleme u mreži koji se pojavljuju prilikom rješavanja robusnog problema toka minimalne cijene (meta)heuristikama, npr. lokalnim traženjem ili evolucijom, rješavamo *klasičnim algoritmima*. Te algoritme koristimo kao pomoćne metode. Stoga je bitno da se izvršavaju što efikasnije, tj. da je njihova složenost polinomijalna.

Problem minimalnog reza (te ujedno i maksimalnog toka) rješavamo *Ford-Fulkersonovim* algoritmom koji nema polinomijalnu složenost (jer ne ovisi samo o broju vrhova i lukova, nego i o kapacitetima lukova), odnosno *Edmonds-Karpovim* algoritmom koji ima polinomijalnu složenost $O(|V||A|^2)$. Problem maksimalnog toka rješavamo *Dinicevim*, odnosno *Malhotra-Kumar-Maheshwarijevim* (ili *Goldberg-Tarjanovim*) algoritmom koji imaju polinomijalnu složenost $O(|V|^2|A|)$ i $O(|V|^3)$, redom. Problem najkraćeg puta rješavamo *Morojevim breadth-first search* (ili *Tarjanovim depth-first search*), odnosno *Dijkstrinim*, odnosno *Bellman-Fordovim* algoritmom koji imaju polinomijalnu složenost $O(|A|)$, $O(|V|^2)$ i $O(|V||A|)$, redom. Problem negativnog ciklusa rješavamo *Floyd-Warshallovim* algoritmom koji ima polinomijalnu složenost $O(|V|^3)$. Problem jednostavnog ciklusa rješavamo *backtracking depth-first search* algoritmom koji ima polinomijalnu složenost $O(|V|)$.

B.1. Ford-Fulkersonov algoritam

Prema članku [FF57] i knjizi [Jun13], minimalni rez i maksimalni tok tražimo pozivom metode *FordFulkerson*:

FordFulkerson

neka su p_v prethodnik, $s_v \in \{+, -\}$ znak i d_v udaljenost, te (p_v, s_v, d_v) oznaka vrha v
za svaki vrh $v \in V$ u skupu vrhova

neka je vrh v neoznačen i neažuriran

neka je $(p_s, s_s, d_s) \leftarrow (s, -, \infty)$ oznaka izvora s

(*) sve dok postoji označen i neažuriran vrh v

za svaki luk $a \in A$ u skupu lukova s repom v

ako je glava w luka a neoznačena i rezidualni kapacitet $u_a - x_a > 0$ pozitivan

onda je $(p_w, s_w, d_w) \leftarrow (v, +, \min\{u_a - x_a, d_v\})$ oznaka glave w

za svaki luk $a \in A$ u skupu lukova s glavom v

ako je rep w luka a neoznačen i rezidualni kapacitet $x_a > 0$ pozitivan

onda je $(p_w, s_w, d_w) \leftarrow (v, -, \min\{x_a, d_v\})$ oznaka repa w

}

korak označavanja

neka je vrh v ažuriran

ako je ponor t označen

onda neka je vrh $w \leftarrow t$ ponor i $d \leftarrow d_w$ udaljenost vrha w

sve dok vrh $w \neq s$ nije izvor

ako je $s_w = +$ znak vrha w

onda je $x_a \leftarrow x_a + d$ tok luka $a = (p_w, w)$

inače je $x_a \leftarrow x_a - d$ tok luka $a = (w, p_w)$

neka je $w \leftarrow p_w$ prethodnik vrha w

za svaki vrh $v \neq s$ osim izvora

(**) neka je vrh v neoznačen i neažuriran

neka je $(T)S$ skup (ne)označenih vrhova koji sadrži (ponor)izvor $(t)s$

tada je (S, T) minimalni rez i \mathbf{x} maksimalni tok

Definicija B.1. *Rez mreže* $G = (V, A)$ je uređen par (S, T) gdje su $S \subset V$ i $T \subset V$, $S \cap T = \emptyset$, dva disjunktna podskupa od V koji sadrže izvor $s \in S$, odnosno ponor $t \in T$ te čija je unija čitav skup vrhova $V = S \cup T$.

Kapacitet reza definiramo kao: $u_{(S,T)} := \sum_{v_i \in S, v_j \in T} u_{(v_i, v_j)}$.

Rez (S, T) je **minimalni rez** ako nejednakost $u_{(S,T)} \leq u_{(S', T')}$ vrijedi za svaki rez (S', T') .

Teorem B.2 (o maksimalnom toku i minimalnom rezu). *Za bilo koju mrežu vrijednost maksimalnog toka je jednaka kapacitetu minimalnog reza od svih rezova koji odvajaju izvor od ponora.*

Dokaz. Tvrdnja je dokazana u knjizi [Car79], stranice 211-212. □

Teorem B.3. *Neka su kapaciteti lukova cjelobrojni. Tada metoda FordFulkerson određuje minimalni rez i maksimalni tok pri čemu je kapacitet minimalnog reza jednak vrijednosti maksimalnog toka.*

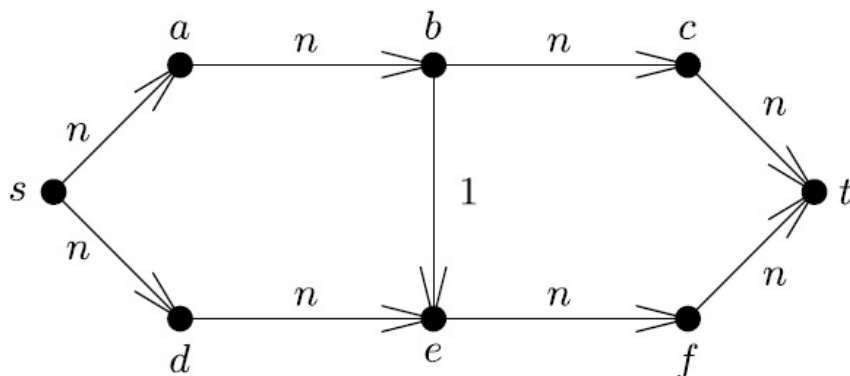
Dokaz. Tvrdnja slijedi iz dokaza teorema 3.3 i 3.10 u knjizi [Jun13], stranice 165-166. \square

Napomena B.4. *Metoda FordFulkerson će se izvršiti u slučaju cjelobrojnih kapaciteta lukova. Međutim, ako u liniji (*) vrh v odaberemo na neodgovarajući način, onda se metoda FordFulkerson ne mora izvršiti u slučaju iracionalnih kapaciteta lukova. Primjeri za to su dani u knjizi [FF62], za 10 vrhova i 48 bridova, te članku [Zwi95], za 6 vrhova i 8 bridova.*

Napomena B.5. *Klasični algoritmi za rješavanje problema minimalnog reza (Ford-Fulkerson, Edmonds-Karp) i maksimalnog toka (Dinic, Malhotra-Kumar-Maheshwari), osim po složenosti, se razlikuju jedino po tome što algoritmi za traženje minimalnog reza eksplicitno pronalaze minimalni rez i maksimalni tok, dok algoritmi za traženje maksimalnog toka eksplicitno pronalaze samo maksimalni tok.*

Napomena B.6. *Metoda FordFulkerson nije polinomijalne složenosti - broj uvećanja ne ovisi samo o broju vrhova i lukova, nego i o kapacitetima lukova. Međutim, ako malo izmijenimo algoritam na način da uvijek koristimo put uvećavajućeg toka najmanje duljine po broju lukova, onda dobivamo metodu polinomijalne složenosti.*

Primjer B.7. *Neka je rezidualna mreža oblika:*



SLIKA B.1. Rezidualna mreža.

Ako koristimo puteve (s, a, b, e, f, t) i (s, d, e, b, c, t) uvećavajućeg toka, onda vrijednost toka uvećavamo samo za jedan u svakom koraku pa trebamo $2n$ iteracija. Međutim, ako koristimo puteve (s, a, b, c, t) i (s, d, e, f, t) uvećavajućeg toka, onda vrijednost toka uvećavamo za n u svakom koraku pa trebamo samo dvije iteracije.

B.2. Edmonds-Karpov algoritam

Prema članku [EK72] i knjizi [Jun13], minimalni rez i maksimalni tok tražimo pozivom metode *EdmondsKarp*:

EdmondsKarp

zamijeni u metodi *FordFulkerson* liniju (*) linijama:
 sve dok postoji označen i neažuriran vrh
 neka je vrh v označen prvi

Prema napomeni B.6, metoda *FordFulkerson* nije polinomijalne složenosti. Međutim, ako malo izmijenimo algoritam na način da uvijek koristimo put uvećavajućeg toka najmanje duljine po broju lukova, onda dobivamo metodu *EdmondsKarp* polinomijalne složenosti. Kako bi koristili put uvećavajućeg toka najmanje duljine po broju lukova, to odabiremo neažuriran vrh označen prvi.

Teorem B.8. *Metoda EdmondsKarp ima polinomijalnu složenost $O(|V||A|^2)$.*

Dokaz. Tvrdnja je dokazana u knjizi [Jun13], stranice 170-171. □

Napomena B.9. *Kako broj lukova leži između $O(|V|)$ i $O(|V|^2)$, to složenost algoritma leži između $O(|V|^3)$ za rijetke grafove, tj. za $|A| = O(|V|)$, i $O(|V|^5)$ za guste grafove, tj. za $|A| = O(|V|^2)$.*

Primjeri mreža s n vrhova i $O(n^2)$ lukova za koje algoritmu treba $O(n^3)$ iteracija su dani u člancima [Zad72, Zad73].

Napomena B.10. *Između iteracija mnoge oznake mijenjamo rijetko. Kako u liniji (**) metode *FordFulkerson* uklanjamo sve oznake vrha nakon svake promjene toka, to provodimo mnogo nepotrebnog računanja. Stoga efikasnije algoritme dobivamo spajanjem iteracija (promjena toka) u veće cjeline, tzv. faze. Zbog toga koristimo puteve uvećavajućeg toka jednake duljine u jednom bloku, odnosno konstruiramo blokovni tok u slojevitoj rezidualnoj mreži.*

Napomena B.11. Ako uvijek odaberemo put uvećavajućeg toka maksimalnog kapaciteta, onda tok moramo promijeniti najviše $O(\log F)$ puta, gdje je F vrijednost maksimalnog toka. Iako ne znamo F unaprijed, lako odredimo broj potrebnih koraka za ovakvu metodu, budući da je očito F ograničen s

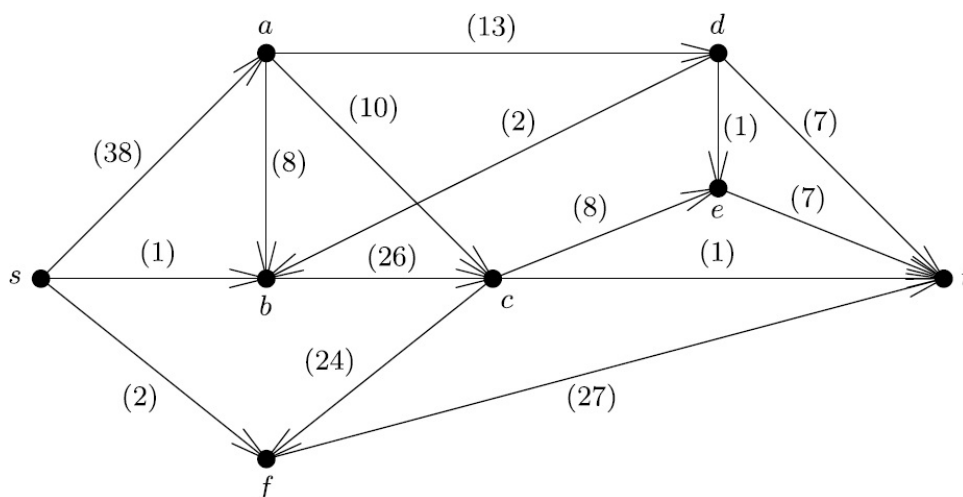
$$f = \min\left\{\sum_{v_i=s} u_{(v_i,v_j)}, \sum_{v_j=t} u_{(v_i,v_j)}\right\}.$$

Kako ograda ovisi o kapacitetima lukova, to ne dobivamo algoritam polinomijalne složenosti. Svejedno, ovakva metoda je praktičnija za primjere u kojima je ograda mala.

Napomena B.12. U teoriji, korištenjem puteva uvećavajućeg toka koji ne sadrže lukove unatrag dobivamo maksimalni tok u najviše $O(|A|)$ iteracija. Kako ne postoji algoritam koji radi samo s takvim putevima, to ovakva metoda nije od praktičnog interesa.

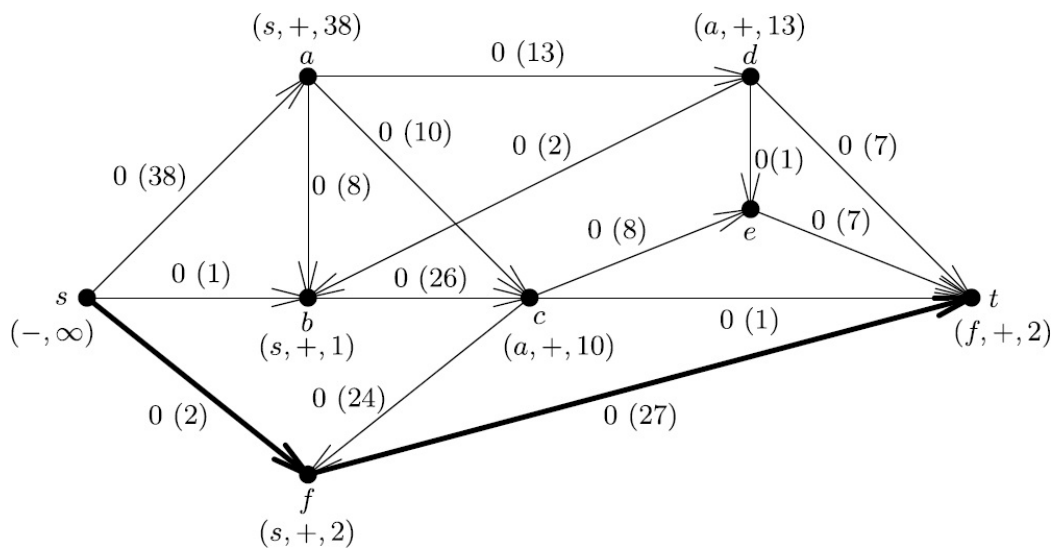
Primjer B.13. Odredimo metodom EdmondsKarp minimalni rez i maksimalni tok u polaznoj mreži. Kapacitete lukova zapisujemo unutar zagrada, vrijednosti tokova po lukovima izvan zagrada, a oznake vrhova (uređene trojke) unutar zagrada. U koraku označavanja susjedne vrhove razmatramo abecednim redom da bi izvršavali algoritam na jedinstven način. Put uvećavajućeg toka kojeg koristimo za konstrukciju toka u idućem koraku, kao i minimalni rez kojeg dobivamo u zadnjem koraku, ističemo podebljano.

Neka je polazna mreža oblika:

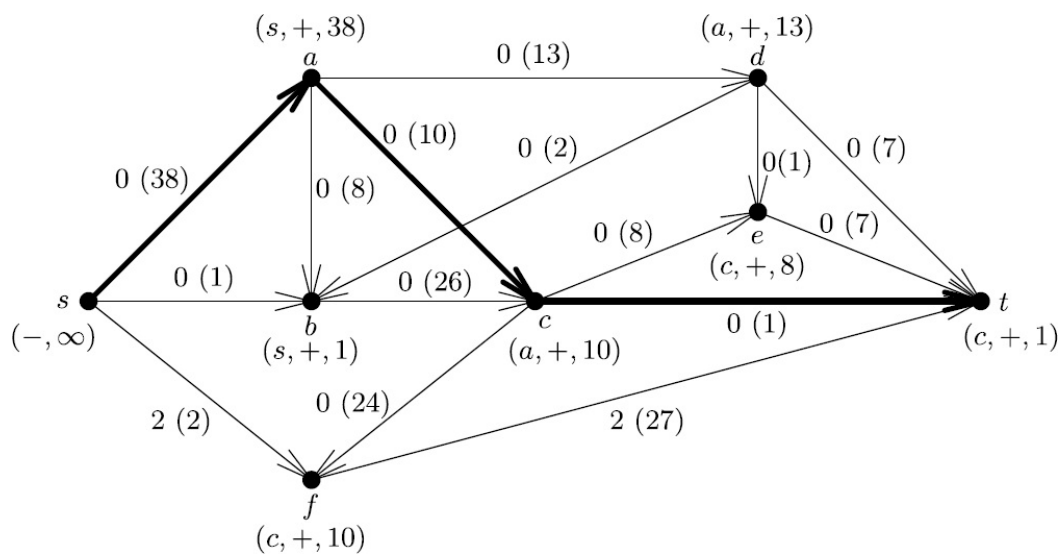


SLIKA B.2. Polazna mreža.

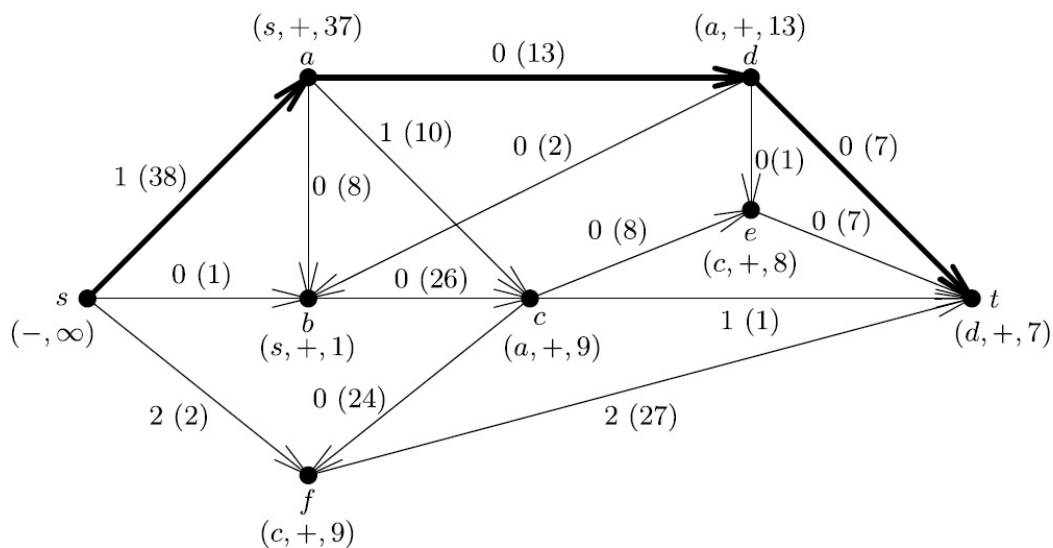
U prvom koraku započinjemo praznim tokom \mathbf{x}_0 s vrijednošću $f_0 = 0$. Vrhove mreže označavamo redom a, b, f, c, d, t. Vrh e ne označavamo jer ponor t je dosegnut prije nego je e razmotren.



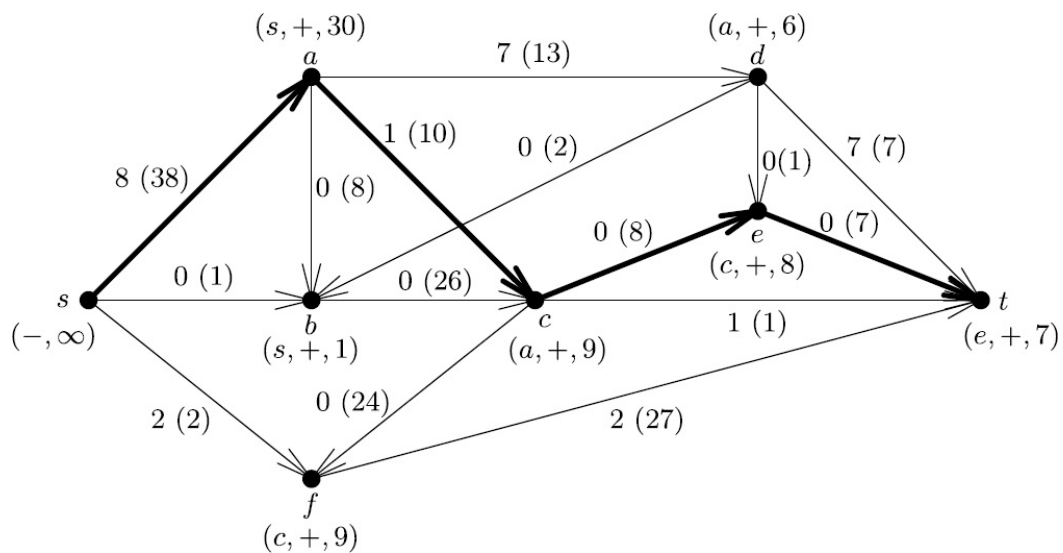
SLIKA B.3. $f_0 = 0$.



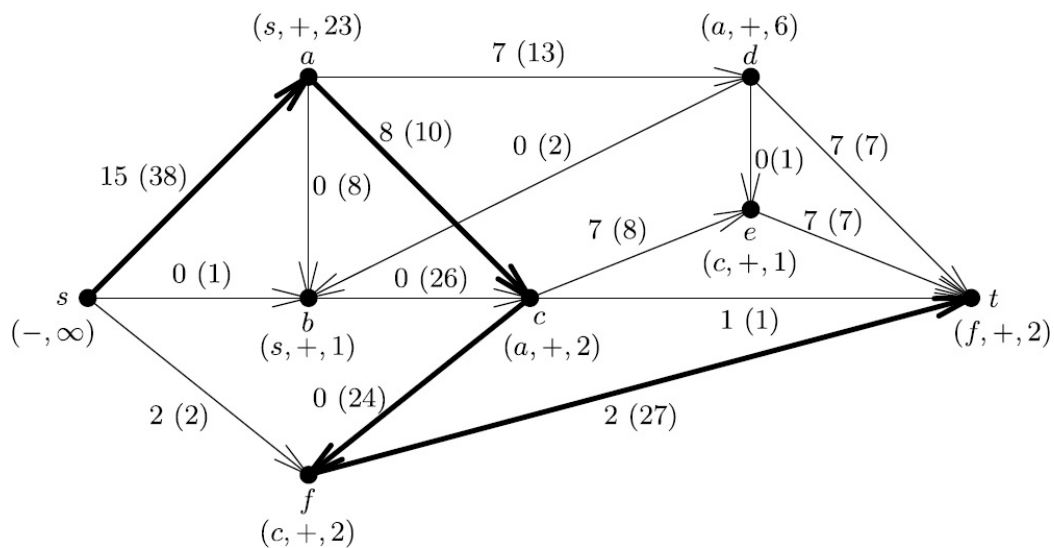
SLIKA B.4. $f_1 = 2$.



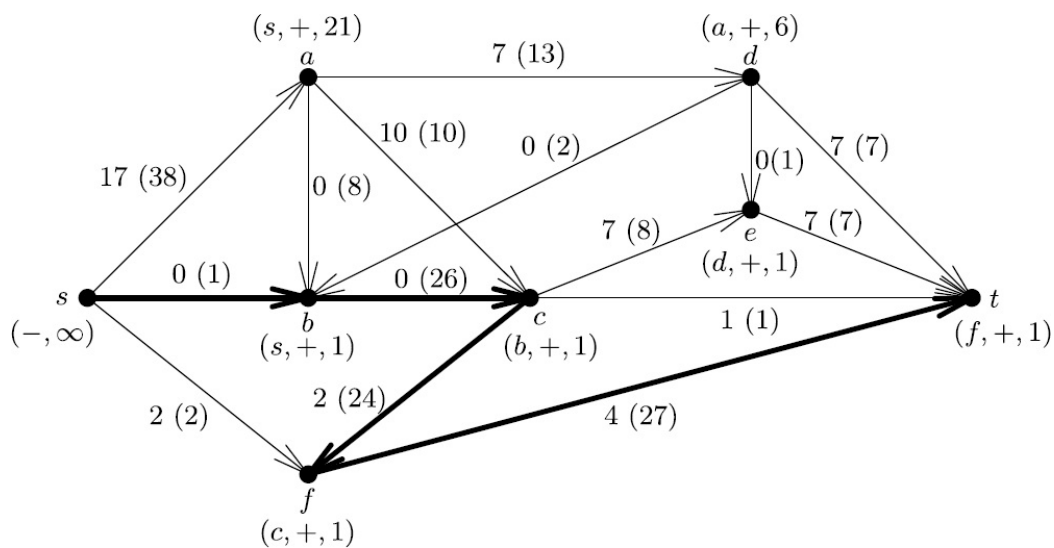
SLIKA B.5. $f_2 = 3$.



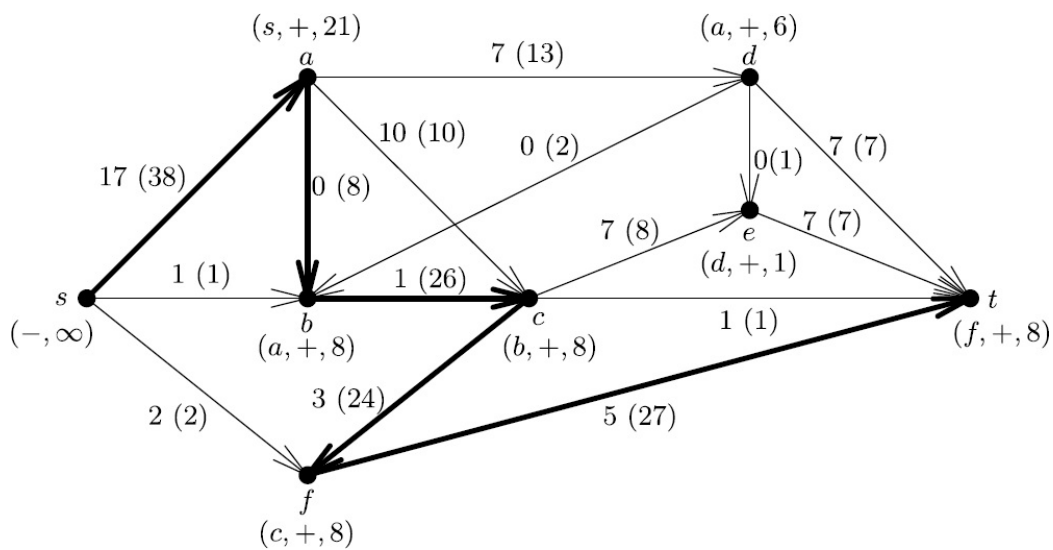
SLIKA B.6. $f_3 = 10$.



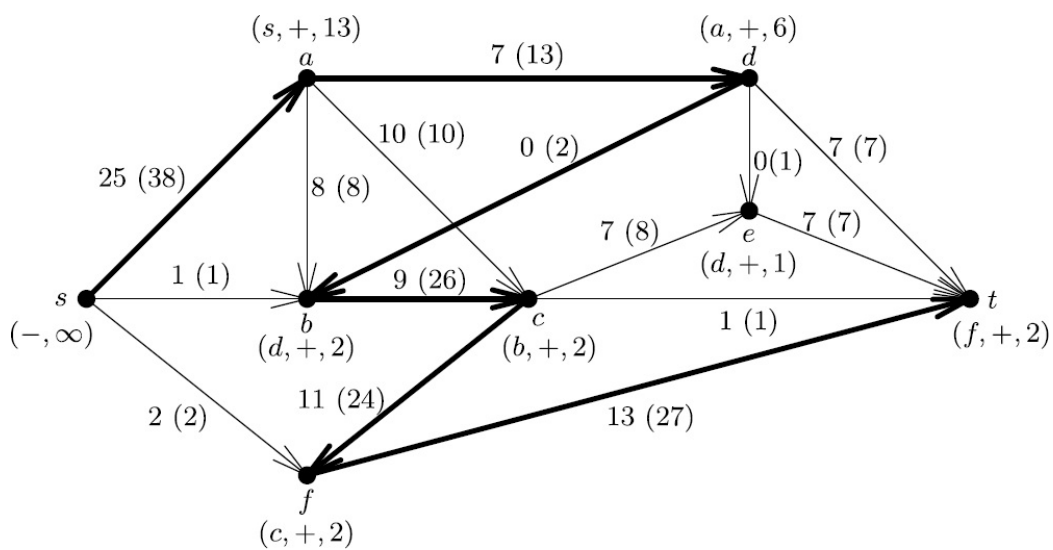
SLIKA B.7. $f_4 = 17$.



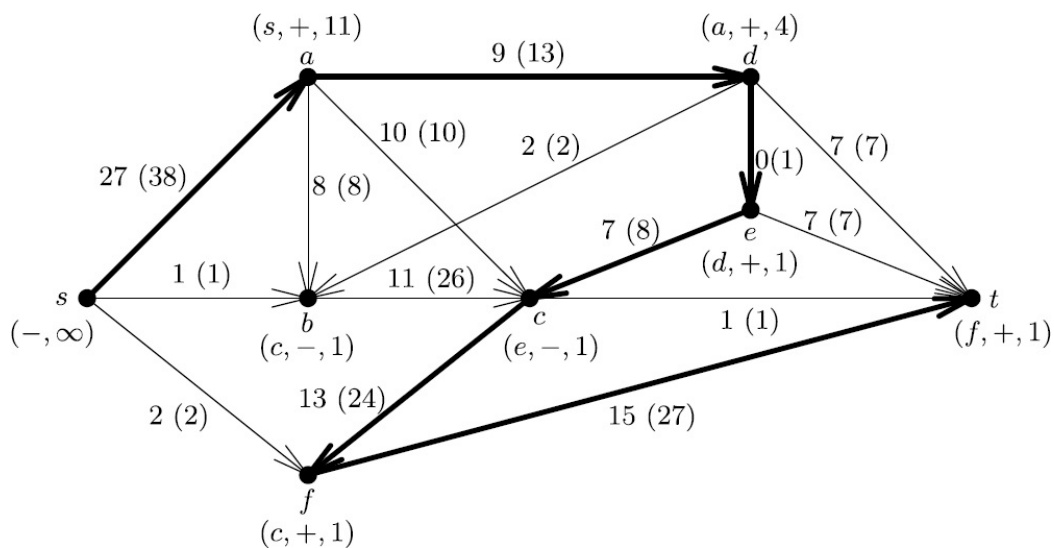
SLIKA B.8. $f_5 = 19$.



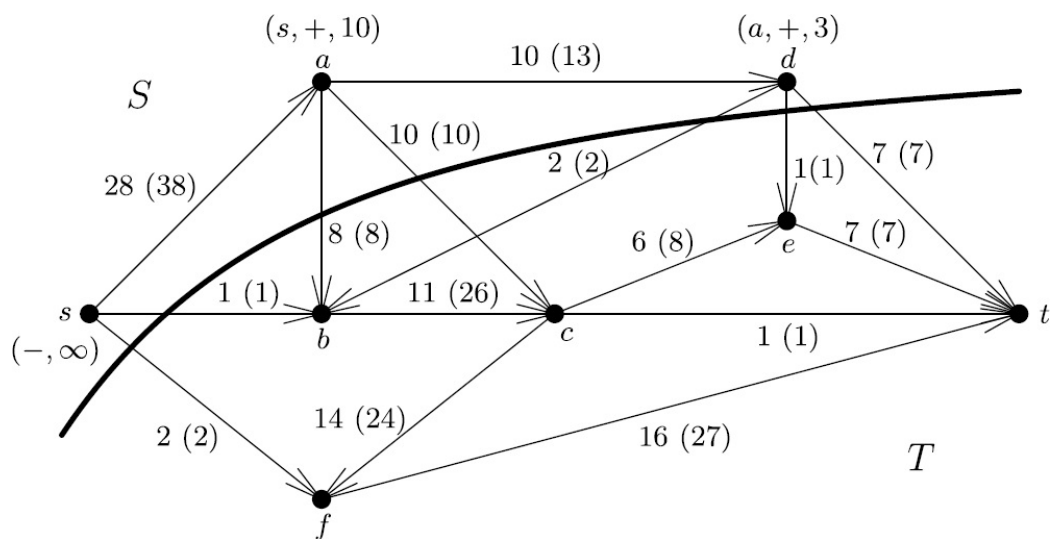
SLIKA B.9. $f_6 = 20$.



SLIKA B.10. $f_7 = 28$.



SLIKA B.11. $f_8 = 30$.



SLIKA B.12. $f_9 = 31 = u_{(S,T)}$.

B.3. Dinicev algoritam

Prema članku [Din70] i knjizi [Jun13], blokovni tok tražimo pozivom metode *Dinic*:

Dinic

za svaki luk a u slojevitoj rezidualnoj mreži
 neka je tok $x_a \leftarrow 0$ luka a nula
 sve dok je ponor $t \in V_d$ u sloju
 neka je vrh $w \leftarrow t$ ponor i duljina $l \leftarrow \infty$ nedefinirana
 za indeks j od d do 1
 (*)neka je $a_j \leftarrow (v, w)$ luk u slojevitoj rezidualnoj mreži s glavom w i repom v
 neka je $l \leftarrow \min\{u_{a_j}, l\}$ duljina i $w \leftarrow v$ vrh u slojevitoj rezidualnoj mreži
 za indeks i od 1 do d
 neka je $x_{a_i} \leftarrow x_{a_i} + l$ rezidualni tok luka a_i
 neka je $u_{a_i} \leftarrow u_{a_i} - l$ rezidualni kapacitet luka a_i
 ako je rezidualni kapacitet $u_{a_i} = 0$ luka a_i nula
 onda obriši luk a_i iz slojevite rezidualne mreže
 za indeks i od 1 od d
 za svaki vrh $v \in V_i$ u sloju
 ako je tzv. ulazni potencijal toka $p_v^+ = 0$ vrha v nula
 onda obriši vrh v iz sloja V_i
 za svaki luk $a \in A_x^l$ u skupu lukova s repom v
 obriši luk a iz skupa lukova A_x^l

Algoritam započinjemo praznim tokom u slojevitoj rezidualnoj mreži. Konstruiramo puteve uvećavajućeg toka duljine d pri čemu je $d + 1$ broj slojeva u slojevitoj rezidualnoj mreži. Mijenjamo tok konstruiranim putevima uvećavajućeg toka sve dok ponor nije dohvatljiv izvorom, tj. sve dok tok nije blokovni.

Dinicev algoritam ima dvije prednosti u odnosu na Edmonds-Karpov algoritam:

- (1) Konstruiranjem slojevite rezidualne mreže promatramo samo one puteve uvećavajućeg toka bez lukova unatrag, budući da put uvećavajućeg toka s lukom unatrag ima duljinu $d + 2$.
- (2) Povećanjem trenutnog toka u slojevitoj rezidualnoj mreži trebamo smanjiti samo kapacitet lukova sadržanih u razmatranom putu uvećavajućeg toka te obrisati nepotrebne vrhove i lukove.

Posebno, ne moramo izvršavati opet korak označavanja.

Teorem B.14. *Metoda Dinic ima polinomijalnu složenost $O(|V||A|)$.*

Dokaz. Tvrdnja je dokazana u knjizi [Jun13], stranica 187. □

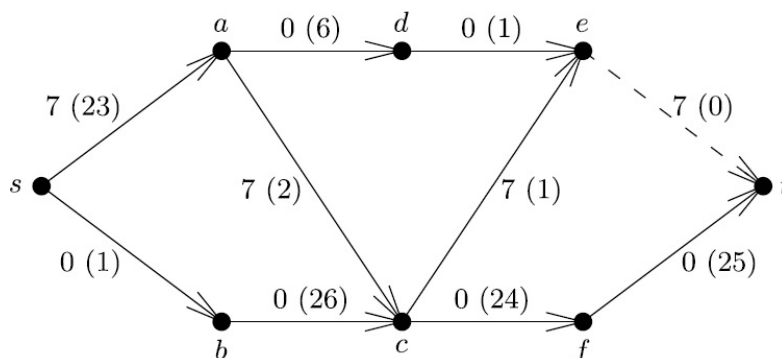
Korolar B.15. Neka je pozvana metoda Dinic. Tada metoda MaksimizirajTok ima polinomijalnu složenost $O(|V|^2|A|)$.

Dokaz. Tvrdnja slijedi iz leme 3.24 i prethodnog teorema. \square

Napomena B.16. Složenost Dinicevog algoritma je $O(|V|^4)$ za guste grafove, dok složenost Edmonds-Karpovog algoritma je $O(|V|^5)$ za guste grafove, prema napomeni B.9.

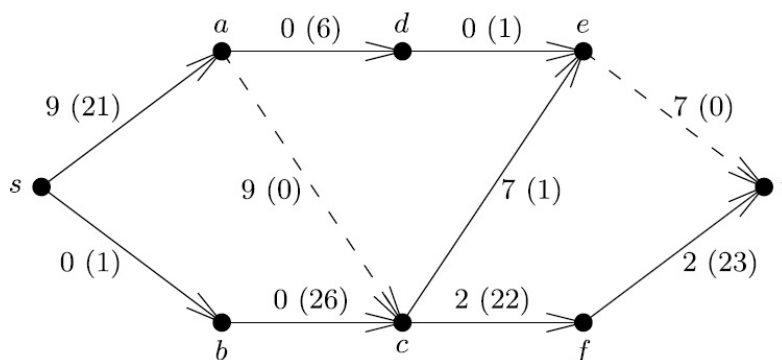
Primjer B.17. Neka je \mathbf{x}_3 tok u primjeru B.13 s vrijednošću $f_3 = 10$. Tada je odgovarajuća slojevita rezidualna mreža $G_{\mathbf{x}_3}^l$ oblika iz primjera 3.14. Neka u liniji (*) uvijek odaberemo luk (v, w) u slojevitoj rezidualnoj mreži takav da je vrh v prvi po abecednom redu. Tada algoritam postaje deterministički. Kapacitete koji su promijenjeni tada kad je tok promijenjen zapisujemo u zagradama.

U prvom koraku konstruiramo put (s, a, c, e, t) kapaciteta 7. Brišemo luk (e, t) kojeg ističemo iscrtkano. Dobivamo tok \mathbf{x}'_1 s vrijednošću $f'_1 = 7$.



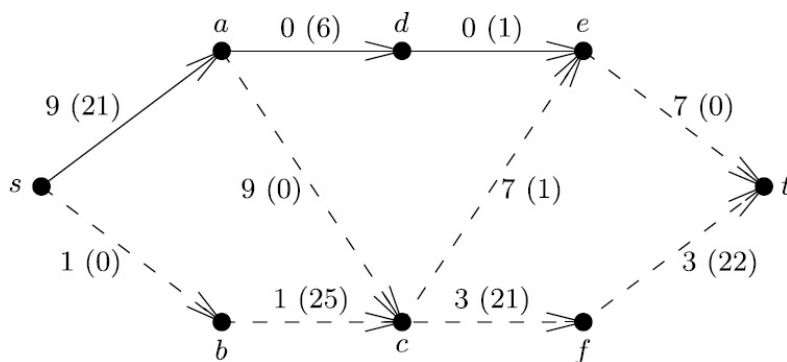
SLIKA B.13. $f'_1 = 7$.

U drugom koraku konstruiramo put (s, a, c, f, t) kapaciteta 2. Brišemo luk (a, c) . Dobivamo tok \mathbf{x}'_2 s vrijednošću $f'_2 = 9$.



SLIKA B.14. $f'_2 = 9$.

U zadnjem koraku konstruiramo put (s, b, c, f, t) kapaciteta 1. Brišemo redom luk (s, b) , vrh b , luk (b, c) , vrh c , lukove (c, e) i (c, f) , vrh f , luk (f, t) , te ponor t . Dobivamo blokovni tok \mathbf{x}'_3 s vrijednošću $f'_3 = 10$ koji je jednak toku dobivenom u primjeru 3.14.



SLIKA B.15. $f'_3 = 10$.

B.4. Malhotra-Kumar-Maheshwarijev algoritam

Prema članku [MKM78] i knjizi [Jun13], blokovni tok tražimo pozivom metode *MalhotraKumarMaheshwari*:

MalhotraKumarMaheshwari

za svaki luk a u slojevitoj rezidualnoj mreži
 neka je tok $x_a \leftarrow 0$ luka a nula

za svaki vrh v u slojevitoj rezidualnoj mreži
 ako je vrh $v = s$ izvor
 onda je ulazni potencijal toka $p_v^+ \leftarrow \infty$ vrha v nedefiniran
 inače je ulazni potencijal toka $p_v^+ \leftarrow \sum_{(w,v)} u_{(w,v)}$ vrha v zbroj rezidualnih kapaciteta

ako je vrh $v = t$ ponor
 onda je izlazni potencijal toka $p_v^- \leftarrow \infty$ vrha v nedefiniran
 inače je izlazni potencijal toka $p_v^- \leftarrow \sum_{(v,w)} u_{(v,w)}$ vrha v zbroj rezidualnih kapaciteta

sve dok su izvor $s \in V_0$ i ponor $t \in V_d$ u slojevima
 sve dok postoji luk $a \in A_{\mathbf{x}}^l$ u skupu lukova
 s praznim rezidualnim kapacitetom $u_a = 0$
 obriši luk a iz skupa lukova $A_{\mathbf{x}}^l$

sve dok postoji vrh $v \in V_{\mathbf{x}}^l$ u skupu vrhova
 s praznim ulaznim ili izlaznim potencijalima toka $p_v^+ = 0$ ili $p_v^- = 0$
 za svaki luk $a \in A_{\mathbf{x}}^l$ u skupu lukova s repom v
 ako je vrh w glava luka a
 onda je $p_w^+ \leftarrow p_w^+ - u_a$ ulazni potencijal toka glave w
 obriši luk a iz skupa lukova $A_{\mathbf{x}}^l$

za svaki luk $a \in A_{\mathbf{x}}^l$ u skupu lukova s glavom v
 ako je vrh w rep luka a
 onda je $p_w^- \leftarrow p_w^- - u_a$ izlazni potencijal toka repa w
 obriši luk a iz skupa lukova $A_{\mathbf{x}}^l$
 obriši vrh v iz skupa vrhova $V_{\mathbf{x}}^l$

za svaki vrh v u slojevitoj rezidualnoj mreži
 neka je $p_v \leftarrow \min\{p_v^+, p_v^-\}$ potencijal toka vrha v
 neka je $w \in V_{\mathbf{x}}^l$ vrh u skupu vrhova
 s minimalnim potencijalom toka $p_w = \min_{v \in V_{\mathbf{x}}^l} \{p_v\}$
 neka je $b_w \leftarrow p_w$ vrijednost toka vrha w
 poguraj tok od vrha w do ponora t pozivom metode *PogurajTok*
 povuci tok od vrha w do izvora s pozivom metode *PovuciTok*

Glavna ideja algoritma je da konstruiramo tok s vrijednošću p_v tako da guramo tok od vrha v do ponora t i vučemo tok od vrha v do izvora s .

Tok poguramo prema ponoru pozivom metode *PogurajTok*:

PogurajTok

za svaki vrh $v \in V_{\mathbf{x}}^l, v \neq w$ u skupu vrhova, osim vrha w
 neka je vrijednost toka $b_v \leftarrow 0$ vrha v nula
 neka se vezana lista vrhova $V_l \leftarrow \{w\}$ sastoji od vrha w
 sve dok vezana lista vrhova $V_l \neq \emptyset$ nije prazna
 neka je $v \in V_l$ prvi vrh u vezanoj listi vrhova
 ukloni vrh v s početka vezane liste vrhova V_l } *RemoveFirst(v)*
 sve dok vrh $v \neq t$ nije ponor i vrijednost toka $b_v \neq 0$ vrha v nije nula
 neka je $a \in A_{\mathbf{x}}^l$ luk u skupu lukova s glavom u i repom v
 neka je $l \leftarrow \min\{u_a, b_v\}$ duljina
 tada su $u_a \leftarrow u_a - l$ rezidualni kapacitet luka a
 $x_a \leftarrow x_a + l$ rezidualni tok luka a
 $p_u^+ \leftarrow p_u^+ - l$ ulazni potencijal toka glave u
 $b_u \leftarrow b_u + l$ vrijednost toka glave u
 $p_v^- \leftarrow p_v^- - l$ izlazni potencijal toka repa v
 $b_v \leftarrow b_v - l$ vrijednost toka repa v
 dodaj glavu u na kraj vezane liste vrhova V_l } *AddLast(u)*
 ako je rezidualni kapacitet $u_a = 0$ luka a nula
 onda obriši luk a iz skupa lukova $A_{\mathbf{x}}^l$

Tok povučemo prema izvoru pozivom metode *PovuciTok*:

PovuciTok

za svaki vrh $v \in V_{\mathbf{x}}^l, v \neq w$ u skupu vrhova, osim vrha w
 neka je vrijednost toka $b_v \leftarrow 0$ vrha v nula
 neka se vezana lista vrhova $V_l \leftarrow \{w\}$ sastoji od vrha w
 sve dok vezana lista vrhova $V_l \neq \emptyset$ nije prazna
 neka je $v \in V_l$ prvi vrh u vezanoj listi vrhova
 ukloni vrh v s početka vezane liste vrhova V_l } *RemoveFirst(v)*
 sve dok vrh $v \neq s$ nije izvor i vrijednost toka $b_v \neq 0$ vrha v nije nula
 neka je $a \in A_{\mathbf{x}}^l$ luk u skupu lukova s glavom v i repom u
 neka je $l \leftarrow \min\{u_a, b_v\}$ duljina
 tada su $u_a \leftarrow u_a - l$ rezidualni kapacitet luka a
 $x_a \leftarrow x_a + l$ rezidualni tok luka a
 $p_u^- \leftarrow p_u^- - l$ izlazni potencijal toka repa u
 $b_u \leftarrow b_u + l$ vrijednost toka repa u
 $p_v^+ \leftarrow p_v^+ - l$ ulazni potencijal toka glave v
 $b_v \leftarrow b_v - l$ vrijednost toka glave v
 dodaj rep u na kraj vezane liste vrhova V_l } *AddLast(u)*
 ako je rezidualni kapacitet $u_a = 0$ luka a nula
 onda obriši luk a iz skupa lukova $A_{\mathbf{x}}^l$

Definicija B.18. Neka je $G_{\mathbf{x}}^l = (V_{\mathbf{x}}^l, A_{\mathbf{x}}^l)$ slojevita rezidualna mreža i $v \in V_{\mathbf{x}}^l$ vrh u skupu vrhova. Tada:

- (1) **ulazni potencijal toka** vrha v definiramo kao $p_v^+ := \sum_{(w,v)} u_{(w,v)}$,
- (2) **izlazni potencijal toka** vrha v definiramo kao $p_v^- := \sum_{(v,w)} u_{(v,w)}$,
- (3) **potencijal toka** vrha v definiramo kao $p_v := \min\{p_v^+, p_v^-\}$,
- (4) **minimalni potencijal toka** vrha v definiramo kao $p_v := \min_{w \in V_{\mathbf{x}}^l} \{p_w\}$.

Teorem B.19. Metoda MalhotraKumarMaheshwari ima polinomijalnu složenost $O(|V|^2)$.

Dokaz. Tvrdnja je dokazana u knjizi [Jun13], stranice 191-192. □

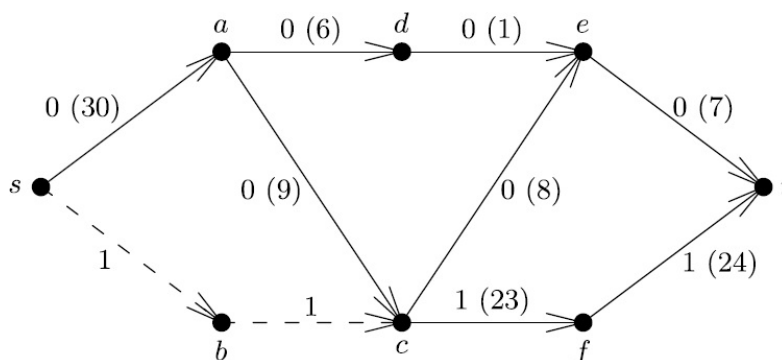
Korolar B.20. Neka je pozvana metoda MalhotraKumarMaheshwari. Tada metoda MaksimizirajTok ima polinomijalnu složenost $O(|V|^3)$.

Dokaz. Tvrdnja slijedi iz leme 3.24 i prethodnog teorema. □

Napomena B.21. Složenost Malhotra-Kumar-Maheshwarijevog algoritma je $O(|V|^3)$ za guste grafove, dok složenost Dinicevog algoritma je $O(|V|^4)$ za guste grafove, prema napomeni B.16.

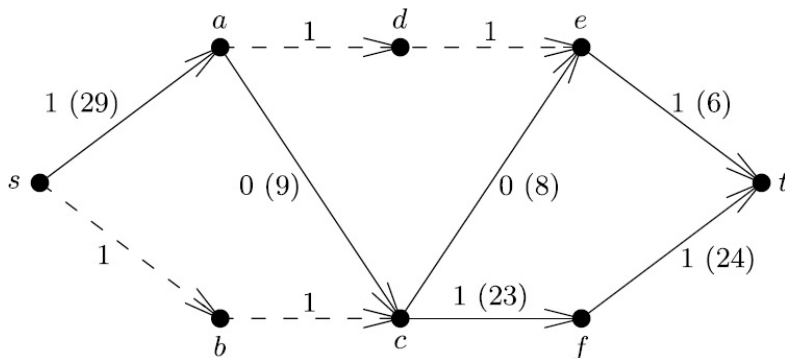
Primjer B.22. Neka je \mathbf{x}_3 tok u primjeru B.13 s vrijednošću $f_3 = 10$. Tada je odgovarajuća slojevita rezidualna mreža $G_{\mathbf{x}_3}^l$ oblika iz primjera 3.14.

Potencijali toka su $p_s = 31$, $p_a = 15$, $p_b = 1$, $p_c = 32$, $p_d = 1$, $p_e = 7$, $p_f = 24$, $p_t = 32$, a vrh s minimalnim potencijalom toka neka je b . U prvom koraku dobivamo tok \mathbf{x}'_1 s vrijednošću $f'_1 = 1$. Brišemo vrh b , te lukove (s, b) i (b, c) koje ističemo iscrtkano.

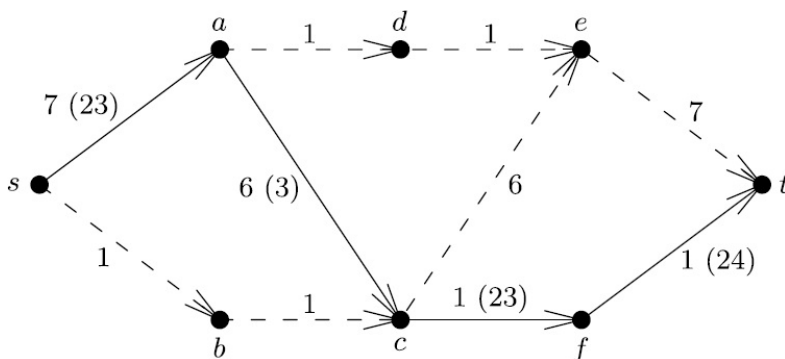


SLIKA B.16. $f'_1 = 1$.

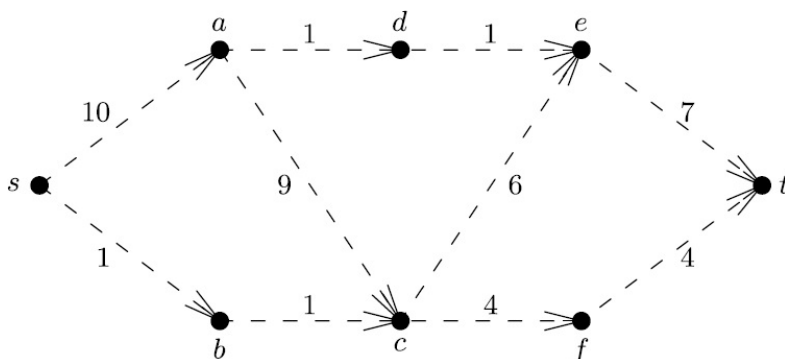
Potencijali toka su $p_s = 30$, $p_a = 15$, $p_c = 9$, $p_d = 1$, $p_e = 7$, $p_f = 23$, $p_t = 31$, a vrh s minimalnim potencijalom toka je d . U drugom koraku dobivamo tok \mathbf{x}'_2 s vrijednošću $f'_2 = 2$. Brišemo vrh d , te lukove (a, d) i (d, e) .

SLIKA B.17. $f'_2 = 2$.

Potencijali toka su $p_s = 29$, $p_a = 9$, $p_c = 9$, $p_e = 6$, $p_f = 23$, $p_t = 30$, a vrh s minimalnim potencijalom toka je e . U trećem koraku dobivamo tok \mathbf{x}'_3 s vrijednošću $f'_3 = 8$. Brišemo vrh e , te lukove (c, e) i (e, t) .

SLIKA B.18. $f'_3 = 8$.

Potencijali toka su $p_s = 23$, $p_a = 3$, $p_c = 3$, $p_f = 23$, $p_t = 24$, a vrh s minimalnim potencijalom toka neka je a . U zadnjem koraku dobivamo blokovni tok \mathbf{x}'_4 s vrijednošću $f'_4 = 11$ koji je različit od blokovnog toka dobivenog u primjeru B.17. Brišemo sve preostale vrhove i lukove.

SLIKA B.19. $f'_4 = 11$.

Prema članku [GT88] i knjizi [Jun13], maksimalni tok tražimo još Goldberg-Tarjanovim algoritmom. Prethodni algoritmi konstruiraju maksimalni tok iterativnim uvećanjem početnog (obično praznog) toka, ili duž jednog puta uvećavajućeg toka ili u fazama određenima blokovnim tokovima u slojevitim rezidualnim mrežama. Goldberg-Tarjanov algoritam konstruira maksimalni tok korištenjem tzv. predtokova - preslikavanja koja dopuštaju tzv. višak toka - svojstvo u kojem količina toka koja ulazi u vrh smije biti veća od količine toka koja izlazi iz vrha. To svojstvo je očuvano sve do samog kraja izvršavanja kad predtok postaje tok koji je tada već maksimalan. Pretpostavljamo da je mreža simetrična - ako je a_{ij} luk, onda je i a_{ji} luk.

Glavna ideja algoritma je da poguramo tok iz vrhova s viškom toka u ponor putevima koji nisu nužno najkraći putevi od izvora do ponora nego samo trenutne procjene takvih puteva. Naravno, moguće je da višak toka ne možemo pogurati iz nekog vrha. U tom slučaju vraćamo tok unatrag do izvora pogodnim putem. Goldberg-Tarjanov algoritam ima polinomijalnu složenost $O(|V|^3)$ u inačici guranja predtoka FIFO (eng. first in, first out) redosljedom, odnosno $O(|V|^2|A|^{\frac{1}{2}})$ u inačici guranja predtoka najviše oznake.

Napomena B.23. *Složenost Goldberg-Tarjanovog algoritma u inačici guranja predtoka najviše oznake je $O(|V|^{\frac{3}{2}})$ za rijetke grafove, dok složenost Malhotra-Kumar-Maheshwarijevog algoritma je $O(|V|^3)$ za rijetke grafove.*

B.5. Mooreov BFS algoritam, Tarjanov DFS algoritam

Prema članku [Moo59] i knjizi [Jun13], najkraći put u mreži s duljinama 1, tj. s udaljenostima po broju lukova tražimo pozivom metode *MooreBFS*:

MooreBFS

neka je udaljenost $d_s \leftarrow 0$ izvora s nula
 za svaki vrh $v \in V, v \neq s$ u skupu vrhova, osim izvora s
 neka je udaljenost $d_v \leftarrow \infty$ vrha v nedefinirana
 neka se red vrhova $V_q \leftarrow \{s\}$ sastoji od izvora s
 sve dok red vrhova $V_q \neq \emptyset$ nije prazan

neka je $v \in V_q$ prvi vrh u redu vrhova } *Dequeue*(v)
 obriši vrh v s početka reda vrhova V_q }

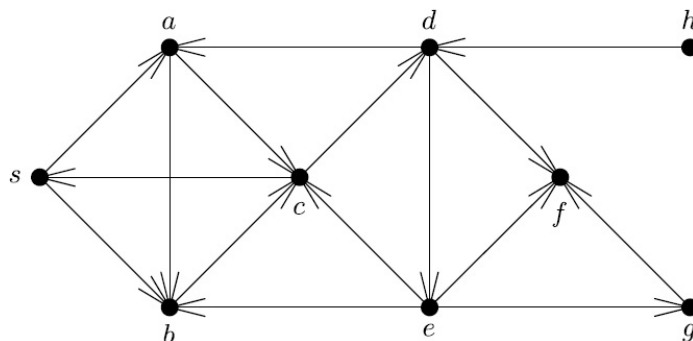
za svaki luk $a \in A$ u skupu lukova s repom v
 neka je vrh w glava luka a
 ako je udaljenost $d_w = \infty$ glave w nedefinirana
 onda su $d_w \leftarrow d_v + 1$ udaljenost i $p_w \leftarrow v$ prethodnik glave w

umetni glavu w na kraj reda vrhova V_q } *Enqueue*(v)

Teorem B.24. Metoda *MooreBFS* ima polinomijalnu složenost $O(|A|)$.

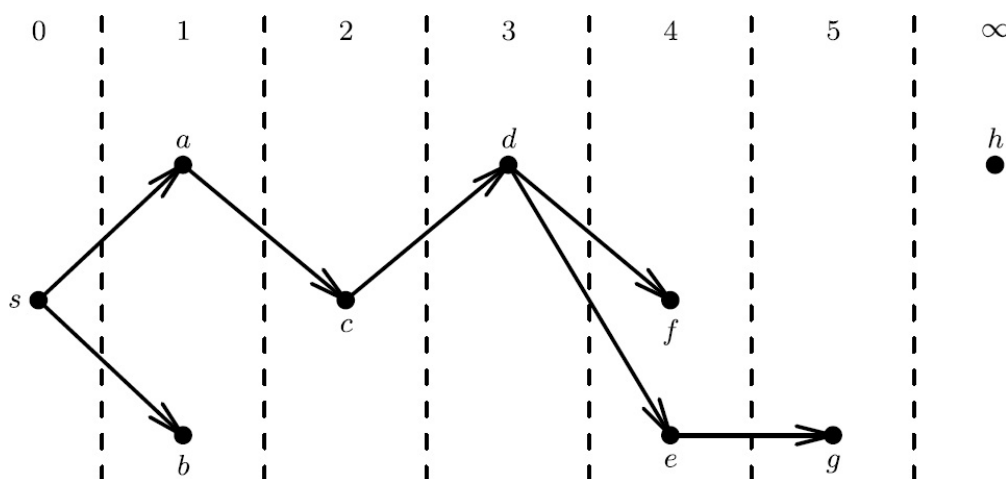
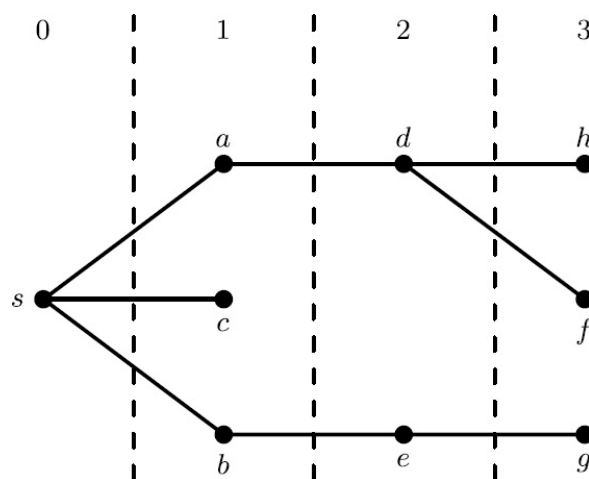
Dokaz. U petlji se svaki luk razmatra najviše jedanput. □

Primjer B.25. Neka je usmjerena mreža \vec{G} oblika:



SLIKA B.20. Usmjerena mreža \vec{G} .

Vrhove razmatramo abecednim redom da bi izvršavali algoritam na jedinstven način. Vrhove crtamo po razinama prema udaljenosti od izvora, te lukove s već označenim glavama uklanjamo, radi preglednosti. Stoga je sve što vidimo od neusmjerene mreže razapinjuće stablo, odnosno razapinjuća podmreža usmjerene mreže koja je stablo. Očekivano, udaljenosti u \vec{G} i G nisu jednake. Međutim, uvijek vrijedi $\vec{d}_{(s,t)} \geq d_{(s,t)}$.

SLIKA B.21. BFS-stablo \vec{T}_b usmjerene mreže \vec{G} .SLIKA B.22. BFS-stablo T_b neusmjerene mreže G .

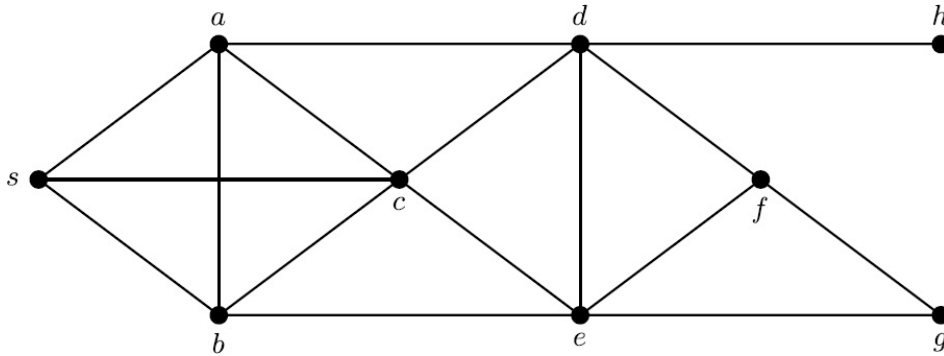
Mooreov BFS algoritam pretražuje mrežu prvo po širini (eng. breadth-first search) - prvo razmatra vrh s manjom udaljenosti od izvora itd. po širini. Prema članku [Tar72] i knjizi [Jun13], Tarjanov DFS algoritam pretražuje mrežu prvo po dubini (eng. depth-first search) - prvo razmatra bilo koji neposjećeni susjedni vrh nekog dosegnutog vrha koji zatim postaje novi dosegnuti vrh itd. po dubini, sve dok je to moguće, a u protivnom se vraća unatrag toliko koliko je to potrebno.

Teorem B.26. Tarjanov DFS algoritam ima polinomijalnu složenost $O(|A|)$.

Dokaz. Tvrdnja je dokazana u knjizi [Jun13], stranice 255-256. \square

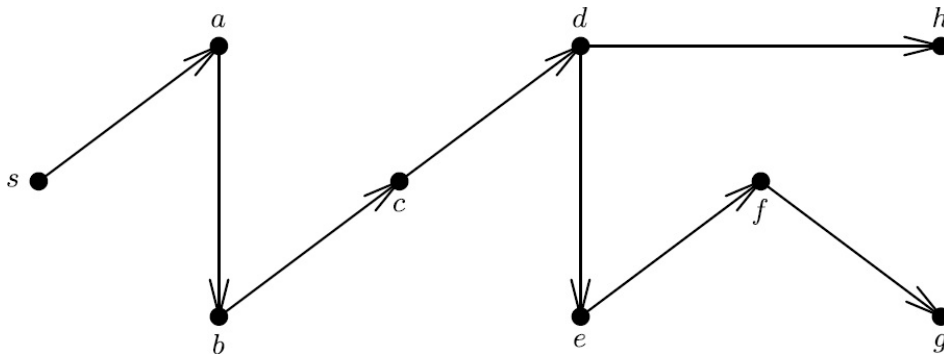
Dakle, Mooreov BFS algoritam i Tarjanov DFS algoritam imaju istu (u smislu reda veličine) polinomijalnu složenost $O(|A|)$.

Primjer B.27. Neka je neusmjerena mreža G oblika:



SLIKA B.23. Neusmjerena mreža G .

Vrhove razmatramo abecednim redom da bi izvršavali algoritam na jedinstven način. Tarjanovim DFS algoritmom obilazimo redom vrhove s, a, b, c, d, e, f, g , pa se vraćamo unatrag iz vrha g redom u vrhove f, e, d , pa obilazimo vrh h , pa se vraćamo unatrag iz vrha h redom u vrhove d, c, b, a, s . Rezultat izvršavanja je DFS-stablo neusmjerene mreže. Mooreovim BFS algoritmom obilazimo redom vrhove $s, a, b, c, d, e, f, h, g$. Rezultat izvršavanja je BFS-stablo neusmjerene mreže iz primjera B.25. Primijetimo da je udaljenost $d_{(s,v)}^{T_b}$ od izvora do nekog vrha v u BFS-stablu jednaka udaljenosti $d_{(s,v)}^G$ od izvora do istog vrha u neusmjerenoj mreži, za razliku od udaljenosti $d_{(s,v)}^{T_d}$ od izvora do istog vrha u DFS-stablu. Naprimjer, vrijedi $d_{(s,g)}^{T_b} = 3 = d_{(s,g)}^G$, ali $d_{(s,g)}^{T_d} = 7 \neq d_{(s,g)}^G$. To odražava činjenicu da Mooreov BFS algoritam pretražuje mrežu prvo po širini, dok Tarjanov DFS algoritam pretražuje mrežu prvo po dubini.



SLIKA B.24. DFS-stablo T_d neusmjerene mreže G .

Napomena B.28. Tarjanov DFS algoritam radi i u usmjerenoj mreži (uz manju doradu).

Mreža sadrži usmjereni put najkraće duljine od izvora s do ponora t ako i samo ako udaljenost $d_t \neq \infty$ izvora t nije nedefinirana. Cjelobrojnoj varijabli $d_{v \in V}$ dodjeljujemo udaljenost vrha v . Cjelobrojnoj varijabli $p_{v \in V}$ dodjeljujemo prethodnika vrha v , a koristimo ju za konstruiranje najkraćeg puta od izvora s do ponora t .

Najkraći put konstruiramo pozivom metode *KonstruirajNajkraciPut*:

KonstruirajNajkraciPut

```
neka je vrh  $v_0 \leftarrow t$  ponor  $t$ 
neka je indeks  $a \leftarrow 0$  mula
sve dok vrh  $v_a \neq s$  nije izvor  $s$ 
    neka je indeks  $a \leftarrow a + 1$  uvećan za jedan
    neka je vrh  $v_a \leftarrow p_{v_{a-1}}$  prethodnik vrha  $v_{a-1}$ 
tada je  $(v_a = s, v_{a-1}, \dots, v_1, v_0 = t)$  najkraći put od izvora  $s$  do ponora  $t$ 
```

Teorem B.29. *Metoda *KonstruirajNajkraciPut* ima polinomijalnu složenost $O(|V|)$.*

Dokaz. U petlji se svaki vrh razmatra najviše jedanput. □

B.6. Dijkstrin algoritam

Prema članku [Dij59] i knjizi [Jun13], najkraći put u mreži s nenegativnim duljinama tražimo pozivom metode *Dijkstra*:

Dijkstra

neka je udaljenost $d_s \leftarrow 0$ izvora s mula
 za svaki vrh $v \in V, v \neq s$ u skupu vrhova, osim izvora s
 neka je udaljenost $d_v \leftarrow \infty$ vrha v nedefinirana
 neka je lista vrhova $V_l \leftarrow V$ skup vrhova
 sve dok lista vrhova $V_l \neq \emptyset$ nije prazna
 neka je $v \in V_l$ vrh u listi vrhova
 s minimalnom udaljenosti $d_v = \min_{w \in V_l} \{d_w\}$
 ukloni vrh v iz liste vrhova V_l
 za svaki luk $a \in A$ u skupu lukova s repom v
 neka je vrh w glava luka a
 ako je udaljenost $d_v + l_a < d_w$ manja od udaljenosti glave w
 onda su $d_w \leftarrow d_v + l_a$ udaljenost i $p_w \leftarrow v$ prethodnik glave w

Teorem B.30. *Metoda Dijkstra ima polinomijalnu složenost $O(|V|^2)$.*

Dokaz. Inicijaliziranje varijabli zahtjeva $O(|V|)$ koraka. Zadavanje vrha $v \in V_l$ u listi vrhova s minimalnom udaljenosti $d_v = \min_{w \in V_l} \{d_w\}$ zahtjeva najviše $|V_l| - 1$ usporedbi. U prvom koraku je $|V_l| = |V|$, a zatim se $|V_l|$ umanjuje za 1 u svakoj iteraciji. Stoga zadavanje vrha u listi vrhova s minimalnom udaljenosti zahtjeva $O(|V|^2)$ koraka. U petlji se svaki luk razmatra najviše jedanput. Stoga zadavanje udaljenosti glave luka zahtjeva $O(|A|)$ koraka, tj. $O(|V|)$ koraka za rijetke grafove, odnosno $O(|V|^2)$ koraka za guste grafove. Dakle, svaka operacija sveukupno zahtjeva $O(|V|^2)$ koraka.

□

Pri zadavanju vrha u listi vrhova s minimalnom udaljenosti broj usporedbi možemo smanjiti korištenjem nekih struktura podataka poput tzv. prioritnog reda. **Prioritetni red** (eng. *priority queue*) ili **hrpa** (eng. *heap*) je struktura podataka u kojoj je svakom elementu pridružen neki broj, tzv. prioritet. Dozvoljene operacije umetanja elemenata te brisanja i traženja elemenata s najmanjim prioritetom su izvršive u vremenu $O(\log n)$. Skup vrhova, umjesto listi vrhova V_l , pridružujemo prioritnom redu vrhova V_q , a udaljenost d je prioritet.

Prema knjizi [Jun13], najkraći put u mreži s nenegativnim duljinama tražimo prioriternim redom pozivom metode *DijkstraPQ*:

DijkstraPQ

neka je prioritet $d_s \leftarrow 0$ izvora s nula
za svaki vrh $v \in V, v \neq s$ u skupu vrhova, osim izvora s
 neka je prioritet $d_v \leftarrow \infty$ vrha v nedefiniran
neka se prioriterni red vrhova $V_q \leftarrow \{s\}$ sastoji od izvora s
sve dok prioriterni red vrhova $V_q \neq \emptyset$ nije prazan

neka je $v \in V_q$ vrh u prioriternom redu vrhova
 s najmanjim prioritetom d_v } *FindMin(v)*

obriši vrh v iz prioriternog reda vrhova V_q } *DeleteMin(v)*

za svaki luk $a \in A$ u skupu lukova s repom v
 neka je vrh w glava luka a
 ako je prioritet $d_w = \infty$ glave w nedefiniran
 onda su $d_w \leftarrow d_v + l_a$ prioritet i $p_w \leftarrow v$ prethodnik glave w

umetni glavu w u prioriterni red vrhova V_q } *Insert(v)*

inače ako je prioritet $d_v + l_a < d_w$ manji od prioriteta glave w
 onda su $d_w \leftarrow d_v + l_a$ prioritet i $p_w \leftarrow v$ prethodnik glave w

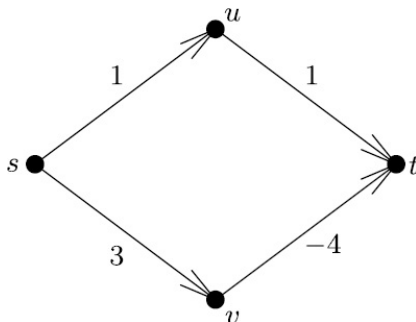
Teorem B.31. *Metoda DijkstraPQ ima polinomijalnu složenost $O(|A| \log |A|)$.*

Dokaz. U petlji svaka operacija zahtjeva najviše $O(\log |V|)$ koraka. Operacija sveukupno ima najviše $O(|V|) + O(|A|)$. □

Napomena B.32. *Prema članku [FT87], polinomijalnu složenost u prethodnom teoremu možemo smanjiti korištenjem drugih struktura podataka poput tzv. Fibonaccijeve hrpe. Umetanje i traženje elemenata s najmanjim prioritetom je izvršivo u vremenu $O(1)$, ali brisanje elemenata s najmanjim prioritetom ostaje izvršivo u vremenu $O(\log n)$. Stoga polinomijalnu složenost metode DijkstraPQ možemo smanjiti na $O(|V| \log |V| + |A|)$. Prema članku [FW94], dosad poznata najmanja teoretska polinomijalna složenost je jednaka $O((|V| \log |V|)/(\log \log |V|) + |A|)$, ali takav algoritam nije od praktičnog interesa jer konstante sakrivene u veliko- O zapisu ograde su prevelike. Prema članku [AMOT90], ako su duljine relativno male, odnosno ograničene konstantom C , onda možemo postići polinomijalnu složenost $O(|V|(\log C)^{\frac{1}{2}} + |A|)$.*

Napomena B.33. *Dijkstrin algoritam ne radi u mreži s negativnim duljinama.*

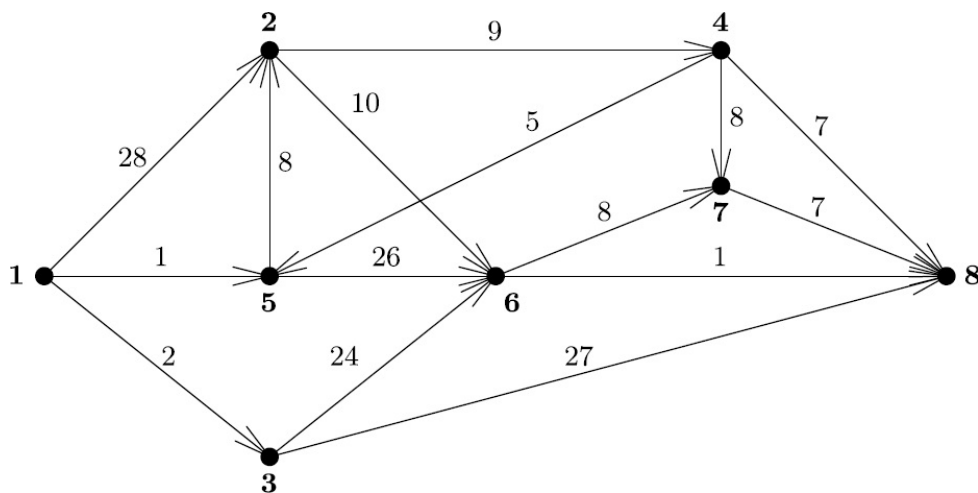
Primjer B.34. Neka je mreža sa skupom vrhova $V = \{s, u, v, t\}$ oblika:



SLIKA B.25. Mreža.

Tada je $d_u = 1$, $d_t = 2$, $d_v = 3$, ali je $d_{(s,t)} = -1 < 0$.

Primjer B.35. Neka je mreža sa skupom vrhova $V = \{1, \dots, 8\}$ oblika:



SLIKA B.26. Mreža.

Tada je $(1, 5, 2, 6, 8)$ najkraći put u mreži duljine $1 + 8 + 10 + 1 = 20$:

- iteracija 0: $d_1 = 0$, $d_i = \infty$, $\forall i = 1, 2, \dots, n$, $V_l = V$,
- iteracija 1: $v = 1$, $V_l = \{2, \dots, 8\}$, $\frac{d_2}{p_2} = \frac{28}{1}$, $\frac{d_3}{p_3} = \frac{2}{1}$, $\frac{d_5}{p_5} = \frac{1}{1}$,
- iteracija 2: $v = 5$, $V_l = \{2, 3, 4, 6, 7, 8\}$, $\frac{d_2}{p_2} = \frac{9}{5}$, $\frac{d_3}{p_3} = \frac{2}{1}$, $\frac{d_6}{p_6} = \frac{27}{5}$,
- iteracija 3: $v = 3$, $V_l = \{2, 4, 6, 7, 8\}$, $\frac{d_2}{p_2} = \frac{9}{5}$, $\frac{d_6}{p_6} = \frac{26}{3}$, $\frac{d_8}{p_8} = \frac{29}{3}$,
- iteracija 4: $v = 2$, $V_l = \{4, 6, 7, 8\}$, $\frac{d_4}{p_4} = \frac{18}{2}$, $\frac{d_6}{p_6} = \frac{19}{2}$,
- iteracija 5: $v = 4$, $V_l = \{6, 7, 8\}$, $\frac{d_6}{p_6} = \frac{19}{2}$, $\frac{d_7}{p_7} = \frac{26}{4}$, $\frac{d_8}{p_8} = \frac{25}{4}$,
- iteracija 6: $v = 6$, $V_l = \{7, 8\}$, $\frac{d_8}{p_8} = \frac{20}{6}$,
- iteracija 7: $v = 8$, $V_l = \{7\}$, $\frac{d_7}{p_7} = \frac{26}{4}$,
- iteracija 8: $v = 7$, $V_l = \emptyset$,

gdje minimalne prioritete koje dobivamo u svakom koraku metode Dijkstra ističemo podcrtano.

B.7. Bellman-Fordov algoritam

Prema članku [Bel58] te knjigama [For56, Jun13], najkraći put u mreži bez ciklusa negativne duljine tražimo pozivom metode *BellmanFord*:

BellmanFord

neka je udaljenost $d_s \leftarrow 0$ izvora s nula
 neka je privremena udaljenost $d'_s \leftarrow \infty$ izvora s nedefinirana
 za svaki vrh $v \in V, v \neq s$ u skupu vrhova, osim izvora s
 neka je udaljenost $d_v \leftarrow \infty$ vrha v nedefinirana
 neka je privremena udaljenost $d'_v \leftarrow \infty$ vrha v nedefinirana
 sve dok postoji vrh $v \in V$ u skupu vrhova
 s nejednakom udaljenosti $d_v \neq d'_v$
 za svaki vrh $v \in V$ u skupu vrhova
 neka je $d'_v \leftarrow d_v$ privremena udaljenost vrha v
 za svaki vrh $v \in V$ u skupu vrhova
 za svaki luk $a \in A$ u skupu lukova s glavom v
 neka je vrh w rep luka a
 ako je privremena udaljenost $d'_w + l_a < d_v$ manja od udaljenosti glave v
 onda su $d_v \leftarrow d'_w + l_a$ udaljenost i $p_v \leftarrow w$ prethodnik glave v
 ako je privremena udaljenost $d'_v < d_v$ manja od udaljenosti vrha v
 onda je $d_v \leftarrow d'_v$ udaljenost vrha v

Teorem B.36. *Metoda BellmanFord ima polinomijalnu složenost $O(|V||A|)$.*

Dokaz. U petlji se za svaki vrh svaki luk razmatra najviše jedanput. □

Napomena B.37. *Bellman-Fordov algoritam radi u mreži s negativnim duljinama, ali ne radi u mreži s ciklusima negativne duljine.*

B.8. Floyd-Warshallov algoritam

Prema člancima [Flo62, War62] te knjizi [Jun13], negativni ciklus tražimo pozivom metode *FloydWarshall*:

FloydWarshall

```

neka je  $n \leftarrow |V|$  broj vrhova
za indeks  $i$  od 1 do  $n$ 
  za indeks  $j$  od 1 do  $n$ 
    ako su indeksi  $i = j$  jednaki
      onda je udaljenost  $d_{ij} \leftarrow 0$  od vrha  $i$  do vrha  $j$  nula i
        prethodnik  $p_{ij} \leftarrow 0$  vrha  $j$  nula
    inače ako postoji luk  $(i, j) \in A$  u skupu lukova
      onda je udaljenost  $d_{ij} \leftarrow l_{ij}$  od vrha  $i$  do vrha  $j$  duljina luka  $(i, j)$  i
        prethodnik  $p_{ij} \leftarrow i$  vrha  $j$  vrh  $i$ 
      inače je udaljenost  $d_{ij} \leftarrow \infty$  od vrha  $i$  do vrha  $j$  nedefinirana i
        prethodnik  $p_{ij} \leftarrow 0$  vrha  $j$  nula
neka ciklus nije negativni,  $neg \leftarrow false$ 
neka je indeks  $k \leftarrow 0$  nula
sve dok ciklus nije negativni,  $neg = false$  i indeks  $k < n$  je manji od broja vrhova
  neka je indeks  $k \leftarrow k + 1$  uvećan za jedan
  za indeks  $i$  od 1 do  $n$ 
    ako je udaljenost  $d_{ik} + d_{ki} < 0$  negativna
      onda je ciklus negativni,  $neg \leftarrow true$ 
      prekini petlju
    inače za indeks  $j$  od 1 do  $n$ 
      ako je udaljenost  $d_{ik} + d_{kj} < d_{ij}$  manja od udaljenosti od vrha  $i$  do vrha  $j$ 
      onda su  $d_{ij} \leftarrow d_{ik} + d_{kj}$  udaljenost od vrha  $i$  do vrha  $j$  i
         $p_{ij} \leftarrow p_{kj}$  prethodnik vrha  $j$ 

```

Teorem B.38. *Metoda FloydWarshall ima polinomijalnu složenost $O(|V|^3)$.*

Dokaz. Polinomijalna složenost $O(|V|^3)$ metode *FloydWarshall* je očita. □

Mreža sadrži usmjereni ciklus negativne duljine u vrhu i ako i samo ako je udaljenost $d_{ii} < 0$ od vrha i do vrha i negativna. Boolovoj varijabli *neg* dodjeljujemo simbol *true*, ako mreža sadrži usmjereni ciklus negativne duljine, inače dodjeljujemo simbol *false*. Cjelobrojnoj matrici $D = (d_{v,w})_{v,w \in V}$ dodjeljujemo udaljenosti između vrhova. Cjelobrojnoj matrici $P = (p_{v,w})_{v,w \in V}$ dodjeljujemo prethodnike vrhova, a koristimo ju za konstruiranje negativnog ciklusa, odnosno najkraćeg puta između bilo koja dva vrha.

Negativni ciklus konstruiramo pozivom metode *KonstruirajNegativniCiklus*:

KonstruirajNegativniCiklus

```

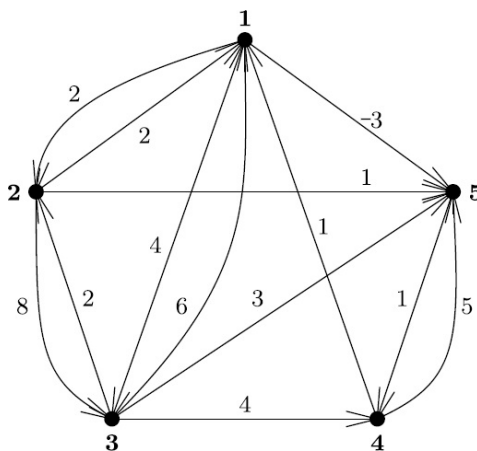
neka je vrh  $v_0 \leftarrow i$  indeks  $i$ 
neka je indeks  $a \leftarrow 0$  nula
sve dok vrh  $v_a \neq k$  nije indeks  $k$ 
    neka je indeks  $a \leftarrow a + 1$  uvećan za jedan
    neka je vrh  $v_a \leftarrow p_{k,v_{a-1}}$  prethodnik vrha  $v_{a-1}$ 
neka je indeks  $b \leftarrow 0$  nula
sve dok vrh  $v_{a+b} \neq i$  nije indeks  $i$ 
    neka je indeks  $b \leftarrow b + 1$  uvećan za jedan
    neka je vrh  $v_{a+b} \leftarrow p_{i,v_{a+b-1}}$  prethodnik vrha  $v_{a+b-1}$ 
tada je  $(v_{a+b} = v_0, v_{a+b-1}, \dots, v_1, v_0)$  negativni ciklus u vrhu  $v_0$ 

```

Teorem B.39. *Metoda KonstruirajNegativniCiklus ima polinomijalnu složenost $O(|V|)$.*

Dokaz. U petljama se svaki vrh razmatra najviše jedanput. □

Primjer B.40. *Neka je mreža sa skupom vrhova $V = \{1, \dots, 5\}$ oblika:*



SLIKA B.27. Mreža.

Tada je $(5, 4, 1, 5)$ negativni ciklus u mreži duljine $1 + 1 - 3 = -1$:

$$\begin{aligned}
 D_0 &= \begin{pmatrix} 0 & 2 & 4 & \infty & -3 \\ 2 & 0 & 8 & \infty & 1 \\ 6 & 2 & 0 & 4 & 3 \\ 1 & \infty & \infty & 0 & 5 \\ \infty & \infty & \infty & 1 & 0 \end{pmatrix}, & P_0 &= \begin{pmatrix} 0 & 1 & 1 & 0 & 1 \\ 2 & 0 & 2 & 0 & 2 \\ 3 & 3 & 0 & 3 & 3 \\ 4 & 0 & 0 & 0 & 4 \\ 0 & 0 & 0 & 5 & 0 \end{pmatrix}, \\
 D_1 &= \begin{pmatrix} 0 & 2 & 4 & \infty & -3 \\ 2 & 0 & 6 & \infty & -1 \\ 6 & 2 & 0 & 4 & 3 \\ 1 & 3 & 5 & 0 & -2 \\ \infty & \infty & \infty & 1 & 0 \end{pmatrix}, & P_1 &= \begin{pmatrix} 0 & 1 & 1 & 0 & 1 \\ 2 & 0 & 1 & 0 & 1 \\ 3 & 3 & 0 & 3 & 3 \\ 4 & 1 & 1 & 0 & 1 \\ 0 & 0 & 0 & 5 & 0 \end{pmatrix}, \\
 D_2 &= \begin{pmatrix} 0 & 2 & 4 & \infty & -3 \\ 2 & 0 & 6 & \infty & -1 \\ 4 & 2 & 0 & 4 & 1 \\ 1 & 3 & 5 & 0 & -2 \\ \infty & \infty & \infty & 1 & 0 \end{pmatrix}, & P_2 &= \begin{pmatrix} 0 & 1 & 1 & 0 & 1 \\ 2 & 0 & 1 & 0 & 1 \\ 2 & 3 & 0 & 3 & 1 \\ 4 & 1 & 1 & 0 & 1 \\ 0 & 0 & 0 & 5 & 0 \end{pmatrix}, \\
 D_3 &= \begin{pmatrix} 0 & 2 & 4 & 8 & -3 \\ 2 & 0 & 6 & 10 & -1 \\ 4 & 2 & 0 & 4 & 1 \\ 1 & 3 & 5 & 0 & -2 \\ \infty & \infty & \infty & 1 & 0 \end{pmatrix}, & P_3 &= \begin{pmatrix} 0 & 1 & 1 & 3 & 1 \\ 2 & 0 & 1 & 3 & 1 \\ 2 & 3 & 0 & 3 & 1 \\ 4 & 1 & 1 & 0 & 1 \\ 0 & 0 & 0 & 5 & 0 \end{pmatrix}.
 \end{aligned}$$

U zadnjem koraku metode FloydWarshall su $k = 4$ i $i = 5$ indeksi, $D_4 = D_3$ udaljenosti i $P_4 = P_3$ prethodnici. To su ujedno i ulazni parametri u prvom koraku metode *KonstruirajNegativniCiklus*.

B.9. Backtracking DFS algoritam

Jednostavni ciklus tražimo pozivom metode *BacktrackingDFS*:

BacktrackingDFS

```

za svaki vrh  $v \in V$  u skupu vrhova
  neka je vrh  $v$  neposjećen i neoznačen
  neka nije jednostavni ciklus,  $cyc \leftarrow false$ 
  neka je stog vrhova  $V_s \leftarrow \emptyset$  prazan
  ako je poziv metode  $PosjetiVrh(v) = true$  s vrhom  $v$  istinit
  onda ako je jednostavni ciklus,  $cyc = true$ 
    onda prekini petlju
  inače ako je vrh  $v \in V_s$  u stogu vrhova
    onda je jednostavni ciklus,  $cyc \leftarrow true$ 
    uguraj vrh  $v$  na vrh stoga vrhova  $V_s$  }  $Push(v)$ 
  prekini petlju

```

Vrh v posjetimo pozivom metode *PosjetiVrh(v)*:

PosjetiVrh(v)

```

ako je vrh  $v$  neposjećen
  onda neka je vrh  $v$  posjećen i označen
  za svaki susjedni vrh  $w$  vrha  $v$ 
    neka je  $p_w \leftarrow v$  prethodnik vrha  $w$ 
    ako je vrh  $w$  neposjećen i poziv metode  $PosjetiVrh(w) = true$  s vrhom  $w$  istinit ili
      je vrh  $w$  označen i prethodnik  $p_v \neq w$  vrha  $v$  nije vrh  $w$ 
    onda ako je jednostavni ciklus,  $cyc = true$ 
      onda vrati simbol  $true$ 
    inače ako je vrh  $w \in V_s$  u stogu vrhova
      onda je jednostavni ciklus,  $cyc \leftarrow true$ 
      uguraj vrh  $w$  na vrh stoga vrhova  $V_s$  }  $Push(w)$ 
    vrati simbol  $true$ 
  inače neka je vrh  $v$  neoznačen
  vrati simbol  $false$ 

```

Teorem B.41. *Metoda BacktrackingDFS ima polinomijalnu složenost $O(|V|)$.*

Dokaz. Maksimalni aciklički graf je stablo s $|V| - 1$ bridova. Ako graf sadrži ciklus, onda ima barem $|V|$ bridova. Stoga ako ne prije, onda algoritam pronalazi ciklus nakon najviše $|V|$ bridova pa je $|E| \leq |V|$. Inicijaliziranje varijabli zahtjeva $O(|V|)$ koraka. Metoda *PosjetiVrh* je pozvana (iz metode *BacktrackingDFS* ili rekurzivno) jednom za svaki vrh budući da se svaki vrh razmatra najviše jedanput, dok petlja te metode zahtjeva $O(|E|)$ koraka za usmjeren graf ili $O(2|E|)$ koraka za neusmjeren graf budući da se svaki brid razmatra najviše jedanput. Dakle, algoritam je izvršiv u vremenu $O(|V| + |E|)$, odnosno u vremenu $O(|V| + |V|) = O(2|V|) = O(|V|)$ za $|E| \leq |V|$. □

Napomena B.42. *Nešto prilagođenim Floyd-Warshallovim algoritmom možemo tražiti usmjereni jednostavni ciklus (najmanje duljine) u mreži (bez ciklusa negativne duljine). Taj algoritam ima vremensku složenost $O(|V|^3)$.*

Napomena B.43. *Prema članku [Joh75], Johnsonovim algoritmom možemo naći sve usmjerene jednostavne cikluse u mreži.*

Taj algoritam ima vremensku složenost $O((|V| + |A|)(|C| + 1))$ i prostornu složenost $O(|V| + |A|)$, gdje je $|C|$ broj usmjerenih jednostavnih ciklusa.

Boolovoj varijabli *cyc* dodjeljujemo simbol *true*, ako mreža sadrži usmjereni jednostavni ciklus, inače dodjeljujemo simbol *false*. U svrhu praćenja unatrag (eng. backtracking) posjećenih, odnosno stogiranih vrhova, koristimo Boolove vektore.

Jednostavni ciklus konstruiramo pozivom metode *KonstruirajJednostavniCiklus*:

KonstruirajJednostavniCiklus

neka je $v_0 \in V_s$ vrh na vrhu stoga vrhova $\left. \begin{array}{l} \text{obriši vrh } v_0 \text{ s vrha stoga vrhova } V_s \end{array} \right\} Pop(v_0)$

neka je indeks $a \leftarrow 0$ nula

sve dok stog vrhova $V_s \neq \emptyset$ nije prazan

neka je indeks $a \leftarrow a + 1$ uvećan za jedan

neka je $v_a \in V_s$ vrh na vrhu stoga vrhova $\left. \begin{array}{l} \text{obriši vrh } v_a \text{ s vrha stoga vrhova } V_s \end{array} \right\} Pop(v_a)$

tada je $(v_a = v_0, v_{a-1}, \dots, v_1, v_0)$ jednostavni ciklus u vrhu v_0

Teorem B.44. *Metoda KonstruirajJednostavniCiklus ima polinomijalnu složenost $O(|V|)$.*

Dokaz. U petlji se svaki vrh razmatra najviše jedanput. □

C. Programski kod

Programski kod je razvijen okolinom Microsoft Visual Studio 2015 u programskom jeziku Visual C# s radnim okvirom .NET 4.5.2.

C.1. Konfiguracija aplikacije

```
<!-- ... -->
<appSettings>
  <!-- ... -->
  <add key="NeighborhoodCardinality" value="30" />
  <add key="PopulationCardinality" value="30" />
  <add key="SubpopulationCardinality" value="" />
  <add key="LocalSearchIterations" value="" />
  <add key="EvolutionaryIterations" value="" />
  <add key="MutationProbability" value="1" />
  <add key="SolutionRepetitions" value="300" />
  <add key="SolutionSimilarity" value="5" />
  <add key="SolutionVariability" value="" />

  <add key="MaximalFlowAlgorithm" value="MalhotraKumarMaheshwari" />
  <add key="MinimalCutAlgorithm" value="EdmondsKarp" />
  <add key="MinimalCostFlowAlgorithm" value="FlowAugmenting" />
  <add key="ShortestPathAlgorithm" value="Moore_BFS" />
  <add key="NegativeCycleAlgorithm" value="FloydWarshall" />
  <add key="SimpleCycleAlgorithm" value="Backtracking_DFS" />
  <add key="HeuristicAlgorithm" value="LocalSearch" />
  <add key="MetaheuristicAlgorithm" value="Evolutionary" />
  <add key="DebugAlgorithm" value="None" />

  <add key="LocalSearchType" value="BestImprovement" />
  <add key="FlowRoundingType" value="FastImprovement" />
  <!-- ... -->
</appSettings>
<!-- ... -->
```

DATOTEKA C.1. Konfiguracija aplikacije *App.config*.

C.2. Klasa mreže

```

/* ... */
#region Classes
public class Vertex : ICloneable<Vertex>,
                    IComparable<Vertex>
{
    public int i; // index
    public int i_l1; // 1st layered index
    public int i_l2; // 2nd layered index
    public bool src; // source
    public bool sink; // sink
    public int p; // flow potential
    public int p_in; // flow potential in
    public int p_out; // flow potential out
    public int b; // flow value
    public Label l; // label
    public bool lbl; // labelled
    public bool upd; // updated
    public bool rem; // removed
    public bool del; // deleted
    public Vertex[] v_adj; // adjacent vertices
    public Arc[] a_out; // output arcs
    public Arc[] a_in; // input arcs
    public ResidualNetwork.Arc[] a_x_out; // output residual arcs
    public ResidualNetwork.Arc[] a_x_in; // input residual arcs

    public Vertex(Vertex v)
    {
        i = v.i;
        i_l1 = v.i_l1;
        i_l2 = v.i_l2;
        src = v.src;
        sink = v.sink;
        p = v.p;
        p_in = v.p_in;
        p_out = v.p_out;
        b = v.b;
        l = v.l;
        lbl = v.lbl;
        upd = v.upd;
        rem = v.rem;
        del = v.del;
        v_adj = v.v_adj;
        a_out = v.a_out;
        a_in = v.a_in;
        a_x_out = v.a_x_out;
        a_x_in = v.a_x_in;
    }
    public Vertex(int i, int cardV)
    {
        this.i = i;
        i_l1 = -1;
        i_l2 = -1;
        src = i == 0;
        sink = i == cardV - 1;
        p = 0;
        p_in = 0;
        p_out = 0;
        b = 0;
        l = new Label
        {
            iden = null,
            back = false,
            pred = -1,
            sign = '\0',
            dist = int.MaxValue,
            temp = int.MaxValue
        };
        lbl = false;
        upd = false;
        rem = false;
        del = false;
        v_adj = new Vertex[0];
        a_out = new Arc[0];
        a_in = new Arc[0];
        a_x_out = new ResidualNetwork.Arc[0];
        a_x_in = new ResidualNetwork.Arc[0];
    }
}

```

```

/* ... */
internal class HashSetEqualityComparer : IEqualityComparer<Vertex>
{
    public bool Equals(Vertex v, Vertex w)
    {
        return v.i == w.i;
    }

    public int GetHashCode(Vertex v)
    {
        return v.GetHashCode();
    }
}
internal class SortedSetComparer : IComparer<Vertex>
{
    public int Compare(Vertex v, Vertex w)
    {
        if (v.i == w.i)
            return 0;
        else
            if (v.l.dist != w.l.dist)
                return v.l.dist.CompareTo(w.l.dist);
            else
                return v.i.CompareTo(w.i);
    }
}
}

public class Arc : ICloneable<Arc>,
                 IComparable<Arc>
{
    public int i;           // tail index
    public int i_l1;       // 1st layered tail index
    public int i_l2;       // 2nd layered tail index
    public int j;          // head index
    public int j_l1;       // 1st layered head index
    public int j_l2;       // 2nd layered head index
    public int k;          // index
    public int k_l;        // layered index
    public int[] u;        // capacity
    public int uMin;       // minimal capacity
    public int[] c;        // cost
    public int[] cNeg;     // negative cost
    public int x;          // flow
    public decimal xDec;   // decimal flow
    public int xInt;       // integral flow
    public int xInit;      // initial flow
    public int[] xOpt;     // optimal flow
    public int xAbs;       // absolute flow
    public int xDev;       // deviation flow
    public int xRel;       // relative flow
    public int xMax;       // maximal flow
    public int[,] xTemp;   // temporary flow
    public int[,] xMtmp;   // temporary mutating flow
    public int[,][] xUnit; // unitary flow
    public int xCro;       // crossing flow
    public int xMut;       // mutating flow
    public int xTest;      // testing flow
    public int xAug;       // augmenting flow
    public int xCRed;      // cost-reducing flow
    public int xPer;       // perturbing flow
    public int xComp;      // composing flow
    public int[] xDcmp;    // decomposing flow
    public int xSum;       // summing flow
    public decimal xDiv;   // dividing flow
    public int xRnd;       // rounding flow
    public bool del;       // deleted

    public Arc(Arc a)
    {
        i = a.i;
        i_l1 = a.i_l1;
        i_l2 = a.i_l2;
        j = a.j;
        j_l1 = a.j_l1;
        j_l2 = a.j_l2;
        k = a.k;
        k_l = a.k_l;
        u = a.u;
        uMin = a.uMin;
        c = a.c;
        cNeg = a.cNeg;
        x = a.x;
        xDec = a.xDec;
        xInt = a.xInt;
        xInit = a.xInit;
        xOpt = a.xOpt;
    }
}

```

```

xAbs = a.xAbs;
xDev = a.xDev;
xRel = a.xRel;
xMax = a.xMax;
xTemp = a.xTemp;
xMtmp = a.xMtmp;
xUnit = a.xUnit;
xCro = a.xCro;
xMut = a.xMut;
xTest = a.xTest;
xAug = a.xAug;
xCRed = a.xCRed;
xPer = a.xPer;
xComp = a.xComp;
xDcmp = a.xDcmp;
xSum = a.xSum;
xDiv = a.xDiv;
xRnd = a.xRnd;
del = a.del;
}
public Arc(int i, int j, int k, ref int[][][] U, int uMin, ref int[][][] C, ref int[][]
    XAbs, ref int[][] XDev, ref int[][] XRel, ref int[][] XMax, ref int[][][] XOpt,
    int cardS, int cardN, int F)
{
    this.i = i;
    i_l1 = -1;
    i_l2 = -1;
    this.j = j;
    j_l1 = -1;
    j_l2 = -1;
    this.k = k;
    k_l = -1;
    u = U == null ? null : new int[cardS];
    this.uMin = uMin;
    c = new int[cardS];
    cNeg = new int[cardS];
    x = 0;
    xDec = 0.0m;
    xInt = 0;
    xInit = 0;
    xOpt = new int[cardS];
    xAbs = XAbs == null ? 0 : XAbs[i][j];
    xDev = XDev == null ? 0 : XDev[i][j];
    xRel = XRel == null ? 0 : XRel[i][j];
    xMax = XMax == null ? 0 : XMax[i][j];
    xTemp = new int[cardS, cardN];
    xMtmp = new int[cardS, cardN];
    xUnit = new int[cardS, cardN][];
    xCro = 0;
    xMut = 0;
    xTest = 0;
    xAug = 0;
    xCRed = 0;
    xPer = 0;
    xComp = 0;
    xDcmp = new int[F];
    xSum = 0;
    xDiv = 0;
    xRnd = 0;
    del = false;
    for (int s = 0; s < cardS; s++)
    {
        if (U != null)
            u[s] = U[s][i][j];
        c[s] = C[s][i][j];
        cNeg[s] = -C[s][i][j];
        xOpt[s] = XOpt == null ? 0 : XOpt[s][i][j];
        for (int n = 0; n < cardN; n++)
        {
            xTemp[s, n] = 0;
            xMtmp[s, n] = 0;
            xUnit[s, n] = new int[F];
            for (int f = 0; f < F; f++)
                xUnit[s, n][f] = 0;
        }
    }
}
/* ... */
}

#endregion Classes

#region Structures

public struct Label
{
    public int? iden; // identity
    public bool back; // backward arc
    public int pred; // predecessor vertex
}

```

```

    public char sign; // sign
    public int dist; // distance
    public int temp; // temporary distance
}
/* ... */
#endregion Structures
/* ... */
#region Methods

#region LayeredNetwork
/* ... */
private bool ConstructLayeredResidualNetwork(FlowVariant xVar, int s, int n, int f)
{
    if (!V[0].src || !V[cardV - 1].sink)
        return false;
    Vertex[] V_0 = new Vertex[0], V_i, V_j;
    ResizeLayeredVertices(0, V[0], ref V_0);
    V_0[0].i_l1 = 0;
    V_0[0].i_l2 = 0;
    V_l = new Vertex[1][] { V_0 };
    cardV_l = 1;
    A_l = new Arc[0];
    A_l_m = new Arc[cardV, cardV];
    A_l_v = new Arc[cardA];
    cardA_l = 0;
    max = false;
    d = 0;
    int i_l1 = 0, i_l2 = 0, k = 0, k_l = 0, l_i = 0, l_j = 0, l_k = 0, m_l = 0, n_l = 0, u
        = 0;
    Vertex w_l;
    while (!FindLayeredVertexIndices((w_l = V[cardV - 1]).i, out i_l1, out i_l2) && (l_j =
        V_l[l_i].Length) > 0)
    {
        V_i = new Vertex[0];
        foreach (Vertex v_l in V_l[l_i])
        {
            foreach (Arc a_v_out in V[v_l.i].a_out)
            if (!FindLayeredVertexIndices((w_l = V[a_v_out.j]).i, out i_l1, out i_l2) && (u =
                A[a_v_out.k].uMin - GetFlow(xVar, A[a_v_out.k], s, n, f)) > 0)
                if (FindArcIndex(v_l.i, w_l.i, out k))
                {
                    if (!FindLayeredVertexIndex(w_l.i, V_i, out i_l2))
                    {
                        ResizeLayeredVertices(l_j = V_i.Length, w_l, ref V_i);
                        V_i[l_j].i_l1 = w_l.i_l1 = l_i + 1;
                        V_i[l_j].i_l2 = w_l.i_l2 = l_j;
                        cardV_l++;
                    }
                    else
                    {
                        w_l.i_l1 = V_i[i_l2].i_l1;
                        w_l.i_l2 = V_i[i_l2].i_l2;
                    }
                    if (!FindLayeredArcIndex(k, out k_l))
                    {
                        ResizeLayeredArcs(l_k = A_l.Length, A[k]);
                        A_l[l_k].i_l1 = v_l.i_l1;
                        A_l[l_k].i_l2 = v_l.i_l2;
                        A_l[l_k].j_l1 = w_l.i_l1;
                        A_l[l_k].j_l2 = w_l.i_l2;
                        A_l[l_k].k_l = l_k;
                        A_l[l_k].uMin = u;
                        cardA_l++;
                    }
                }
        }
        foreach (Arc a_v_in in V[v_l.i].a_in)
            if (!FindLayeredVertexIndices((w_l = V[a_v_in.i]).i, out i_l1, out i_l2) && (u =
                GetFlow(xVar, A[a_v_in.k], s, n, f)) > 0)
                if (FindArcIndex(v_l.i, w_l.i, out k))
                {
                    if (!FindLayeredVertexIndex(w_l.i, V_i, out i_l2))
                    {
                        ResizeLayeredVertices(l_j = V_i.Length, w_l, ref V_i);
                        V_i[l_j].i_l1 = w_l.i_l1 = l_i + 1;
                        V_i[l_j].i_l2 = w_l.i_l2 = l_j;
                        cardV_l++;
                    }
                    else
                    {
                        w_l.i_l1 = V_i[i_l2].i_l1;
                        w_l.i_l2 = V_i[i_l2].i_l2;
                    }
                    if (!FindLayeredArcIndex(k, out k_l))
                    {
                        ResizeLayeredArcs(l_k = A_l.Length, A[k]);
                        A_l[l_k].i_l1 = v_l.i_l1;

```

```

        A_l[l_k].i_l2 = v_l.i_l2;
        A_l[l_k].j_l1 = w_l.i_l1;
        A_l[l_k].j_l2 = w_l.i_l2;
        A_l[l_k].k_l = l_k;
        A_l[l_k].uMin = u;
        cardA_l++;
    }
}
}
if (FindLayeredVertexIndex((w_l = V[cardV - 1]).i, V_i, out i_l2) &&
    FindLayeredVerticesNot(w_l.i, V_i, out V_j))
{
    if (RemoveLayeredVerticesNot(w_l.i, ref V_i, out n_l))
    {
        cardV_l -= n_l;
        SetLayeredVerticesIndices(ref V_i, l_i + 1);
    }
    if (RemoveLayeredArcsEndWith(ref V_j, out m_l))
    {
        cardA_l -= m_l;
        SetLayeredArcsIndex();
    }
}
ResizeLayeredVertices(l_i = V_l.Length, V_i);
}
for (k_l = 0; k_l < A_l.Length; k_l++)
{
    ResizeLayeredAdjacentVertices(A_l[k_l].i_l1, A_l[k_l].i_l2, A_l[k_l].j_l1, A_l[k_l].
        j_l2);
    ResizeLayeredAdjacentVertices(A_l[k_l].j_l1, A_l[k_l].j_l2, A_l[k_l].i_l1, A_l[k_l].
        i_l2);
    ResizeLayeredOutputArcs(A_l[k_l].i_l1, A_l[k_l].i_l2, A_l[k_l].k_l);
    ResizeLayeredInputArcs(A_l[k_l].j_l1, A_l[k_l].j_l2, A_l[k_l].k_l);
}
if (FindLayeredVertexIndices((w_l = V[cardV - 1]).i, out i_l1, out i_l2))
{
    max = false;
    d = l_i;
}
else
    max = true;
return true;
}
/* ... */
private int GetLayeredVertexFlowPotentialIn(int i_l1, int i_l2)
{
    int p_in = 0;
    foreach (Arc a_l_v_in in V_l[i_l1][i_l2].a_in)
        if (!A_l[a_l_v_in.k_l].del)
            p_in += A_l[a_l_v_in.k_l].uMin;
    return p_in;
}
private int GetLayeredVertexFlowPotentialOut(int i_l1, int i_l2)
{
    int p_out = 0;
    foreach (Arc a_l_v_out in V_l[i_l1][i_l2].a_out)
        if (!A_l[a_l_v_out.k_l].del)
            p_out += A_l[a_l_v_out.k_l].uMin;
    return p_out;
}
private void SetLayeredVertexFlowPotentialInAndOut()
{
    for (int i_l1 = 0; i_l1 < V_l.Length; i_l1++)
        for (int i_l2 = 0; i_l2 < V_l[i_l1].Length; i_l2++)
        {
            V_l[i_l1][i_l2].p_in = V_l[i_l1][i_l2].src ? int.MaxValue :
                GetLayeredVertexFlowPotentialIn(i_l1, i_l2);
            V_l[i_l1][i_l2].p_out = V_l[i_l1][i_l2].sink ? int.MaxValue :
                GetLayeredVertexFlowPotentialOut(i_l1, i_l2);
        }
}
private void SetLayeredVertexFlowPotential()
{
    for (int i_l1 = 0; i_l1 < V_l.Length; i_l1++)
        for (int i_l2 = 0; i_l2 < V_l[i_l1].Length; i_l2++)
            V_l[i_l1][i_l2].p = Math.Min(V_l[i_l1][i_l2].p_in, V_l[i_l1][i_l2].p_out);
}
private void SetLayeredVertexFlowValue(int i_l1In, int i_l2In, int b)
{
    for (int i_l1 = 0; i_l1 < V_l.Length; i_l1++)
        for (int i_l2 = 0; i_l2 < V_l[i_l1].Length; i_l2++)
            V_l[i_l1][i_l2].b = b;
}
/* ... */
#endregion LayeredNetwork

```

```

/* ... */
#region ShortestPath

private bool Moore_BFS(FlowVariant xVar, Scenario S)
{
    if (!V[0].src || !V[cardV - 1].sink)
        return false;
    ResetVertices();
    V[0].l.dist = 0;
    Queue<Vertex> Vq = new Queue<Vertex>();
    Vq.Enqueue(V[0]);
    int dist = int.MaxValue;
    Vertex v, w;
    while (Vq.Count > 0)
    {
        v = Vq.Dequeue();
        if (v.sink)
            return true;
        foreach (Arc a_v_out in v.a_out)
            if (GetFlow(xVar, a_v_out, S) > 0)
            {
                w = V[a_v_out.j];
                dist = v.l.dist == int.MaxValue ? int.MaxValue : v.l.dist + 1;
                if (w.l.dist == int.MaxValue)
                {
                    w.l.pred = V[w.i].l.pred = v.i;
                    w.l.dist = V[w.i].l.dist = dist;
                    Vq.Enqueue(w);
                }
            }
    }
    return V[cardV - 1].l.dist != int.MaxValue;
}

private bool Tarjan_DFS(FlowVariant xVar, Scenario S)
{
    if (!V[0].src || !V[cardV - 1].sink)
        return false;
    ResetVertices();
    V[0].l.dist = 0;
    Stack<Vertex> Vs = new Stack<Vertex>();
    Vs.Push(V[0]);
    int dist = int.MaxValue;
    bool pop = true;
    Vertex v, w;
    while (Vs.Count > 0)
    {
        v = Vs.Peek();
        if (v.sink)
            return true;
        foreach (Arc a_v_out in v.a_out)
            if (GetFlow(xVar, a_v_out, S) > 0)
            {
                w = V[a_v_out.j];
                dist = v.l.dist == int.MaxValue ? int.MaxValue : v.l.dist + 1;
                if (w.l.dist == int.MaxValue && !w.rem)
                {
                    w.l.pred = V[w.i].l.pred = v.i;
                    w.l.dist = V[w.i].l.dist = dist;
                    Vs.Push(w);
                    pop = false;
                    break;
                }
            }
        if (pop)
        {
            v = Vs.Pop();
            v.l.dist = V[v.i].l.dist = int.MaxValue;
            v.rem = V[v.i].rem = true;
        }
        pop = true;
    }
    return V[cardV - 1].l.dist != int.MaxValue;
}

private bool Dijkstra(FlowVariant xVar, Scenario S)
{
    if (!V[0].src || !V[cardV - 1].sink)
        return false;
    ResetVertices();
    V[0].l.dist = 0;
    int j = 0;
    int dist = int.MaxValue;
    Vertex v, w;
    while (FindVertexIndexNotRemovedWithDistanceMinimal(out j))
    {
        V[j].rem = true;
        v = V[j];
    }
}

```

```

    foreach (Arc a_v_out in v.a_out)
        if (GetFlow(xVar, a_v_out, S) > 0)
        {
            w = V[a_v_out.j];
            dist = v.l.dist == int.MaxValue ? int.MaxValue : v.l.dist + GetFlow(xVar, a_v_out, S);
            if (w.l.dist == int.MaxValue || dist < w.l.dist)
            {
                w.l.pred = V[w.i].l.pred = v.i;
                w.l.dist = V[w.i].l.dist = dist;
            }
        }
    }
    return V[cardV - 1].l.dist != int.MaxValue;
}
private bool Dijkstra_PQ(FlowVariant xVar, Scenario S)
{
    if (!V[0].src || !V[cardV - 1].sink)
        return false;
    ResetVertices();
    V[0].l.dist = 0;
    SortedSet<Vertex> Vss = new SortedSet<Vertex>(new Vertex.SortedSetComparer());
    Vss.Add(V[0]);
    int dist = int.MaxValue;
    Vertex v, w;
    while (Vss.Count > 0)
    {
        v = Vss.Min;
        Vss.Remove(v);
        foreach (Arc a_v_out in v.a_out)
            if (GetFlow(xVar, a_v_out, S) > 0)
            {
                w = V[a_v_out.j];
                dist = v.l.dist == int.MaxValue ? int.MaxValue : v.l.dist + GetFlow(xVar, a_v_out, S);
                if (w.l.dist == int.MaxValue || dist < w.l.dist)
                {
                    /*
                     * Changing item's value that is relevant to comparer will essentially break
                     * SortedSet<T> collection.
                     * Safe way to change value is to remove item from collection, change its value
                     * and add item back into collection.
                     */
                    if (w.l.dist != int.MaxValue)
                        Vss.Remove(w);
                    w.l.pred = V[w.i].l.pred = v.i;
                    w.l.dist = V[w.i].l.dist = dist;
                    Vss.Add(w);
                }
            }
    }
    return V[cardV - 1].l.dist != int.MaxValue;
}
private bool BellmanFord(FlowVariant xVar, Scenario S)
{
    if (!V[0].src || !V[cardV - 1].sink)
        return false;
    ResetVertices();
    V[0].l.dist = 0;
    int j = 0;
    int dist = int.MaxValue;
    Vertex v, w;
    while (FindVertexIndexWithDistanceNotTemporary(out j))
    {
        for (int i = 0; i < cardV; i++)
            V[i].l.temp = V[i].l.dist;
        for (int i = 0; i < cardV; i++)
        {
            v = V[i];
            foreach (Arc a_v_in in v.a_in)
                if (GetFlow(xVar, a_v_in, S) > 0)
                {
                    w = V[a_v_in.i];
                    dist = w.l.temp == int.MaxValue ? int.MaxValue : w.l.temp + GetFlow(xVar, a_v_in, S);
                    if (v.l.dist == int.MaxValue || dist < v.l.dist)
                    {
                        v.l.pred = V[v.i].l.pred = w.i;
                        v.l.dist = V[v.i].l.dist = dist;
                    }
                }
        }
        if (v.l.dist == int.MaxValue || v.l.temp < v.l.dist)
        {
            v.l.pred = V[v.i].l.pred = v.l.pred;
            v.l.dist = V[v.i].l.dist = v.l.temp;
        }
    }
}

```



```

    }
  }
}
return V[cardV - 1].l.dist != int.MaxValue;
}
private bool BellmanFord_HS(FlowVariant xVar, Scenario S)
{
  if (!V[0].src || !V[cardV - 1].sink)
    return false;
  ResetVertices();
  V[0].l.dist = 0;
  HashSet<Vertex> Vhs = new HashSet<Vertex>(new Vertex.HashSetEqualityComparer());
  Vhs.Add(V[0]);
  int dist = int.MaxValue;
  Vertex v, w;
  while (Vhs.Count > 0)
  {
    //foreach (Vertex vhs in Vhs)
    // vhs.l.temp = vhs.l.dist;
    Vhs.Clear();
    for (int i = 0; i < cardV; i++)
    {
      v = V[i];
      foreach (Arc a_v_in in v.a_in)
        if (GetFlow(xVar, a_v_in, S) > 0)
        {
          w = V[a_v_in.i];
          dist = w.l.temp == int.MaxValue ? int.MaxValue : w.l.temp + GetFlow(xVar,
            a_v_in, S);
          if (v.l.dist == int.MaxValue || dist < v.l.dist)
          {
            v.l.pred = V[v.i].l.pred = w.i;
            v.l.dist = V[v.i].l.dist = dist;
            if (v.l.dist != v.l.temp)
              Vhs.Add(v);
            else
              Vhs.Remove(v);
          }
        }
    }
    if (v.l.dist == int.MaxValue || v.l.temp < v.l.dist)
    {
      v.l.pred = V[v.i].l.pred = v.l.pred;
      v.l.dist = V[v.i].l.dist = v.l.temp;
      Vhs.Remove(v);
    }
  }
}
return V[cardV - 1].l.dist != int.MaxValue;
}
private bool SetPath(FlowVariant xVar, Scenario S)
{
  int k = 0;
  Vertex v = V[cardV - 1];
  List<Arc> pl = new List<Arc>();
  len = 0;
  min = int.MaxValue;
  while (v.i != 0 /* && v.pred != -1 && v.pred != cardV - 1 */)
  {
    if (FindArcIndex(v.l.pred, v.i, out k) &&
      pl.Count + 1 <= cardA)
    {
      pl.Add(A[k]);
      len += GetFlow(xVar, A[k], S);
      min = Math.Min(min, GetFlow(xVar, A[k], S));
    }
    else
      return false;
    v = V[v.l.pred];
  }
  pl.Reverse();
  p = pl.ToArray();
  return p.Length > 0;
}
/* ... */
#endregion ShortestPath
/* ... */
#region Flow
#region FlowComputing

```

```

private bool FlowAugmenting(FlowVariant xVar, Scenario S, int F, out bool xAug)
{
    if (F == this.F)
        return xAug = true;
    else if (F > this.F)
        return xAug = false;
    else // if (F < this.F)
        return FlowFindingByFlowAugmenting(xVar, S, this.F, out xAug);
}
/* ... */
private bool FlowAugmenting(FlowVariant xVarGet, FlowVariant xVarSet, Scenario getS,
    Scenario setS, int F, out Exception e)
{
    if (!SetFlowAugmentingPath(xVarGet, getS))
    {
        e = null;
        return false;
    }
    if (!SendFlow(xVarSet, 1, p, false, setS) ||
        !VerifyFlow(xVarSet, setS, F + 1, true))
    {
        e = new Exception("FlowAugmenting");
        return false;
    }
    e = null;
    return true;
}
private bool FlowAugmenting(FlowVariant xVarGet, FlowVariant xVarSet, Scenario getS,
    Scenario setS, ref int F, out Exception e)
{
    int xMin = 0;
    if (!SetFlowAugmentingPath(xVarGet, getS) ||
        (xMin = min) <= 0)
    {
        e = null;
        return false;
    }
    if (!SendFlow(xVarSet, xMin, p, false, setS) ||
        !VerifyFlow(xVarSet, setS, F += xMin, true))
    {
        e = new Exception("FlowAugmenting");
        return false;
    }
    e = null;
    return true;
}
private bool FlowAugmenting(FlowVariant xVarGet, FlowVariant xVarSet, Scenario getS,
    Scenario setS, ref int F, int maxF, out Exception e)
{
    int xMin = 0;
    if (!SetFlowAugmentingPath(xVarGet, getS) ||
        (xMin = min) <= 0 ||
        (xMin > maxF - F ? (xMin = maxF - F) : xMin) <= 0)
    {
        e = null;
        return false;
    }
    if (!SendFlow(xVarSet, xMin, p, false, setS) ||
        !VerifyFlow(xVarSet, setS, F += xMin, true))
    {
        e = new Exception("FlowAugmenting");
        return false;
    }
    e = null;
    return true;
}
private bool FlowAugmenting(FlowVariant xVar, Scenario S, ref int F, int maxF, out
    Exception e)
{
    ResidualNetwork G_x = new ResidualNetwork(this, xVar, S);
    int uMin = 0;
    if (!G_x.SetFlowAugmentingPath() ||
        (uMin = G_x._min) <= 0 ||
        (uMin > maxF - F ? (uMin = maxF - F) : uMin) <= 0)
    {
        e = null;
        return false;
    }
    if (!SendFlow(xVar, uMin, G_x._p_x, S) ||
        !VerifyFlow(xVar, S, F += uMin, true))
    {
        e = new Exception("FlowAugmenting");
        return false;
    }
    e = null;
    return true;
}
}

```

```

private bool MinimalCostFlowAugmenting(FlowVariant xVar, Scenario S, int s, ref int F,
    int maxF, out Exception e)
{
    ResidualNetwork G_x = new ResidualNetwork(this, xVar, S);
    int uMin = 0;
    if (!G_x.SetMinimalCostFlowAugmentingPath(s) ||
        (uMin = G_x._min) <= 0 ||
        (uMin > maxF - F ? (uMin = maxF - F) : uMin) <= 0)
    {
        e = null;
        return false;
    }
    if (!SendFlow(xVar, uMin, G_x._p_x, S) ||
        !VerifyFlow(xVar, S, F += uMin, true))
    {
        e = new Exception("MinimalCostFlowAugmenting");
        return false;
    }
    e = null;
    return true;
}

private bool CostReducing(FlowVariant xVar, Scenario S, int s, int F, out Exception e)
{
    ResidualNetwork G_x = new ResidualNetwork(this, xVar, S);
    int uMin = 0;
    if (!G_x.SetCostReducingCycle(s) ||
        (uMin = G_x._min) <= 0)
    {
        e = null;
        return false;
    }
    if (!SendFlow(xVar, uMin, G_x._c_x, S) ||
        !VerifyFlow(xVar, S, F, true))
    {
        e = new Exception("CostReducing");
        return false;
    }
    e = null;
    return true;
}

private bool CostReducing(FlowVariant xVarGet, FlowVariant xVarSet, Scenario getS,
    Scenario setS, int s, int F, out Exception e)
{
    ResidualNetwork G_x = new ResidualNetwork(this, xVarGet, getS);
    int uMin = 0;
    if (!G_x.SetCostReducingCycle(s) ||
        (uMin = G_x._min) <= 0)
    {
        e = null;
        return false;
    }
    if (!GetFlow_SetFlow(xVarGet, xVarSet, getS, setS) ||
        !SendFlow(xVarSet, uMin, G_x._c_x, setS) ||
        !VerifyFlow(xVarSet, setS, F, true))
    {
        e = new Exception("CostReducing");
        return false;
    }
    e = null;
    return true;
}

private bool FlowPerturbing(FlowVariant xVar, Scenario S, int F, out Exception e)
{
    ResidualNetwork G_x = new ResidualNetwork(this, xVar, S);
    int uMin = 0;
    if (!G_x.SetFlowPerturbingOrHarmonizingCycle() ||
        (uMin = G_x._min) <= 0)
    {
        e = null;
        return false;
    }
    if (!SendFlow(xVar, uMin, G_x._c_x, S) ||
        !VerifyFlow(xVar, S, F, true))
    {
        e = new Exception("FlowPerturbing");
        return false;
    }
    e = null;
    return true;
}

private bool FlowPerturbing(FlowVariant xVarGet, FlowVariant xVarSet, Scenario getS,
    Scenario setS, int F, out Exception e)
{
    ResidualNetwork G_x = new ResidualNetwork(this, xVarGet, getS);
    int uMin = 0;
    if (!G_x.SetFlowPerturbingOrHarmonizingCycle() ||

```

```

        (uMin = G_x._min) <= 0)
    {
        e = null;
        return false;
    }
    if (!GetFlow_SetFlow(xVarGet, xVarSet, getS, setS) ||
        !SendFlow(xVarSet, uMin, G_x._c_x, setS) ||
        !VerifyFlow(xVarSet, setS, F, true))
    {
        e = new Exception("FlowPerturbing");
        return false;
    }
    e = null;
    return true;
}

private bool FlowHarmonizing(FlowVariant xVarGet, FlowVariant xVarSet, Scenario getS1,
    Scenario getS2, Scenario setS, int F, out Exception e)
{
    ResidualNetwork G_x = new ResidualNetwork(this, xVarGet, getS1, getS2);
    int uMin = 0;
    if (!G_x.SetFlowPerturbingOrHarmonizingCycle() ||
        (uMin = G_x._min) <= 0)
    {
        e = null;
        return false;
    }
    if (!GetFlow_SetFlow(xVarGet, xVarSet, getS1, setS) ||
        !SendFlow(xVarSet, uMin, G_x._c_x, setS) ||
        !VerifyFlow(xVarSet, setS, F, true))
    {
        e = new Exception("FlowPerturbing");
        return false;
    }
    e = null;
    return true;
}

private bool FlowComposing(FlowVariant xVar, Scenario S1, Scenario S2, out int F, int
    maxF, out Exception e)
{
    F = 0;
    int F0 = 0;
    SortedSet<int> fs1 = new SortedSet<int>(), fs2 = new SortedSet<int>();
    NullifyFlow(FlowVariant.Composing, -1, -1, -1);
    for (int f = 1; f <= maxF; f++)
    {
        if (F == maxF)
            break;
        else if (F == maxF - 1)
        {
            F0 = F + 1;
            S1.f = App.GetRandValue(0, maxF, fs1);
            S2.f = -1;
            fs1.Add(S1.f);
        }
        else if (F <= maxF - 2)
        {
            F0 = F + 2;
            S1.f = App.GetRandValue(0, maxF, fs1);
            S2.f = App.GetRandValue(0, maxF, fs2);
            fs1.Add(S1.f);
            fs2.Add(S2.f);
        }
        if (FlowSumming(new FlowVariant[3] { FlowVariant.Composing, xVar, xVar },
            new Scenario[3] { defS, S1, S2 },
            out F0,
            out e))
            if (GetFlow_SetFlow(FlowVariant.Summing, FlowVariant.Composing, defS, defS))
                F = F0;
    }
    if (!VerifyFlow(FlowVariant.Composing, defS, F, true))
    {
        e = new Exception("FlowComposing");
        return false;
    }
    e = null;
    return true;
}

private bool UnitaryFlowComposing(FlowVariant xVar, Scenario S, Scenario unitS1, Scenario
    unitS2, out int F, out Exception e)
{
    if (FlowComposing(FlowVariant.Unitary, unitS1, unitS2, out F, this.F, out e) || e ==
        null)
        if (GetFlow_SetFlow(FlowVariant.Composing, xVar, defS, S))
            return F == this.F && e == null;
    return false;
}

```

```

private bool FlowDecomposing(FlowVariant xVar, Scenario S, int F, out Exception e)
{
    GetFlow_SetFlow(xVar, FlowVariant.Integral, S, defS);
    NullifyFlow(FlowVariant.Decomposing, -1, -1, -1);
    for (int f = 0; f < F; f++)
    {
        Scenario dcmpS = new Scenario { s = -1, n = -1, f = f };
        if (!FlowAugmenting(FlowVariant.Integral, FlowVariant.Decomposing, defS, dcmpS, 0,
            out e))
            return false;
        if (!SendFlow(FlowVariant.Integral, 1, p, true, defS) ||
            !VerifyFlow(FlowVariant.Integral, defS, F - f - 1, true))
        {
            e = new Exception("FlowDecomposing");
            return false;
        }
    }
    e = null;
    return true;
}

private bool TemporaryFlowDecomposing(Scenario tempS, int F, out Exception e)
{
    if (FlowDecomposing(FlowVariant.Temporary, tempS, F, out e) || e == null)
        if (GetDecomposingFlow_SetUnitaryFlow(tempS))
            return e == null;
    return false;
}

private bool FlowSumming(FlowVariant[] xVara, Scenario[] Sa, out int F, out Exception e)
{
    F = 0;
    int u = 0, x = 0, n = xVara.Length;
    for (int k = 0; k < cardA; k++)
    {
        u = GetMinimalCapacity(A[k]);
        for (int l = 0; l < n; l++)
            x += GetFlow(xVara[l], A[k], Sa[l]);
        if (x < 0 || x > u) // capacity constraint rule
        {
            e = new Exception("FlowSumming");
            return false;
        }
        SetFlow(FlowVariant.Summing, x, ref A[k], defS);
        F += V[A[k].i].src ? x : 0;
        x = 0;
    }
    if (!VerifyFlow(FlowVariant.Summing, defS, F, true))
    {
        e = new Exception("FlowSumming");
        return false;
    }
    e = null;
    return true;
}

private bool FlowDividing(FlowVariant xVar, Scenario S, int n, out decimal F, out
    Exception e)
{
    F = 0;
    int x = 0;
    for (int k = 0; k < cardA; k++)
    {
        x = GetFlow(xVar, A[k], S);
        SetDividingFlow((decimal)x / n, ref A[k]);
        F += V[A[k].i].src ? (decimal)x / n : 0;
    }
    if (!VerifyDividingFlow(F, true))
    {
        e = new Exception("FlowDividing");
        return false;
    }
    e = null;
    return true;
}

private bool FlowCentering(FlowVariant xVar, Scenario[] Sa, out decimal F, out Exception
    e)
{
    F = 0;
    int x = 0, n = Sa.Length;
    for (int k = 0; k < cardA; k++)
    {
        for (int l = 0; l < n; l++)
            x += GetFlow(xVar, A[k], Sa[l]);
        SetFlow(FlowVariant.Summing, x, ref A[k], defS);
        SetDividingFlow((decimal)x / n, ref A[k]);
        F += V[A[k].i].src ? (decimal)x / n : 0;
        x = 0;
    }
}

```

```

}
if (!VerifyDividingFlow(F, true))
{
    e = new Exception("FlowCentering");
    return false;
}
e = null;
return true;
}

private bool FlowCenteringAndRounding(FlowVariant xVar, Scenario[] Sa, out int F, out
    Exception e)
{
    F = 0;
    decimal decF = 0;
    if (!FlowCentering(xVar, Sa, out decF, out e))
        return false;
    if (IsDividingFlowIntegral())
    {
        /*
        if (!VerifyDividingFlow(decF))
            return false;
        */
        F = (int)Math.Truncate(decF);
        GetTruncatedDividingFlow_SetFlow(FlowVariant.Rounding, defS);
        /*
        if (!VerifyFlow(FlowVariant.Rounding, defS, F))
            return false;
        */
        return true;
    }
    int intF = (int)Math.Round(decF, 0, MidpointRounding.AwayFromZero);
    if (!FlowRounding(FlowVariant.Dividing, defS, out F, intF, out e))
        return false;
    e = null;
    return true;
}

private bool OptimalFlowCenteringAndRounding(FlowVariant xVar, Scenario S, out int F, out
    Exception e)
{
    Scenario[] optSa = new Scenario[cardS];
    for (int s = 0; s < cardS; s++)
        optSa[s] = new Scenario { s = s, n = -1, f = -1 };
    if (FlowCenteringAndRounding(FlowVariant.Optimal, optSa, out F, out e) || e == null)
        if (GetFlow_SetFlow(FlowVariant.Rounding, xVar, defS, S))
            return F == this.F && e == null;
    return false;
}

private bool TemporaryFlowCenteringAndRounding(FlowVariant xVar, Scenario S, Scenario
    tempS1, Scenario tempS2, out int F, out Exception e)
{
    Scenario[] tempSa = new Scenario[2] { tempS1, tempS2 };
    if (FlowCenteringAndRounding(FlowVariant.Temporary, tempSa, out F, out e) || e == null)
        if (GetFlow_SetFlow(FlowVariant.Rounding, xVar, defS, S))
            return F == this.F && e == null;
    return false;
}

private bool FlowRounding(FlowVariant xVar, Scenario S, out int F, int maxF, out
    Exception e)
{
    F = 0;
    int x = 0;
    NullifyFlow(FlowVariant.Rounding, -1, -1, -1);
    if (App.XRndType == FlowRoundingType.FastImprovement)
        while ((x = F) != maxF)
        {
            if (!FlowAugmenting(xVar, FlowVariant.Rounding, S, defS, ref F, maxF, out e))
                return false;
            if (!SendFlow(xVar, F - x, p, true, S)/* ||
                !VerifyFlow(xVar, S, maxF - F, true)*/)
                return false;
        }
    else
        for (F = 0; F < maxF; F++)
        {
            if (!FlowAugmenting(xVar, FlowVariant.Rounding, S, defS, F, out e))
                return false;
            if (!SendFlow(xVar, 1, p, true, S)/* ||
                !VerifyFlow(xVar, S, maxF - F - 1, true)*/)
                return false;
        }
    if (!VerifyFlow(FlowVariant.Rounding, defS, F, true))
    {
        e = new Exception("FlowRounding");
        return false;
    }
}

```

```

    e = null;
    return true;
}
/* ... */
private bool FlowFindingByFlowAugmenting(FlowVariant xVar, Scenario S, int F, out bool
    xAug)
{
    xAug = false;
    SetFlowValue(xVar, S);
    while (x != F && FlowAugmenting(xVar, S, ref x, F, out e))
        xAug = true;
    return x == F && e == null;
}
/* ... */
private bool MinimalCostFlowFindingByFlowAugmenting(FlowVariant xVar, Scenario S, int s,
    int F, out bool xAug)
{
    xAug = false;
    SetFlowValue(xVar, S);
    while (x != F && MinimalCostFlowAugmenting(xVar, S, s, ref x, F, out e))
        xAug = true;
    return x == F && e == null;
}
/* ... */
private bool MinimalCostFlowFindingByCostReducing(FlowVariant xVar, Scenario S, int s,
    int F, out bool cRed)
{
    cRed = false;
    SetFlowValue(xVar, S);
    while (CostReducing(xVar, S, s, x, out e))
        cRed = true;
    return x == F && e == null;
}
/* ... */
#region LocalSearchHeuristic
#region Initialization
#region LocalSearchInitialization
private bool SingleInitialization(FlowVariant xVar, SolutionVariant yVar, Scenario S)
{
    //bool xInit = false;
    if (!MinimalProductEvaluation(FlowVariant.Optimal, xVar, yVar, S, out yProdMax, out
        SProdMax, out yProdMin, out SProdMin))
        return false;
    return true;
}
/* ... */
private bool MultipleInitialization(FlowVariant xVar, SolutionVariant yVar, Scenario S)
{
    yProdOpt = yVar == SolutionVariant.Relative ? float.MaxValue : int.MaxValue;
    SProdOpt = new Scenario { s = 0, n = -1, f = -1 };
    bool cRed = false;
    //bool xInit = false;
    for (int s = 0; s < cardS; s++)
    {
        Scenario optS = new Scenario { s = s, n = -1, f = -1 };
        if (!VerifyFlow(FlowVariant.Optimal, optS, F) ||
            !GetFlow_SetFlow(FlowVariant.Optimal, FlowVariant.Testing, optS, defS))
            return false;
        if (!RobustMinimalCostFlowFindingByCostReducing(LocalSearchInitializationType.Random,
            FlowVariant.Testing, yVar, defS, F, F, false, out cRed))
            return false;
        if (yProdMin <= yProdOpt)
        {
            GetFlow_SetFlow(FlowVariant.Testing, xVar, defS, S);
            SetOptimalSolutionProduct(yProdMin, optS);
        }
    }
    SetMinimalSolutionProduct(yProdOpt, SProdOpt);
    return true;
}
/* ... */
private bool FlowCenteringInitialization(FlowVariant xVar, Scenario S)
{
    bool xAug = false;
    //bool xInit = false;
    int F = 0;
    if (OptimalFlowCenteringAndRounding(xVar, S, out F, out e))
        return xAug = true;
    return FlowAugmenting(xVar, S, F, out xAug);
}
/* ... */
#endregion LocalSearchInitialization
#endregion Initialization

```

```

private bool RobustMinimalCostFlowFindingByCostReducing(FlowVariant xVar, Scenario S, int
    x, int F, bool xMut, out bool cRed)
{
    FlowVariant xVarInit = FlowVariant.Initial;
    FlowVariant xVarTemp = xMut ? FlowVariant.TemporaryMutating : FlowVariant.Temporary;
    cRed = false;
    NullifyFlow(xVarTemp, -1, -1, -1);
    if (/*!VerifyFlow(xVar, S, x) ||
        !GetFlow_SetFlow(xVar, xVarInit, S, defS))
        return false;
    for (int s = 0; s < cardS; s++)
    {
        Scenario tempS = new Scenario { s = s, n = 0, f = -1 };
        if (/*!VerifyFlow(xVar, S, x) ||
            !GetFlow_SetFlow(xVar, xVarTemp, S, tempS))
            return false;
        cardN_S[s] = 1;
        for (int n = 0; n < cardN; n++)
        {
            Scenario tempS1 = new Scenario { s = s, n = n - 1, f = -1 };
            Scenario tempS2 = new Scenario { s = s, n = n, f = -1 };
            //if (debug) ws.Restart();
            if (n - 1 < 0 ?
                CostReducing(xVarInit, xVarTemp, defS, tempS2, s, x, out e) :
                CostReducing(xVarTemp, xVarTemp, tempS1, tempS2, s, x, out e))
            {
                //if (n - 1 < 0)
                // if (debug) AppendToString("CostReducing", new string[4] { "InitialFlowVariant
                // . " + xVarInit.ToString(), "TemporaryFlowVariant." + xVarTemp.ToString(), "
                // DefaultScenario", "TemporaryScenario2[" + tempS2.s.ToString() + ", " + tempS2
                // .n.ToString() + ", " + tempS2.f.ToString() + "]" });
                //else
                // if (debug) AppendToString("CostReducing", new string[4] { "
                // TemporaryFlowVariant." + xVarTemp.ToString(), "TemporaryFlowVariant." +
                // xVarTemp.ToString(), "TemporaryScenario1[" + tempS1.s.ToString() + ", " +
                // tempS1.n.ToString() + ", " + tempS1.f.ToString() + "]", "TemporaryScenario2["
                // + tempS2.s.ToString() + ", " + tempS2.n.ToString() + ", " + tempS2.f.
                // ToString() + "]" });
                cardN_S[s] = n + 1;
                cRed = true;
                continue;
            }
            else if (x == F && e == null)
                break;
            return false;
        }
    }
    return true;
}
/* ... */
private bool RobustMinimalCostFlowFindingByCostReducing(LocalSearchInitializationType
    lsInitType, FlowVariant xVar, SolutionVariant yVar, Scenario S, int x, int F, bool
    xMut, out bool cRed)
{
    FlowVariant xVarTemp = xMut ? FlowVariant.TemporaryMutating : FlowVariant.Temporary;
    if (xMut)
        cardN_S.CopyTo(cardN_S_m, 0);
    yProdMin = yVar == SolutionVariant.Relative ? float.MaxValue : int.MaxValue;
    sProdMin = 0;
    nProdMin = -1;
    cRed = false;
    bool cRed1 = false, cRed2 = false;
    dynamic yProdTemp = yVar == SolutionVariant.Relative ? float.MaxValue : int.MaxValue;
    int i = 1, j = 1, k = 1;
    if (debug) ws.Restart();
    if (!LocalSearchInitialization(lsInitType, xVar, yVar, S))
        return false;
    if (debug) AppendToString("LocalSearchInitialization", new string[4] { "
    LocalSearchInitializationType." + lsInitType.ToString(), "FlowVariant." + xVar.
    ToString(), "SolutionVariant." + yVar.ToString(), "Scenario[" + S.s.ToString() + ",
    " + S.n.ToString() + ", " + S.f.ToString() + "]" });
    while ((!App.LSIter.HasValue || i <= App.LSIter.Value) && (j <= 1))
    {
        if (debug) ws.Restart();
        if (debug) AppendToString("while", new string[3] { "i[" + i.ToString() + "]", "j[" +
            j.ToString() + "]", "k[" + (k++).ToString() + "]" });
        if (debug) ws.Restart();
        if ((cRed2 = RobustMinimalCostFlowFindingByCostReducing(xVar, S, x, F, xMut, out
            cRed1)) && cRed1)
        {
            if (debug) AppendToString("RobustMinimalCostFlowFindingByCostReducing", new string
                [5] { "FlowVariant." + xVar.ToString(), "Scenario[" + S.s.ToString() + ", " + S
                .n.ToString() + ", " + S.f.ToString() + "]", "Flow[" + x.ToString() + "]", "
                FlowValue[" + F.ToString() + "]", "MutatingFlow[" + xMut.ToString() + "]" });
            if (debug) ws.Restart();
            if (SetMinimalSolutionProduct(xVarTemp, yVar, SProdMin, false))

```



```

    {
        if (debug) AppendToString("SetMinimalSolutionProduct", new string[3] { "
            TemporaryFlowVariant." + xVarTemp.ToString(), "SolutionVariant." + yVar.
            ToString(), "MinimalScenarioProduct[" + SProdMin.s.ToString() + ", " +
            SProdMin.n.ToString() + ", " + SProdMin.f.ToString() + "]" });
        if (/*!VerifyFlow(xVarTemp, SProdMin, x) ||
            !GetFlow_SetFlow(xVarTemp, xVar, SProdMin, S))
            return false;
        i++;
        j = yProdTemp == this.yProdMin ? j + 1 : 1;
        if (yProdTemp > this.yProdMin)
            yProdTemp = this.yProdMin;
        else if (yProdTemp < this.yProdMin)
            return false;
        cRed = true;
    }
    else
        break;
}
else
    break;
}
if (xMut)
    cardN_S_m.CopyTo(cardN_S, 0);
return cRed2;
}
/* ... */
#endregion LocalSearchHeuristic
#region EvolutionaryMetaheuristic
#region Initialization
#region FlowMutatingInitialization
private bool LocalSearchInitialization(SolutionVariant yVar, Scenario dummyS)
{
    bool xMut = false;
    //bool xInit = false;
    for (int s = 0; s < cardS; s++)
    {
        Scenario optS = new Scenario { s = s, n = -1, f = -1 };
        Scenario tempS = new Scenario { s = s, n = 0, f = -1 };
        if (!OptimalInsertion(optS, tempS))
            return false;
        cardN_S[s] = 1;
        for (int n = 0; n < cardN - 1; n++)
        {
            tempS = new Scenario { s = s, n = n, f = -1 };
            if (!LocalSearchOperation(yVar, tempS, out xMut) || !xMut)
                break;
            tempS = new Scenario { s = s, n = n + 1, f = -1 };
            if (!FlowCrossingOrMutatingInsertion(FlowVariant.Mutating, defS, tempS))
                break;
            cardN_S[s] = n + 2;
        }
    }
    return true;
}
/* ... */
private bool CostReducingInitialization(Scenario dummyS)
{
    bool xMut = false;
    //bool xInit = false;
    for (int s = 0; s < cardS; s++)
    {
        Scenario optS = new Scenario { s = s, n = -1, f = -1 };
        Scenario tempS = new Scenario { s = s, n = 0, f = -1 };
        if (!OptimalInsertion(optS, tempS))
            return false;
        cardN_S[s] = 1;
        for (int n = 0; n < cardN - 1; n++)
        {
            tempS = new Scenario { s = s, n = n, f = -1 };
            if (!CostReducingOperation(tempS, out xMut) || !xMut)
                break;
            tempS = new Scenario { s = s, n = n + 1, f = -1 };
            if (!FlowCrossingOrMutatingInsertion(FlowVariant.Mutating, defS, tempS))
                break;
            cardN_S[s] = n + 2;
        }
    }
    return true;
}
/* ... */

```

```

private bool FlowPerturbingInitialization(Scenario dummyS)
{
    bool xMut = false;
    //bool xInit = false;
    for (int s = 0; s < cardS; s++)
    {
        Scenario optS = new Scenario { s = s, n = -1, f = -1 };
        Scenario tempS = new Scenario { s = s, n = 0, f = -1 };
        if (!OptimalInsertion(optS, tempS))
            return false;
        cardN_S[s] = 1;
        for (int n = 0; n < cardN - 1; n++)
        {
            tempS = new Scenario { s = s, n = n, f = -1 };
            if (!FlowPerturbingOperation(tempS, out xMut) || !xMut)
                break;
            tempS = new Scenario { s = s, n = n + 1, f = -1 };
            if (!FlowCrossingOrMutatingInsertion(FlowVariant.Mutating, defS, tempS))
                break;
            cardN_S[s] = n + 2;
        }
    }
    return true;
}
/* ... */
#endregion FlowMutatingInitialization
#endregion Initialization
#region Evaluation
/* ... */
#region ProductEvaluation

private bool MaximalProductEvaluation(FlowVariant xVar, SolutionVariant yVar, Scenario S,
    out dynamic yProdMax, out Scenario SProdMax)
{
    yProdMax = yVar == SolutionVariant.Relative ? float.MinValue : int.MinValue;
    SProdMax = new Scenario { s = 0, n = -1, f = -1 };
    bool xEval = false;
    dynamic yProd = 0;
    for (int sProd = 0; sProd < cardS; sProd++)
    {
        foreach (Arc a in A)
        {
            yProd += a.c[sProd] * GetFlow(xVar, a, S);
            yProd = GetSolution(yVar, yProd, z[sProd]);
            if (yProd >= yProdMax)
            {
                yProdMax = yProd;
                SProdMax.s = sProd;
                xEval = true;
            }
        }
        yProd = 0;
    }
    return xEval;
}
/* ... */
private bool MaximalProductEvaluation(SolutionVariant yVar, Scenario[] Sa, Scenario
    SDiffMin, out dynamic yProdMax, out Scenario SProdMax)
{
    yProdMax = yVar == SolutionVariant.Relative ? float.MinValue : int.MinValue;
    SProdMax = new Scenario { s = 0, n = -1, f = -1 };
    bool xEval = false;
    for (int i = 0; i < Sa.Length; i++)
        if (Sa[i].s != SDiffMin.s || Sa[i].n != SDiffMin.n)
            if (this.yProdMax[Sa[i].s, Sa[i].n] >= yProdMax)
            {
                yProdMax = this.yProdMax[Sa[i].s, Sa[i].n];
                SProdMax.s = Sa[i].s;
                SProdMax.n = Sa[i].n;
                xEval = true;
            }
    return xEval;
}
/* ... */
private bool MinimalProductEvaluation(FlowVariant xVar, SolutionVariant yVar, out dynamic
    [,] yProdMax, out Scenario[,] SProdMax, out dynamic yProdMin, out Scenario SProdMin)
{
    yProdMax = new dynamic[cardS, cardN];
    SProdMax = new Scenario[cardS, cardN];
    yProdMin = yVar == SolutionVariant.Relative ? float.MaxValue : int.MaxValue;
    SProdMin = new Scenario { s = 0, n = -1, f = -1 };
    bool xEval = false;
    for (int s = 0; s < cardS; s++)
    {
        int cardN = xVar == FlowVariant.Optimal ? 1 : cardN_S[s];
        for (int n = 0; n < cardN; n++)
        {

```

```

Scenario S = new Scenario { s = s, n = n, f = -1 };
if (MaximalProductEvaluation(xVar, yVar, S, out yProdMax[s, n], out SProdMax[s, n])
)
    if (yProdMax[s, n] <= yProdMin)
    {
        yProdMin = yProdMax[s, n];
        SProdMin.s = s;
        SProdMin.n = n;
        xEval = true;
        if (App.LSType == LocalSearchType.FirstImprovement)
        {
            if (yProdMin < this.yProdMin)
                return xEval;
        }
        else if (App.LSType == LocalSearchType.BestImprovement)
            continue;
    }
}
}
return xEval;
}
/* ... */
private bool MinimalProductEvaluation(FlowVariant xVarGet, FlowVariant xVarSet,
SolutionVariant yVar, Scenario S, out dynamic[,] yProdMax, out Scenario[,] SProdMax,
out dynamic yProdMin, out Scenario SProdMin)
{
    //bool xEval = false;
    if (!MinimalProductEvaluation(xVarGet, yVar, out yProdMax, out SProdMax, out yProdMin,
out SProdMin))
        return false;
    if (///!VerifyFlow(xVarGet, SProdMin, F) ||
!GetFlow_SetFlow(xVarGet, xVarSet, SProdMin, S))
        return false;
    return true;
}
/* ... */
private bool MinimalProductEvaluation(SolutionVariant yVar, Scenario[] Sa, Scenario
SDiffMin, out dynamic yProdMin, out Scenario SProdMin)
{
    yProdMin = yVar == SolutionVariant.Relative ? float.MaxValue : int.MaxValue;
    SProdMin = new Scenario { s = 0, n = -1, f = -1 };
    bool xEval = false;
    for (int i = 0; i < Sa.Length; i++)
        if (Sa[i].s != SDiffMin.s || Sa[i].n != SDiffMin.n)
            if (yProdMax[Sa[i].s, Sa[i].n] <= yProdMin)
            {
                yProdMin = yProdMax[Sa[i].s, Sa[i].n];
                SProdMin.s = Sa[i].s;
                SProdMin.n = Sa[i].n;
                xEval = true;
            }
    return xEval;
}
/* ... */
private bool SimilarProductEvaluation(SolutionVariant yVar, dynamic yProdMin, out float
yQuotSim, out dynamic yProdSim, out Scenario SProdSim)
{
    yQuotSim = 1;
    yProdSim = yVar == SolutionVariant.Relative ? float.MaxValue : int.MaxValue;
    SProdSim = new Scenario { s = 0, n = -1, f = -1 };
    bool xEval = false;
    float yQuotMin = 1;
    if (App.YSim.HasValue)
        for (int s = 0; s < cardS; s++)
            for (int n = 0; n < cardN_S[s]; n++)
            {
                Scenario S = new Scenario { s = s, n = n, f = -1 };
                yQuotMin = GetSolutionQuotient(yProdMin, S);
                if (yQuotMin * 100 <= App.YSim.Value && yQuotMin <= yQuotSim)
                {
                    yQuotSim = yQuotMin;
                    yProdSim = yProdMax[s, n];
                    SProdSim.s = s;
                    SProdSim.n = n;
                    xEval = true;
                    if (App.LSType == LocalSearchType.FirstImprovement)
                        return xEval;
                    else if (App.LSType == LocalSearchType.BestImprovement)
                        continue;
                }
            }
    return xEval;
}
/* ... */
#endregion ProductEvaluation
#endregion Evaluation

```

```

#region Selection
private bool RandomSelection(SolutionVariant yVar, Scenario SDiffMin, out dynamic
    yProdMax, out Scenario SProdMax)
{
    yProdMax = yVar == SolutionVariant.Relative ? float.MinValue : int.MinValue;
    SProdMax = new Scenario { s = 0, n = -1, f = -1 };
    //bool xSel = false;
    int k_s = App.GetRandValue(0, cardS), k_n = App.GetRandValue(0, cardN_S[k_s]);
    if (k_s == SDiffMin.s && k_n == SDiffMin.n)
        k_n = App.GetRandValue(0, cardN_S[k_s], SDiffMin.n);
    if (k_s == SDiffMin.s && k_n == SDiffMin.n)
    {
        k_s = App.GetRandValue(0, cardS, SDiffMin.s);
        k_n = App.GetRandValue(0, cardN_S[k_s]);
    }
    yProdMax = this.yProdMax[k_s, k_n];
    SProdMax.s = k_s;
    SProdMax.n = k_n;
    return true;
}
/* ... */
private bool TournamentSelection(SolutionVariant yVar, Scenario SDiffMin, out dynamic
    yProdMin, out Scenario SProdMin)
{
    yProdMin = yVar == SolutionVariant.Relative ? float.MaxValue : int.MaxValue;
    SProdMin = new Scenario { s = 0, n = -1, f = -1 };
    //bool xSel = false;
    int[] sa = new int[0], na = new int[0];
    if (!App.ArrayRandomize(out sa, cardS) || !App.ArrayRandomize(out na, sa, cardN_S))
        return false;
    Scenario[] Sa = new Scenario[sa.Length];
    for (int i = 0; i < Sa.Length; i++)
        Sa[i] = new Scenario { s = sa[i], n = na[i], f = -1 };
    if (Sa.Length == 1 && Sa[0].s == SDiffMin.s && Sa[0].n == SDiffMin.n)
        return RandomSelection(yVar, SDiffMin, out yProdMin, out SProdMin);
    return MinimalProductEvaluation(yVar, Sa, SDiffMin, out yProdMin, out SProdMin);
}
/* ... */
#endregion Selection

#region Operation

#region FlowCrossingOperation

private bool FlowHarmonizingOperation(Scenario tempS1, Scenario tempS2, out bool xCro)
{
    xCro = false;
    //bool xOper = false;
    if (FlowHarmonizing(FlowVariant.Temporary, FlowVariant.Crossing, tempS1, tempS2, defS,
        F, out e))
        xCro = true;
    return e == null;
}
/* ... */
private bool FlowComposingOperation(Scenario unitS1, Scenario unitS2, out bool xCro)
{
    xCro = false;
    //bool xOper = false;
    int F = 0;
    if (UnitaryFlowComposing(FlowVariant.Crossing, defS, unitS1, unitS2, out F, out e))
        return xCro = true;
    return FlowAugmenting(FlowVariant.Crossing, defS, F, out xCro);
}
/* ... */
private bool FlowCenteringOperation(Scenario tempS1, Scenario tempS2, out bool xCro)
{
    xCro = false;
    //bool xOper = false;
    int F = 0;
    if (TemporaryFlowCenteringAndRounding(FlowVariant.Crossing, defS, tempS1, tempS2, out F,
        out e))
        return xCro = true;
    return FlowAugmenting(FlowVariant.Crossing, defS, F, out xCro);
}
/* ... */
#endregion FlowCrossingOperation

#region FlowMutatingOperation

```

```

private bool LocalSearchOperation(SolutionVariant yVar, Scenario tempS, out bool xMut)
{
    xMut = false;
    //bool xOper = false;
    SetTemporarySolutionProduct(yProdMin, SProdMin);
    if (/*!VerifyFlow(FlowVariant.Temporary, tempS, F) ||
        !GetFlow_SetFlow(FlowVariant.Temporary, FlowVariant.Mutating, tempS, defS))
        return false;
    if (!RobustMinimalCostFlowFindingByCostReducing(LocalSearchInitializationType.Random,
        FlowVariant.Mutating, yVar, defS, F, F, true, out xMut))
        return false;
    SetMinimalSolutionProduct(yProdTemp, SProdTemp);
    return true;
}
/* ... */
private bool CostReducingOperation(Scenario tempS, out bool xMut)
{
    xMut = false;
    //bool xOper = false;
    if (CostReducing(FlowVariant.Temporary, FlowVariant.Mutating, tempS, defS, App.
        GetRandValue(0, cardS, tempS.s), F, out e))
        xMut = true;
    return e == null;
}
/* ... */
private bool FlowPerturbingOperation(Scenario tempS, out bool xMut)
{
    xMut = false;
    //bool xOper = false;
    if (FlowPerturbing(FlowVariant.Temporary, FlowVariant.Mutating, tempS, defS, F, out e))
        xMut = true;
    return e == null;
}
/* ... */
#endregion FlowMutatingOperation
#endregion Operation
#region Insertion
private bool OptimalInsertion(Scenario optS, Scenario tempS)
{
    //bool xIns = false;
    if (/*!VerifyFlow(FlowVariant.Optimal, optS, F) ||
        !GetFlow_SetFlow(FlowVariant.Optimal, FlowVariant.Temporary, optS, tempS))
        return false;
    if (xCroOperTypeComp && !TemporaryFlowDecomposing(tempS, F, out e))
        return false;
    return true;
}
/* ... */
private bool TournamentInsertion(FlowVariant xVar, SolutionVariant yVar, Scenario S,
    dynamic yProdMin, Scenario SProdMin, out float yQuotSim, out dynamic yProdMax, out
    Scenario SProdMax, out dynamic yProdSim, out Scenario SProdSim)
{
    yQuotSim = 1;
    yProdMax = yVar == SolutionVariant.Relative ? float.MinValue : int.MinValue;
    SProdMax = new Scenario { s = 0, n = -1, f = -1 };
    yProdSim = yVar == SolutionVariant.Relative ? float.MaxValue : int.MaxValue;
    SProdSim = new Scenario { s = 0, n = -1, f = -1 };
    //bool xIns = false;
    if (SimilarProductEvaluation(yVar, yProdMin, out yQuotSim, out yProdSim, out SProdSim))
    {
        if (yProdSim <= yProdMin)
            return true;
        if (!FlowCrossingOrMutatingInsertion(FlowVariant.Crossing, defS, SProdSim))
            return true;
        SetMaximalSolutionProduct(yProdMin, SProdMin, SProdSim);
        if (yProdMin <= this.yProdMin)
        {
            if (/*!VerifyFlow(FlowVariant.Temporary, SProdSim, F) ||
                !GetFlow_SetFlow(FlowVariant.Temporary, xVar, SProdSim, S))
                return false;
            SetMinimalSolutionProduct(yProdMin, SProdSim);
        }
        return true;
    }
    else
    {
        int[] sa = new int[0], na = new int[0];
        if (!App.ArrayRandomize(out sa, cardS) || !App.ArrayRandomize(out na, sa, cardN_S))
            return false;
        Scenario[] Sa = new Scenario[sa.Length];
        for (int i = 0; i < Sa.Length; i++)
            Sa[i] = new Scenario { s = sa[i], n = na[i], f = -1 };
        if (MaximalProductEvaluation(yVar, Sa, defS, out yProdMax, out SProdMax))
        {

```

```

    if (yProdMax == this.yProdMin)
        return true;
    if (!FlowCrossingOrMutatingInsertion(FlowVariant.Crossing, defS, SProdMax))
        return true;
    SetMaximalSolutionProduct(yProdMin, SProdMin, SProdMax);
    if (yProdMin <= this.yProdMin)
    {
        if (/*!VerifyFlow(FlowVariant.Temporary, SProdMax, F) ||
            !GetFlow_SetFlow(FlowVariant.Temporary, xVar, SProdMax, S))
            return false;
        SetMinimalSolutionProduct(yProdMin, SProdMax);
    }
    return true;
}
}
return false;
}
/* ... */
private bool ReplacementInsertion(FlowVariant xVar, Scenario S, dynamic yProdMin,
    Scenario SProdMin, dynamic yProdMax, Scenario SProdMax)
{
    if (yProdMax == this.yProdMin)
        return true;
    if (!FlowCrossingOrMutatingInsertion(FlowVariant.Mutating, defS, SProdMax))
        return true;
    SetMaximalSolutionProduct(yProdMin, SProdMin, SProdMax);
    if (yProdMin <= this.yProdMin)
    {
        if (/*!VerifyFlow(FlowVariant.Temporary, SProdMax, F) ||
            !GetFlow_SetFlow(FlowVariant.Temporary, xVar, SProdMax, S))
            return false;
        SetMinimalSolutionProduct(yProdMin, SProdMax);
    }
    return true;
}
/* ... */
private bool FlowCrossingOrMutatingInsertion(FlowVariant xVar, Scenario S, Scenario tempS
)
{
    //bool xIns = false;
    if (!AreTemporaryFlowsUnequalTo(xVar, S))
        return false;
    if (/*!VerifyFlow(xVar, S, F) ||
        !GetFlow_SetFlow(xVar, FlowVariant.Temporary, S, tempS))
        return false;
    if (xCroOperTypeComp && !TemporaryFlowDecomposing(tempS, F, out e))
        return false;
    return true;
}
/* ... */
#endregion Insertion

private bool RobustMinimalCostFlowFindingByFlowCrossingAndMutating(
    FlowCrossingOperationType xCroOperType, FlowMutatingOperationType xMutOperType,
    FlowMutatingInitializationType xMutInitType, FlowVariant xVar, SolutionVariant yVar,
    Scenario S, out bool xCroMut)
{
    FlowVariant xVarTemp = FlowVariant.Temporary;
    FlowVariant xVarCro = FlowVariant.Crossing;
    FlowVariant xVarMut = FlowVariant.Mutating;
    xCroMut = false;
    xCroOperTypeComp = xCroOperType == FlowCrossingOperationType.FlowComposing;
    bool xCro = false, xMut = false;
    float yQuotMax = 1,
        yQuotSim = 1;
    dynamic yProdMax = yVar == SolutionVariant.Relative ? float.MinValue : int.MinValue,
        yProdMin = yVar == SolutionVariant.Relative ? float.MaxValue : int.MaxValue,
        yProdMin1 = yVar == SolutionVariant.Relative ? float.MaxValue : int.MaxValue,
        yProdMin2 = yVar == SolutionVariant.Relative ? float.MaxValue : int.MaxValue,
        yProdSim = yVar == SolutionVariant.Relative ? float.MaxValue : int.MaxValue,
        yProdTemp = yVar == SolutionVariant.Relative ? float.MaxValue : int.MaxValue;
    Scenario SProdMax = new Scenario { s = 0, n = -1, f = -1 },
        SProdMin = new Scenario { s = 0, n = -1, f = -1 },
        SProdMin1 = new Scenario { s = 0, n = -1, f = -1 },
        SProdMin2 = new Scenario { s = 0, n = -1, f = -1 },
        SProdSim = new Scenario { s = 0, n = -1, f = -1 };
    int i = 1, j = 1, k = 1;
    NullifyFlow(xVarTemp, -1, -1, -1);
    if (debug) ws.Restart();
    if (!FlowMutatingInitialization(xMutInitType, yVar, defS))
        return false;
    if (debug) AppendToString("FlowMutatingInitialization", new string[3] { "
        FlowMutatingInitializationType." + xMutInitType.ToString(), "SolutionVariant." +
        yVar.ToString(), "DefaultScenario" });
    if (debug) ws.Restart();
    if (!MinimalProductEvaluation(xVarTemp, xVar, yVar, S, out this.yProdMax, out this.
        SProdMax, out this.yProdMin, out this.SProdMin))
        return false;
}

```

```

if (debug) AppendToString("MinimalProductEvaluation", new string[4] { "
    TemporaryFlowVariant." + xVarTemp.ToString(), "FlowVariant." + xVar.ToString(), "
    SolutionVariant." + yVar.ToString(), "Scenario[" + S.s.ToString() + ", " + S.n.
    ToString() + ", " + S.f.ToString() + "]" });
if (cardS > 1 || cardN > 1)
while ((!App.EvoIter.HasValue || i <= App.EvoIter.Value) && (!App.YRep.HasValue || j
    <= App.YRep.Value) && (!App.YVar.HasValue || yQuotMax * 100 > App.YVar.Value))
{
    if (debug) ws.Restart();
    if (debug) AppendToString("while", new string[3] { "i[" + i.ToString() + "]", "j["
        + j.ToString() + "]", "k[" + (k++).ToString() + "]" });
    if (debug) ws.Restart();
    if (!TournamentSelection(yVar, defS, out yProdMin1, out SProdMin1))
        return false;
    if (debug) AppendToString("TournamentSelection", new string[2] { "SolutionVariant."
        + yVar.ToString(), "DefaultScenario" });
    if (debug) ws.Restart();
    if (!TournamentSelection(yVar, SProdMin1, out yProdMin2, out SProdMin2))
        return false;
    if (debug) AppendToString("TournamentSelection", new string[2] { "SolutionVariant."
        + yVar.ToString(), "MinimalScenarioProduct1[" + SProdMin1.s.ToString() + ", "
        + SProdMin1.n.ToString() + ", " + SProdMin1.f.ToString() + "]" });
    if (debug) ws.Restart();
    if (!FlowCrossingOperation(xCroOperType, SProdMin1, SProdMin2, out xCro))
        return false;
    if (debug) AppendToString("FlowCrossingOperation", new string[3] { "
        FlowCrossingOperationType." + xCroOperType.ToString(), "MinimalScenarioProduct1
        [" + SProdMin1.s.ToString() + ", " + SProdMin1.n.ToString() + ", " + SProdMin1.
        f.ToString() + "]", "MinimalScenarioProduct2[" + SProdMin2.s.ToString() + ", "
        + SProdMin2.n.ToString() + ", " + SProdMin2.f.ToString() + "]" });
    if (xCro)
    {
        if (debug) ws.Restart();
        if (!MaximalProductEvaluation(xVarCro, yVar, defS, out yProdMin, out SProdMin))
            return false;
        if (debug) AppendToString("MaximalProductEvaluation", new string[3] { "
            CrossingFlowVariant." + xVarCro.ToString(), "SolutionVariant." + yVar.
            ToString(), "DefaultScenario" });
        if (debug) ws.Restart();
        if (!TournamentInsertion(xVar, yVar, S, yProdMin, SProdMin, out yQuotSim, out
            yProdMax, out SProdMax, out yProdSim, out SProdSim))
            return false;
        if (debug) AppendToString("TournamentInsertion", new string[5] { "FlowVariant." +
            xVar.ToString(), "SolutionVariant." + yVar.ToString(), "Scenario[" + S.s.
            ToString() + ", " + S.n.ToString() + "]", " + S.f.ToString() + "]", "
            MinimalSolutionProduct[" + yProdMin + "]", "MinimalScenarioProduct[" +
            SProdMin.s.ToString() + ", " + SProdMin.n.ToString() + ", " + SProdMin.f.
            ToString() + "]" });
    }
}
if (!App.MutProb.HasValue || App.GetRandValue(1, 101) <= App.MutProb.Value)
{
    if (debug) ws.Restart();
    if (!RandomSelection(yVar, this.SProdMin, out yProdMax, out SProdMax))
        return false;
    if (debug) AppendToString("RandomSelection", new string[2] { "SolutionVariant." +
        yVar.ToString(), "MinimalScenarioProduct[" + this.SProdMin.s.ToString() + ",
        " + this.SProdMin.n.ToString() + ", " + this.SProdMin.f.ToString() + "]" });
    if (debug) ws.Restart();
    if (!FlowMutatingOperation(xMutOperType, yVar, SProdMax, out xMut))
        return false;
    if (debug) AppendToString("FlowMutatingOperation", new string[3] { "
        FlowMutatingOperationType." + xMutOperType.ToString(), "SolutionVariant." +
        yVar.ToString(), "MaximalScenarioProduct[" + SProdMax.s.ToString() + ", "
        + SProdMax.n.ToString() + ", " + SProdMax.f.ToString() + "]" });
    if (xMut)
    {
        if (debug) ws.Restart();
        if (!MaximalProductEvaluation(xVarMut, yVar, defS, out yProdMin, out SProdMin))
            return false;
        if (debug) AppendToString("MaximalProductEvaluation", new string[3] { "
            MutatingFlowVariant." + xVarMut.ToString(), "SolutionVariant." + yVar.
            ToString(), "DefaultScenario" });
        if (debug) ws.Restart();
        if (!ReplacementInsertion(xVar, S, yProdMin, SProdMin, yProdMax, SProdMax))
            return false;
        if (debug) AppendToString("ReplacementInsertion", new string[6] { "FlowVariant.
            " + xVar.ToString(), "Scenario[" + S.s.ToString() + ", " + S.n.ToString() +
            ", " + S.f.ToString() + "]", "MinimalSolutionProduct[" + yProdMin + "]", "
            MinimalScenarioProduct[" + SProdMin.s.ToString() + ", " + SProdMin.n.
            ToString() + ", " + SProdMin.f.ToString() + "]", "MaximalSolutionProduct["
            + yProdMax + "]", "MaximalScenarioProduct[" + SProdMax.s.ToString() + ", "
            + SProdMax.n.ToString() + ", " + SProdMax.f.ToString() + "]" });
    }
}
}
}

```

```

        i++;
        j = yProdTemp == this.yProdMin ? j + 1 : 1;
        yQuotMax = GetSolutionQuotient(yVar, this.yProdMin);
        if (yProdTemp > this.yProdMin)
            yProdTemp = this.yProdMin;
        else if (yProdTemp < this.yProdMin)
            return false;
        xCroMut = true;
    }
    return true;
}
/* ... */
#endregion EvolutionaryMetaheuristic
#endregion FlowComputing
/* ... */
private bool IsCapacityConstraintRuleObeyed(FlowVariant xVar, int s, int n, int f)
{
    int u = 0, x = 0;
    foreach (Arc a in A)
    {
        u = GetCapacity(xVar, a, s, n, f);
        x = GetFlow(xVar, a, s, n, f);
        if (x < 0 || x > u)
            return false;
    }
    return true;
}
/* ... */
private bool IsFlowConservationRuleObeyed(FlowVariant xVar, int s, int n, int f, int F)
{
    int xOut = 0, xIn = 0;
    foreach (Vertex v in V)
    {
        foreach (Arc a_v_out in v.a_out)
            xOut += GetFlow(xVar, a_v_out, s, n, f);
        foreach (Arc a_v_in in v.a_in)
            xIn -= GetFlow(xVar, a_v_in, s, n, f);
        if (v.src)
        {
            if (xOut != F || xIn != 0)
                return false;
        }
        else if (v.sink)
        {
            if (xOut != 0 || xIn != -F)
                return false;
        }
        else
        {
            if (xOut != -xIn)
                return false;
        }
        xOut = xIn = 0;
    }
    return true;
}
/* ... */
private bool IsFlowFeasible(FlowVariant xVar, int s, int n, int f, int F)
{
    if (IsFlowNull(xVar, s, n, f, F) ||
        !IsCapacityConstraintRuleObeyed(xVar, s, n, f) ||
        !IsFlowConservationRuleObeyed(xVar, s, n, f, F))
        return false;
    return true;
}
/* ... */
private bool IsFlowNull(FlowVariant xVar, int s, int n, int f, int F)
{
    if (F == 0)
        return false;
    foreach (Arc a in A)
        if (GetFlow(xVar, a, s, n, f) != 0)
            return false;
    return true;
}
/* ... */
#endregion Flow

```



```

#region MaximalFlow
/* ... */
private void PushFlow(FlowVariant xVar, int s, int n, int f, int i_11, int i_12)
{
    SetLayeredVertexFlowValue(i_11, i_12, V_1[i_11][i_12].b);
    LinkedList<Vertex> V11 = new LinkedList<Vertex>();
    V11.AddLast(V_1[i_11][i_12]);
    int k_1 = 0, min;
    Vertex v_1;
    while (V11.Count > 0)
    {
        v_1 = V11.First.Value;
        V11.RemoveFirst();
        while (!V_1[v_1.i_11][v_1.i_12].sink && V_1[v_1.i_11][v_1.i_12].b != 0)
            foreach (Arc a_1_v_out in v_1.a_out)
                if (!A_1[a_1_v_out.k_1].del)
                {
                    k_1 = a_1_v_out.k_1;
                    min = Math.Min(A_1[k_1].uMin, V_1[v_1.i_11][v_1.i_12].b);
                    A_1[k_1].uMin -= min;
                    //A_1[k_1].x += min;
                    AddFlow(xVar, min, ref A_1[k_1], s, n, f);
                    V_1[V_1[A_1[k_1].j_11][A_1[k_1].j_12].i_11][V_1[A_1[k_1].j_11][A_1[k_1].j_12].i_12].p_in -= min;
                    V_1[V_1[A_1[k_1].j_11][A_1[k_1].j_12].i_11][V_1[A_1[k_1].j_11][A_1[k_1].j_12].i_12].b += min;
                    V_1[v_1.i_11][v_1.i_12].p_out -= min;
                    V_1[v_1.i_11][v_1.i_12].b -= min;
                    A_1[k_1].del = A_1[k_1].uMin == 0;
                    if (!V11.Contains(V_1[A_1[k_1].j_11][A_1[k_1].j_12]))
                        V11.AddLast(V_1[A_1[k_1].j_11][A_1[k_1].j_12]);
                    break;
                }
            }
    }
}
/* ... */
private void PullFlow(FlowVariant xVar, int s, int n, int f, int i_11, int i_12)
{
    SetLayeredVertexFlowValue(i_11, i_12, V_1[i_11][i_12].b);
    LinkedList<Vertex> V11 = new LinkedList<Vertex>();
    V11.AddLast(V_1[i_11][i_12]);
    int k_1 = 0, min;
    Vertex v_1;
    while (V11.Count > 0)
    {
        v_1 = V11.First.Value;
        V11.RemoveFirst();
        while (!V_1[v_1.i_11][v_1.i_12].src && V_1[v_1.i_11][v_1.i_12].b != 0)
            foreach (Arc a_1_v_in in v_1.a_in)
                if (!A_1[a_1_v_in.k_1].del)
                {
                    k_1 = a_1_v_in.k_1;
                    min = Math.Min(A_1[k_1].uMin, V_1[v_1.i_11][v_1.i_12].b);
                    A_1[k_1].uMin -= min;
                    //A_1[k_1].x += min;
                    AddFlow(xVar, min, ref A_1[k_1], s, n, f);
                    V_1[V_1[A_1[k_1].i_11][A_1[k_1].i_12].i_11][V_1[A_1[k_1].i_11][A_1[k_1].i_12].i_12].p_out -= min;
                    V_1[V_1[A_1[k_1].i_11][A_1[k_1].i_12].i_11][V_1[A_1[k_1].i_11][A_1[k_1].i_12].i_12].b += min;
                    V_1[v_1.i_11][v_1.i_12].p_in -= min;
                    V_1[v_1.i_11][v_1.i_12].b -= min;
                    A_1[k_1].del = A_1[k_1].uMin == 0;
                    if (!V11.Contains(V_1[A_1[k_1].i_11][A_1[k_1].i_12]))
                        V11.AddLast(V_1[A_1[k_1].i_11][A_1[k_1].i_12]);
                    break;
                }
            }
    }
}
/* ... */
private bool MaximizeFlow_Dinic(FlowVariant xVar, int s, int n, int f)
{
    max = false;
    d = 0;
    while (!max)
    {
        if (!ConstructLayeredResidualNetwork(xVar, s, n, f))
            return false;
        if (!max)
        {
            BlockFlow_Dinic(xVar, s, n, f);
            AugmentFlow(xVar, s, n, f);
        }
    }
    return true;
}
}

```

```

/* ... */
private bool MaximizeFlow_MalhotraKumarMaheshwari(FlowVariant xVar, int s, int n, int f)
{
    max = false;
    d = 0;
    NullifyFlow(xVar, s, n, f);
    while (!max)
    {
        if (!ConstructLayeredResidualNetwork(xVar, s, n, f))
            return false;
        if (!max)
        {
            BlockFlow_MalhotraKumarMaheshwari(xVar, s, n, f);
            AugmentFlow(xVar, s, n, f);
        }
    }
    return true;
}
/* ... */
private void BlockFlow_Dinic(FlowVariant xVar, int s, int n, int f)
{
    NullifyLayeredNetworkFlow(xVar, s, n, f);
    int i_l1 = 0, i_l2 = 0, k_l = 0, min;
    int[] A_l_k;
    Vertex w_l;
    while (!V_l[d][0].del)
    {
        min = int.MaxValue;
        A_l_k = new int[d + 1];
        w_l = V_l[d][0];
        for (int l = d; l >= 1; l--)
            foreach (Arc a_l_v_in in w_l.a_in)
                if (!A_l[a_l_v_in.k_l].del)
                {
                    k_l = a_l_v_in.k_l;
                    min = Math.Min(min, A_l[k_l].uMin);
                    A_l_k[l] = k_l;
                    if (FindLayeredVertexIndices(A_l[k_l].i, out i_l1, out i_l2))
                        w_l = V_l[i_l1][i_l2];
                    break;
                }
        for (int l = 1; l <= d; l++)
        {
            A_l[A_l_k[l]].uMin -= min;
            //A_l[A_l_k[l]].x += min;
            AddFlow(xVar, min, ref A_l[A_l_k[l]], s, n, f);
            if (A_l[A_l_k[l]].uMin == 0)
                A_l[A_l_k[l]].del = true;
        }
        for (int l = 1; l <= d; l++)
            for (i_l2 = 0; i_l2 < V_l[l].Length; i_l2++)
                if (GetLayeredVertexFlowPotentialIn(l, i_l2) == 0)
                {
                    V_l[l][i_l2].del = true;
                    for (k_l = 0; k_l < cardA_l; k_l++)
                        if (A_l[k_l].i == V_l[l][i_l2].i)
                            A_l[k_l].del = true;
                }
    }
}
/* ... */
private void BlockFlow_MalhotraKumarMaheshwari(FlowVariant xVar, int s, int n, int f)
{
    NullifyLayeredNetworkFlow(xVar, s, n, f);
    SetLayeredVertexFlowPotentialInAndOut();
    int i_l1 = 0, i_l2 = 0;
    while (!V_l[0][0].del && !V_l[d][0].del)
    {
        DeleteLayeredArcsWithMinimalCapacityNull();
        DeleteLayeredVerticesWithFlowPotentialNull();
        SetLayeredVertexFlowPotential();
        if (FindLayeredVertexIndicesNotDeletedWithFlowPotentialMinimal(out i_l1, out i_l2))
        {
            V_l[i_l1][i_l2].b = V_l[i_l1][i_l2].p;
            PushFlow(xVar, s, n, f, i_l1, i_l2);
            V_l[i_l1][i_l2].b = V_l[i_l1][i_l2].p;
            PullFlow(xVar, s, n, f, i_l1, i_l2);
        }
    }
}
}

```

```

/* ... */
private void AugmentFlow(FlowVariant xVar, int s, int n, int f)
{
    int k_l = 0, x = 0;
    for (int k = 0; k < cardA; k++)
    {
        if (FindLayeredArcIndex(A[k].i, A[k].j, out k_l) && (x = GetFlow(xVar, A[k], s, n, f)
            + GetFlow(xVar, A_l[k_l], s, n, f)) <= A[k].uMin)
            SetFlow(xVar, x, ref A[k], s, n, f);
        if (FindLayeredArcIndex(A[k].j, A[k].i, out k_l) && (x = GetFlow(xVar, A[k], s, n, f)
            - GetFlow(xVar, A_l[k_l], s, n, f)) >= 0)
            SetFlow(xVar, x, ref A[k], s, n, f);
    }
}
/* ... */
#endregion MaximalFlow
#region MinimalCut
/* ... */
private bool FordFulkerson(FlowVariant xVar, int s, int n, int f)
{
    if (!V[0].src || !V[cardV - 1].sink)
        return false;
    ResetVertices();
    V[0].l.sign = '-'; V[0].lbl = true;
    int j = 0, k = 0, u = 0, dist = 0;
    Vertex w;
    while (FindVertexIndexLabelledNotUpdated(out j))
    {
        foreach (Arc a_v_out in V[j].a_out)
            if (!V[a_v_out.j].lbl && (u = A[a_v_out.k].uMin - GetFlow(xVar, A[a_v_out.k], s, n,
                f)) > 0)
            {
                V[a_v_out.j].l = new Label
                {
                    iden = null,
                    pred = j,
                    sign = '+',
                    dist = Math.Min(V[j].l.dist, u)
                };
                V[a_v_out.j].lbl = true;
            }
        foreach (Arc a_v_in in V[j].a_in)
            if (!V[a_v_in.i].lbl && (u = GetFlow(xVar, A[a_v_in.k], s, n, f)) > 0)
            {
                V[a_v_in.i].l = new Label
                {
                    iden = null,
                    pred = j,
                    sign = '-',
                    dist = Math.Min(V[j].l.dist, u)
                };
                V[a_v_in.i].lbl = true;
            }
        V[j].upd = true;
        if (V[cardV - 1].lbl && V[cardV - 1].l.dist < int.MaxValue)
        {
            w = V[cardV - 1];
            dist = w.l.dist;
            while (!w.src && w.l.pred > -1)
            {
                if (w.l.sign == '+' && FindArcIndex(w.l.pred, w.i, out k))
                    AddFlow(xVar, dist, ref A[k], s, n, f);
                else if (w.l.sign == '-' && FindArcIndex(w.i, w.l.pred, out k))
                    RemoveFlow(xVar, dist, ref A[k], s, n, f);
                w = V[w.l.pred];
            }
            ResetVertices();
            V[0].l.sign = '-'; V[0].lbl = true;
        }
    }
    return FindVerticesLabelled(out V_s) && FindVerticesNotLabelled(out V_t);
}
/* ... */
private bool EdmondsKarp(FlowVariant xVar, int s, int n, int f)
{
    if (!V[0].src || !V[cardV - 1].sink)
        return false;
    ResetVertices();
    V[0].l.iden = 1; V[0].l.sign = '-'; V[0].lbl = true;
    int j = 0, k = 0, u = 0, iden = 1, dist = 0;
    Vertex w;
    while (FindVertexIndexLabelledFirstNotUpdated(out j))
    {

```

```

foreach (Arc a_v_out in V[j].a_out)
  if (!V[a_v_out.j].lbl && (u = A[a_v_out.k].uMin - GetFlow(xVar, A[a_v_out.k], s, n,
    f)) > 0)
  {
    V[a_v_out.j].l = new Label
    {
      iden = ++iden,
      pred = j,
      sign = '+',
      dist = Math.Min(V[j].l.dist, u)
    };
    V[a_v_out.j].lbl = true;
  }
foreach (Arc a_v_in in V[j].a_in)
  if (!V[a_v_in.i].lbl && (u = GetFlow(xVar, A[a_v_in.k], s, n, f)) > 0)
  {
    V[a_v_in.i].l = new Label
    {
      iden = ++iden,
      pred = j,
      sign = '-',
      dist = Math.Min(V[j].l.dist, u)
    };
    V[a_v_in.i].lbl = true;
  }
V[j].upd = true;
if (V[cardV - 1].lbl && V[cardV - 1].l.dist < int.MaxValue)
{
  w = V[cardV - 1];
  dist = w.l.dist;
  while (!w.src && w.l.pred > -1)
  {
    if (w.l.sign == '+' && FindArcIndex(w.l.pred, w.i, out k))
      AddFlow(xVar, dist, ref A[k], s, n, f);
    else if (w.l.sign == '-' && FindArcIndex(w.i, w.l.pred, out k))
      RemoveFlow(xVar, dist, ref A[k], s, n, f);
    w = V[w.l.pred];
  }
  ResetVertices();
  V[0].l.iden = 1; V[0].l.sign = '-'; V[0].lbl = true;
  iden = 1;
}
}
return FindVerticesLabelled(out V_s) && FindVerticesNotLabelled(out V_t);
}
/* ... */
#endregion MinimalCut
/* ... */
#endregion Methods
/* ... */

```

C.3. Klasa rezidualne mreže

```

/* ... */
#region Classes
public class Arc : ICloneable<Arc>,
                  IComparable<Arc>
{
    public int i;      // tail index
    public int j;      // head index
    public int k;      // index
    public int k_x;    // residual index
    public int u;      // capacity
    public int[] c;    // cost
    public bool back;  // backward arc

    public Arc(Arc a)
    {
        i = a.i;
        j = a.j;
        k = a.k;
        k_x = a.k_x;
        u = a.u;
        c = a.c;
        back = a.back;
    }
    public Arc(Network.Arc a_G, int k, int u, bool uNull, bool back, int cardA)
    {
        if (back)
        {
            i = a_G.j;
            j = a_G.i;
            this.k = a_G.k;
            k_x = uNull ? a_G.k + cardA : k;
            this.u = u;
            c = a_G.cNeg;
            this.back = back;
        }
        else
        {
            i = a_G.i;
            j = a_G.j;
            this.k = a_G.k;
            k_x = uNull ? a_G.k : k;
            this.u = u;
            c = a_G.c;
            this.back = back;
        }
    }
}
/* ... */
#endregion Classes
/* ... */
#region Methods
/* ... */
#region ShortestPath
private bool Moore_BFS()
{
    if (!G._V[0].src || !G._V[G._cardV - 1].sink)
        return false;
    //G.ResetVertices();
    G._V[0].l.dist = 0;
    Queue<Network.Vertex> Vq = new Queue<Network.Vertex>();
    Vq.Enqueue(G._V[0]);
    int dist = int.MaxValue;
    Network.Vertex v, w;
    while (Vq.Count > 0)
    {
        v = Vq.Dequeue();
        if (v.sink)
            return true;
        foreach (Arc a_x_v_out in v.a_x_out)
            if (a_x_v_out.u > 0)
            {
                w = G._V[a_x_v_out.j];
                dist = v.l.dist == int.MaxValue ? int.MaxValue : v.l.dist + 1;
                if (w.l.dist == int.MaxValue)
                {
                    w.l.back = G._V[w.i].l.back = a_x_v_out.back;
                    w.l.pred = G._V[w.i].l.pred = v.i;
                    w.l.dist = G._V[w.i].l.dist = dist;
                    Vq.Enqueue(w);
                }
            }
    }
}

```

```

    }
  }
}
return G._V[G._cardV - 1].l.dist != int.MaxValue;
}

private bool Tarjan_DFS()
{
  if (!G._V[0].src || !G._V[G._cardV - 1].sink)
    return false;
  //G.ResetVertices();
  G._V[0].l.dist = 0;
  Stack<Network.Vertex> Vs = new Stack<Network.Vertex>();
  Vs.Push(G._V[0]);
  int dist = int.MaxValue;
  bool pop = true;
  Network.Vertex v, w;
  while (Vs.Count > 0)
  {
    v = Vs.Peek();
    if (v.sink)
      return true;
    foreach (Arc a_x_v_out in v.a_x_out)
      if (a_x_v_out.u > 0)
      {
        w = G._V[a_x_v_out.j];
        dist = v.l.dist == int.MaxValue ? int.MaxValue : v.l.dist + 1;
        if (w.l.dist == int.MaxValue && !w.rem)
        {
          w.l.back = G._V[w.i].l.back = a_x_v_out.back;
          w.l.pred = G._V[w.i].l.pred = v.i;
          w.l.dist = G._V[w.i].l.dist = dist;
          Vs.Push(w);
          pop = false;
          break;
        }
      }
    if (pop)
    {
      v = Vs.Pop();
      v.l.dist = G._V[v.i].l.dist = int.MaxValue;
      v.rem = G._V[v.i].rem = true;
    }
    pop = true;
  }
  return G._V[G._cardV - 1].l.dist != int.MaxValue;
}
/* ... */
private bool Dijkstra(int? s)
{
  if (!G._V[0].src || !G._V[G._cardV - 1].sink)
    return false;
  //G.ResetVertices();
  G._V[0].l.dist = 0;
  int j = 0;
  int dist = int.MaxValue;
  Network.Vertex v, w;
  while (FindVertexIndexNotRemovedWithDistanceMinimal(out j))
  {
    G._V[j].rem = true;
    v = G._V[j];
    foreach (Arc a_x_v_out in v.a_x_out)
      if (a_x_v_out.u > 0)
      {
        w = G._V[a_x_v_out.j];
        dist = v.l.dist == int.MaxValue ? int.MaxValue : v.l.dist + (s.HasValue ?
          a_x_v_out.c[s.Value] : a_x_v_out.u);
        if (w.l.dist == int.MaxValue || dist < w.l.dist)
        {
          w.l.back = G._V[w.i].l.back = a_x_v_out.back;
          w.l.pred = G._V[w.i].l.pred = v.i;
          w.l.dist = G._V[w.i].l.dist = dist;
        }
      }
  }
  return G._V[G._cardV - 1].l.dist != int.MaxValue;
}
/* ... */
private bool Dijkstra_PQ(int? s)
{
  if (!G._V[0].src || !G._V[G._cardV - 1].sink)
    return false;
  //G.ResetVertices();
  G._V[0].l.dist = 0;
  SortedSet<Network.Vertex> Vss = new SortedSet<Network.Vertex>(new Network.Vertex.
    SortedSetComparer());
  Vss.Add(G._V[0]);

```

```

int dist = int.MaxValue;
Network.Vertex v, w;
while (Vss.Count > 0)
{
    v = Vss.Min;
    Vss.Remove(v);
    foreach (Arc a_x_v_out in v.a_x_out)
        if (a_x_v_out.u > 0)
        {
            w = G._V[a_x_v_out.j];
            dist = v.l.dist == int.MaxValue ? int.MaxValue : v.l.dist + (s.HasValue ?
                a_x_v_out.c[s.Value] : a_x_v_out.u);
            if (w.l.dist == int.MaxValue || dist < w.l.dist)
            {
                /*
                 * Changing item's value that is relevant to comparer will essentially break
                 * SortedSet<T> collection.
                 * Safe way to change value is to remove item from collection, change its value
                 * and add item back into collection.
                 */
                if (w.l.dist != int.MaxValue)
                    Vss.Remove(w);
                w.l.back = G._V[w.i].l.back = a_x_v_out.back;
                w.l.pred = G._V[w.i].l.pred = v.i;
                w.l.dist = G._V[w.i].l.dist = dist;
                Vss.Add(w);
            }
        }
}
return G._V[G._cardV - 1].l.dist != int.MaxValue;
}
/* ... */
private bool BellmanFord(int? s)
{
    if (!G._V[0].src || !G._V[G._cardV - 1].sink)
        return false;
    //G.ResetVertices();
    G._V[0].l.dist = 0;
    int j = 0;
    int dist = int.MaxValue;
    Network.Vertex v, w;
    while (FindVertexIndexWithDistanceNotTemporary(out j))
    {
        for (int i = 0; i < G._cardV; i++)
            G._V[i].l.temp = G._V[i].l.dist;
        for (int i = 0; i < G._cardV; i++)
        {
            v = G._V[i];
            foreach (Arc a_x_v_in in v.a_x_in)
                if (a_x_v_in.u > 0)
                {
                    w = G._V[a_x_v_in.i];
                    dist = w.l.temp == int.MaxValue ? int.MaxValue : w.l.temp + (s.HasValue ?
                        a_x_v_in.c[s.Value] : a_x_v_in.u);
                    if (v.l.dist == int.MaxValue || dist < v.l.dist)
                    {
                        v.l.back = G._V[v.i].l.back = a_x_v_in.back;
                        v.l.pred = G._V[v.i].l.pred = w.i;
                        v.l.dist = G._V[v.i].l.dist = dist;
                    }
                }
            if (v.l.dist == int.MaxValue || v.l.temp < v.l.dist)
            {
                v.l.back = G._V[v.i].l.back = v.l.back;
                v.l.pred = G._V[v.i].l.pred = v.l.pred;
                v.l.dist = G._V[v.i].l.dist = v.l.temp;
            }
        }
    }
    return G._V[G._cardV - 1].l.dist != int.MaxValue;
}
/* ... */
private bool BellmanFord_HS(int? s)
{
    if (!G._V[0].src || !G._V[G._cardV - 1].sink)
        return false;
    //G.ResetVertices();
    G._V[0].l.dist = 0;
    HashSet<Network.Vertex> Vhs = new HashSet<Network.Vertex>(new Network.Vertex.
        HashSetEqualityComparer());
    Vhs.Add(G._V[0]);
}

```

```

int dist = int.MaxValue;
Network.Vertex v, w;
while (Vhs.Count > 0)
{
    foreach (Network.Vertex vhs in Vhs)
        vhs.l.temp = vhs.l.dist;
    Vhs.Clear();
    for (int i = 0; i < G._cardV; i++)
    {
        v = G._V[i];
        foreach (Arc a_x_v_in in v.a_x_in)
            if (a_x_v_in.u > 0)
            {
                w = G._V[a_x_v_in.i];
                dist = w.l.temp == int.MaxValue ? int.MaxValue : w.l.temp + (s.HasValue ?
                    a_x_v_in.c[s.Value] : a_x_v_in.u);
                if (v.l.dist == int.MaxValue || dist < v.l.dist)
                {
                    v.l.back = G._V[v.i].l.back = a_x_v_in.back;
                    v.l.pred = G._V[v.i].l.pred = w.i;
                    v.l.dist = G._V[v.i].l.dist = dist;
                    if (v.l.dist != v.l.temp)
                        Vhs.Add(v);
                    else
                        Vhs.Remove(v);
                }
            }
        if (v.l.dist == int.MaxValue || v.l.temp < v.l.dist)
        {
            v.l.back = G._V[v.i].l.back = v.l.back;
            v.l.pred = G._V[v.i].l.pred = v.l.pred;
            v.l.dist = G._V[v.i].l.dist = v.l.temp;
            Vhs.Remove(v);
        }
    }
}
return G._V[G._cardV - 1].l.dist != int.MaxValue;
}

private bool SetPath(int? s)
{
    int k_x = 0;
    Network.Vertex v = G._V[G._cardV - 1];
    List<Arc> p_xl = new List<Arc>();
    len = 0;
    min = int.MaxValue;
    while (v.i != 0/* && v.pred != -1 && v.pred != G._cardV - 1*/)
    {
        if (FindResidualArcIndex(v.l.pred, v.i, v.l.back, out k_x) &&
            p_xl.Count + 1 <= cardA_x)
        {
            p_xl.Add(A_x[k_x]);
            len += s.HasValue ? A_x[k_x].c[s.Value] : A_x[k_x].u;
            min = Math.Min(min, A_x[k_x].u);
        }
        else
            return false;
        v = G._V[v.l.pred];
    }
    p_xl.Reverse();
    p_x = p_xl.ToArray();
    return p_x.Length > 0;
}
/* ... */
#endregion ShortestPath

#region NegativeCycle

private bool FloydWarshall(int s, out int i, out int k)
{
    SetBackwardAndDistanceAndPredecessorMatrixByArcs(s);
    neg = false;
    i = 0;
    k = -1;
    while (!neg && k < G._cardV - 1)
    {
        k++;
        for (int i = 0; i < G._cardV; i++)
            if (D[i, k] != int.MaxValue && D[k, i] != int.MaxValue && D[i, k] + D[k, i] < 0)
            {
                neg = true;
                break;
            }
        else
            for (int j = 0; j < G._cardV; j++)
                if (D[i, k] != int.MaxValue && D[k, j] != int.MaxValue && D[i, k] + D[k, j] < D
                    [i, j])
    }
}

```



```

        {
            B[i, j] = B[k, j];
            P[i, j] = P[k, j];
            D[i, j] = D[i, k] + D[k, j];
        }
    }
    return neg;
}

private bool SetCycle(int s, int i, int k)
{
    int a = 0, b = 0, c = 0, k_x = 0;
    int[] V_i = new int[1] { i };
    List<Arc> c_xl = new List<Arc>();
    len = 0;
    min = int.MaxValue;
    while (V_i[a] != k)
        ResizeVertices(c = (++a), V_i.Length, V_i[c - 1] == -1 ? 0 : P[k, V_i[c - 1]], ref
            V_i);
    while (V_i[a + b] != i)
        ResizeVertices(c = a + (++b), V_i.Length, V_i[c - 1] == -1 ? 0 : P[i, V_i[c - 1]],
            ref V_i);
    c_x = new Arc[c];
    for (int j = c; j > 0; j--)
        if (FindResidualArcIndex(V_i[j], V_i[j - 1], B[V_i[j], V_i[j - 1]], out k_x) &&
            c_xl.Count + 1 <= cardA_x)
        {
            c_xl.Add(A_x[k_x]);
            len += A_x[k_x].c[s];
            min = Math.Min(min, A_x[k_x].u);
        }
        else
            return false;
    c_x = c_xl.ToArray();
    return c_x.Length > 0;
}
/* ... */
#endregion NegativeCycle
#region SimpleCycle

private bool Backtracking_DFS(bool[] visited, ref bool[] stacked, ref bool circled, ref
    Stack<Network.Vertex> Vs)
{
    foreach (Network.Vertex v in G._V)
    {
        visited = new bool[G._cardV];
        stacked = new bool[G._cardV];
        circled = false;
        Vs.Clear();
        if (Backtracking_DFS(v, visited, ref stacked, ref circled, ref Vs))
        {
            if (circled)
                return true;
            circled = Vs.Contains(v);
            Vs.Push(v);
            return true;
        }
    }
    return false;
}

private bool Backtracking_DFS(Network.Vertex v, bool[] visited, ref bool[] stacked, ref
    bool circled, ref Stack<Network.Vertex> Vs)
{
    if (!visited[v.i])
    {
        visited[v.i] = true;
        stacked[v.i] = true;
        int k_x = 0;
        foreach (Network.Vertex w in v.v_adj)
            if (FindResidualArcIndex(v.i, w.i, out k_x))
            {
                w.l.pred = v.i;
                if (!visited[w.i] && Backtracking_DFS(w, visited, ref stacked, ref circled, ref
                    Vs) || stacked[w.i] && v.l.pred != w.i)
                {
                    if (circled)
                        return true;
                    circled = Vs.Contains(w);
                    Vs.Push(w);
                    return true;
                }
            }
    }
    stacked[v.i] = false;
    return false;
}

```

```
private bool SetCycle(Stack<Network.Vertex> Vs)
{
    int k_x = 0;
    Network.Vertex v = Vs.Pop(), w;
    List<Arc> c_x1 = new List<Arc>();
    len = 0;
    min = int.MaxValue;
    while (Vs.Count != 0)
    {
        w = Vs.Pop();
        if (FindResidualArcIndex(v.i, w.i, out k_x) &&
            c_x1.Count + 1 <= cardA_x)
        {
            c_x1.Add(A_x[k_x]);
            len += A_x[k_x].u;
            min = Math.Min(min, A_x[k_x].u);
        }
        else
            return false;
        v = w;
    }
    c_x = c_x1.ToArray();
    return c_x.Length > 0;
}
/* ... */
#endregion SimpleCycle
/* ... */
#endregion Methods
/* ... */
```

DATOTEKA C.3. Klasa rezidualne mreže *ResidualNetwork.cs*.

Zaključak

Na početku smo opisali robusnu optimizaciju kojom rješavamo neki problem optimizacije robusnim pristupom neizvjesnosti. Formulirali smo robusne probleme toka te dokazali da su (poopćene) apsolutno i devijantno robusne varijante problema toka minimalne cijene po složenosti NP-teške. Defnirali smo (slojevitu) rezidualnu mrežu koju koristimo za traženje maksimalnog toka i maksimalnog toka minimalne cijene u polaznoj mreži. Predstavili smo osnovne operacije s tokovima koje upotrebljavamo kao sastavne metode u (meta)heuristikama te smo analizirali njihovu složenost. Formulirali smo (poopćeni) robusni problem toka minimalne cijene kao problem cjelobrojnog linearnog programiranja koji općenito rješavamo egzaktnim algoritmima za cjelobrojno linearno programiranje. Predstavili smo (meta)heuristike za rješavanje (poopćenog) robusnog problema toka minimalne cijene - postupak lokalnog traženja i evolucijski postupak. Kako su robusne varijante problema toka minimalne cijene NP-teške, to ih ima smisla rješavati (meta)heuristikama. Opisali smo njihovu implementaciju te smo analizirali njihovu složenost. Izmjerali smo njihovu preciznost i vrijeme izvršenja na malim i velikim primjercima robusnog problema toka minimalne cijene. Na kraju smo obradili i usporedili rezultate evaluacija te smo iznijeli prednosti i nedostatke.

Prema napomeni A.4, za relativno robusnu varijantu problema najkraćeg puta ne možemo koristiti istu ideju dokaza NP-težine kao i za apsolutno i devijantno robusne varijante problema najkraćeg puta. Stoga nismo dokazali da je (poopćena) relativno robusna varijanta problema toka minimalne cijene po složenosti NP-teška. U članku [Zie04] je pokazano da je relativno robusna varijanta problema najkraćeg puta, u kojoj su duljine lukova zadane kao intervali, NP-teška. Pitanje glasi: može li se dokazati NP-težina i za relativno robusnu varijantu problema najkraćeg puta, u kojoj su duljine lukova zadane kao konačni skupovi?

Osim primjene egzaktnih algoritama ili (meta)heuristika, dolaze u obzir i specijalizirani algoritmi, no njih tek treba razviti. Jedan specijalizirani algoritam za rješavanje robusnog problema $(RMCF)_D$ predlaže se u članku [RJ09]. Riječ je o iterativnom postupku gdje se u svakoj iteraciji rješava primjerak robusnog problema najkraćeg puta. Dakle, za realizaciju tog algoritma trebali bi imati najprije rješenje za NP-teški robusni problem najkraćeg puta. Pitanje glasi: može li se primijeniti ideja tog algoritma i na druge dvije robusne varijante problema toka minimalne cijene, dakle na robusne probleme $(RMCF)_A$ i $(RMCF)_R$?

Ovo bi mogle biti teme budućeg rada.

Literatura

- [ABV09] H. Aissi, C. Bazgan, and D. Vanderpooten, *Min-max and min-max regret versions of combinatorial optimization problems: A survey*, European Journal of Operational Research **197** (2009), no. 2, 427–438.
- [ABV10] H. Aissi, C. Bazgan, and D. Vanderpooten, *General approximation schemes for min-max (regret) versions of some (pseudo-)polynomial problems*, Discrete Optimization **7** (2010), no. 3, 136–148.
- [AMOT90] R. K. Ahuja, K. Mehlhorn, J. B. Orlin, and R. E. Tarjan, *Faster algorithms for the shortest path problem*, Journal of the Association for Computing Machinery **37** (1990), no. 2, 213–223.
- [AV16] H. Aissi and D. Vanderpooten, *Robust capacity expansion of a network under demand uncertainty: A bi-objective approach*, Networks **68** (2016), no. 3, 185–199.
- [AZ07] A. Atamtürk and M. Zhang, *Two-stage robust network flow and design under demand uncertainty*, Operations Research **55** (2007), no. 4, 662–673.
- [BBC11] D. Bertsimas, D. B. Brown, and C. Caramanis, *Theory and applications of robust optimization*, Society for Industrial and Applied Mathematics Review **53** (2011), no. 3, 464–501.
- [BCT09] V. L. Boginski, C. W. Commander, and T. Turko, *Polynomial-time identification of robust network flows under uncertain arc failures*, Optimization Letters **3** (2009), no. 3, 461–473.
- [Bel58] R. E. Bellman, *On a routing problem*, Quarterly of Applied Mathematics **16** (1958), 87–90.
- [BJS10] M. S. Bazaraa, J. J. Jarvis, and H. D. Sherali, *Linear programming and network flows*, fourth ed., John Wiley and Sons, Hoboken, New Jersey, 2010.
- [BNS13] D. Bertsimas, E. Nasrabadi, and S. Stiller, *Robust and adaptive network flows*, Operations Research **61** (2013), no. 5, 1218–1242.
- [BS03] D. Bertsimas and M. Sim, *Robust discrete optimization and network flows*, Mathematical Programming **98** (2003), no. 1, 49–71.
- [BS04] D. Bertsimas and M. Sim, *The price of robustness*, Operations Research **52** (2004), no. 1, 35–53.
- [BTEGN09] A. Ben-Tal, L. El Ghaoui, and A. Nemirovski, *Robust optimization*, Princeton University Press, Princeton, New Jersey, 2009.
- [Car79] B. Carre, *Graphs and networks*, Oxford University Press, Oxford, England, 1979.
- [Dij59] E. W. Dijkstra, *A note on two problems in connexion with graphs*, Numerische Mathematik **1** (1959), 269–271.
- [Din70] E. A. Dinic, *Algorithm for solution of a problem of maximum flow in a network with power estimation*, Soviet Mathematics Doklady **11** (1970), no. 5, 1277–1280.
- [EK72] J. Edmonds and R. M. Karp, *Theoretical improvements in algorithmic efficiency for network flow problems*, Journal of the Association for Computing Machinery **19** (1972), no. 2, 248–264.
- [ES15] A. E. Eiben and J. E. Smith, *Introduction to evolutionary computing*, second ed., Springer-Verlag, Berlin, Heidelberg, 2015.
- [FF57] L. R. Ford and D. R. Fulkerson, *A simple algorithm for finding maximal network flows and an application to the Hitchcock problem*, Canadian Journal of Mathematics **9** (1957), 210–218.
- [FF62] L. R. Ford and D. R. Fulkerson, *Flows in networks*, Princeton University Press, Princeton, New Jersey, 1962.

- [Flo62] R. W. Floyd, *Algorithm 97: Shortest path*, Communications of the Association for Computing Machinery **5** (1962), no. 6, 345.
- [For56] L. R. Ford, *Network flow theory*, RAND Corporation, Santa Monica, California, 1956.
- [FT87] M. L. Fredman and R. E. Tarjan, *Fibonacci heaps and their uses in improved network optimization algorithms*, Journal of the Association for Computing Machinery **34** (1987), no. 3, 596–615.
- [FW94] M. L. Fredman and D. E. Willard, *Trans-dichotomous algorithms for minimum spanning trees and shortest paths*, Journal of Computer and System Sciences **48** (1994), no. 3, 533–551.
- [GJ79] M. R. Garey and D. S. Johnson, *Computers and intractability: A guide to the theory of NP-completeness*, W. H. Freeman and Company, New York, 1979.
- [Glo86] F. Glover, *Future paths for integer programming and links to artificial intelligence*, Computers and Operation Research **13** (1986), no. 5, 533–549.
- [GT88] A. V. Goldberg and R. E. Tarjan, *A new approach to the maximum flow problem*, Journal of the Association for Computing Machinery **35** (1988), no. 4, 921–940.
- [IBM15] IBM, *IBM ILOG CPLEX Optimization Studio CPLEX User's Manual*, International Business Machines Corporation, version 12 release 6 ed., 2015.
- [Joh75] D. B. Johnson, *Finding all the elementary circuits of a directed graph*, Society for Industrial and Applied Mathematics Journal on Computing **4** (1975), no. 1, 77–84.
- [Jun13] D. Jungnickel, *Graphs, networks and algorithms*, fourth ed., Springer-Verlag, Berlin, Heidelberg, 2013.
- [KV12] B. Korte and J. Vygen, *Combinatorial optimization: Theory and algorithms*, fifth ed., Springer-Verlag, Berlin, Heidelberg, 2012.
- [KY97] P. Kouvelis and G. Yu, *Robust discrete optimization and its applications*, Springer Science+Business Media, Dordrecht, 1997.
- [Mic96] Z. Michalewicz, *Genetic algorithms + Data structures = Evolution programs*, third ed., Springer-Verlag, Berlin, Heidelberg, 1996.
- [Min09] M. Minoux, *On robust maximum flow with polyhedral uncertainty sets*, Optimization Letters **3** (2009), no. 3, 367–376.
- [Min10] M. Minoux, *Robust network optimization under polyhedral demand uncertainty is NP-hard*, Discrete Applied Mathematics **158** (2010), no. 5, 597–603.
- [MKM78] V. M. Malhotra, M. P. Kumar, and S. N. Maheshwari, *An $O(|V|^3)$ algorithm for finding maximum flows in networks*, Information Processing Letters **7** (1978), no. 6, 277–278.
- [Moo59] E. F. Moore, *The shortest path through a maze*, Proceedings of an International Symposium on the Theory of Switching II, Harvard University Press, Cambridge, Massachusetts, 1959, pp. 285–292.
- [OZ07] F. Ordonez and J. Zhao, *Robust capacity expansion of network flows*, Networks **50** (2007), no. 2, 136–145.
- [PM12] K. Puljić and R. Manger, *A distributed evolutionary algorithm with a superlinear speedup for solving the vehicle routing problem*, Computing and Informatics **31** (2012), no. 3, 675–692.
- [Pos14] M. Poss, *A comparison of routing sets for robust network design*, Optimization Letters **8** (2014), no. 5, 1619–1635.
- [PS98] C. H. Papadimitriou and K. Steiglitz, *Combinatorial optimization: Algorithms and complexity*, Dover Publications, Mineola, New York, 1998.
- [Pul09] K. Puljić, *Distibuirani evolucijski algoritmi za problem usmjeravanja vozila*, Ph.D. thesis, Sveučilište u Zagrebu, Prirodoslovno-matematički fakultet, Matematički odjel, 2009.

- [RJ09] M. Rui and Z. Jinfu, *Robust discrete optimization for the minimum cost flow problem*, Proceedings of the International Workshop on Intelligent Systems and Applications, Institute of Electrical and Electronics Engineers, Piscataway, New Jersey, 2009, pp. 1–4.
- [RMA16] G. M. Righetto, R. Morabito, and D. Alem, *A robust optimization approach for cash flow management in stationery companies*, Computers and Industrial Engineering **99** (2016), no. C, 137–152.
- [Tal09] El-G. Talbi, *Metaheuristics - from design to implementation*, John Wiley and Sons, Hoboken, New Jersey, 2009.
- [Tar72] R. E. Tarjan, *Depth-first search and linear graph algorithms*, Society for Industrial and Applied Mathematics Journal on Computing **1** (1972), no. 2, 146–160.
- [Tom71] N. Tomizawa, *On some techniques useful for solution of transportation network problems*, Networks **1** (1971), no. 2, 173–194.
- [War62] S. Warshall, *A theorem on Boolean matrices*, Journal of the Association for Computing Machinery **9** (1962), no. 1, 11–12.
- [Zad72] N. Zadeh, *Theoretical efficiency of the Edmonds-Karp algorithm for computing maximal flows*, Journal of the Association for Computing Machinery **19** (1972), no. 1, 184–192.
- [Zad73] N. Zadeh, *More pathological examples for network flow problems*, Mathematical Programming **5** (1973), no. 1, 217–224.
- [Zie04] P. Zielinski, *The computational complexity of the relative robust shortest path problem with interval data*, European Journal of Operational Research **158** (2004), no. 3, 570–576.
- [Zwi95] U. Zwick, *The smallest networks on which the Ford-Fulkerson maximum flow procedure may fail to terminate*, Theoretical Computer Science **148** (1995), no. 1, 165–170.

Kazalo

- algoritmi
 - egzakti, 46
 - evolucijski, 64
 - klasični, 140
 - lokalnog traženja, 64
- balans, 9
- bridovi
 - redčani, 135
 - stupčani, 135
- ciklus
 - smanjujuće cijene, 27
- faza, 33
- graf
 - rešetkasti, 135
- hardver, 83
- heuristike, 63
 - klasične, 63
 - konstruktivne, 63
 - lokalna traženja, 63
 - metaheuristike, 63
 - moderne, 63
- izvor, 8
- jedinična cijena, 8
 - rezidualna, 24
- kapacitet, 8
 - reza, 141
 - rezidualni, 24
- kod
 - programski, 171
- luk
 - unaprijed, 24
 - unatrag, 24
- metoda
 - centriranja tokova, 36
 - dekomponiranja toka, 36
 - dijeljenja toka, 36
 - harmoniziranja toka, 35
 - komponiranja tokova, 35
 - perturbiranja toka, 35
 - smanjenja cijene toka, 34
 - sumiranja tokova, 36
 - traženja toka minimalne cijene zadane vrijednosti, 37
 - traženja toka zadane vrijednosti, 37
 - uvećanja toka, 34
 - uvećanja toka minimalne cijene, 34
 - zaokruživanja toka, 37
- mreža
 - rezidualna, 24
 - slojevita, 134
 - širina, 134
 - slojevita rezidualna, 29
- neizvjesnost, 2
- NP-potpuni problem
 - 2-particije, 134
 - skupovnog pokrivača, 134
- odredište, 128
- poboljšanje
 - iterativno, 64
 - najbolje, 64
 - prvo, 64
- polazište, 128
- ponor, 8
- postupak
 - evolucijski, 68
 - generiranja okoline, 67
 - inicijaliziranja
 - centriranjem tokova, 67
 - jednostrukog, 66
 - nasumičnog, 66
 - višestrukog, 66
 - križanja
 - centriranjem tokova, 69
 - harmoniziranjem toka, 68
 - komponiranjem tokova, 68
 - lokalnog traženja, 66
 - mutiranja

- lokalnim traženjem, 69
- perturbiranjem toka, 69
- smanjenjem cijene toka, 69
- računanja robusne cijene, 67
- potrošač, 9
- prioritetni red, 162
- proizvođač, 9
- put
 - uvećavajućeg toka, 24
- razapinjuće stablo, 130
 - minimalno, 130
- rez, 141
 - minimalni, 141
- robusna optimizacija, 1
- robusni pristup, 6
- robusni problem
 - 0/1 naprtnjače
 - apsolutno, 133
 - devijantno, 133
 - relativno, 133
 - linearnog programiranja, 126
 - maksimalnog toka
 - apsolutno, 19
 - devijantno, 19
 - relativno, 20
 - minimalnog razapinjućeg stabla
 - apsolutno, 131
 - devijantno, 131
 - relativno, 131
 - najkraćeg puta
 - apsolutno, 129
 - devijantno, 129
 - relativno, 129
 - toka minimalne cijene
 - apsolutno, 10
 - devijantno, 10
 - relativno, 11
- robusni problemi
 - srodni, 125
- robusni program, 7
- robusno rješenje
 - apsolutno, 6
 - devijantno, 6
 - relativno, 6
- softver, 83
- standardni problem
 - 0/1 naprtnjače, 132
 - linearnog programiranja, 126
 - maksimalnog toka, 9
 - pomoćni, 20
 - minimalnog razapinjućeg stabla, 130
 - najkraćeg puta, 128
 - toka minimalne cijene, 8
- tok, 8
 - blokovni, 33
 - potencijal, 155
 - izlazni, 155
 - minimalni, 155
 - ulazni, 155
 - vrijednost, 8
- uvjet
 - elitizma, 70
 - natjecanja, 70
 - sličnosti, 70
- varijabla
 - odlučivanja, 47

Životopis

OSOBNI PODACI

Ime i prezime: Marko Špoljarec
Datum rođenja: 06.03.1983.
Grad i država rođenja: Zagreb, Hrvatska
Zvanje: **dipl. ing. matematike**
Mobitel: 098/806-757
E-pošta: marko.spoljarec@zg.ht.hr



OBRAZOVANJE

2007. **dipl. ing. matematike**

Sveučilište u Zagrebu, Prirodoslovno-matematički fakultet: Matematički odjel
diplomski studij, smjer računarstvo

ZAPOSLENJE

Rujan, 2014. – **Voditelj IT usluga u PBZ d.d., Zagreb**

Siječanj, 2008. – Kolovoz, 2014. **Programer / Projektant u KOR d.o.o., Zagreb**

PROJEKTI

- usluga **internetskog bankarstva** za privatne i poslovne subjekte
- usluga **trgovanja dionicama** na Zagrebačkoj i Bečkoj burzi
- programsko rješenje **ugostiteljske blagajne** s integracijom u gastro i recepcijski sustav
- programsko rješenje **kongresne i banketne blagajne** s integracijom u kongresni i banketni sustav
- programsko rješenje **trgovačke blagajne** s integracijom u robni sustav
- programsko rješenje **samostalne blagajne** za prodaju jednostavnih usluga
- programsko rješenje **mjenjačnice** (certifikat HNB-a)
- **fiskalizacija** sustava blagajne i mjenjačnice
- programsko rješenje **obrade telefonskih poziva** s integracijom u recepcijski sustav
 - sučelje za telefonske centrale Alcatel, Ericsson (BP250, MD110), Lucent, Panasonic, Philips, Siemens (Caracas)
 - sučelje za AoC (Advice of Charge) sustave Metronet i Optima Telekom
 - sučelje za PayTV sustave Locatel i Quadriga